

لَبَّيْكَ رَبَّنَا



دانشکده: علوم زمین

گروه: آب شناسی

پایان نامه کارشناسی ارشد

شبیه سازی و برآوردهی رودخانه مارون با استفاده از مدل‌های اتفاقی و  
شبکه عصبی مصنوعی

رزیتا حمیدی

استاد راهنما:

دکتر صمد امامقلیزاده

پایان نامه جهت اخذ درجه کارشناسی ارشد

۱۳۸۹ تیر

پایان نامه کارشناسی ارشد خانم رزینا حمیدی  
 تحت عنوان: شبیه سازی و برآوردهای آبدهی رودخانه مارون با استفاده از مدل های اتفاقی و شبکه عصبی  
 مصنوعی

در تاریخ ۱۳۸۹/۴/۱۴ توسط کمیته تخصصی زیر جهت اخذ مدرک کارشناسی ارشد مورد ارزیابی

و با درجه عالی مورد پذیرش قرار گرفت.

امضاء	اساتید مشاور	امضاء	استاد راهنما
	نام و نام خانوادگی : -		نام و نام خانوادگی : دکتر صمد امامقلی زاده
	نام و نام خانوادگی : -		

امضاء	نماینده تحصیلات تكمیلی	امضاء	اساتید داور
	نام و نام خانوادگی : فرج الله فردوست		نام و نام خانوادگی : غلامحسین کرمی
			نام و نام خانوادگی : فضل الله ساغرروانی

## «بِسْمِ اللَّهِ الرَّحْمَنِ الرَّحِيمِ»

خداوند بزرگ را پس می‌کویم که دوازده علم و حکمت را بر بنده کوچکش آنکه کشود و از بیکران علم قدرهای نصیم ساخت تا این لطف و محبت، در

قابل این دیباچه مهیا گردد.

در این راه دور، استادی و معلمی معلمانی بس بزرگوار، هچون چراغی فروزان، روشنگر راه من بود که با شفقت و تدبیر مرافقون کوکی نوا، قدم به قدم

پیش بروند و راه نماینده‌اند. پنج حرف و کلمه‌ای اندازه و مقدار آن را نماد تابه رسم پاس من، به ایشان تقدیم شود. بهین الفاظ اندک و کوچک اکتفا می‌نمایم تا

نامی از ایشان در ابتداء بدهم و پس ای تقدیم؛ که "من لم يكثراً المخلوق، لم يكثراً الخلق" با تمام احترام و ادب نام می‌برم از استاد ارجمند خاکب آقای

دکتر محمد امامی زاده، که در تمام این مدت و در قدم به قدم این راه، در حقیقت بزرگواری نموده و حق استادی را برابر من تمام، هر چند حق سأگردی را بجانبیاروم، نگذر

می‌نمایم از استادی محترم آقایان دکتر غلامحسین کرمی و دکتر غلامعباس کاظمی که در تمام مراحل تحصیل، مرا از تجارت ارزشمند خود بی نصیب نگذاردند، یاد می‌نمایم از

دو اسطوره صبر و شکیلی، مروگذشت "پرورداد عزیزم" که اگر بودیاری بی دیغشان، قاست نتوان من در برابر سختیها و مراتت‌های این راه استوار نمی‌نمایم.

بهچنین شکر می‌نمایم از حضور گرم خواهری که خاصمانه و صمیمانه در تمام مراحل زندگی مرا بهرازی کرده است.

پا سکن زارم از زحمات خاصمانه کارمندان دانشگاه علوم زمین دانشگاه صنعتی شاهرود به خصوص آقای مهندس خالع لیزیاده و خانم مهندس فارسی. به جان

اندازه از همراهی همیشگی دوستان عزیزم، خانم هاجمشیدی، کلیانی، حیدریان، محمدی، دم ثناس، رضایی، المساری و زندی کمال شکر را در ارم.

”حاصل تحقیق پیش رو، شاید جبران کوشش ای از زحماتشان“

تعدیم به:

پرورمادرم،

حامیان همیشگی ام

و

خواهر عزیزم،

آرامش خاطرم.

## چکیده

رودخانه مارون با طول ۴۲۲ کیلومتر یکی از رودخانه های مهم استان خوزستان می باشد. نام اصلی و قدیمی این رودخانه تاب می باشد که از کوههای زاگرس سر چشمه می گیرد که پس از طی ۱۲۰ کیلومتر به دریاچه سد مارون در ۱۹ کیلومتری شمال شرق بهبهان در حوضه آبریز مارون می رسد. با توجه به اهمیت سد مارون در منطقه، در تحقیق حاضر به منظور پیش بینی و برآورد دبی ورودی رودخانه مارون به سد مخزنی روش های اتفاقی (استوکستیک) و شبکه عصبی مصنوعی مورد استفاده قرار گرفت. داده های مورد استفاده شامل دبی، بارش و درجه حرارت سالانه و ماهانه ایستگاه هیدرومتری ایدنک و آمار بارش ماهانه ایستگاه های چم نظام، بهبهان و خیر آباد بودند که از سازمان آب و برق خوزستان جمع آوری شدند. برای مدل سازی دبی به کمک روش های استوکستیکی از نرم افزار SAMS ۲۰۰۷ و به منظور مدل سازی دبی به روش شبکه های عصبی مصنوعی از نرم افزار Qnet ۲۰۰۰ استفاده گردید. در مدل های استوکستیکی آمار دبی ۴۱ سال آبی (سال های ۱۳۴۷-۴۸) ایستگاه هیدرومتری ایدنک به نرم افزار معرفی شد. از میان مدل های استوکستیکی برای داده های سالانه از مدل های اتور گرسیو، اتور گرسیو میانگین متحرک و اتور گرسیو میانگین متحرک همزمان و برای داده های ماهانه مدل های اتور گرسیو میانگین متحرک تناوبی و اتور گرسیو تناوبی چند متغیره به داده ها برازش داده شدند. نتایج مدل سازی نشان می دهد که از میان مدل های مختلف استفاده شده بر روی داده های ایستگاه هیدرومتری ایدنک، مدل (CARMA(۱,۱)، با توجه به معیارهای اطلاعاتی آکائیک و شوارز به عنوان مدل برتر در شبیه سازی و برآورد دبی این ایستگاه می باشد. برای مدل سازی با استفاده از شبکه عصبی مصنوعی سه حالت درنظر گرفته شد: الف- بررسی تأثیر توابع محرک در یادگیری شبکه عصبی مصنوعی، ب- بررسی تأثیر لایه های میانی در یادگیری شبکه عصبی مصنوعی، ج- بررسی تأثیر تعداد داده های ورودی بر روی یادگیری شبکه عصبی مصنوعی. نتایج این تحقیق نشان داد از میان مدل های شبکه عصبی مصنوعی، مدل شبکه عصبی با تابع محرک گوس و تعداد لایه های میانی برابر ۳ با بیشترین ضریب همبستگی در مراحل آموخت و صحت سنجی به ترتیب برابر ۰/۶۳۳ و ۰/۶۱۷ به عنوان مدل برتر در پیش بینی و برآورد دبی رودخانه مارون تشخیص داده شد. در نهایت برای مقایسه شبکه عصبی مصنوعی و مدل استوکستیک داده ها به ۷۰ و ۳۰ درصد به ترتیب برای آموخت و صحت سنجی تقسیم شدند. از آن جایی که از میان مدل های استوکستیک، مدل (CARMA(۱,۱) و از میان مدل های شبکه عصبی، مدل گوس با سه لایه میانی به عنوان مدل برتر انتخاب شدند، داده های تفکیک شده به صورت ۷۰ و ۳۰ درصد به دو مدل فوق الذکر معرفی شدند. نتایج و مقایسه انجام شده نشان می هد مدل شبکه عصبی با داشتن بیشترین ضریب همبستگی و کمترین خطای میانگین مربع ریشه (RMSE) به عنوان مدل برتر برای شبیه سازی و برآورد دبی رودخانه مارون شناخته شد.

**کلمات کلیدی:** مدل های اتفاقی، شبکه عصبی مصنوعی، آبدهی، رودخانه مارون، ایستگاه هیدرومتری ایدنک.

لیست مقالات استخراج شده از این پایان نامه عبارتند از:

- ۱- مدل سازی استوکسیک دبی سالانه رودخانه مارون با استفاده از مدل ARMA، نخستین کنفرانس ملی پژوهش‌های کاربردی منابع آب ایران، شرکت آب منطقه‌ای کرمانشاه، کرمانشاه، ۲۱-۲۳ اردیبهشت ۱۳۸۹.
- ۲- Forecasting Inflow Discharge into Maroon Reservoir with AR Stochastic Model, International symposium on hydraulic physical modeling and field investigation, Nanjing, China, September ۱۳-۱۵ ۲۰۱۰.

## فهرست مطالب

### فصل اول: کلیات تحقیق

۱	- بیان مسأله .....
۲	- اهداف تحقیق .....
۳	۱- معرفی منطقه مورد مطالعه و راههای دسترسی .....
۴	۲- روش انجام تحقیق .....
۵	۳- سازمان بندی پایان نامه .....
۶	۴- سازمان بندی پایان نامه .....

### فصل دوم: مروری بر مطالعات گذشته

۸	۱- مقدمه .....
۹	۲- سابقه مدل سازی استوکستیک .....
۱۶	۳- سابقه استفاده از شبکه‌های عصبی مصنوعی .....
۲۶	۴- سابقه استفاده از نرم افزار SAMS ۲۰۰۷ .....

### فصل سوم: مواد و روش‌ها

۲۸	۱- فرآیند استوکستیک و سری‌های زمانی .....
۲۸	۲- مدل‌های سری‌های زمانی .....
۲۹	۳- مدل سازی سری‌های زمانی .....
۳۰	۴- مبنای فیزیکی مدل سازی سری‌های زمانی در هیدرولوژی .....
۳۱	۵- عملی بودن مدل سازی سری‌های زمانی در هیدرولوژی .....
۳۱	۶- انواع سری‌های هیدرولوژیکی .....
۳۱	۷- سری‌های زمانی .....
۳۲	۸- سری‌های هیدرولوژیکی خطی .....
۳۳	۹- سری‌های شمارشی .....
۳۳	۱۰- مؤلفه‌های سری‌های هیدرولوژیکی .....
۳۳	۱۱- خصوصیات آماری سری‌های زمانی سالانه .....
۳۵	۱۲- خصوصیات سری‌های زمانی دوره‌ای .....
۳۵	۱۳- نرمال کردن متغیرهای سری‌های زمانی .....
۳۶	۱۴- نرمال سازی سری‌های زمانی سالانه .....
۳۷	۱۵- نرمال کردن سری‌های زمانی پریودیک .....
۳۸	۱۶- تست‌های خوبی برازش .....
۳۸	۱۷- آزمون مستقل بودن .....
۳۹	۱۸- تست‌های نرمالیتی .....
۴۰	۱۹- معیار اطلاعاتی آکائیک .....
۴۰	۲۰- مدل سازی اتورگرسیو .....
۴۱	۲۱- توصیف مدل‌های AR .....

۴۵	۲-۱۰-۳- مدل سازی AR با سری های زمانی سالانه .....
۴۸	۳-۱۰-۳- مدل سازی AR با سری های زمانی پریودیک .....
۴۹	۱۱-۳- مدل سازی اتورگرسیو میانگین متحرک .....
۴۹	۱-۱۱-۳- توصیف مدل های اتورگرسیو میانگین متحرک .....
۴۹	۲-۱۱-۳- خصوصیات مدل های اتورگرسیو میانگین متحرک .....
۵۱	۳-۱۱-۳- مدل سازی سری های زمانی سالانه با استفاده از مدل ARMA .....
۵۴	۴-۱۱-۳- مدل سازی سری های زمانی پریودیک با استفاده از مدل ARMA .....
۵۷	۱۲-۳- معرفی نرم افزار SAMS ۲۰۰۷ .....
۵۷	۱-۱۲-۳- مقدمه .....
۵۸	۲-۱۲-۳- کاربردهای نرم افزار SAMS .....
۵۹	۳-۱۲-۳- توصیف نرم افزار SAMS .....
۶۲	۴-۱۲-۳- توابع تبدیل در SAMS .....
۶۳	۵-۱۲-۳- مدل های تک متغیره .....
۶۵	۶-۱۲-۳- مدل های چند متغیره .....
۶۷	۷-۱۲-۳- تست های مدل در نرم افزار SAMS .....
۶۷	۸-۱۲-۳- تست های نرمالیتی در SAMS .....
۶۸	۱۳-۳- معنای شبکه های عصبی .....
۷۰	۱-۱۳-۳- مدل نرون .....
۷۰	۲-۱۳-۳- مدل تک ورودی .....
۷۱	۳-۱۳-۳- مدل چند ورودی .....
۷۲	۴-۱۳-۳- توابع محرک .....
۷۵	۵-۱۳-۳- ساختار شبکه های عصبی .....
۷۷	۶-۱۳-۳- معرفی سه شبکه عصبی ساده .....
۸۱	۷-۱۳-۳- فرآیند یادگیری .....
۸۲	۱۴-۳- معرفی نرم افزار Qnet ۲۰۰۰ .....
۸۲	۱-۱۴-۳- Qnet ۲۰۰۰ .....
۸۳	۲-۱۴-۳- اجرا و سازمان دهی .....
۸۳	۳-۱۴-۳- توابع انتقال مورد استفاده در Qnet ۲۰۰۰ .....
۸۵	۴-۱۴-۳- داده های آموزش .....

#### فصل چهارم: نتایج حاصل از مدل ها

۸۸	۱-۴- مقدمه .....
۸۸	۲-۴- نتایج حاصل از مدل سازی استوکستیک برای پیش بینی دبی رودخانه مارون .....
۸۸	۱-۲-۴- داده های سالانه .....
۱۰۲	۲-۲-۴- داده های ماهانه .....
۱۵۱	۳-۲-۴- انتخاب بهترین مدل استوکستیک از میان مدل های برآش داده شده .....
۱۵۲	۴-۳- نتایج حاصل از مدل سازی شبکه عصبی مصنوعی برای پیش بینی دبی رودخانه مارون .....
۱۶۳	۴-۱-۳-۴- انتخاب بهترین مدل شبکه عصبی مصنوعی .....

۴-۴- مقایسه مدل‌های استوکستیک و شبکه عصبی مصنوعی و انتخاب بهترین مدل.	۱۶۵
۱-۵- نتایج	۱۷۰
۱-۱-۱- مدل استوکستیک	۱۷۰
۲-۱-۵- مدل شبکه عصبی مصنوعی	۱۷۳
۲-۵- مقایسه مدل استوکستیک و شبکه عصبی مصنوعی	۱۷۶
۳-۵- پیشنهادها	۱۷۶
منابع	۱۷۷

## فهرست شکل‌ها

### فصل اول

شکل ۱-۱- منطقه مورد مطالعه و راههای ارتباطی آن.....	۵
---	---

### فصل سوم

شکل ۳-۱- مدل نرون تک ورودی.....	۷۰
شکل ۳-۲- مدل چند ورودی یک نرون.....	۷۱
شکل ۳-۳- فرم ساده شده نرون با R ورودی.....	۷۲
شکل ۴-۳- تابع محرک خطی.....	۷۳
شکل ۴-۵- تابع محرک آستانه‌ای دو مقداره حدی.....	۷۴
شکل ۴-۶- تابع محرک سیگموئید.....	۷۴
شکل ۷-۳- شبکه تک لایه با S نرون.....	۷۵
شکل ۸-۳- شبکه پیش خور دو لایه .....	۷۶
شکل ۹-۳- طراحی توپولوژی شبکه‌های عصبی مصنوعی .....	۷۷
شکل ۱۰-۳- پرسپترون تک لایه.....	۷۸
شکل ۱۱-۳- جدا سازی الگو .....	۷۸
شکل ۱۲-۳- نرون با تابع تبدیل دو مقداره متقارن.....	۷۹
شکل ۱۳-۳- شبکه همینگ .....	۸۰
شکل ۱۴-۳- شبکه هاپفیلد گسسته.....	۸۱
شکل ۱۵-۳- توابع انتقال سیگموئید، گوس، تانژانت و سکانت هیپربولیک سیگنال خروجی تولید شده از هر گره را نرمال می‌کنند.....	۸۴

### فصل چهارم

شکل ۴-۱- سری زمانی سالانه دبی ایستگاه هیدرومتری ایدنک .....	۸۸
شکل ۴-۲- تابع خود همبستگی سری زمانی اولیه داده‌های دبی سالانه ایستگاه ایدنک با استفاده از نرم افزار SAMS .....	۲۰۰۷
شکل ۴-۳- تابع خود همبستگی جزئی سری زمانی اولیه داده‌های دبی سالانه ایستگاه ایدنک با استفاده از نرم افزار SAMS .....	۲۰۰۷
شکل ۴-۴- توزیع فراوانی سری زمانی داده‌های دبی سالانه قبل از تبدیل سری اولیه به نرمال .....	۹۱
شکل ۴-۵- توزیع فراوانی سری زمانی داده‌های دبی سالانه بعد از اعمال تبدیل لگاریتمی .....	۹۲
شکل ۴-۶- مقایسه تابع خود همبستگی سری تولید شده با سری اولیه برای مدل (۱) AR(۱) .....	۹۴
شکل ۴-۷- مقایسه سری تولید شده و سری اولیه برای مدل (۱) AR(۱) .....	۹۵
شکل ۴-۸- مقایسه تابع خود همبستگی سری تولید شده با سری اولیه برای مدل ARMA(۱,۲) .....	۹۷
شکل ۴-۹- مقایسه سری تولید شده و سری اولیه برای مدل ARMA(۱,۲) .....	۹۷
شکل ۴-۱۰- مقایسه تابع خود همبستگی سری تولید شده با سری اولیه برای مدل (۱,۱) CARMA(۱,۱) .....	۱۰۱
شکل ۴-۱۱- مقایسه سری تولید شده و سری اولیه برای مدل (۱,۱) CARMA(۱,۱) .....	۱۰۱

شکل ۱۲-۴- سری زمانی ماهانه دبی ایستگاه هیدرومتری ایدنک واقع بر رودخانه مارون برای سال‌های آبی ۱۳۴۷-۴۸	تا ۱۳۸۷-۸۸
	۱۰۵.....
شکل ۱۳-۴- تابع خود همبستگی سری کلی ماهانه داده‌های ایستگاه هیدرومتری ایدنک	۱۰۶.....
شکل ۱۴-۴- تابع خود همبستگی مهرهای ایستگاه هیدرومتری ایدنک با استفاده از نرم افزار SAMS ۲۰۰۷	۱۰۷.....
شکل ۱۵-۴- تابع خود همبستگی آبان‌های ایستگاه هیدرومتری ایدنک با استفاده از نرم افزار SAMS ۲۰۰۷	۱۰۷.....
شکل ۱۶-۴- تابع خود همبستگی آذرهای ایستگاه هیدرومتری ایدنک با استفاده از نرم افزار SAMS ۲۰۰۷	۱۰۸.....
شکل ۱۷-۴- تابع خود همبستگی دی‌های ایستگاه هیدرومتری ایدنک با استفاده از نرم افزار SAMS ۲۰۰۷	۱۰۸.....
شکل ۱۸-۴- تابع خود همبستگی بهمن‌های ایستگاه هیدرومتری ایدنک با استفاده از نرم افزار SAMS ۲۰۰۷	۱۰۸.....
شکل ۱۹-۴- تابع خود همبستگی اسفندهای ایستگاه هیدرومتری ایدنک با استفاده از نرم افزار SAMS ۲۰۰۷	۱۰۸...
شکل ۲۰-۴- تابع خود همبستگی فروردین‌های ایستگاه هیدرومتری ایدنک با استفاده از نرم افزار SAMS ۲۰۰۷	۱۰۹.....
شکل ۲۱-۴- تابع خود همبستگی اردیبهشت‌های ایستگاه ایدنک با استفاده از نرم افزار SAMS ۲۰۰۷	۱۰۹.....
شکل ۲۲-۴- تابع خود همبستگی خردادهای ایستگاه هیدرومتری ایدنک با استفاده از نرم افزار SAMS ۲۰۰۷	۱۰۹...
شکل ۲۳-۴- تابع خود همبستگی تیرهای ایستگاه هیدرومتری ایدنک با استفاده از نرم افزار SAMS ۲۰۰۷	۱۱۰.....
شکل ۲۴-۴- تابع خود همبستگی مردادهای ایستگاه هیدرومتری ایدنک با استفاده از نرم افزار SAMS ۲۰۰۷	۱۱۰....
شکل ۲۵-۴- تابع خود همبستگی شهریورهای ایستگاه ایدنک با استفاده از نرم افزار SAMS ۲۰۰۷	۱۱۰.....
شکل ۲۶-۴- تابع خود همبستگی جزئی سری کلی ماهانه داده‌های ایستگاه هیدرومتری ایدنک	۱۱۱.....
شکل ۲۷-۴- تابع خود همبستگی جزئی مهرهای ایستگاه ایدنک با استفاده از نرم افزار SAMS ۲۰۰۷	۱۱۳.....
شکل ۲۸-۴- تابع خود همبستگی جزئی آبان‌های ایستگاه ایدنک با استفاده از نرم افزار SAMS ۲۰۰۷	۱۱۳.....
شکل ۲۹-۴- تابع خود همبستگی جزئی آذرهای ایستگاه ایدنک با استفاده از نرم افزار SAMS ۲۰۰۷	۱۱۳.....
شکل ۳۰-۴- تابع خود همبستگی جزئی دی‌های ایستگاه ایدنک با استفاده از نرم افزار SAMS ۲۰۰۷	۱۱۴.....
شکل ۳۱-۴- تابع خود همبستگی جزئی اسفندهای ایستگاه ایدنک با استفاده از نرم افزار SAMS ۲۰۰۷	۱۱۴.....
شکل ۳۲-۴- تابع خود همبستگی جزئی فروردین‌های ایستگاه ایدنک با استفاده از نرم افزار SAMS ۲۰۰۷	۱۱۴.....
شکل ۳۳-۴- تابع خود همبستگی جزئی شهریورهای ایستگاه ایدنک با استفاده از نرم افزار SAMS ۲۰۰۷	۱۱۵.....
شکل ۳۴-۴- تابع خود همبستگی جزئی اردیبهشت‌های ایستگاه ایدنک با استفاده از نرم افزار SAMS ۲۰۰۷	۱۱۵.....
شکل ۳۵-۴- تابع خود همبستگی جزئی خردادهای ایستگاه ایدنک با استفاده از نرم افزار SAMS ۲۰۰۷	۱۱۵.....
شکل ۳۶-۴- تابع خود همبستگی جزئی تیرهای ایستگاه ایدنک با استفاده از نرم افزار SAMS ۲۰۰۷	۱۱۵.....
شکل ۳۷-۴- تابع خود همبستگی جزئی مردادهای ایستگاه ایدنک با استفاده از نرم افزار SAMS ۲۰۰۷	۱۱۶.....
شکل ۳۸-۴- تابع خود همبستگی جزئی شهریورهای ایستگاه ایدنک با استفاده از نرم افزار SAMS ۲۰۰۷	۱۱۶.....
شکل ۳۹-۴- توزیع فراوانی سری زمانی داده‌های دبی مهر ماه قبل از تبدیل سری اولیه به نرمال	۱۱۷.....
شکل ۴۰-۴- توزیع فراوانی سری زمانی داده‌های دبی آبان ماه قبل از تبدیل سری اولیه به نرمال	۱۱۸.....
شکل ۴۱-۴- توزیع فراوانی سری زمانی داده‌های دبی آذر ماه قبل از تبدیل سری اولیه به نرمال	۱۱۸.....
شکل ۴۲-۴- توزیع فراوانی سری زمانی داده‌های دبی دی ماه قبل از تبدیل سری اولیه به نرمال	۱۱۸.....
شکل ۴۳-۴- توزیع فراوانی سری زمانی داده‌های دبی بهمن ماه قبل از تبدیل سری اولیه به نرمال	۱۱۸.....
شکل ۴۴-۴- توزیع فراوانی سری زمانی داده‌های دبی اسفند ماه قبل از تبدیل سری اولیه به نرمال	۱۱۹.....
شکل ۴۵-۴- توزیع فراوانی سری زمانی داده‌های دبی فروردین ماه قبل از تبدیل سری اولیه به نرمال	۱۱۹.....
شکل ۴۶-۴- توزیع فراوانی سری زمانی داده‌های دبی اردیبهشت ماه قبل از تبدیل سری اولیه به نرمال	۱۱۹.....
شکل ۴۷-۴- توزیع فراوانی سری زمانی داده‌های دبی خرداد ماه قبل از تبدیل سری اولیه به نرمال	۱۱۹.....
شکل ۴۸-۴- توزیع فراوانی سری زمانی داده‌های دبی تیر ماه قبل از تبدیل سری اولیه به نرمال	۱۲۰.....

شكل ۴-۴۹-۴- توزیع فراوانی سری زمانی داده‌های دی مداد ماه قبل از تبدیل سری اولیه به نرمال	۱۲۰
شكل ۴-۵۰-۴- توزیع فراوانی سری زمانی داده‌های دی شهریور ماه قبل از تبدیل سری اولیه به نرمال	۱۲۰
شكل ۴-۵۱-۴- توزیع فراوانی سری زمانی داده‌های دی مهر ماه بعد از اعمال تبدیل لگاریتمی	۱۲۱
شكل ۴-۵۲-۴- توزیع فراوانی سری زمانی داده‌های دی آبان ماه بعد از اعمال تبدیل لگاریتمی	۱۲۱
شكل ۴-۵۳-۴- توزیع فراوانی سری زمانی داده‌های دی آذر ماه بعد از اعمال تبدیل لگاریتمی	۱۲۲
شكل ۴-۵۴-۴- توزیع فراوانی سری زمانی داده‌های دی دی ماه بعد از اعمال تبدیل لگاریتمی	۱۲۲
شكل ۴-۵۵-۴- توزیع فراوانی سری زمانی داده‌های دی بهمن ماه بعد از اعمال تبدیل لگاریتمی	۱۲۲
شكل ۴-۵۶-۴- توزیع فراوانی سری زمانی داده‌های دی اسفند ماه بعد از اعمال تبدیل لگاریتمی	۱۲۲
شكل ۴-۵۷-۴- توزیع فراوانی سری زمانی داده‌های دی فروردین ماه بعد از اعمال تبدیل لگاریتمی	۱۲۳
شكل ۴-۵۸-۴- توزیع فراوانی سری زمانی داده‌های دی اردیبهشت ماه بعد از اعمال تبدیل لگاریتمی	۱۲۳
شكل ۴-۵۹-۴- توزیع فراوانی سری زمانی داده‌های دی خرداد ماه بعد از اعمال تبدیل لگاریتمی	۱۲۳
شكل ۴-۶۰-۴- توزیع فراوانی سری زمانی داده‌های دی تیر ماه بعد از اعمال تبدیل لگاریتمی	۱۲۳
شكل ۴-۶۱-۴- توزیع فراوانی سری زمانی داده‌های دی مداد ماه بعد از اعمال تبدیل لگاریتمی	۱۲۴
شكل ۴-۶۲-۴- توزیع فراوانی سری زمانی داده‌های دی شهریور ماه بعد از اعمال تبدیل لگاریتمی	۱۲۴
شكل ۴-۶۳-۴- مقایسه تابع خود همبستگی سری تولید شده با سری اولیه آبان ماه برای مدل PARMA(1,۲)	۱۲۹
شكل ۴-۶۴-۴- مقایسه تابع خود همبستگی سری تولید شده با سری اولیه آذر ماه برای مدل PARMA(1,۲)	۱۲۹
شكل ۴-۶۵-۴- مقایسه تابع خود همبستگی سری تولید شده با سری اولیه آذر ماه برای مدل PARMA(1,۲)	۱۳۰
شكل ۴-۶۶-۴- مقایسه تابع خود همبستگی سری تولید شده با سری اولیه دی ماه برای مدل PARMA(1,۲)	۱۳۰
شكل ۴-۶۷-۴- مقایسه تابع خود همبستگی سری تولید شده با سری اولیه بهمن ماه برای مدل PARMA(1,۲)	۱۳۰
شكل ۴-۶۸-۴- مقایسه تابع خود همبستگی سری تولید شده با سری اولیه اسفند ماه برای مدل PARMA(1,۲)	۱۳۰
شكل ۴-۶۹-۴- مقایسه تابع خود همبستگی سری تولید شده با سری اولیه فروردین برای مدل PARMA(1,۲)	۱۳۱
شكل ۴-۷۰-۴- مقایسه تابع خود همبستگی سری تولید شده با سری اولیه اردیبهشت برای مدل PARMA(1,۲)	۱۳۱
شكل ۴-۷۱-۴- مقایسه تابع خود همبستگی سری تولید شده با سری اولیه خرداد ماه برای مدل PARMA(1,۲)	۱۳۱
شكل ۴-۷۲-۴- مقایسه تابع خود همبستگی سری تولید شده با سری اولیه تیر ماه برای مدل PARMA(1,۲)	۱۳۱
شكل ۴-۷۳-۴- مقایسه تابع خود همبستگی سری تولید شده با سری اولیه مداد ماه برای مدل PARMA(1,۲)	۱۳۲
شكل ۴-۷۴-۴- مقایسه تابع خود همبستگی سری تولید شده با سری اولیه مداد ماه برای مدل PARMA(1,۲)	۱۳۲
شكل ۴-۷۵-۴- مقایسه سری تولید شده توسط مدل PARMA(1,۲) با سری اولیه مهر ماه	۱۳۵
شكل ۴-۷۶-۴- مقایسه سری تولید شده توسط مدل PARMA(1,۲) با سری اولیه آبان ماه	۱۳۵
شكل ۴-۷۷-۴- مقایسه سری تولید شده توسط مدل PARMA(1,۲) با سری اولیه آذر ماه	۱۳۵
شكل ۴-۷۸-۴- مقایسه سری تولید شده توسط مدل PARMA(1,۲) با سری اولیه دی ماه	۱۳۵
شكل ۴-۷۹-۴- مقایسه سری تولید شده توسط مدل PARMA(1,۲) با سری اولیه بهمن ماه	۱۳۶
شكل ۴-۸۰-۴- مقایسه سری تولید شده توسط مدل PARMA(1,۲) با سری اولیه اسفند ماه	۱۳۶
شكل ۴-۸۱-۴- مقایسه سری تولید شده توسط مدل PARMA(1,۲) با سری اولیه فروردین ماه	۱۳۶
شكل ۴-۸۲-۴- مقایسه سری تولید شده توسط مدل PARMA(1,۲) با سری اولیه اردیبهشت ماه	۱۳۶
شكل ۴-۸۳-۴- مقایسه سری تولید شده توسط مدل PARMA(1,۲) با سری اولیه خرداد ماه	۱۳۷
شكل ۴-۸۴-۴- مقایسه سری تولید شده توسط مدل PARMA(1,۲) با سری اولیه تیر ماه	۱۳۷
شكل ۴-۸۵-۴- مقایسه سری تولید شده توسط مدل PARMA(1,۲) با سری اولیه مداد ماه	۱۳۷
شكل ۴-۸۶-۴- مقایسه سری تولید شده توسط مدل PARMA(1,۲) با سری اولیه شهریور ماه	۱۳۷

شکل ۸۷-۴- مقایسه تابع خود همبستگی سری تولید شده با سری اولیه مهر ماه برای مدل (۱).....	۱۴۳
شکل ۸۸-۴- مقایسه تابع خود همبستگی سری تولید شده با سری اولیه آبان ماه برای مدل (۱).....	۱۴۳
شکل ۸۹-۴- مقایسه تابع خود همبستگی سری تولید شده با سری اولیه آذر ماه برای مدل (۱).....	۱۴۳
شکل ۹۰-۴- مقایسه تابع خود همبستگی سری تولید شده با سری اولیه دی ماه برای مدل (۱).....	۱۴۳
شکل ۹۱-۴- مقایسه تابع خود همبستگی سری تولید شده با سری اولیه بهمن ماه برای مدل (۱).....	۱۴۴
شکل ۹۲-۴- مقایسه تابع خود همبستگی سری تولید شده با سری اولیه اسفند ماه برای مدل (۱).....	۱۴۴
شکل ۹۳-۴- مقایسه تابع خود همبستگی سری تولید شده با سری اولیه فروردین ماه برای مدل (۱).....	۱۴۴
شکل ۹۴-۴- مقایسه تابع خود همبستگی سری تولید شده با سری اولیه اردیبهشت ماه برای مدل (۱).....	۱۴۴
شکل ۹۵-۴- مقایسه تابع خود همبستگی سری تولید شده با سری اولیه خرداد ماه برای مدل (۱).....	۱۴۵
شکل ۹۶-۴- مقایسه تابع خود همبستگی سری تولید شده با سری اولیه تیر ماه برای مدل (۱).....	۱۴۵
شکل ۹۷-۴- مقایسه تابع خود همبستگی سری تولید شده با سری اولیه مرداد ماه برای مدل (۱).....	۱۴۵
شکل ۹۸-۴- مقایسه تابع خود همبستگی سری تولید شده با سری اولیه مرداد ماه برای مدل (۱).....	۱۴۵
شکل ۹۹-۴- مقایسه سری تولید شده توسط مدل (۱) با سری اولیه مهر ماه.....	۱۴۸
شکل ۱۰۰-۴- مقایسه سری تولید شده توسط مدل (۱) با سری اولیه آبان ماه.....	۱۴۸
شکل ۱۰۱-۴- مقایسه سری تولید شده توسط مدل (۱) با سری اولیه آذر ماه.....	۱۴۸
شکل ۱۰۲-۴- مقایسه سری تولید شده توسط مدل (۱) با سری اولیه دی ماه.....	۱۴۸
شکل ۱۰۳-۴- مقایسه سری تولید شده توسط مدل (۱) با سری اولیه بهمن ماه.....	۱۴۹
شکل ۱۰۴-۴- مقایسه سری تولید شده توسط مدل (۱) با سری اولیه اسفند ماه.....	۱۴۹
شکل ۱۰۵-۴- مقایسه سری تولید شده توسط مدل (۱) با سری اولیه فروردین ماه.....	۱۴۹
شکل ۱۰۶-۴- مقایسه سری تولید شده توسط مدل (۱) با سری اولیه اردیبهشت ماه.....	۱۴۹
شکل ۱۰۷-۴- مقایسه سری تولید شده توسط مدل (۱) با سری اولیه خرداد ماه.....	۱۵۰
شکل ۱۰۸-۴- مقایسه سری تولید شده توسط مدل (۱) با سری اولیه تیر ماه.....	۱۵۰
شکل ۱۰۹-۴- مقایسه سری تولید شده توسط مدل (۱) با سری اولیه مرداد ماه.....	۱۵۰
شکل ۱۱۰-۴- مقایسه سری تولید شده توسط مدل (۱) با سری اولیه شهریور ماه.....	۱۵۰
شکل ۱۱۱-۴- سری زمانی داده‌های ماهانه دبی ایستگاه ایدنک (۱۳۸۸-۱۳۶۰).....	۱۵۲
شکل ۱۱۲-۴- سری زمانی داده‌های ماهانه بارش ایستگاه ایدنک (۱۳۸۸-۱۳۶۰).....	۱۵۳
شکل ۱۱۳-۴- سری زمانی داده‌های ماهانه درجه حرارت ایستگاه ایدنک (۱۳۸۸-۱۳۶۰).....	۱۵۳
شکل ۱۱۴-۴- ارتباط بین دبی رودخانه و مقدار بارش برای ایستگاه ایدنک .....	۱۵۴
شکل ۱۱۵-۴- ارتباط بین دبی رودخانه و درجه حرارت برای ایستگاه ایدنک .....	۱۵۵
شکل ۱۱۶-۴- نتایج مربوطه به آموزش مدل در مرحله یادگیری با تابع محرک سکانت هیپربولیک (دبی متر مکعب بر ثانیه) .....	۱۵۵
شکل ۱۱۷-۴- برآش بین داده‌های معرفی شده به مدل و خروجی از آن در مرحله یادگیری با تابع محرک سکانت هیپربولیک .....	۱۵۶
شکل ۱۱۸-۴- مقایسه بین آبدهی معرفی شده به مدل و خروجی از آن در مرحله صحت یابی با تابع محرک سکانت هیپربولیک (دبی متر مکعب بر ثانیه) .....	۱۵۶
شکل ۱۱۹-۴- برآش بین داده‌های معرفی شده به مدل و خروجی از آن در مرحله صحت یابی .....	۱۵۷
شکل ۱۲۰-۴- سری زمانی داده‌های ماهانه دبی ایستگاه ایدنک (۱۳۸۸-۱۳۶۰).....	۱۵۹
شکل ۱۲۱-۴- نتایج مربوطه به آموزش مدل در مرحله یادگیری با تابع محرک گوس .....	۱۶۰

شکل ۴-۱۲۲-۴- برآزش بین داده معرفی شده به مدل و خروجی از آن در مرحله یادگیری با تابع محرک گوس.....	۱۶۰
شکل ۴-۱۲۳-۴- مقایسه آبدھی معرفی شده به مدل و خروجی آن در مرحله صحت یابی با تابع محرک گوس.....	۱۶۱
شکل ۴-۱۲۴-۴- برآزش بین دادههای معرفی شده به مدل و خروجی از آن در مرحله صحت یابی برای تابع محرک گوس .....	۱۶۱
شکل ۴-۱۲۵-۴- آنالیز حساسیت سهم لایههای ورودی در نتایج مدل.....	۱۶۲
شکل ۴-۱۲۶-۴- نتایج مربوطه به آموزش مدل در مرحله یادگیری با تابع محرک گوس با ۳ لایه میانی .....	۱۶۴
شکل ۴-۱۲۷-۴- برآزش بین دادههای معرفی شده به مدل و خروجی از آن در مرحله یادگیری با تابع محرک گوس با ۳ لایه میانی.....	۱۶۴
شکل ۴-۱۲۸-۴- مقایسه بین آبدھی معرفی شده به مدل و خروجی از آن در مرحله صحت یابی برای تابع محرک گوس با ۳ لایه میانی .....	۱۶۵
شکل ۴-۱۲۹-۴- برآزش بین دادههای معرفی شده به مدل و خروجی از آن در مرحله صحت یابی برای تابع محرک گوس با ۳ لایه میانی .....	۱۶۵
شکل ۴-۱۳۰-۴- مقایسه سری تولید شده و سری اولیه برای مدل (۱,۱) CARMA و دادههای ۲۸ ساله.....	۱۶۶
شکل ۴-۱۳۱-۴- برآزش بین دادههای تاریخی و تولید شده ۲۸ ساله و محاسبه ضریب همبستگی.....	۱۶۷
شکل ۴-۱۳۲-۴- برآزش بین دادههای تاریخی و تولید شده ۱۳ ساله و محاسبه ضریب همبستگی.....	۱۶۸

## فهرست جداول

### فصل دوم

جدول ۱-۲- خلاصه‌ای از مدل‌های بازش شده در سری‌های دبی تبدیل یافته ..... ۱۵

### فصل سوم

جدول ۳-۱- فرم‌های مختلف مدل AR ..... ۴۲

جدول ۳-۲- توابع محرک با علائم قراردادی ..... ۷۳

### فصل چهارم

جدول ۴-۱- آمار دبی سالانه ایستگاه هیدرومتری ایدنک واقع بر رودخانه مارون برای سال‌های آبی ۱۳۴۶-۴۷ ..... ۸۹

جدول ۴-۲- تابع خود همبستگی و خود همبستگی جزئی دبی سالانه ایستگاه هیدرومتری ایدنک ..... ۸۹

جدول ۴-۳- خصوصیات آماری پایه سری زمانی دبی سالانه ایستگاه ایدنک ..... ۹۰

جدول ۴-۴- نتایج تست نرمال بودن سری زمانی سالانه دبی قبل از اعمال تبدیل ..... ۹۱

جدول ۴-۵- نتایج تست نرمالیتی سری زمانی سالانه دبی بعد از اعمال تبدیل لگاریتمی ..... ۹۱

جدول ۴-۶- پارامترهای مدل‌های (۱) AR(۲) و AR(۳) ..... ۹۲

جدول ۴-۷- مقایسه خصوصیات آماری پایه سری تولید شده با سری اولیه برای مدل (۱) AR(۱) ..... ۹۳

جدول ۴-۸- مقایسه اطلاعات ذخیره، خشکسالی و سال‌های پر آبی سری تولید شده با سری اولیه برای مدل AR(۱) ..... ۹۳

جدول ۴-۹- مقایسه تابع خود همبستگی سری تولید شده با سری اولیه برای مدل (۱) AR(۱) ..... ۹۳

جدول ۴-۱۰- مقایسه سری تولید شده و سری اولیه برای مدل (۱) AR(۱) ..... ۹۴

جدول ۴-۱۱- پارامترهای مدل‌های (۱,۱) ARMA و ARMA(۱,۲) ..... ۹۵

جدول ۴-۱۲- مقایسه خصوصیات آماری پایه سری تولید شده با سری اولیه برای مدل ARMA(۱,۲) ..... ۹۶

جدول ۴-۱۳- مقایسه اطلاعات ذخیره، خشکسالی و سال‌های پر آبی سری تولید شده با سری اولیه برای مدل ARMA(۱,۲) ..... ۹۶

جدول ۴-۱۴- مقایسه تابع خود همبستگی سری تولید شده با سری اولیه برای مدل (۱,۲) ARMA(۱,۲) ..... ۹۷

جدول ۴-۱۵- مقایسه سری تولید شده و سری اولیه برای مدل (۱,۲) ARMA(۱,۲) ..... ۹۸

جدول ۴-۱۶- پارامترهای مدل‌های (۱,۱), CARMA(۱,۲) و CARMA(۱,۳) ..... ۹۹

جدول ۴-۱۷- مقایسه خصوصیات آماری پایه سری تولید شده با سری اولیه برای مدل (۱,۱) CARMA(۱,۱) ..... ۱۰۰

جدول ۴-۱۸- مقایسه اطلاعات ذخیره، خشکسالی و سال‌های پر آبی سری تولید شده با سری اولیه برای مدل CARMA(۱,۱) ..... ۱۰۰

جدول ۴-۱۹- مقایسه تابع خود همبستگی سری تولید شده با سری اولیه برای مدل (۱,۱) CARMA(۱,۱) ..... ۱۰۰

جدول ۴-۲۰- مقایسه سری تولید شده و سری اولیه برای مدل CARMA(۱,۱) ..... ۱۰۲

جدول ۴-۲۱- آمار دبی ماهانه ایستگاه هیدرومتری ایدنک واقع بر رودخانه مارون برای سال‌های آبی ۱۳۴۷-۴۸ تا ۱۳۸۷-۸۸ (متر مکعب بر ثانیه) ..... ۱۰۳

جدول ۴-۲۲-	تابع خود همبستگی سری ماهانه داده‌های ایستگاه هیدرومتری ایدنک	۱۰۵
جدول ۴-۲۳-	تابع خود همبستگی سری ماهانه به صورت ماه به ماه	۱۰۶
جدول ۴-۲۴-	تابع خود همبستگی جزئی سری کلی ماهانه داده‌های ایستگاه هیدرومتری ایدنک	۱۱۱
جدول ۴-۲۵-	تابع خود همبستگی جزئی سری ماهانه به صورت ماه به ماه	۱۱۱
جدول ۴-۲۶-	خصوصیات آماری پایه سری زمانی دبی ماهانه ایستگاه ایدنک	۱۱۶
جدول ۴-۲۷-	نتایج تست نرمال بودن سری زمانی ماهانه دبی قبل از اعمال تبدیل	۱۱۷
جدول ۴-۲۸-	نتایج تست نرمال بودن سری زمانی ماهانه دبی بعد از اعمال تبدیل لگاریتمی	۱۲۱
جدول ۴-۲۹-	پارامترهای مدل PARMA برای داده‌های ماهانه ایستگاه هیدرومتری ایدنک	۱۲۵
جدول ۴-۳۰-	پارامترهای مدل PARMA(۱,۲) برای داده‌های ماهانه ایستگاه هیدرومتری ایدنک	۱۲۵
جدول ۴-۳۱-	پارامترهای مدل PARMA(۱,۳) برای داده‌های ماهانه ایستگاه هیدرومتری ایدنک	۱۲۶
جدول ۴-۳۲-	مقایسه خصوصیات آماری پایه سری تولید شده با سری اولیه برای داده‌های ماهانه و مدل PARMA(۱,۲)	۱۲۷
جدول ۴-۳۳-	مقایسه اطلاعات ذخیره، خشکسالی و سالهای پر آبی سری تولید شده با سری اولیه برای مدل PARMA(۱,۲)	۱۲۷
جدول ۴-۳۴-	تابع خود همبستگی سری ماهانه تولید شده به صورت ماه به ماه برای مدل PARMA(۱,۲)	۱۲۸
جدول ۴-۳۵-	آمار دبی ماهانه تولید شده ایستگاه هیدرومتری ایدنک توسط مدل PARMA(۱,۲) (متر مکعب بر ثانیه)	۱۳۳
جدول ۴-۳۶-	پارامترهای مدل MPAR(۱) برای داده‌های ماهانه ایستگاه هیدرومتری ایدنک	۱۳۸
جدول ۴-۳۷-	پارامترهای مدل MPAR(۲) برای داده‌های ماهانه ایستگاه هیدرومتری ایدنک	۱۳۹
جدول ۴-۳۸-	پارامترهای مدل MPAR(۳) برای داده‌های ماهانه ایستگاه هیدرومتری ایدنک	۱۳۹
جدول ۴-۳۹-	مقایسه خصوصیات آماری پایه سری تولید شده با سری اولیه برای داده‌های ماهانه و مدل MPAR(۱)	۱۴۰
جدول ۴-۴۰-	مقایسه اطلاعات ذخیره، خشکسالی و سالهای پر آبی سری تولید شده با سری اولیه برای مدل MPAR(۱)	۱۴۱
جدول ۴-۴۱-	تابع خود همبستگی سری ماهانه تولید شده به صورت ماه به ماه برای مدل MPAR(۱)	۱۴۲
جدول ۴-۴۲-	آمار دبی ماهانه تولید شده ایستگاه هیدرومتری ایدنک توسط مدل MPAR(۱) (متر مکعب بر ثانیه)	۱۴۶
جدول ۴-۴۳-	انتخاب بهترین مدل استوکستیک از میان مدل‌های برازش داده شده به داده‌های سالانه و ماهانه	۱۵۱
جدول ۴-۴۴-	نتایج حاصل از اجرای مدل با تابع‌های مختلف برای داده‌های ورودی بارش و دما	۱۵۵
جدول ۴-۴۵-	نتایج حاصل از اجرای مدل با تابع سکانت هیپربولیک برای داده‌های ورودی بارش و دما	۱۵۸
جدول ۴-۴۶-	نتایج حاصل از اجرای مدل با تابع‌های مختلف برای داده‌های ورودی بارش ایستگاه‌های مختلف	۱۵۹
جدول ۴-۴۷-	نتایج حاصل از اجرای مدل با تابع گوس برای داده‌های ورودی بارش ایستگاه‌های مختلف	۱۶۳
جدول ۴-۴۸-	انتخاب بهترین مدل شبکه عصبی مصنوعی	۱۶۴
جدول ۴-۴۹-	پارامترهای مدل‌های CARMA(۱,۱)، CARMA(۱,۲) و CARMA(۱,۳) برای داده‌های ساله ایستگاه ایدنک	۱۶۶
جدول ۴-۵۰-	مقایسه سری تولید شده و سری اولیه برای مدل CARMA(۱,۱) و داده‌های ۲۸ ساله	۱۶۷
جدول ۴-۵۱-	مقایسه مدل‌های انتخابی استوکستیک و شبکه عصبی مصنوعی	۱۶۸

**فصل اول**

**کلیات تحقیق**

## ۱-۱- بیان مسئله

در مقیاس جهانی بیش از دو سوم سطح کره زمین از آب پوشانده شده است و حجم کل آب‌های این کره  $1/4$  میلیارد متر مکعب برآورد می‌شود. از این حجم آب تنها  $2/5\%$  یعنی  $0/035$  میلیارد متر مکعب آن آب شیرین می‌باشد.  $69\%$  از این مقدار آب شیرین در یخچال‌ها و ذخائر دائمی برف،  $9/0\%$  آن رطوبت و یخ درون خاک و آب باطلقهای بوده و  $1/30\%$  بقیه آن شامل آب‌های زیر زمینی و آب شیرین رودخانه‌ها و دریاچه‌های آب شیرین می‌باشد. بنابراین به راحتی می‌توان دریافت که سهم بسیار کمی از کل آب‌های کره زمین آب شیرین می‌باشد.

میهن ما، ایران نیز با متوسط بارندگی  $250$  میلیمتر در سال که کمتر از یک سوم متوسط بارندگی سالانه جهان است یکی از مناطق خشک جهان بوده و کمبود و نبود آب مشکلات عدیدهای را خصوصاً در نواحی مرکزی، شرقی و جنوب شرقی ایجاد نموده است. از طرفی توزیع ناهمنگن مکانی و زمانی بارندگی در سطح کشور و ایجاد تنوع آب و هوایی هر از چند گاهی در برخی نقاط باعث وقوع سیلاب-های بزرگ می‌گردد که از بابت خسارت جانی و مالی، قابل توجه و تأمل است. از این رو تخمین و پیش‌بینی زمان و مقدار سیل و مهار آب‌های سطحی از اهمیت خاصی برخوردار است و پژوهشگران را بر آن داشته تا با کمک علوم مختلف در صدد رفع این نیاز برآیند.

در این راستا می‌توان دستیابی به روش‌های مختلف برآورد سیل و تناوب زمان وقوع آن را نام برد که با فناوری‌های جدید و توسعه علوم کامپیوتری، مدل‌های هیدرولیکی و هیدرولوژیکی مختلفی معرفی و با آزمایش‌های متعدد، کارایی آن‌ها به اثبات و تأیید رسیده است. از این رو مطالعات کمی و کیفی منابع آب و مدیریت دقیق توسعه و بهره برداری از این منابع حیاتی از اهمیت خاصی برخوردار است. تکنیک‌ها و روش‌های متعددی پیش روی برنامه ریزان است. روش‌های استوکستیک<sup>۱</sup>، که اساس آن‌ها بر تشکیل سری‌های زمانی استوار است یکی از این تکنیک‌های است. روش استوکستیک سعی بر آن است تا اطلاعات مفیدی در مورد رفتار استفاده واقع شده است. در روش استوکستیک سعی بر آن است تا اطلاعات مفیدی در مورد رفتار

<sup>۱</sup>- Stochastic methods

طبیعی سیستم‌های ناهمگن با در نظر گرفتن متغیرهای موجود در سیستم به عنوان فرآیندهای تصادفی به دست آوریم. از مدل‌های استوکستیکی می‌توان به عنوان یک ابزار مدیریتی، جهت پیش‌بینی مقادیر آتی فرآیندهای هیدرولوژیکی و هیدروژئولوژیکی استفاده کرد. با توجه به کاربرد فراوان سری‌های زمانی هیدرولوژیکی نظیر تبخیر، دبی چشممه‌ها و نظایر آن در مطالعات و برنامه‌ریزی‌های مدیریتی در بسیاری از علوم نظیر کشاورزی، هیدرولوژی، هیدروژئولوژی در مناطقی که با کمبود داده‌های تاریخی از این سری‌ها مواجه‌ایم، استفاده از این مدل‌ها بسیار مفید و ارزشمند می‌باشد.

اما روشی که در سال‌های اخیر مورد توجه مهندسین هیدرولوژی قرار گرفته است، استفاده از روش شبکه‌های عصبی مصنوعی می‌باشد که در این پایان نامه مورد استفاده قرار گرفته است. استفاده از این روش در حال حاضر به نحو گسترده‌ای در کلیه شاخه‌های علوم مهندسی از جمله مهندسی آب کاربرد زیاد دارد. شبکه عصبی مصنوعی نوعی پردازشگر اطلاعات است که در آن سعی می‌شود با معرفی درصدی از داده‌های ورودی به آن، مدل آموزش دیده و سپس نحوه عملکرد سیستم در حافظه آن ذخیره شده و در نهایت از مابقی داده‌ها برای سنجش قدرت یادگیری مدل و یا به عبارت دیگر سنجش صحت کار مدل استفاده می‌گردد. پس از آموزش مدل و اطمینان از صحت کار آن، مدل برای مواردی که قبلًاً با آن مواجه نشده است استفاده می‌گردد.

## ۲-۱- اهداف تحقیق

در این تحقیق سعی بر این است که با استفاده از داده‌های ایستگاه هیدرومتری ایدنک واقع بر روی رودخانه مارون، مقدار دبی با استفاده از روش‌های استوکستیک و شبکه عصبی پیش‌بینی شود و سپس بهترین مدل انتخاب گردد. در این راستا از دو نرم افزار قدرتمند ۲۰۰۷ SAMS و Qnet ۲۰۰۰ به ترتیب برای مدل سازی دبی به روش استوکستیک و شبکه‌های عصبی مصنوعی بهره گرفته شده است.

به منظور مدل سازی دبی به روش استوکستیک، تمامی داده‌های ماهانه و سالانه دبی در دسترس به نرم افزار SAMS ۲۰۰۷ معرفی گردیدند، اما در استفاده از شبکه‌های عصبی مصنوعی برای پیش‌بینی دبی، از آمار دبی، بارش و دما برای سال‌های آبی مشترک استفاده شد. سپس نتایج حاصل از این دو روش با استفاده از معیارهای آماری با هم مقایسه گردیدند.

### ۳-۱- معرفی منطقه مورد مطالعه و راه‌های دسترسی

مارون یکی از رودخانه‌های جنوب غربی ایران با طول ۴۲۲ کیلومتر می‌باشد که در سرحد جغرافیایی استان‌های فارس و خوزستان قرار دارد و امروز از میانه خاک کهگیلویه و سپس بهبهان می‌گذرد. نام اصلی و قدیمی رودخانه مارون، تاب است و از کوه‌های نیل و چشمہ سارهای دامنه کوه‌های سادات از زاگرس سرچشمہ گرفته و پس از طی مسافت ۱۲۰ کیلومتر به دریاچه سد مارون در ۱۹ کیلومتری شمال شرق بهبهان در حوضه آبریز رودخانه مارون (محددوده بهبهان و جنوب شرق محدوده جایزان) با مساحت ۱۵۷۴/۵ کیلومترمربع می‌رسد (سلطانی، ۱۳۸۱) و از طریق تنگ تکاب وارد دشت بهبهان می‌شود و توسط سد انحرافی شهدا و شبکه آبیاری بهبهان، دشت بهبهان و سپس از طریق سد انحرافی جایزان، دشت جایزان را مشروب و در محلی به نام قلعه شیخ، پس از دریافت رود اعلا رامهرمز، نام جراحی به خود گرفته و به هور شادگان می‌ریزد. این رود در موقع پر آبی از طریق خور موسی وارد خلیج فارس می‌شود. متوسط بارندگی شهرهای اطراف رودخانه مارون مثل بهبهان و سوق حدود ۴۰۰ میلیمتر می‌باشد. آب رودخانه مارون که در بالا دست از کیفیت بسیار خوبی برخوردار است، در قسمت‌های پایین دست، به خصوص از ایستگاه هیدرومتری ایدنک (در نزدیکی روستای لنده) به بعد و تا قبل از ورود به دشت بهبهان، به واسطه عبور از لایه‌های گچی و نمکی، دریافت شاخه‌های شور، و پس از آن، به علت گرما و تبخیر زیاد، کیفیت نامطلوبی پیدا می‌کند. البته علی رغم متفاوت بودن کیفیت آب، رود مارون نقشی اساسی در پیدایش حیات جوامع روستایی در حاشیه خود به عهده دارد و همچنین باعث به وجود آمدن شهرهای نسبتاً بزرگی مانند بهبهان،

رامشیر و شادگان در مسیر خود شده است. این رودخانه از طریق جاده معروف به کارخانه سیمان به راحتی قابل دسترسی است. منطقه مورد مطالعه ما بین عرض‌های  $۳۰^{\circ} ۰' ۰''$  و  $۳۱^{\circ} ۰' ۰''$  و طول‌های  $۴۹^{\circ} ۵۰' ۰''$  و  $۵۲^{\circ} ۵۰' ۰''$  قرار دارد و در شکل (۱-۱) قابل مشاهده است.



شکل ۱-۱- منطقه مورد مطالعه و راههای ارتباطی آن

#### ۴-۱- روش انجام تحقیق

روش انجام تحقیق، شامل بررسی مطالعات قبلی انجام شده در منطقه و دیگر نقاط جهان در ارتباط با موضوع تحقیق، تعیین ایستگاه هیدرومتری بر روی رودخانه مورد نظر، دریافت داده‌های خام دبی، بارش و دمای روزانه ایستگاه هیدرومتری ایدنک و همچنین بارش‌های روزانه ایستگاه‌های اطراف

به نامهای چم نظام، بهبهان و خیر آباد از امور آب استان خوزستان، پردازش و تجزیه و تحلیل داده‌ها، انجام مدل سازی‌های مورد نظر روی داده‌ها، جمع بندی اطلاعات و ارائه نتایج به دست آمده می‌باشد.

## ۱-۵- سازمان بندی پایان نامه

چگونگی انجام و نتایج این تحقیق در ۵ فصل سازمان بندی گردیده که به ترتیب ذیل می‌باشد:

فصل اول: کلیات تحقیق.

فصل دوم: مروری بر مطالعات گذشته.

فصل سوم: مواد و روش‌ها.

فصل چهارم: نتایج حاصل از مدل‌ها.

فصل پنجم: نتیجه گیری و پیشنهادها.

در قسمت انتهایی پایان نامه، منابع مورد استفاده آورده شده است.

## فصل دوم

### مروزی بر مطالعات گذشته

## ۱-۲- مقدمه

با افزایش جمعیت و رشد نیازهای بشری، تأمین آب مورد نیاز تبدیل به یکی از مسائل مهم و عمده در پژوههای آبشناسی تبدیل شده است. ایران به علت موقعیت خاص و ویژگی‌های توپوگرافیک، از آب و هوای متنوعی برخوردار است و میزان بارندگی متوسط سالانه آن حدود ۲۲۴ تا ۲۷۵ میلیمتر گزارش شده است. این مقدار بارندگی حدود یک سوم متوسط بارندگی‌های خشکی‌ها (۸۰۰ میلیمتر) و کمتر از یک چهارم بارندگی متوسط کره زمین (۱۱۳۳ میلیمتر) می‌باشد. قسمت اعظم ایران در قلمرو آب و هوای خشک قرار گرفته است. کمبود و نوسانات شدید بارندگی در مقیاس‌های روزانه، فصلی و سالانه از جمله خصوصیاتی است که موجب عدم اطمینان کافی نسبت به بروز سیلاب، دریافت حداقل بارش مورد نیاز جهت مصارف کشاورزی، تغذیه جریان‌های سطحی و سفره آب‌های زیرزمینی و مصارف انسانی می‌شود. با توجه به کاهش میزان بارش در مناطق مختلف، وقوع خشکسالی‌های ضعیف تا شدید در کشور امری اجتناب ناپذیر است. وقوع این خشکسالی‌ها، اثرات بسیار زیان‌باری بر بخش‌های کشاورزی و اقتصادی کشور تحمیل کرده است. از طرف دیگر، وقوع سیلاب‌های بزرگ ناشی از تنوع آب و هوایی در بعضی نقاط، سبب خسارت‌های عمده به بخش‌های شهری و یا مناطق تحت کشت می‌شود. یکی از مسائل عمده در مطالعات هیدرولوژی، پیش‌بینی میزان طغیان و فروکش سیل یا صعود و نزول هیدرولوگراف رودخانه در نقطه مشخصی از آن می‌باشد. لذا پیش‌بینی وقوع سیلاب و میزان خشکسالی و دبی نیازمند مدل سازی دبی رودخانه می‌باشد. با توجه به اهمیت و ضرورت پیش‌بینی دبی و تخمین میزان آب، مدل سازی دبی با به کار گیری روش‌های مناسب برای رودخانه‌های مختلف، امری ضروری به نظر می‌رسد. نظر به این که رودخانه مارون جزء مهمترین رودخانه‌های ایران محسوب می‌شود، برآورد دبی آن با استفاده از روش‌های مدل سازی مناسب ضرورتی انکار ناپذیر است.

## ۲-۲- سابقه مدل سازی استوکستیک

آنالیز استوکستیکی به دلیل کاربردهای فراوانی که در بررسی‌های منابع آب دارد، در سطح وسیعی در مطالعات هیدرولوژی و منابع آب به کار گرفته شده است. اما به کار گیری این روش‌ها در مطالعات آب‌های سطحی و عکس العمل آن نسبت به عوامل هیدرولوژیکی توسعه چندانی نیافته و مطالعات زیادی انجام نشده است. این مدل‌ها توسط محققین مختلف با کاربردهای متفاوت به کار گرفته شده و نتایج گوناگونی نیز بدست آمده است که از میان آن‌ها به برخی از مدل‌ها می‌پردازیم. البته لازم به ذکر است که مدل‌های بررسی شده در ایران صرفاً مدل‌های استوکستیکی روی پدیده دبی نیستند، بلکه مدل‌های استوکستیک روی رخدادهای دیگر و همچنین دیگر مدل‌های انجام شده روی حوضه مارون نیز ذکر خواهد شد. همچنین از مدل‌های اتورگرسیو- میانگین متحرک یکپارچه<sup>۱</sup> (ARIMA)، تناوبی با باقی مانده‌های مستقل<sup>۲</sup> (PIR-ARMA)، مدل آرنا (ARNMA) نیز مثالی ذکر خواهد شد.

یکی از مدل‌هایی که به طور گسترده برای ساخت جریان ماهانه رودخانه به کار می‌رود مدل چند فصلی مارکووین با تأخیر یک<sup>۳</sup> می‌باشد که توسط توماس و فیرینگ (Thomas and Fiering, ۱۹۶۲) پیشنهاد شده است. این مدل با مدل اتورگرسیو مرتبه ۱ با پارامترهای تناوبی<sup>۴</sup> (PAR1)، و با بهسازی محدودتر با اصل بهترین انطباق<sup>۵</sup> برابری می‌کند. بیشتر کارهای انجام شده در سه دهه اخیر در زمینه جریان رودخانه می‌توانند به عنوان هیدرولوژی استوکستیک<sup>۶</sup> که توسط انجمن ASCE<sup>۷</sup> در خصوص هیدرولوژی آب‌های سطحی با عنوان "به کار بردن خصوصیات آماری متغیرهای هیدرولوژیکی برای حل مسایل هیدرولوژیکی بر پایه خصوصیات استوکستیکی متغیرها" تعریف شده است، طبقه بندی شوند.

<sup>۱</sup>-Autoregressive Integrated Moving Average

<sup>۲</sup>-Periodic Independence Residual

<sup>۳</sup>-Lag-۱ Multiseasonal Markovian Model

<sup>۴</sup>-Periodic Autoregressive Model of Order ۱

<sup>۵</sup>-Best Fitting

<sup>۶</sup>-Stochastic Hydrology

<sup>۷</sup>-American Society Civil Engineering

کاربرد اولیه روش‌های اتورگرسیو (Moving Average) و میانگین متحرک (Autoregressive) در هیدرولوژی توسط کیزیل (Kisiel, ۱۹۶۹) ذکر شده است.

روش‌های پیشنهادی توسط باکس و جنکینز (Box and Jenkins, ۱۹۷۰) بر اساس معرفی روش-های ترکیبی از اتورگرسیو و میانگین متحرک (ARMA)، کاربردهای فراوان‌تری یافتند (McKerchar and Delleur, ۱۹۷۴, Ubertini, ۱۹۷۸, Rao *et al.*, ۱۹۸۲). تلاش‌های مشابهی روی کاربرد مدل‌های اتورگرسیو و اتورگرسیو-میانگین متحرک<sup>۱</sup> (ARMA) ماهانه جهت مدل سازی (Finzi *et al.*, ۱۹۷۵, Salas *et al.*, ۱۹۸۰, Salas *et al.*, ۱۹۸۰, Bartolini *et al.*, ۱۹۸۸).

چاو و کارلیوتیس (Chow and Kareliotis, ۱۹۷۰) به تجزیه و تحلیل سیستم‌های هیدرولوژیکی استوکستیکی پرداختند. منطقه مورد مطالعه آن‌ها حوضه بالایی رودخانه سنگامون<sup>۲</sup> در ایلینویز<sup>۳</sup> آمریکا بود. فرآیندهای مورد مطالعه آن‌ها شامل بارندگی، تبخیر و تعرق و ذخیره آب زیر زمینی بود که به صورت ماهانه برداشت شده بودند. محققین فوق این فرآیندها را به صورت یک متغیره در قلمرو زمان و فرکانس مورد بررسی قرار داده و با رسم همبستگی نگار و دوره نگار مشخص کردند که هر سه سری داده‌های فوق دارای مؤلفه تناوبی شدیدی با دوره یک ساله هستند.

دیسکین و لین (Diskin and Lane, ۱۹۷۱) با استفاده از داده‌های حوضه والنات گالچ<sup>۴</sup> در جنوب شرقی آریزونا<sup>۵</sup> یک مدل استوکستیک برای حوضه‌هایی با مساحت کمتر از ۱۰۰ مایل مربع به منظور ایجاد داده‌های ساختگی به دست آوردن. متغیرهایی که در این مدل رواناب را شرح می‌دهند شامل: شروع فصل رواناب، تعداد پدیده‌های رواناب در فصل، فاصله زمانی بین پدیده‌ها، زمان شروع رواناب، حجم رواناب، و حداکثر تخلیه می‌باشند. میانگین و انحراف معیار توزیع‌های مختلف و ثابت‌ها در معادله رگرسیونی مجموعه پارامترهایی را تشکیل می‌دهند که مدل استوکستیک را معین می‌کنند.

<sup>۱</sup>-Autoregressive Moving Average

<sup>۲</sup>-Upper Sangamon River

<sup>۳</sup>-Illinois

<sup>۴</sup>-Walnut Gulch

<sup>۵</sup>-Arizona

کارلیوتیس و چاو (Kareliotis and Chow, ۱۹۷۲) اقدام به تجزیه و تحلیل فرآیندهای استوکستیکی باقی مانده نمودند. محققین مذکور داده‌های تبخیر و تعرق، بارندگی و ذخیره سفره در حوضه بالایی رودخانه سنگامون را که در مطالعه قبلی خود به صورت یک متغیره بررسی کرده بودند مجدداً مورد بررسی قرار دادند و با حذف مؤلفه تناوبی، داده‌ها را به صورت ایستا درآورده و به صورت چند متغیره بررسی کردند و نشان دادند که رابطه خوبی بین بارندگی و ذخیره سفره وجود دارد، در حالی که بارندگی و تبخیر و تعرق و ذخیره سفره ارتباطی با هم ندارند. همچنین به این نتیجه رسیدند که ذخیره سفره تأخیر یک ماههای نسبت به بارندگی نشان می‌دهد و بر اساس این یافته‌ها آن‌ها مدل استوکستیکی سفره را بدست آورند.

لاو (Love, ۱۹۷۴) روی داده‌های ماهانه سطح آب زیر زمینی در ۸۴ چاه در غرب رودخانه می‌سی‌سی‌پی، آنالیز استوکستیکی انجام داده و با محاسبه ضرائب خود همبستگی و رسم آن‌ها دریافت که مقادیر میانگین ضرائب در تأخیرهای ۱ و ۲ و ۳ در همه چاهها، بالاتر از حد اطمینان ۹۵٪ واقع شده و معنی دار بوده‌اند و بر اساس این نتیجه، بیان داشت که سطح آب در هر ماه، با سطح آب سه ماه قبل وابستگی دارد.

هانگسون (Hongson, ۱۹۷۸) با استفاده از رگرسیون چند گانه، عکس العمل سطح آب زیر زمینی را نسبت به بارش و پمپاژ مطالعه نمود. ایشان بر روی سطح آب زیر زمینی آنالیز خود همبستگی انجام داد و وابستگی داده‌های سطح آب زیر زمینی را در هر ماه نسبت به داده‌های ماه قبل بدست آورد. نتایج مطالعات ایشان نشان داد که سطح آب زیر زمینی در هر ماه، با سطح آب ماه قبل وابستگی دارد.

روسی و سیلواینی (Rossi and Silvagni, ۱۹۸۰) رواناب را در مقیاس سالانه مورد مطالعه قرار دادند و دو مدل استوکستیک برای فرآیند تولید دوباره<sup>۱</sup> مطرح کردند. ساده‌ترین مدل پیشنهاد شده

<sup>۱</sup>-Reproduction

توسط آن‌ها یک مدل مستقل غیر-گوسی<sup>۱</sup> است و زمانی استفاده می‌شود که داده‌های رواناب غیر همبسته هستند. زمانی که خود همبستگی قابل ملاحظه‌ای برای داده‌های سالانه یافت شد، این محققین فرض کردند که اجزای رواناب به بیش از یک سال نسبت داده می‌شوند و با این فرض اعتبار مدل استوکستیک ARMA(1,1) را ثابت کردند.

سالاس و اسمیت (Salas *et al.*, ۱۹۸۱)، همچنین سالاس و همکاران (Salas and Smith, ۱۹۸۱) رسم‌آمد مدل ARMA(1,1) را از یک مدل مفهومی حوضه با ورودی‌های گوسی غیر همبسته نتیجه گرفتند. قابل ذکر است که این محققین تمام بارش را به عنوان ورودی به سیستم مفهومی در نظر گرفتند. بنابراین، رابطه بین پارامترهای استوکستیک و مفهومی همان طور که کلپس و روئی Claps (1991) and Rossi, برای حالت تک متغیره ذکر شد متفاوت‌بود، اگر چه محدوده پارامترهای مشابه را تعیین می‌کنند.

بیدیسکومب و همکاران (Biddiscombe *et al.*, ۱۹۸۵) با انجام آنالیز چگالی طیفی روی داده‌های ماهانه سطح آب زیر زمینی و بارندگی در جنوب غرب استرالیا انواع نوسانات سطح آب زیر زمینی را در پریودهای مختلف به دست آورده‌اند. این آنالیز را روی ۴ چاه که سطح آب آن‌ها متفاوت بود، انجام دادند و برای این چاهها، نوسانات ۱۲، ۱۵ و ۳۶ ماهه به دست آورده‌اند. همچنین با آنالیز طیف متقابل، همبستگی سطح آب زیر زمینی را با بارش، در فراوانی‌های مختلف مطالعه نمودند.

برندسون و همکاران (Berndtsson *et al.*, ۱۹۸۶) بین سری‌های بارندگی ساعتی، روزانه و ماهانه ۷ ایستگاه در شمال تونس به طور جداگانه همبستگی متقابل انجام داده و مقادیر ضریب همبستگی را در تأخیر صفر به دست آورده‌اند و با ثابت قرار دادن یک ایستگاه در شبکه ایستگاه‌ها، همبستگی این ایستگاه را با ایستگاه‌های دیگر به صورت خطوط میزان رسم نمودند که مقادیر منحنی‌ها با افزایش فاصله از ایستگاه مبنا کاهش پیدا می‌کند. آنها منحنی همبستگی فوق را برای دو سری بارندگی یک ساعته و ماهانه به طور جداگانه رسم کردند. خطوط همبستگی برای سری بارندگی یک ساعته در

<sup>۱</sup>-Non-Gaussian

جهت‌های مختلف مشابه، ولی در داده‌های ماهانه، منحنی‌های موازی ایجاد کردند که عمود بر ارتفاعات منطقه می‌باشند.

اطلاعات آماری موجود از دبی رودخانه‌های ایران کمتر از طول عمر مفید پژوهش‌های منابع آب هستند. از این رو رئیسی (۱۳۶۸) به وسیله مدل‌های اتورگرسیو و میانگین متحرک بر روی رژیم رودخانه‌های فارس (به نام‌های حاه، مندیلکر) بهترین مدل را برای دبی متوسط ماهانه و دبی ماکزیمم ماهانه فرموله و طراحی کرد.

کلپس (۱۹۹۰، Claps) مدل اتورگرسیو- میانگین متحرک مفهومی چند متغیره را برای رواناب ماهانه در ۹ ایستگاه در جنوب ایتالیا به کار برد. این مدل چند ایستگاهی یک مدل مقارن آرما<sup>۱</sup> (CARMA) می‌باشد که همبستگی مکانی و دوره‌ای رواناب را به طور جداگانه در نظر می‌گیرد. کرزیک و همکاران (Kresic *et al.*, ۱۹۹۰) به مطالعه خواص استوکستیکی دبی روزانه چشم مگرزا<sup>۲</sup> در صرب شرقی<sup>۳</sup> در یوگوسلاوی و عکس العمل دبی آن با بارندگی در سال‌های خشک و تر با انجام آنالیزهای خود همبستگی و خود همبستگی متقابل پرداختند.

کلپس و همکاران (Claps *et al.*, ۱۹۹۳) با فرض بارش مؤثر به عنوان فرآیند مستقل تناوبی و در نظر گرفتن پارامترهای غیر فصلی آب زیر زمینی، مدل (۲,۲) ARMA با باقی مانده مستقل تناوبی PIR-ARMA (را در هفت سری زمانی رواناب ماهانه از حوضه‌های موجود در منطقه آپنین<sup>۴</sup> ایتالیا به کار گرفتند و از میان مدل‌های مختلف استوکستیکی مدل خطی تک متغیره اتورگرسیو- میانگین متحرک را برای رواناب فصلی پیشنهاد کردند. روش حداقل مربعات (Least squares) برای تخمین پارامترهای مدل (۱,۱) ARMA استفاده گردید. محققین فوق به این نتیجه رسیدند که ساده‌ترین مدل برای مقیاس ماهانه مدل باقی مانده‌های مستقل تناوبی (۱,۱) PIR-ARMA، می‌باشد که مشابه مدل (۱,۱) ARMA پیشنهاد شده برای مقیاس سالانه می‌باشد.

<sup>۱</sup>-Contemporaneous-ARMA

<sup>۲</sup>-Grza

<sup>۳</sup>-Eastern Serbia

<sup>۴</sup>-Apennine

سامانی و همکاران (۱۳۷۳) به مطالعه استوکستیکی دبی چند رودخانه در استان فارس ایران به صورت یک متغیره پرداختند. آن‌ها ابتدا با رسم همبستگی نگار و دوره نگار نشان دادند که داده‌های فوق فاقد هرگونه روند و دارای یک مؤلفه تناوبی ۱۲ ماهه هستند، سپس به حذف مؤلفه تناوبی پرداختند و داده‌ها را به صورت ایستا درآوردند و بعد برای هر سری از این داده‌های ایستا مدل استوکستیکی مناسب را تعیین نموده و پارامترهای آن را برآورد کردند و سپس اقدام به تولید داده و پیش‌بینی آینده هر فرآیند نمودند.

سامانی و همکاران (۱۳۷۳) سری‌های زمانی داده‌های طولانی مدت بارندگی و تبخیر در چند ایستگاه، جریان رودخانه نکاء و سطح آب زیر زمینی در چند چاه مشاهدهای در سفره آبرفتی دشت بهشهر- نکاء واقع در سواحل دریای خزر را مورد تحلیل‌های خود همبستگی، چگالی طیفی و همبستگی متقابل و طیف متقابل قرار داده و تغییرات دوره‌ای شش ماهه، سالانه و شش ساله را در این سری‌ها شناسایی نمودند. آن‌ها با استفاده از این تحلیل‌ها توانستند سفره آب زیر زمینی این دشت را از نظر رژیم تغذیه و تخلیه به سه بخش تفکیک نمایند. بر اساس نتایج حاصل از این مطالعه، این محققین اعمال مدیریت بهره برداری از این منابع و بهینه سازی پمپاژ به خصوص در بخش‌های یک و سه را توصیه نمودند.

کمالی (۱۳۷۴) در تحقیق خود قصد تولید قوانین مدیریت تقاضا و بهره برداری را داشته است تا بتواند مخزن سد وینار را از دوره‌های کمبود در مناطق خشک و نیمه خشک با حداقل خسارت وارد عبور دهد. وی ۴ مدل سری زمانی نیز توسعه داده است که شامل یک مدل اتورگرسیو- میانگین متحرک یکپارچه (ARIMA) برای پیش‌بینی جریان رودخانه‌ای در دوره‌های زمانی آینده، دو مدل آرنا (ARNMA) برای تولید آمار مصنوعی سالانه و ماهانه و یک مدل خرد کننده برای شکستن جریان رودخانه‌ای سالانه به جریان رودخانه‌ای ماهانه می‌باشند. بدین ترتیب سیستم پشتیبان تصمیم‌گیری توسعه داده شده شامل دو بخش: ۱- مدل سری زمانی به عنوان مدل هیدرولوژیکی ۲- مدل غیر خطی ریاضی به عنوان مدل بهینه سازی، می‌باشد.

پادیلا و همکاران (Padilla *et al.*, ۱۹۹۶) مدل‌های استوکستیکی اتورگرسیو- میانگین متحرک را برای سری‌های زمانی پریودیک دبی سه چشمۀ کارستی لاویلا<sup>۱</sup> و فونته مایور<sup>۲</sup> در اسپانیا و چشمۀ آلیوو<sup>۳</sup> در فرانسه به کار گرفتند. این محققین روی سری‌ها یک تبدیل لگاریتمی انجام داده و برای حذف مؤلفه تناوبی، داده‌ها را نرمال کردند. پس از این تبدیل‌ها مناسب‌ترین مدل‌های برازش شده برای هر یک از چشمۀ‌ها تعیین گردید که در جدول ۱-۲ خلاصه‌ای از مدل‌های برازش شده ارائه شده است.

جدول ۱-۲- خلاصه‌ای از مدل‌های برازش شده در سری‌های دبی تبدیل یافته

AIC	دبی	$\theta_2$	$\theta_1$	$\varphi_1$	متغیر ثابت	مدل	چشمۀ
-۲۲۶۰	۲۴/۹	-۰/۱۳۶	-۰/۲۹۳	۰/۹۳۸	-۰/۰۰۰۴	ARMA(1,۲)	لاویلا
-۴۳۱	۱۵/۶	-	-	۰/۸۹۲	-۰/۰۱۱	ARMA(1,۰)	فونته مایور
-۱۴۲۵	۱۶/۳	۰/۱۱۹	-۰/۰۷۱	۰/۸۱۱	-۰/۰۰۳	ARMA(1,۲)	آلیوو

پس از برازش مدل مناسب، سری‌های زمانی شبیه سازی شده توسط مدل‌ها به دست آمد. هیدروگراف به دست آمده از مدل‌ها و خود همبستگی نگار این هیدروگراف‌ها با هیدروگراف‌های واقعی و خود همبستگی نگار آن‌ها شباهت زیادی را از خود نشان می‌دهند که این مقایسه صحت مدل‌های برازش شده را تأیید می‌نماید.

رئیسی و همکاران (۱۳۷۸) در بررسی‌های خود، آنالیز طیفی سری‌های زمانی را بر روی آمار ماهانه بارندگی و درجه حرارت ۴۰ سال شهر شیراز انجام دادند. محققین مذکور نتیجه گرفتند که مدل استوکستیک، نشانگر عدم تغییرات بارندگی در دوره ۴۰ ساله آماری است و نتایج آن‌ها نشان داد که برای پارامترهای دمای ماهانه و بارش به ترتیب مدل‌های AR(۲) و AR(۱) مناسب‌تر می‌باشند.

تفرج نوروز و همکاران (۱۳۸۰) با توجه به آمار متوسط ماهانه تراز سطح آب برای سال‌های ۱۳۶۶- ۱۳۷۷ در ایستگاه چونگ خرگوشی واقع در هامون پوزک، ساختار پریودیک و ساختار همبستگی سری زمانی تراز سطح آب را بررسی کردند و سرانجام پس از انجام تست آکائیک (AIC)، مدل AR(۲) با

<sup>۱</sup>-Lavilla

<sup>۲</sup>-Funte Mayor

<sup>۳</sup>-Aliou

داشتن کمترین معیار آکائیک مناسب‌ترین مدل شناخته شد. همچنین، در این تحقیق کفایت و دقت مدل در پیش‌بینی و تولید داده بررسی شد و نتایج نشان داد که پیش‌بینی مدل برای سال‌هایی که دریاچه کاملاً خشک نباشد، با داده‌های واقعی هماهنگی خوبی دارند.

نیکبخت شهریاری (۱۳۸۲) از یک روش استوکستیک برای تخمین شماره منحنی حوضه‌های آبریز امامه و کسیلیان استفاده کرده است. در این روش از توزیع آماری حاکم بر واقعی بارندگی و رواناب بهره گرفته شد و کارایی آن در تخمین شماره منحنی ارزیابی و با روش‌های متداول مقایسه گردید. ابریشم چی و همکاران (۱۳۸۴) با استفاده از داده‌های جریان رودخانه از ایستگاه‌های هیدرومتری به صورت روزانه از زمان تأسیس ایستگاه‌ها تا سال آبی ۱۳۷۵-۷۶ و داده‌های بارندگی و دمای روزانه از تعداد ۵۳ ایستگاه و سپس تولید داده‌های سالانه، مدل استوکستیک سالانه (۱) AR منطقه‌ای را برای جریان سالانه رودخانه‌های حوضه آبریز کرخه، کارون و دز ساختند. سپس سری‌های زمانی مصنوعی برای زیر حوضه مورد نظر که فاقد آمار کم باشد، تولید می‌شود.

### ۳-۲-سابقه استفاده از شبکه‌های عصبی مصنوعی

سیواکومار و همکاران (۲۰۰۲) (Sivakumar *et al.*, ۲۰۰۲) از دو روش جعبه سیاه<sup>۱</sup> غیر خطی شامل: روش ترمیم فضای فازی<sup>۲</sup> (PSR) و شبکه عصبی مصنوعی (ANN) برای پیش‌بینی دینامیک جریان رودخانه و مقایسه این روش‌ها استفاده کردند. برای این منظور، سری روزانه جریان رودخانه در ایستگاه اندازه گیری ناخون‌سوان<sup>۳</sup> واقع در حوضه رودخانه چاوفرایا<sup>۴</sup> را مورد آنالیز قرار دادند و پیش‌بینی‌ها را برای زمان‌های هدایت<sup>۵</sup> ۱ و ۷ روزه انجام دادند. نتایج آن‌ها حاکی از این مسئله بود که هر دو روش پیش‌بینی‌های معقولانه‌ای برای هر دو زمان ۱ و ۷ روزه ارائه می‌دهند، هر چند پیش‌بینی یک روزه نتایج بهتری ارائه داد. مقایسه این دو روش بیانگر نتایج بهتر روش PSR و همچنین مقادیر

<sup>۱</sup>-Black Box

<sup>۲</sup>-Phase-Space Reconstruction

<sup>۳</sup>-Nakhun Sawan

<sup>۴</sup>-Chao Phraya

<sup>۵</sup>-Lead Time

پیش بینی شده جریان رودخانه با استفاده از این روش به مقادیر مشاهده شده بسیار نزدیک بوده است.

باراتی و همکاران (Baratti *et al.*, ۲۰۰۳) برای پیش بینی جریان و مدیریت ذخیره از شبکه های عصبی استفاده کردند. آنها از شبکه های عصبی برای مدل کردن فرآیند بارش - رواناب با فاصله زمانی های مختلف در مدیریت ذخیره بهره بردنده. مقایسه عددی با داده های مشاهده شده برای پیش بینی رواناب در حوضه تیرسو<sup>۱</sup> قسمت S.Chiara در سارдинیا<sup>۲</sup> ایتالیا با داده های ماهانه انجام گرفت. آنها به این نتیجه رسیدند که اگر فقط اطلاعات بارش را در اختیار داشته باشند، انجام شبکه عصبی با مشکلی مواجه نخواهد شد. همچنان نتایج حصل از استفاده از شبکه عصبی برای داده های روزانه امید بخش بود.

مندز و همکاران (Mendez *et al.*, ۲۰۰۴) برای بررسی رفتار هیدرولوژیکی حوضه رودخانه زالاس<sup>۳</sup> در شمال غرب اسپانیا به مدل سازی رفتار رواناب در مقیاس های زمانی مختلف پرداختند. محققین فوق از مدل های باکس- جنکینز<sup>۴</sup> برای پیش بینی میانگین رواناب ماهانه و میانگین بارش و برای پیش بینی جریان کوتاه مدت روزانه از دو تکنیک مدل های آماری کلاسیک باکس- جنکینز و شبکه های عصبی مصنوعی استفاده کردند و سپس به مقایسه این دو روش پرداختند. اگر چه شبکه های عصبی مصنوعی قادر به آشکار سازی بعضی جریان های حداکثر نیستند، اما نتایج آنها امید بخش بود.

اما مقلی زاده و همکاران (۱۳۸۴) با استفاده از شبکه عصبی مصنوعی و مدل Qnet<sup>۲۰۰۰</sup> که یک پرسپترون چند لایه می باشد، به پیش بینی آبدهی رودخانه بالا رود در استان خوزستان پرداختند. آنها از داده های باران سنجدی و درجه حرارت ماهانه ایستگاه های مجاور حوضه آبریز بالا رود و اطلاعات دبی در ایستگاه هیدرومتری دوکوهه بر روی رودخانه بالا رود در دوره آماری ۱۵ ساله

<sup>۱</sup>-Tirso

<sup>۲</sup>-Sardinia

<sup>۳</sup>-Xallas

<sup>۴</sup>-Box-Jenkins

(۱۳۷۸-۱۳۶۳) برای مدل استفاده کردند. نتایج تحقیق آنها نشان داد که شبکه به دست آمده دارای

دقت بالایی جهت پیش‌گویی دبی جریان در رودخانه بالا رود می‌باشد.

یزدانی و چاووشی (۱۳۸۴) با استفاده از مدل شبکه عصبی به پیش‌بینی جریان رودخانه پلاسجان

پرداختند. اطلاعات یا لایه ورودی به مدل شبکه عصبی، اطلاعات مربوط به ۵ ایستگاه باران سنجدی و

یک ایستگاه اندازه گیری درجه حرارت بود. خروجی مدل یا لایه خروجی، جریان عبوری از ایستگاه

هیدرومتری اسکندری بود که کلیه جریان‌های بالا دست از آن عبور می‌کند. در این تحقیق مدل

پرسپترون چند لایه جهت بررسی انتخاب گردید. مناسب‌ترین مدل، مدلی با ساختار ۱، ۴، ۶ با ۴ گره

در لایه مخفی تعیین شد و بر مبنای آن تست انجام گرفت. نتایج بیانگر این بود که با افزایش تعداد

لایه مخفی میزان خطا افزایش می‌یابد. همچنین شبکه‌های عصبی قادر بودند رفتار رودخانه را نسبت

به بارندگی به خوبی مشخص نمایند، بدین معنی که مدل ایجاد شده به خوبی قادر به شبیه‌سازی

عکس العمل حوضه مورد مطالعه نسبت به بارندگی است و تغییر در بارندگی میزان تغییر در دبی

جریان ماهانه را به خوبی شبیه‌سازی می‌کند و مدل ایجاد شده، مدل نسبتاً خوبی است.

طارقیان و همکاران (۱۳۸۵) برای پیش‌بینی جریان رودخانه‌ها با استفاده از شبکه‌های عصبی

مصنوعی از اطلاعات تبخیر و تعرق، باران سنجدی و دبی رودخانه کارون در ایستگاه هیدرومتری پل

شالو استفاده نمودند. آنها از الگوهای مختلفی از اطلاعات ایستگاه‌های بالا دست در همان روز، یک

روز قبل و دو روز قبل به منظور ورودی شبکه استفاده کردند و از الگوریتم پس انتشار خطا (BP)

جهت آموزش و تست شبکه بهره برداشتند و نتایج به دست آمده را با نتایج حاصل از روش رگرسیون

مقایسه کردند و با توجه به معیارهای ضریب همبستگی و خطای RMSE، نتایج حاصل از آموزش و

تست شبکه نشان داد که شبکه‌های عصبی می‌توانند جریان رودخانه را با ضریب همبستگی زیاد

(بیشتر از ۹۴٪) و خطای کم پیش‌بینی کند.

فروغی و همکاران (۱۳۸۵) برای مدیریت سطح ایستابی حوضه آبریز رودخانه مارون (محدوده

بهبهان و جنوب شرق محدوده جایزان) از شبکه‌های عصبی مصنوعی استفاده کردند. آنها از آمار

بارش و تبخیر ماهانه، تفاضل دبی ماهانه رودخانه در ابتدا و انتهای حوضه و میزان برداشت ماهانه به عنوان داده‌های ورودی و سطح ایستابی ماهانه در پیزومتر به عنوان داده‌های خروجی از سال‌های ۱۳۷۷-۸۳ و با استفاده از شبکه‌های عصبی مصنوعی مدلی برای پیش‌بینی نوسانات سطح ایستابی در تعدادی پیزومترهای منطقه ارائه کردند که از همبستگی بالایی با داده‌های واقعی پیزومترها برخوردار بود.

محمدی و محمودیان (۱۳۸۵) برای پیش‌بینی دبی متوسط هفتگی ورودی به مخزن سد درودزن واقع در ۷۵ کیلومتری شمال شرق شیراز از شبکه عصبی مصنوعی بهره گرفتند. مدل ساخته شده قادر می‌باشد که با در اختیار داشتن دبی متوسط هفتگی هفته‌های قبل ایستگاه‌های دبی سنجدی و دبی متوسط ورودی به مخزن سد در هفته مشابه سال قبل، دبی متوسط هفتگی ورودی به مخزن سد در هفته آینده را پیش‌بینی نماید. نتایج تحقیق آن‌ها شامل این موارد می‌باشد: (۱) شبکه عصبی از نوع MLP با ساختار ۱۱-۱۲-۱ تابع محرکه سیگموئید در لایه ورودی و تابع محرکه خطی در لایه خروجی می‌باشد و می‌تواند دبی متوسط هفتگی ورودی به مخزن سد درودزن را جهت یک هفته بعد به سادگی و با دقت قابل قبولی پیش‌بینی نماید. (۲) هر اندازه فاصله ایستگاه‌های دبی سنجدی واقع بر سطح حوضه از ایستگاه سد درودزن بیشتر باشد تأثیر دبی آن‌ها بر دبی ورودی به مخزن سد در فاصله زمانی طولانی‌تری نمایان می‌گردد. نتایج حاصل از این تحقیق بیانگر سادگی، آسانی و دقت مناسب مدل ساخته شده در پیش‌بینی دبی متوسط هفتگی ورودی به مخزن سد درودزن می‌باشد.

سینگ و دئو (Singh and Deo, ۲۰۰۶) از شبکه‌های عصبی مختلفی برای پیش‌بینی جریان متوسط روزانه استفاده کردند. آمار ده ساله مورد استفاده در این تحقیق مربوط به کمیسیون آب مرکزی<sup>۱</sup> هندوستان، Bhopal، از سال‌های ۱۹۸۷ تا ۱۹۹۶ در ایستگاه اندازه‌گیری راجگات<sup>۲</sup> در طول رودخانه نارمادا<sup>۳</sup> در هند می‌باشد. آن‌ها به این نتیجه رسیدند که شبکه عصبی مصنوعی مناسب برای

<sup>۱</sup>-Central Water Commission

<sup>۲</sup>-Rajghat

<sup>۳</sup>-Narmada

تمام فصول، تابع پایه شعاعی<sup>۱</sup> می‌باشد که کارایی آن بهتر از روش‌های GRNN و FFBP و ANFIS می‌باشد که این امر به علت رفتار رضایت‌بخش این شبکه بر روی داده‌های غیر خطی می‌باشد.

کرح و لی (Kerh and Lee, ۲۰۰۶) از شبکه‌های عصبی مصنوعی برای پیش‌بینی دبی سیل در ایستگاه‌های بدون اندازه‌گیری با استفاده از اطلاعات بالا دست جریان رودخانه بهره گرفتند. مدل شبکه عصبی با شاخص‌های RMSE، ضریب راندمان، خطای دبی‌های اوج و خطای زمان‌های اوج ارزیابی شد. نتایج تحقیق نشان داد که مدل شبکه‌های عصبی قابل ترجیح هستند و نتایج بهتری نسبت به روش‌های قرار دادی ماسکینگام<sup>۲</sup> ارائه می‌دهند. آن‌ها به این نتیجه رسیدند که دبی سیل و سطح آب دو عامل حاکم بر صحت تخمین‌ها هستند.

ساهو و رای (Sahoo and Ray, ۲۰۰۶) در تحقیق خود از شبکه‌های عصبی پس انتشار خطای<sup>۳</sup> برای پیش‌بینی جریان رودخانه‌های وایاکیکوا<sup>۴</sup> و مانوا<sup>۵</sup> در هاوایی استفاده نمودند. مرکز تحقیقات زمین‌شناسی آمریکا از منحنی‌های سنجش قرار دادی برای محاسبه دبی رودخانه‌های هاوایی استفاده می‌کند. از طرف دیگر روش‌های شبکه عصبی پیشنهاد شده‌اند. این شبکه‌ها برای دو دسته داده ورودی، یک دسته شامل سرعت متوسط، و یک دسته بدون سرعت متوسط، اما هر دو این دسته‌ها شامل سطح رودخانه، عرض، سطح مقطع برای دو ایستگاه اندازه‌گیری روی رودخانه انجام گرفتند. نتایج آن‌ها نشان داد که برای هر دو دسته ورودی‌ها، شبکه عصبی بهینه سازی شده قادر به محاسبه منحنی‌های سنجش برای محاسبه دبی هستند.

احمد و سارما (Ahmed and Sarma, ۲۰۰۶) از مدل شبکه عصبی مصنوعی برای تولید جریان ساختگی رودخانه پاگدالیا<sup>۶</sup>، زیر شاخه شمالی رودخانه براهمپوترا<sup>۷</sup> بهره بردن و سپس مدل را با دیگر مدل‌ها شامل اتورگرسیو- میانگین متحرک و توماس- فیرینگ و پنج خصوصیت آماری شامل میانگین

<sup>۱</sup>-Radial Basis Function

<sup>۲</sup>-Muskingum

<sup>۳</sup>-Feed Forward Back Propagation

<sup>۴</sup>-Waiaakeakua

<sup>۵</sup>-Manoa

<sup>۶</sup>- Pagladia

<sup>۷</sup>- Brahmaputra

و انحراف معیار جریان هر ماه، میانگین و انحراف معیار و ضریب کجی<sup>۱</sup> داده‌های تاریخی و تولید شده

مقایسه کردند و به این نتیجه رسیدند که سری جریان ماهانه ساختگی رودخانه پاگدالیا با استفاده از

مدل شبکه عصبی مصنوعی بهتر از مدل توماس- فیرینگ و ARMA(۲,۰) می‌باشد. بر اساس

توضیحات بالا، می‌توان به این نتیجه رسید که مدل شبکه عصبی مصنوعی توسعه داده شده در این

مطالعه را می‌توان به عنوان یک روش بالقوه برای تولید جریان ساختگی در نظر گرفت.

پرویز و خلقی (۱۳۸۶) برای مقایسه بین روش‌های استوکستیکی و شبکه‌های عصبی در پیش‌بینی

جریان رودخانه، جهت تفکیک سری سالانه به سری‌های شش ماهه و ماهانه از مدل‌های پایه و

مبسوط استفاده کردند. همچنین با استفاده از شبکه‌های عصبی به پیش‌بینی جریان شش ماهه و

ماهانه پرداختند و جهت مقایسه بین جریان‌های شش ماهه و ماهانه حاصل از روش‌های مذکور از آمار

آبدی برخی از رودخانه‌های حوضه آبریز دریاچه ارومیه (با معیارهایی مانند RMSE) استفاده کردند.

نتایج بیانگر سازگاری مدل مبسوط با مقادیر مشاهداتی بود. به طور کلی، روند مدل مبسوط و شبکه

عصبی در تفکیک سری‌های کلیدی مشابه هم بوده ولی در تفکیک سری‌های اصلی به مقیاس‌های

کوچک‌تر مدل مبسوط توصیه می‌شود.

شادمان مطلق و همکاران (۱۳۸۶) برای پیش‌بینی جریان رودخانه سفید رود از شبکه عصبی

مصنوعی (ANN) و نرم افزار مطلب<sup>۲</sup> استفاده کردند. برای این منظور از داده‌های باران سنجی و درجه

حرارت ماهانه ایستگاه‌های مجاور حوضه آبریز رودخانه سفید رود و اطلاعات دبی ایستگاه هیدرومتری

بر روی رودخانه سفید رود در دوره آماری ۳۰ ساله (۱۳۵۰-۱۳۸۰) برای مدل استفاده کردند. نتایج

اجرای مدل بیانگر دقیق نسبتاً بالای شبکه عصبی در برآورد و تخمین دبی رودخانه سفید رود بود.

بختیاری و همکاران (۱۳۸۶) با استفاده از شبکه‌های عصبی به ارزیابی کیفی رودخانه کرخه

پرداختند. آن‌ها پارامترهای اندازه‌گیری شده در ۳ ایستگاه هیدرومتری موجود در طول رودخانه

(ایستگاه‌های حمیدیه، جلوگیر، پایپل) شامل پارامترهای هدایت هیدرولیکی (EC)، نسبت جذب

۱- Skew

۲-MATLAB

سدیم (SAR) و کل املاح موجود (TDS) را مدل کردند. بدین منظور دبی، اشل سطح آب و دمای آب اندازه گیری شده در ایستگاه‌های مورد نظر را به عنوان ورودی‌های مدل در نظر گرفته و با استفاده از مدل شبکه عصبی آلیودا<sup>۱</sup> پارامترهای مزبور را پیش بینی کردند. پژوهش آن‌ها نشان داد که تعداد ۱ و ۲ لایه پنهان با ۳، ۴ و ۵ نرون در هر لایه بهترین آرایش شبکه به منظور پیش بینی کیفیت آب رودخانه کرخه در ایستگاه‌های مورد ارزیابی بوده است.

زارعزاده مهریزی و قزاق (۱۳۸۶) برای پیش بینی جریان ماهانه رودخانه دز از شبکه عصبی استفاده نموند. برای این منظور از آمار ماهانه ۲۰ ساله ایستگاه هیدرومتری تلهزنگ استفاده نمودند و نتایج به دست آمده از مدل‌ها به لحاظ شاخص آماری میانگین مربع خطأ (MSE) مورد ارزیابی قرار گرفتند. نتایج آن‌ها حاکی از این بود که مدل ANN<sup>۲</sup> که از ۴ ورودی بارندگی و درجه حرارت در مرحله  $t$  و دبی با یک یا دو تأخیر زمانی تشکیل شده است، مدل مناسب‌تری می‌باشد و می‌توان از این شبکه برای پیش بینی ماه به ماه آورد رودخانه دز استفاده نمود.

آلکازار و همکاران (Alcazar *et al.*, ۲۰۰۷) از مدل‌های شبکه عصبی برای تخمین جریان محیطی در حوضه رودخانه ابرو<sup>۳</sup> در اسپانیا استفاده نمودند. آمار مورد استفاده آن‌ها، آمار ۴۶ ایستگاه اندازه گیری در حوضه این رودخانه بود. مدلی که برای این منظور توسعه دادند مدل شبکه عصبی چند لایه غیر خطی پیش خوران آبشار- همبستگی<sup>۴</sup> بود. ۳ مدل که برآورد خوبی از جریان محیطی ارائه می‌دادند، بر اساس متغیرهایی مثل میانگین ۱۰ ساله جریان ماهانه حداقل، مقدار میانگین طول دوره در روزهایی با جریان دائمًا زیر ۴۰٪ میانگین جریان سالانه، و جریان برابر یا متجاوز ۲۷۰ روز در سال یافت شدند. ضریب همبستگی بین مقادیر محاسبه شده و تخمین زده شده بالا بود ( $>0.90$ )، و میانگین خطای مطلق<sup>۵</sup> برای هر سه مدل کم بود ( $0.44 \text{ m}^3/\text{s}$ ). نتایج آن‌ها پیشنهاد کرد که

<sup>۱</sup>-Alyuda

<sup>۲</sup>-Ebro

<sup>۳</sup>- Feed-Forward Cascade-Correlation

<sup>۴</sup>-Average Absolute Error

مدل‌های شبکه عصبی مصنوعی می‌توانند ساده، قابل اطمینان و از نظر هزینه وسیله‌ای کار آمد برای تخمین جریان‌های محیطی در سطح حوضه باشند.

علیائی و همکاران (۱۳۸۷) با استفاده از شبکه‌های عصبی مصنوعی و مدل اتورگرسیو برای تخمین جریان روزانه رودخانه لیقوان در قالب مقایسه عددی و ترسیمی بهره گرفته‌اند. بدین منظور داده‌های جریان روزانه رودخانه لیقوان به مدت پنج سال آبی با استفاده از شبکه‌های عصبی مصنوعی و مدل سری زمانی (AR) مورد بررسی قرار گرفت. نتایج نشان داد که مدل شبکه‌های عصبی مصنوعی با ساختار سه لایه و حافظه پنج روزه شبکه عصبی، با تعداد ۲ گره در لایه مخفی، میزان خطا کمترین مقدار ( $0.0320$ ) و بیشترین ضریب کارائی ( $0.98$ ) نسبت به سایر حافظه‌ها را به خود اختصاص داد. در مدل سری زمانی اتورگرسیو نیز برای دوره تأخیر زمانی شش روزه میزان خطا دارای کمترین مقدار خود نسبت به سایر حافظه‌ها ( $0.0417$ ) و بیشترین ضریب کارائی ( $0.958$ ) بوده است. در قیاس این دو مدل بر اساس مقادیر خطا و ضرایب تبیین، مدل شبکه‌های عصبی نتایج دقیق‌تری نسبت به مدل سری زمانی دارد.

احمدی زاده و همکاران (۱۳۸۷) برای پیش‌بینی جریان ورودی به مخزن سد ارس از سری‌های زمانی فصلی استفاده کردند. آن‌ها در تحقیق خود روش‌هایی برای ساختن، تشخیص و بررسی میزان سازش مدل سری‌های زمانی فصلی ارائه دادند. از این روش‌ها برای پیش‌بینی مقادیر آینده ورودی به مخزن سد ارس، از روی مقادیر فعلی و گذشته آن استفاده گردید. نتایج نشان داد که بهترین مدل برآشش یافته برای انجام پیش‌بینی‌ها، مدل فصلی  $ARIMA(1,0,1)(2,1,2)_{12}$  با کمترین مجذور میانگین مربعات خطا بوده است. لازم به ذکر است که نتایج به دست آمده از مرحله صحت سنجی نشان می‌دهند که مقادیر برآورده از مقادیر واقعی کمتر می‌باشند و هر چه فاصله پیش‌بینی بیشتر شود این تفاوت بیشتر می‌شود و میزان خطا افزایش می‌یابد.

نورانی و صالحی (۱۳۸۷) برای مدل سازی بارش-رواناب در حوضه آبریز لیقوان چای واقع در استان آذربایجان شرقی از شبکه عصبی فازی تطبیقی استفاده کردند و سپس نتایج را با روش‌های

شبکه‌های عصبی و استنتاج فازی مقایسه کردند. بهترین مدل برای این حوضه مدل سازی با روش شبکه عصبی فازی تطبیقی می‌باشد. نتایج آن‌ها بیانگر این است که شبکه عصبی با مدل سازی غیر خطی و همچنین منطق فازی با ارائه توابع عضویت هر کدام به تنها‌ی تا حدودی قادر به بیان مدل یک حوضه هیدرولوژیکی می‌باشند ولی در صورت تلفیق این دو روش می‌توان گفت به نتیجه مطلوب جهت مدل سازی خواهیم رسید.

بنی حبیب و ولی‌پور (۱۳۸۷) قابلیت مدل‌های میانگین متحرک خود همبسته (آرما)، میانگین متحرک جامع خود همبسته (آریما) و مدل خود همبسته شبکه عصبی مصنوعی در پیش‌بینی جریان ورودی به مخزن سد دز واقع در ایستگاه تله‌زنگ در بالا دست سد دز را مورد ارزیابی قرار دادند. برای این منظور از آمار دبی‌های ماهانه بین سال‌های ۱۳۳۴ تا ۱۳۸۰ استفاده کردند و آمار مربوط به ۴۲ سال اول را برای آموزش مدل‌ها و ۵ سال آخر را برای پیش‌بینی مدل‌ها در نظر گرفتند. در مدل‌های آرما و آریما به ترتیب با تلفیق ۶۴ پارامتر، چند جمله‌ای مورد نظر برای پیش‌بینی جریان را به دست آورند. همچنین در مدل خود همبسته شبکه عصبی مصنوعی از دوتابع فعالیت شعاعی و سیگموئیدی با تعداد نرون‌های مختلف در لایه میانی استفاده کردند. با مقایسه شاخص RMSE مدل خود همبسته شبکه عصبی مصنوعی دینامیک با تابع فعالیت سیگموئید و تعداد ۱۷ نرون در لایه میانی را به عنوان بهترین مدل در پیش‌بینی جریان ورودی به مخزن سد انتخاب کردند. مدل آریما با خطای کمتر، جریان ورودی به مخزن سد را از ۱۲ ماه قبل و مدل‌های خود همبسته شبکه عصبی مصنوعی استاتیک و دینامیک با تابع فعالیت سیگموئیدی جریان ورودی به مخزن سد را از ۵ سال قبل پیش‌بینی می‌نمایند.

نورانی و همکاران (۱۳۸۷) از شبکه‌های عصبی مصنوعی برای بهینه سازی مدل سری زمانی (ARIMA) بارش و رواناب استفاده کردند. در این تحقیق یک مدل ترکیبی که متشکل از دو مدل شبکه عصبی و مدل خطی سری زمانی است، ارائه شده و طی آن به مطالعه موردنی در زمینه مدل سازی فرآیند بارش-رواناب حوضه اهر چای واقع در استان آذربایجان شرقی پرداخته شده است. مدل

ترکیبی شامل دو قسمت است؛ قسمت اول مدل سازی فرآیند بارش- رواناب با الگوی سری زمانی است، قسمت دیگر برآورد و تخمین باقیماندهای سری زمانی با استفاده از شبکه‌های عصبی مصنوعی است که مقدار پیش‌بینی رواناب را به مقدار واقعی نزدیک‌تر می‌کند. بر اساس نتایج بدست آمده از این تحقیق، دقت مدل ترکیبی از مدل سری زمانی بیشتر است به طوری که مدل ترکیبی می‌تواند جایگزین نسبتاً مناسبی برای پیش‌بینی فرآیند بارش- رواناب باشد که یک مدل نیمه- خطی از فرآیندهای استوکستیک را ارائه می‌دهد.

کنتل (Kentel, ۲۰۰۹) در مطالعه خود به تخمین جریان ماهانه رودخانه گونوس<sup>۱</sup> در آنکارا با استفاده از مدل‌های شبکه عصبی مختلف پرداخت. وی از آمار بارش و جریان رودخانه ۱۷۶ ماه یعنی از ژانویه ۱۹۸۷ تا سپتامبر ۲۰۰۱، همچنین ماههای وابسته برای پیش‌بینی خود استفاده کرد. ضعف عمدۀ شبکه‌های عصبی مصنوعی این می‌باشد که این مدل‌ها قادر به تولید تخمین‌های خوبی از رویدادهای حداکثر، یعنی رویدادهایی که اصلاً یا به حد کافی در مجموعه داده‌های آموزش اتفاق نمی‌افتد، نیستند. تشخیص این رویدادهای بعيد بسیار مهم می‌باشد. بنابراین کنتل در مطالعه خود از الگوریتم فازی c-mean برای دسته بندی ورودی‌های آموزش و صحت سنجی به رویدادهای معمول و حداکثر استفاده کردند. بنابراین فرد از ضعف شبکه‌های عصبی مصنوعی در تولید نتایج نامطمئن آگاه خواهد شد.

گولدال و تنگال (Guldal and Tongal, ۲۰۰۹) با مقایسه روش‌های شبکه عصبی بازگشت کننده و سیستم استنباط فازی انطباقی (ANFIS) و مدل‌های استوکستیک به پیش‌بینی تغییرات (RNN) آب- هواشناسی آینده سطح دریاچه اگیردیر<sup>۲</sup> در ترکیه پرداختند. برای این منظور مدل‌های شبکه عصبی بازگشت کننده و سیستم استنباط فازی انطباقی به عنوان مدل‌های پیش‌بینی با ساختارهای متنوع ورودی طرح ریزی، آموزش و تست شدند و بهترین مدل شناسایی شد. همچنین، مدل‌های کلاسیک استوکستیک، شامل مدل‌های اتورگرسیو (AR) و اتورگرسیو- میانگین متحرک (ARMA)

<sup>۱</sup>-Guvenc  
<sup>۲</sup>- Egirdir

تولید و با مدل‌های فوق مقایسه شدند. در کل توافق خوبی بین مقادیر داده‌های تخمینی و مشاهده شده به خصوص در مدل شبکه عصبی بازگشت کننده نسبت به سیستم استنباط فازی انطباق و مدل‌های استوکستیک به دست آوردند. مدل‌ها با کمک روش‌های عددی و نمودارهای ترسیمی همچنین بعضی خصوصیات آماری با هم مقایسه شدند. این محققین به این نتیجه رسیدند که روش‌های شبکه عصبی بازگشت کننده و سیستم استنباط فازی انطباقی با موفقیت قابل کاربرد هستند و نتایجی با صحت و قابلیت اطمینان بالا برای تغییرات سطح دریاچه نسبت به مدل‌های اتورگرسیو و اتورگرسیو- میانگین متحرک ارائه می‌دهند. همچنین مشخص شد که مدل‌های استوکستیک را می‌توان برای مدیریت روش‌ها با ریسک قابل قبول مورد استفاده قرار داد.

#### ۴-۲- سابقه استفاده از نرم افزار SAMS ۲۰۰۷

بررسی تحقیقات روی کارهای انجام شده با استفاده از نرم افزار SAMS ۲۰۰۷ نشان می‌دهد که این مدل در پروژه‌های مختلف مورد استفاده قرار گرفته است که برای مثال می‌توان به مدل سازی جریان رودخانه کلورادو بالایی<sup>۱</sup> در پروژه CRDSS (۱۹۹۹)، آنالیزهای استوکستیکی جریان رودخانه اسنک<sup>۲</sup> (۲۰۰۰)، آنالیز و شبیه سازی حوضه دریاچه بزرگ<sup>۳</sup> (۲۰۰۱-۲۰۰۴)، توسعه جریان‌های ساختگی در حوضه آبریز گیوم<sup>۴</sup> در کره جنوبی با همکاری دانشگاه کلورادو و شرکت منابع آب کره (۲۰۰۵)، تولید جریان ساختگی ماهانه سیستم رودخانه‌ای تروکی<sup>۵</sup> در ایالت کلورادو (۲۰۰۵)، شبیه سازی استوکستیک سیستم جریان رودخانه کلورادو (۲۰۰۶)، مطالعات پیشرفتی مدل‌های پیش‌بینی استوکستیکی در مهندسی و مدیریت منابع آب در سوئیس (۲۰۰۸) اشاره کرد .(Sveinsson *et al.*, ۲۰۰۷)

<sup>۱</sup>-Upper Colorado

<sup>۲</sup>-Snake River

<sup>۳</sup>-Great Lake

<sup>۴</sup>-Geum River Basin

<sup>۵</sup>-Truckee River System

## فصل سوم

### مواد و روش‌ها

### ۳-۱- فرآیند استوکستیک و سری‌های زمانی

متغیری را در نظر گیرید که با  $X$  نمایش داده می‌شود، اگر خروجی این متغیر با قطعیت قابل پیش بینی باشد به آن متغیر قطعی<sup>۱</sup> یا جبرگرایانه گفته می‌شود. از طرف دیگر، اگر خروجی این متغیر با قطعیت قابل پیش بینی نباشد، به آن متغیر تصادفی<sup>۲</sup> می‌گویند. حال فرض کنید اگر خروجی  $X$  با یک رفتار متوالی<sup>۳</sup> به صورت  $X_t, \dots, X_1$  با فواصل زمان، مکان و نظایر آن قابل مشاهده باشد، این چنین توالی یک سری نامیده می‌شود. هنگامی که فواصل زمان باشند، به آن سری زمانی گفته می‌شود. اگر  $X$  یک متغیر جبری باشد، در این صورت توالی  $X_t, \dots, X_1$  یک سری جبری<sup>۴</sup> و به طور مشابه اگر  $X$  یک متغیر تصادفی باشد، در این صورت توالی یک سری احتمالی<sup>۵</sup> و یا به طور کلی سری استوکستیک<sup>۶</sup> خوانده می‌شود. به علاوه، مجموعه متغیرهای تصادفی  $X_t, \dots, X_1$  یک فرآیند احتمالی و در کل فرآیند استوکستیک اطلاق می‌شوند.

### ۳-۲- مدل‌های سری‌های زمانی<sup>۷</sup>

یک مدل ریاضی نشان دهنده فرآیند استوکستیک، مدل استوکستیک یا مدل سری زمانی خوانده می‌شود. این مدل ساختار ریاضی معین و یک مجموعه از پارامترها را دارا می‌باشد. برای مثال، اگر  $X$  توزیع نرمال داشته و دارای میانگین  $\mu$  و واریانس<sup>۸</sup>  $\sigma^2$  باشد، مدل سری زمانی می‌تواند به صورت زیر نوشته شود:

$$y_t = \mu + \sigma \varepsilon_t \quad (1-3)$$

که در آن  $\varepsilon_t$  نیز دارای توزیع نرمال با میانگین صفر و واریانس یک می‌باشد و ...  $\varepsilon_1, \varepsilon_2, \dots$  مستقل از یکدیگر می‌باشند. در این معادله مدل دارای پارامترهای  $\mu$  و  $\sigma$  می‌باشد.

<sup>1</sup>-Deterministic Variable

<sup>2</sup>-Random Variable

<sup>3</sup>-Sequential Manner

<sup>4</sup>-Deterministic Series

<sup>5</sup>-Probabilistic Series

<sup>6</sup>-Stochastic Series

<sup>7</sup>-Time Series Model

### ۳-۳- مدل سازی سری‌های زمانی<sup>۱</sup>

فرض کنید یک نمونه سری زمانی  $X_1, X_2, \dots, X_N$  با اندازه  $N$  سال جریان سالانه رودخانه در اختیار داریم و علاقه‌مند به یافتن مدل ریاضی هستیم که بیانگر این سری زمانی باشد. تکنیک و روش‌هایی که برای یافتن این قبیل مدل‌ها به کار می‌رود به عنوان "مدل‌های سری‌های زمانی" بیان می‌شوند. مدل‌های استوکستیک فراوانی برای بیان سری‌های زمانی وجود دارد که بعضی از این مدل‌ها پیچیدگی بیشتری نسبت به بقیه دارند. این عامل به خصوصیات سری نمونه در دسترس، نوع مدل مورد استفاده و تکنیک انتخاب شده برای مدل سازی بستگی دارد. برای یک مدل ویژه، تکنیک‌های متنوعی به منظور تخمین پارامترهای مدل و آزمون خوبی مدل وجود دارد.

به طور کلی، مدل سازی سری‌های زمانی به صورت مراحل زیر قابل سازماندهی می‌باشد:

۱- انتخاب نوع مدل

۲- تعیین و تشخیص ساختار مدل

۳- تخمین پارامترهای مدل

۴- بررسی سودمند تشخیص مدل

مرحله اول به انتخاب نوع مدل از بین انواع مختلف مدل‌های موجود اختصاص دارد. برای نمونه، دو مدل برای بیان وابستگی سری‌های زمانی شامل مدل‌های زنجیره مارکوف<sup>۲</sup> و اتورگرسیو<sup>۳</sup> (AR) هستند. برای یک حالت ویژه مدل کننده ممکن است مجبور به انتخاب یک مدل از بین این مدل‌ها باشد. پس از انتخاب مدل، باید ساختار مدل و درجه مدل تشخیص داده شود. مرحله بعد تخمین پارامترهای مدل تعیین شده می‌باشد و در نهایت تشخیص خوبی مدل برآش شده بررسی می‌شود (Salas *et al.*, ۱۹۸۵).

<sup>۱</sup>-Time Series Modeling

<sup>۲</sup>-Markov Chain

<sup>۳</sup>-Autoregressive

### ۳-۴- مبنای فیزیکی مدل سازی سری‌های زمانی در هیدرولوژی

همیشه تفاوت‌هایی بین مدل‌های حقیقی و تخمینی و پارامترهای آن‌ها وجود دارد. مدل سازی جریان رودخانه از دو روش پیروی کرده است: (۱) روش قطعی یا شبیه سازی فیزیکی سیستم هیدرولوژیکی، (۲) روش آماری یا شبیه سازی استوکستیک سیستم. در روش اول، سیستم هیدرولوژیکی توسط روابط فیزیکی و تئوری توصیف و بیان می‌شود و همیشه تطابق واحدی بین ورودی (مثل بارش) و خروجی (جریان) وجود دارد. برای مثال می‌توان به دو مدل استنفورد واترشد<sup>۱</sup> که توسط کرافورد و لینزی (Crawford and Linsley, ۱۹۶۶) و مدل MIT توسط هارلی و همکاران (Harley *et al.*, ۱۹۷۰) ارائه شده، اشاره نمود. از طرف دیگر، روش‌های استوکستیک، مدل‌هایی هستند که هدف آن‌ها بیان اکثر خصوصیات آماری سری‌های تاریخی است. در این روش‌ها نیز، مدل اتورگرسیو به طور گسترده مورد استفاده قرار گرفته است.

از ابتدای دهه ۱۹۶۰ توسعه رسمی مدل‌های استوکستیک با معرفی و کاربرد مدل‌های اتورگرسیو برای جریان سالانه و فصلی آغاز شد (Thomas and Fiering, ۱۹۶۲, Yevjevich, ۱۹۶۳). در گذشته مدل‌های استوکستیک گوناگونی برای مدل سازی سری‌های زمانی هیدرولوژیک پیشنهاد شده‌اند که می‌توان از میان آن‌ها موارد زیر را ذکر کرد. مدل‌های اتورگرسیو توسط توماس و فیرینگ (Thomas and Fiering, ۱۹۶۲) و یوجه‌ویچ (Yevjevich, ۱۹۶۳)، مدل‌های اتورگرسیو میانگین متحرک<sup>۲</sup> توسط کارلسون و همکاران (Carlson *et al.*, ۱۹۷۱) و اکانل (O'Connell, ۱۹۷۱) و مدل‌های خط شکسته<sup>۳</sup> توسط مجیا (Mejia, ۱۹۷۱)، مدل‌های شات-نویز<sup>۴</sup> توسط ویس (Weiss, ۱۹۷۳) و مدل‌های آرما-مارکوف<sup>۵</sup>، توسط لتن مایر و برگز (Lettenmaier and Burges, ۱۹۷۷) معرفی شده‌اند.

<sup>۱</sup>-Stanford Watershed

<sup>۲</sup>-Autoregressive Moving Average

<sup>۳</sup>-Broken Line

<sup>۴</sup>-Shot-noise

<sup>۵</sup>-ARMA-Markov

### **۳-۵- عملی بودن مدل سازی سری‌های زمانی در هیدرولوژی**

مدل سازی سری‌های زمانی دو استفاده اساسی در هیدرولوژی و منابع آب دارد: (۱) تولید سری‌های زمانی هیدرولوژیک ترکیبی، و (۲) پیش‌بینی سری‌های هیدرولوژیکی در آینده. تولید سری‌های ترکیبی عموماً برای تعیین اندازه مخازن، تعیین ریسک عدم قطعیت یا قابلیت اعتماد ذخیره آب برای سیستم‌های آبیاری، برنامه‌ریزی بررسی سیستم ذخیره در آینده و نظایر آن و همچنین پیش‌بینی سری هیدرولوژیکی عموماً برای برنامه‌ریزی کوتاه مدت عملکرد مخازن، عملکرد در زمان واقعی و کوتاه مدت حوضه‌های رودخانه یا سیستم‌ها، همچنین برنامه ریزی در طول خشکسالی در حال وقوع و کاربردهای مشابه مورد نیاز هستند.

### **۳-۶- انواع سری‌های هیدرولوژیکی**

انواع سری‌های هیدرولوژیکی اساساً به صورت یک بعدی یا تک متغیره<sup>۱</sup> در زمان، و چند بعدی (چند نقطه‌ای<sup>۲</sup>، یا چند متغیره<sup>۳</sup>) در زمان، خط یا سری‌های شمارشی<sup>۴</sup> هستند. هرگاه مرجع زمان باشد به سری عموماً "سری زمانی" اطلاق می‌شود. از میان سری‌های فوق سری‌های زمانی به طور مفصل و سری‌های خطی و شمارشی به طور مختصر شرح داده می‌شوند.

### **۳-۶-۱- سری‌های زمانی**

سری‌های زمانی هیدرولوژیک به دو گروه عمده تقسیم بندی می‌شوند:  
**الف- سری‌های زمانی یگانه<sup>۵</sup>:** به این نوع سری‌ها، یک متغیره نیز اطلاق می‌شود که از یک نقطه مشخص برداشت می‌شوند. بارش سالانه، دبی سالانه، بارش و دبی ماهانه در ایستگاه‌های اندازه‌گیری،

<sup>۱</sup>-Univariate

<sup>۲</sup>-Multipoint

<sup>۳</sup>-Multivariate

<sup>۴</sup>-Counting Series

<sup>۵</sup>-Single time Series

میانگین سالانه و ماهانه بارش در یک منطقه، مجموع دبی سالانه و ماهانه برای سیستم یک حوضه آبریز، مقادیر سطح آب زیر زمینی یک چاه همه مثال‌هایی از سری‌های زمانی واحد هستند.

**ب- سری‌های زمانی چندگانه<sup>۱</sup>:** این سری‌ها می‌توانند شامل سری‌های متغیرهای مشابه بوده که در چند نقطه اندازه‌گیری می‌شوند. در این صورت به آن‌ها سری‌های زمانی چند نقطه‌ای می‌گویند. سری‌های ماهانه بارش چند ایستگاه، سری‌های ماهانه یا سالانه دبی رودخانه در نقاط مختلف یک رودخانه، سری‌های ماهانه سطح آب چاهها از این نوع می‌باشند. و یا این که چند سری متغیر متفاوت در یک نقطه مشاهده گردند که به آن‌ها چند متغیره اطلاق می‌شود. سری زمانی مقدار آب و کیفیت مرتبط با آن، سری زمانی بارندگی و سطح آب چاهها در این دسته قرار می‌گیرند. ولی عموماً در بررسی سری‌های زمانی، به سری‌های چند گانه اصطلاحاً سری‌های چند متغیره اطلاق می‌شود.

اساساً، فاصله زمانی انواع سری‌های زمانی را به صورت زیر دسته‌بندی می‌کنند:

- ۱- سری زمانی پیوسته که در آن متغیر به طور پیوسته اندازه‌گیری می‌شود (فاصله زمانی صفر).
- ۲- سری زمانی‌هایی که کسری از یک روز هستند، مثل ساعتی، ۶ ساعته، ۱۲ ساعته و امثال آن (بارش با فاصله زمانی کوتاه).
- ۳- سری زمانی‌هایی که کسری از یک سال هستند، مثل روزانه، هفتگی، ماهانه، فصلی.
- ۴- سری‌های زمانی سالانه که با مجموع یا تراکم در طول یک سال ایجاد و گردشی را نشان نمی‌دهند.

### ۲-۶-۳- سری‌های هیدرولوژیکی خطی<sup>۲</sup>

وقتی متغیرهای هیدرولوژیکی در امتداد یک خط و به فواصل طول مساوی از هم برداشت شوند ایجاد یک سری خطی می‌نمایند که مشابه سری‌های زمانی هیدرولوژیکی به دو دسته سری خطی

<sup>۱</sup>-Multiple Time Series

<sup>۲</sup>-Hydrologic Line Series

یگانه<sup>۱</sup> و چند خطی<sup>۲</sup> تقسیم می‌شوند. خواص کanal یا رودخانه در طول محور آن و خواص محیط متخلخل<sup>۳</sup> در طول یک چاه مثال‌هایی از سری خطی یگانه می‌باشند. وقتی چند سری خطی خواص یک سطح را تعریف کنند به صورت سری خطی چندگانه در می‌آیند.

### ۳-۶-۳- سری‌های شمارشی

این دسته نیز شامل سری‌هایی هستند که از شمارش تعداد رخدادهای یک پدیده در فواصل زمانی مشخص در طول یک خط یا سطح حاصل شده باشند که ممکن است یک متغیره یا چند متغیره باشند. تعداد روزهای بارانی در طول هر ماه، برای یک نقطه مشخص مثالی از سری‌های یگانه در این دسته می‌باشد (Salas et al., ۱۹۸۵).

### ۳-۷-۳- مؤلفه‌های سری‌های هیدرولوژیکی

#### ۳-۷-۳-۱- خصوصیات آماری سری‌های زمانی سالانه

برای اطلاع در مورد خصوصیات آماری متنوع همچون میانگین<sup>۴</sup>، واریانس<sup>۵</sup>، چولگی<sup>۶</sup> و دیگر پارامترها، خواننده می‌تواند به کتاب‌های آمار موجود مراجعه کند. در این قسمت به توضیح برخی از این خصوصیات می‌پردازیم.

اتوکوواریانس<sup>۷</sup>: اتوکوواریانس درجه خود همبستگی خطی سری زمانی را اندازه‌گیری می‌کند.

مقدار اتوکوواریانس  $c_k$  بین  $x_t$  و  $x_{t+k}$  توسط فرمول زیر تعیین می‌شود:

$$c_k = \frac{1}{N} \sum_{t=1}^{N-k} (x_t - \bar{x})(x_{t+k} - \bar{x}), \quad 0 \leq k < N \quad (3-3)$$

<sup>۱</sup>-Single Line Series

<sup>۲</sup>-Multiple Line Series

<sup>۳</sup>-Porous Media

<sup>۴</sup>-Mean

<sup>۵</sup>-Variance

<sup>۶</sup>-Skewness

<sup>۷</sup>-Autocovariance

اتوکوواریانس تأخیر  $k$  (Lag- $k$ )،  $k$  فاصله زمانی بین جفت‌های مرتبط  $(x_t, x_{t+k})$  و  $\bar{x}$  میانگین نمونه و  $N$  اندازه نمونه است. در حالت ویژه زمانی که  $k=0$  باشد،  $c_k$  برابر واریانس می‌شود که به

صورت زیر نوشته می‌شود:

$$c_k = \frac{1}{N} \sum_{t=1}^N (x_t - \bar{x})^2 / N \quad (3-3)$$

با تقسیم  $c_k$  به  $c_0$  مطابق فرمول زیر،  $r_k$  حاصل می‌شود.

$$r_k = \frac{c_k}{c_0} = \frac{\sum_{t=1}^{N-k} (x_t - \bar{x})(x_{t+k} - \bar{x})}{\sum_{t=1}^N (x_t - \bar{x})^2} \quad (4-3)$$

در این فرمول  $r_k$  ضریب یاتابع خود همبستگی<sup>۱</sup> (ACF) می‌باشد. نمودار  $r_k$  در مقابل  $k$  را در کل همبستگی نگاشت<sup>۲</sup> گویند.

مقدار  $r_k$  در اطراف صفر نوسان دارد اما ضرورتاً برابر صفر نیست. در این حالت استفاده از حدود احتمال برای همبستگی نگاشت مفید می‌باشد.

چتفیلد (Chatfield, ۱۹۸۲) جهت معنی‌دار بودن ضرائب خود همبستگی برای سری زمانی با طول  $N$ ، بازه اطمینان زیر را پیشنهاد کرده است:

$$r_k = \frac{\pm r}{\sqrt{N}} \quad (5-3)$$

اندرسون (Anderson, ۱۹۴۱) برای احتمال‌های ۹۵ و ۹۹ درصد بازه اطمینان زیر را ارائه داده است

: (Padilla et al., ۱۹۹۶, Salas et al., ۱۹۸۸)

$$\begin{cases} r_k(95\%) = \frac{-1 \pm 1.96\sqrt{N-k-1}}{N-k} \\ r_k(99\%) = \frac{-1 \pm 2.326\sqrt{N-k-1}}{N-k} \end{cases} \quad (6-3)$$

طول سری زمانی می‌باشد.

<sup>۱</sup>-Autocorrelation Function

<sup>۲</sup>-Correlogram

### ۲-۷-۳- خصوصیات سری‌های زمانی دوره‌ای

در این قسمت به بررسی خصوصیات آماری سری‌های دوره‌ای یا پریودیک همانند سری‌های فصلی، ماهانه، هفتگی و روزانه می‌پردازیم. این سری‌ها رفتار دوره‌ای معین در میانگین، انحراف معیار و چولگی دارند و می‌توان آن‌ها را توسط مدل‌های اتورگرسیو با ضرائب ثابت همچون سری‌های سالانه یا توسط مدل‌هایی با ضرائب دوره‌ای مدل کرد.

خصوصیات وابسته زمانی سری‌های دوره‌ای با تعیین همبستگی نگاشت  $r_{k,\tau}$  از معادله (۷-۳) از سری اولیه  $x_{v,\tau}$ ، که  $v$  نشان دهنده سال و  $\tau$  نشان دهنده فاصله زمانی درون یک سال (روز، هفته، ماه، فصل، و...) می‌باشند، بررسی خواهد شد. در بیشتر حالات، همبستگی نگاشت بعد از بر طرف کردن میانگین و انحراف معیار دوره‌ای محاسبه می‌شوند. ساختار همبستگی سری زمانی  $x_{v,\tau}$  پریودیک به صورت زیر با فاصله زمانی‌های  $\tau$  تعیین می‌شود.

$$r_{k,\tau} = \frac{\frac{1}{N} \sum_{v=1}^N (x_{v,\tau} - \bar{x}_\tau) (x_{v,\tau-k} - \bar{x}_{\tau-k})}{s_\tau \cdot s_{\tau-k}} \quad (7-3)$$

ضریب همبستگی تأخیر  $k$  (lag- $k$ )  $r_{k,\tau}$  می‌باشد.

در این حالت، سری استاندارد شده  $z_{v,\tau}$  با رابطه (۸-۳) محاسبه می‌شود.

$$z_{v,\tau} = \frac{x_{v,\tau} - \bar{x}_\tau}{s_\tau} \quad (8-3)$$

که  $\bar{x}_\tau$  و  $s_\tau$  به ترتیب میانگین و انحراف معیار دوره‌ای می‌باشند. در صورتی که تابع خود همبستگی قبل از بر طرف کردن میانگین و انحراف معیار دوره‌ای محاسبه و ترسیم شود همبستگی نگاشت نیز تغییرات دوره‌ای را نشان می‌دهد.

### ۸-۳- نرمال کردن متغیرهای سری‌های زمانی

بیشتر تئوری‌های احتمال و تکنیک‌های آماری به کار گرفته شده در هیدرولوژی در کل و به ویژه در آنالیز سری‌های زمانی هیدرولوژیک با فرض توزیع نرمال متغیرها توسعه یافته‌اند، زیرا بیشتر منحنی‌های فراوانی متغیرهای هیدرولوژیک به صورت نامتقارن توزیع شده‌اند، یا در حد صفر واقع

شده‌اند، و اغلب تبدیل این متغیرها به متغیرهای نرمال قبل از انجام آنالیزهای آماری مورد نظر، ضروری می‌باشد. در ادامه به روش‌های نرمال سازی سری‌های سالانه و دوره‌ای مورد بررسی قرار می-گیرد.

### ۱-۸-۳- نرمال سازی سری‌های زمانی سالانه

برای اکثر سری‌های سالانه بارش و رواناب در آمریکا، تعداد زیادی از محققین مثل مارکوویک (Markovic, ۱۹۶۵) دریافتند کهتابع توزیع احتمال لگاریتم- نرمال دوپارامتری (log-normal-) به خوبی بر توزیع فراوانی سری‌ها برازش داده می‌شود. در صورتی که سری زمانی سالانه  $x_t$  با توزیع لگاریتم- نرمال دوپارامتری نشان داده شود، تابع چگالی احتمالی آن به صورت زیر می‌باشد.

$$f(x) = \frac{1}{\sqrt{2\pi}x\sigma_y} \exp\left\{-\frac{1}{2}\left[\frac{\log(x)-\mu_y}{\sigma_y}\right]^2\right\} \quad (9-3)$$

که  $\mu_y$  و  $\sigma_y$  پارامترهای تابع هستند، که به ترتیب نشان دهنده میانگین و انحراف معیار  $y = \log(x)$  هستند. بنابراین تبدیل  $x$  توسط رابطه زیر صورت می‌گیرد:

$$y = \log(x) \quad (10-3)$$

اگر تابع توزیع احتمال گاما دو پارامتری (gamma-) برای سری سالانه  $x_t$  استفاده شود، یعنی:

$$f(x) = \frac{1}{\beta^{\alpha} \tau(\alpha)} x^{\alpha-1} e^{-x/\beta} \quad (11-3)$$

که  $\alpha$  و  $\beta$  پارامترها و  $\tau(\alpha)$  بیانگر عملگر تابع گاما می‌باشد، در این صورت تبدیل معادله (12-۳) ایجاد متغیرهای (نه کاملاً) نرمال می‌نماید.

$$y = \sqrt{x} \quad (12-3)$$

معادلات (10-۳) و (12-۳) می‌توانند شامل قسمت سومی شوند. اگر  $x$  در معادله (9-3) تا (11-3) توسط  $c-x$  جایگزین شود، در این صورت  $x$  دارای توزیع لگاریتم- نرمال یا گاما با سه پارامتر می‌شود، که با تجزیه و تحلیل تخمینی قابل محاسبه هستند. معادله (12-۳) را می‌توان به صورت فرم کلی‌تر زیر نوشت.

$$y = a(x - c)^b \quad (13-3)$$

$c$  پارامتر محدوده پایین و  $a$  و  $b$  دیگر پارامترها هستند. مقادیر  $b$  معمولاً  $\frac{1}{2}, \frac{1}{3}, \frac{1}{4}$  هستند

.(Salas et al., 1985)

### ۲-۸-۳- نرمال کردن سری‌های زمانی پریودیک

اغلب در نرمال کردن سری‌های زمانی پریودیک مشکل این است که تبدیل در چه نقطه‌ای باید انجام شود. برای مثال، تبدیل می‌تواند مستقیماً روى سرى اولیه  $x_{v,\tau}$  (قبل از تخمین و بر طرف کردن میانگین و انحراف معیار پریودیک) یا بعد از تخمین پارامترهای پریودیک میانگین و انحراف معیار و حذف آن‌ها از سری  $x_{v,\tau}$  و تولید سری استاندارد صورت گیرد. سری استاندارد شده مطابق رابطه (14-۳) قابل محاسبه می‌باشد.

$$y_{v,\tau} = \frac{x_{v,\tau} - \hat{\mu}_\tau}{\hat{\sigma}_\tau} \quad (14-3)$$

در این صورت سری  $y_{v,\tau}$  دارای مقادیر مثبت و منفی است و به طور کلی نیاز به تبدیلهای پیچیده‌تری دارد. تبدیل سری زمانی پریودیک  $x_{v,\tau}$  به سری زمانی با توزیع نرمال  $y_{v,\tau}$  از طریق استفاده از توابع مختلفی قابل انجام است. یک تابع کلی تبدیل، دارای فرم زیر می‌باشد:

$$y_{v,\tau} = a_\tau (x_{v,\tau} - c_\tau)^{b_\tau} \quad (15-3)$$

$c_\tau$  پارامتر محدوده پایینی و  $a_\tau$  و  $b_\tau$  دیگر پارامترهای دوره‌ای هستند. تبدیل لگاریتم با رابطه (16-۳) بیان می‌شود.

$$y_{v,\tau} = \log (x_{v,\tau} - c_\tau) \quad (16-3)$$

در تبدیلهای معادلات (15-3) و (16-3) پارامترها با  $\tau$  تغییر می‌کنند، که  $\omega = 1, \dots, \omega$  شماره فاصله زمانی‌ها در یک سال است. اما به دست آوردن تمام پارامترهای متغیر با  $\tau$  ضروری نیست. در بعضی از حالات مخصوصاً وقتی  $\tau$  بزرگ است،  $\omega = 25$  برای سری‌های هفتگی،  $\omega = 365$

برای سری‌های روزانه و یا حتی  $\omega = 12$  برای سری‌های ماهانه، پارامترها، هر چند که با زمان تغییر می‌کنند، می‌توانند برای مقادیر  $\alpha$  ثابت بمانند.

### ۹-۳- تست‌های خوبی برآش

تست‌های آماری گوناگونی برای بررسی فرضیه‌ها در مدل سازی سری‌های زمانی هیدرولوژیک وجود دارد. در آمار ریاضی تست‌های گوناگون پارامتری و غیر پارامتری فراوانی وجود دارد. اما تجربه نشان داده است که تعداد کمی از این تست‌ها نیازهای آنالیزی و مدل سازی در سری‌های زمانی هیدرولوژیک را برآورده می‌کنند.

در مدل سازی سری‌های زمانی هیدرولوژیک، معمولاً<sup>۱</sup> فرض می‌کنند که جزء استوکستیک، بعد از بر طرف کردن اجزاء پریودیک و ساختار وابسته زمانی، یک سری نرمال و مستقل است. تست‌های این فرضیات را در ادامه مورد بررسی قرار می‌دهیم.

### ۱-۹-۳- آزمون مستقل بودن

**تست‌های استقلال در زمان:** تست همبستگی نگاشت اندرسون<sup>۲</sup> و تست پورت مانتنو<sup>۳</sup> معمولاً برای بررسی استقلال سری‌های زمانی به کار می‌روند. تست اندرسون در قسمت ۱-۷-۳ توضیح داده شده است.

**تست پورت مانتنو:** این تست توسط باکس و پیرس (Box and Pierce, ۱۹۷۰) به عنوان یک تست تقریبی از صحت مدل معرفی شده است. این تست برای بررسی استقلال باقی مانده‌های  $n$  مدل به کار می‌رود. در این تست،تابع خود همبستگی باقی مانده‌ها  $\chi^2$  محاسبه می‌شود. برای محاسبه آماره  $Q$  از فرمول زیر استفاده می‌شود.

$$Q = N \sum_{k=1}^L r_k^{\gamma} (\hat{\epsilon}) \quad (17-3)$$

---

<sup>۱</sup>-Test of Independence

<sup>۲</sup>-Anderson

<sup>۳</sup>- Porte Manteau Lack of Fit Test

توسط فرمول  $r_k(\hat{\epsilon})$  (۴-۳) محاسبه می‌شود.  $L = ۱۰ - ۳۰\%$  اندازه نمونه  $N$ ، آماره  $Q$  تقریباً معادل کای اسکوئر<sup>۱</sup> با درجه آزادی  $(L-p)$  و  $p$  مرتبه مدل اتورگسیو می‌باشند. اگر  $(p - 1) < \chi^2(L - p)$  باشد در این صورت  $\hat{\epsilon}$  معادله (۳-۱۷) مستقل است که بیان می‌کند مدل انتخاب شده  $AR(p)$  مناسب است. در غیر این صورت، باید مدل دیگری با درجه  $1 + p$  انتخاب و مدل سازی شود. آماره  $Q$  برای مدل ARMA( $p,q$ ) نیز به صورت زیر قابل محاسبه است.تابع خود همبستگی  $r_k(\epsilon)$  برای سری باقی مانده‌های  $\epsilon_t$  با تأخیر  $-4$  (lag-4) از مقدار یک تا  $q$  محاسبه می‌شود ( $p$  و  $q$  به ترتیب مرتبه قسمت اتورگسیو و میانگین متحرک مدل می‌باشند).

$$Q = N \sum_{k=1}^L [r_k(\epsilon)]^2 \quad (18-3 \text{ الف})$$

در صورتی که  $Q$  کمتر از مقدار کای اسکوئر با درجه آزادی  $L-p-q$  باشد، مدل مورد قبول است.

زمانی که باقی مانده‌ها از یک سری دوره‌ای حاصل شده باشد، آماره اصلاح شده  $Q_1$  مورد استفاده قرار می‌گیرد.

$$Q_1 = N \sum_{k=1}^L \sum_{\tau=1}^{\omega} [r_{k,\tau}(\epsilon)]^2 \quad (18-3 \text{ ب})$$

## ۲-۹-۳- تست‌های نرمالیتی<sup>۲</sup>

تست‌های فراوانی برای بررسی فرضیه نرمال بودن سری زمانی در دسترس هستند. یک تست کلی رسم توزیع سری زمانی بر روی کاغذهای احتمال نرمال و بررسی این که نقاط رسم شده به طور تقریبی بر روی یک خط صاف قرار دارند یا خیر می‌باشد. در ادامه تست چولگی<sup>۳</sup> توضیح داده خواهد شد.

تست چولگی نرمال بودن: مقدار ضریب چولگی برای این تست توسط فرمول (۳-۱۹) برای سری زمانی  $x_t, t = 1, \dots, N$  محاسبه می‌شود.

<sup>۱</sup>-Chi-Square

<sup>۲</sup>-Tests of Normality

<sup>۳</sup>-Skewness

$$\hat{\gamma} = \frac{\frac{1}{N} \sum_{t=1}^N (x_t - \bar{x})^2}{\left[ \frac{1}{N} \sum_{t=1}^N (x_t - \bar{x})^2 \right]^{1/2}} \quad (19-3)$$

در این فرمول  $\bar{X}$  میانگین نمونه‌ها می‌باشد. حدود احتمال  $\gamma$  با رابطه (۲۰-۳) تعریف می‌شود.

$$[-u_{1-\alpha/2} \sqrt{\frac{\epsilon}{N}}, u_{1-\alpha/2} \sqrt{\frac{\epsilon}{N}}] \quad (20-3)$$

$u_{1-\alpha/2}$  چارک  $\alpha/2$  - از توزیع نرمال استاندارد می‌باشد. اگر مقدار  $\hat{\gamma}$  فرمول (۱۹-۳) بین مقادیر

فرمول (۲۰-۳) قرار بگیرد فرضیه نرمال بودن پذیرفته می‌شود.

### ۳-۹-۳- معیار اطلاعاتی آکائیک

یک فرمول ریاضی که اصل امساک<sup>۱</sup> در مدل سازی را در نظر می‌گیرد، معیار اطلاعاتی آکائیک<sup>۲</sup>

(AIC) می‌باشد که توسط آکائیک (Akaike, ۱۹۷۴) مطرح شده است. این معیار برای مقایسه بین

مرتبه‌های مختلف مدل‌های AR(p,q) و ARMA(p,q) به ترتیب مورد استفاده قرار می‌گیرد.

$$\begin{cases} AIC(p) = N \times \ln(\sigma_e^2) + 2p \\ AIC(p, q) = N \times \ln(\sigma_e^2) + 2(p + q) \end{cases} \quad (21-3)$$

در این فرمول‌ها N اندازه نمونه و  $\sigma_e^2$  تخمین حداکثر درست نمایی واریانس باقی مانده‌ها می‌باشد.

آکائیک این معیار را برای انتخاب مدل صحیح از بین دیگر مدل‌ها پیشنهاد کرده است. بر اساس این

معیار مدلی که مقدار معیار اطلاعاتی آکائیک آن نسبت به بقیه کمتر باشد، انتخاب می‌شود. به عنوان

مثال می‌توان مقایسه‌ای بین AIC(p) با AIC(p-1) و AIC(p+1) انجام داد و در صورتی که

AIC(p-1) کمتر از AIC(p) و AIC(p+1) باشد، در نتیجه مدل AR(p) به عنوان بهترین مدل شناخته می‌شود.

### ۱۰-۳- مدل سازی اتورگرسیو<sup>۳</sup>

مدل‌های اتورگرسیو (AR) از سال ۱۹۶۰ به طور گسترده در هیدرولوژی و منابع آب به منظور

مدل کردن سری‌های زمانی هیدرولوژیک تناوبی و سالانه مورد استفاده قرار گرفته‌اند. کاربرد این

<sup>۱</sup>-Principle of Parsimony

<sup>۲</sup>-Akaike Information Criterion

<sup>۳</sup>-Autoregressive Modeling

مدل‌ها به دلایل زیر در هیدرولوژی جالب به نظر می‌رسد: (۱) فرم مدل اتورگرسیو (AR) یک شکل ذاتی وابسته به زمان است (مقدار متغیر در زمان حال به مقدار آن در زمان گذشته وابسته است) و (۲) ساده‌ترین نوع مدل برای استفاده هستند. توسعه مدل‌های AR در هیدرولوژی ممکن است به دو دوره تقسیم شود: دهه ۱۹۶۰، که با کار توماس و فیرینگ (Thomas and Fiering, ۱۹۶۲) و یوجه‌ویچ (Yevjevich, ۱۹۶۳) آغاز به کار کرد و دهه ۱۹۷۰، که با انتشار کتاب باکس و جنکینز (Box and Jenkins, ۱۹۷۰) توسعه یافت.

### ۱۰-۳- توصیف مدل‌های AR

مدل‌های اتورگرسیو ممکن است پارامترهای ثابت، پارامترهای متغیر با زمان یا ترکیبی از هر دو داشته باشند، که اولی برای مدل سازی سری زمانی مقادیر سالانه به کار می‌رود در حالی که دو تای آخر ممکن است برای فاصله سری زمانی‌هایی که کسری از سال هستند مورد استفاده قرار گیرد. ساختار ریاضی مدل‌های AR با پارامترهای ثابت و تناوبی در ادامه بیان شده‌اند.

**الف- مدل‌های AR با پارامترهای ثابت:** سری زمانی  $y_t$  با توزیع نرمال و میانگین  $\mu$  و واریانس  $\sigma^2$  را در نظر بگیرید. مدل اتورگرسیو مرتبه  $p$  که به صورت AR(p) نشان داده می‌شود، معمولاً به صورت زیر نشان داده می‌شود:

$$\begin{cases} y_t = \mu + \varphi_1(y_{t-1} - \mu) + \cdots + \varphi_p(y_{t-p} - \mu) + \varepsilon_t \\ y_t = \mu + \sum_{j=1}^p \varphi_j (y_{t-j} - \mu) + \varepsilon_t \end{cases} \quad (۲۲-۳)$$

که  $y_t$  سری (متغیر) وابسته زمانی و  $\varepsilon_t$  سری مستقل زمانی (غیر همبسته) است که مستقل از  $y_t$  می‌باشد و به صورت نرمال با میانگین صفر و واریانس  $\sigma^2$  توزیع شده است. ضریب‌های  $\varphi_1, \dots, \varphi_p$  ضریب‌های اتورگرسیو نامیده می‌شوند. مجموعه پارامترهای مدل  $\{\sigma^2, \varphi_1, \dots, \varphi_p, \mu\}$  می‌باشند که باید از داده‌ها تخمین و یا تعیین شوند.

فرم‌های مختلفی از مدل‌های AR در زمینه فرآیند استوکستیک استفاده شده‌اند. این ساختارها در جدول (۱-۳) قابل مشاهده هستند، که در حقیقت مدل‌های یکسانی هستند و فرآیند اتورگرسیو

مشابهی را نمایش می‌دهند و فقط در ساختارهای مختلفی نوشته شده‌اند، که استفاده از هر ساختار به سلیقه شخص مدل کننده بستگی دارد.

جدول ۱-۳- فرم‌های مختلف مدل AR

منبع	پارامترها	شكل مدل
Fiering and Jackso (۱۹۷۱), Beard (۱۹۶۷)	$\mu, \sigma^{\tau}, \varphi_1, \dots, \varphi_p, R^{\tau}$ $(\sigma_{\xi}^{\tau} = 1)$	$y_t = \mu + \sum_{j=1}^p \varphi_j (y_{t-j} - \mu) + \sigma(1 - R^{\tau})^{1/\tau} \xi_t$
Yevjevich (۱۹۷۲)	$\mu, \sigma^{\tau}, \varphi_1, \dots, \varphi_p, \sigma_{\varepsilon}^{\tau}$ $(\sigma_{\xi}^{\tau} = 1)$	$y_t = \mu + \sigma z_t,$ $z_t = \sum_{j=1}^p \varphi_j z_{t-j} + \varepsilon_t$ or $z_t = \sum_{j=1}^p \varphi_j z_{t-j} + \sigma_{\varepsilon} \xi_t$
Box and Jenkins (۱۹۷۰)	$\mu, \varphi_1, \dots, \varphi_p, \sigma_{\varepsilon}^{\tau}$	$y_t = \mu + \sum_{j=1}^p \varphi_j (y_{t-j} - \mu) + \varepsilon_t$ $y_t = \mu + \sum_{j=1}^p \varphi_j (y_{t-j} - \mu) + \sigma_{\varepsilon} \xi_t$
Box and Jenkins (۱۹۷۰)	$\mu, \varphi_1, \dots, \varphi_p, \sigma_{\varepsilon}^{\tau}$ $(\sigma_{\xi}^{\tau} = 1)$	$z_t = \sum_{j=1}^p \varphi_j z_{t-j} + \varepsilon_t$ $z_t = \sum_{j=1}^p \varphi_j z_{t-j} + \sigma_{\varepsilon} \xi_t$

ب- مدل‌های AR با پارامترهای تناوبی: مدل‌های اتورگرسیو با پارامترهای تناوبی مدل‌هایی هستند که قسمتی یا تمام پارامتر آن‌ها در طول سال تغییر می‌کند یا به عبارت بهتر تناوبی هستند. این مدل‌ها اغلب مدل‌های AR تناوبی نامیده می‌شوند. این تناوب ممکن است در میانگین، واریانس، یا ضریب اتورگرسیو باشد. برای مثال، یک مدل AR(P) با میانگین و واریانس پریودیک اما ضریب اتورگرسیو ثابت ممکن است به صورت زیر نمایش داده شود.

$$y_{v,\tau} = \mu_{\tau} + \sigma_{\tau} z_{v,\tau} \quad (23-3)$$

$$z_{v,\tau} = \sum_{j=1}^p \varphi_j z_{\tau-j} + \varepsilon_{v,\tau} \quad (24-3)$$

که  $y_{v,\tau}$  متغیر وابسته زمانی برای سال v و زمان  $\tau$  (ماه، هفته و ...) و  $\omega = 1, \dots, \omega$  کل فاصله زمانی‌ها در یک سال می‌باشد که توزیع نرمال با میانگین  $\mu_{\tau}$  و واریانس  $\sigma_{\tau}^2$  و ساختار همبستگی اتورگرسیو با درجه p و ضریب ثابت دارد. متغیر وابسته  $z_{v,\tau}$  همانند متغیر مستقل  $\varepsilon_{v,\tau}$  نرمال با میانگین صفر و به ترتیب واریانس یک و  $\sigma_{\varepsilon}^2$  هستند. مجموعه پارامترهای معادلات (23-3) و (24-4) برابر  $\{\mu_{\tau}, \sigma_{\tau}^2, \varphi_1, \dots, \varphi_p, \sigma_{\varepsilon}^2, \tau = 1, \dots, \omega\}$  هستند.

## ج- خصوصیات مدل‌های AR

خصوصیات اصلی مدل‌های اتورگرسیو که در این قسمت بررسی می‌شوند تابع خود همبستگی و خود همبستگی جزئی و شرایطی که باید توسط پارامترهای مدل ارضا شوند، می‌باشند.

### ج ۱- خصوصیات مدل‌های AR با پارامترهای ثابت

**تابع خود همبستگی:** تابع خود همبستگی  $\rho_k$  متغیر  $y_t$  معادله (۲۴-۳) توسط ضرب دو طرف معادله در  $y_{t-k}$  و گرفتن امید ریاضی به صورت جمله به جمله به دست می‌آید، که به کمک معادله یول-واکر<sup>۱</sup> قابل محاسبه هستند:

$$\begin{cases} \rho_k = \varphi_1 \rho_{k-1} + \varphi_2 \rho_{k-2} + \cdots + \varphi_p \rho_{k-p}, & k > 0 \\ \rho_k = \sum_{j=1}^p \rho_{k-j}, & k < 0 \end{cases} \quad (25-3)$$

این معادله نتیجه مطالعات یول (Walker, ۱۹۲۱) و واکر (Yule, ۱۹۲۱) می‌باشد و به طور مشابه برای تخمین پارامترهای AR(p) به روش گشتاور و تعیین همبستگی نگاشت  $\rho_k$  برای مجموعه پارامترهای  $p, \dots, j, 1$  به کار می‌رond. ساختار  $\rho_k$  در تشخیص مرتبه مدل اهمیت دارد.

**تابع خود همبستگی جزئی:** این تابع روش دیگری برای نمایش ساختار وابسته زمانی یک سری یا یک مدل است. همچنین در تعیین نوع و مرتبه مدل برای سری‌های زمانی مورد نظر مفید است. در صورتی که  $j$  امین ضریب اتورگرسیو توسط  $\varphi_j(k)$  مشخص شود،  $\varphi_k(k)$  آخرین ضریب می‌باشد. سپس معادله (۲۵-۳) بدین صورت باز نویسی می‌شود.

$$\rho_j = \varphi_1(k) \rho_{j-1} + \varphi_2(k) \rho_{j-2} + \cdots + \varphi_k(k) \rho_{j-k}; \quad j = 1, \dots, k \quad (26-3)$$

که  $\varphi_k(k)$  تابع خود همبستگی جزئی است و با حل معادله (۲۶-۳) برای هر  $k=1, 2, \dots$  محاسبه می‌شود. معادله (۲۶-۳) برای مدل AR(p) نتیجه می‌دهد:

$$\begin{cases} \varphi_k(k) \neq 0, & k \leq p \\ \varphi_k(k) = 0, & k > p \end{cases} \quad (27-3)$$

---

<sup>۱</sup>-Yule-Walker Equation

شرطی که باید توسط پارامترهای مدل ارضا شود: شرط ایستا بودن<sup>۱</sup>: برای این که مدل AR(p) با پارامترهای ثابت معادلات (۲۲-۳) یا (۲۴-۳) ایستا باشد باید مجموعه پارامترهای  $\varphi_1, \dots, \varphi_p$  شرط ایستا بودن را ارضا کنند. این شرط در صورتی ارضا می‌شود که ریشه معادله زیر در دایره واحد قرار گیرد (Yevjevich, ۱۹۷۲).

$$u^p - \varphi_1 u^{p-1} - \varphi_2 u^{p-2} - \dots - \varphi_p = . \quad (28-3)$$

که باید  $1 < |u_i|$  و  $i = 1, \dots, p$  باشند، که  $u_i$  ریشه‌های معادله (۲۸-۳) هستند. برای مدل AR(1) معادله (۲۸-۳) به صورت  $u - \varphi_1 = 0$  در می‌آید که نتیجه می‌دهد  $u = \varphi_1$  و  $1 < |\varphi_1|$  که شرط ایستایی برای مدل AR(1) می‌باشد و معادل  $1 < |\varphi_1| < 1$  می‌باشد.

معادله (۲۸-۳) برای AR(2) به صورت  $u^2 - \varphi_1 u - \varphi_2 = 0$  در می‌آید. این شرط بیان می‌کند که پارامترهای  $\varphi_1$  و  $\varphi_2$  باید در محدوده‌ای که به صورت زیر تعریف می‌شود، قرار گیرند.

$$\begin{cases} \varphi_1 + \varphi_2 < 1 \\ \varphi_2 - \varphi_1 < 1 \\ -1 < \varphi_2 < 1 \end{cases} \quad (29-3)$$

## ج ۲ - خصوصیات مدل‌های AR با پارامترهای پریودیک

تابع خود همبستگی: تابع خود همبستگی مدل  $Z_{v,\tau}$  معادله (۲۴-۳) به صورت زیر محاسبه می‌شود.

$$\rho_{k,\tau} = \sum_{j=1}^p \varphi_{j,\tau} \rho_{|k-j|, \tau-l_j}, \quad k > . \quad (30-3)$$

که  $l_j = \min(k, j)$  و  $\rho_{0,\tau} = 1$  می‌باشند. توسط این معادله می‌توان پارامترهای مدل و همچنین همبستگی نگاشت  $(\tau)$  را محاسبه کرد.

شرطی که باید توسط پارامترهای مدل ارضا شود: در کل این شرایط برای پارامترهای پریودیک  $\varphi_{j,\tau}$  به آسانی قابل بررسی نیستند. بنابراین، از شرایط مورد استفاده برای مدل‌های AR با پارامترهای ثابت به صورت تقریبی استفاده می‌شود (Salas et al., ۱۹۸۵).

---

<sup>۱</sup>-Stationary

## ۳-۱۰-۲- مدل سازی AR با سری‌های زمانی سالانه

### الف- مدل‌های AR سالانه

متغیر هیدرولوژیک سالانه  $x_t$  که را در نظر بگیرید. در صورتی که  $x_t$  نرمال نباشد، ابتدا باید آن را به صورت نرمال در آورد.

$$y_t = g(x_t) \quad (31-3)$$

در رابطه فوق  $g$ تابع انتقال و  $y_t$  متغیر نرمال شده می‌باشد. مدل AR برای برآشش به سری  $y_t$  با معادله (۳۲-۳) نشان داده می‌شود و دارای میانگین  $\mu$  و واریانس  $\sigma^2$  و  $z_t$  مدل  $(\cdot)$  می‌باشد

$$z_t = \varepsilon_t$$

$$y_t = \mu + z_t \quad (32-3)$$

مدل  $AR(p)$  با رابطه (۳۳-۳) نشان داده می‌شود.

$$z_t = \varphi_1 z_{t-1} + \dots + \varphi_p z_{t-p} + \varepsilon_t \quad (33-3)$$

### ب- تخمین پارامترهای مدل AR سالانه

در صورتی که سری هیدرولوژیک سالانه توسط  $x_1, x_2, \dots, x_N$  نمایش داده شود و سری نرمال توسط  $y_1, y_2, \dots, y_N$  نمایش داده شود و  $N$  تعداد سال‌های داده مورد نظر ما باشد، دو روش برای تخمین پارامترها  $\{\mu, \sigma^2, \varphi_1, \dots, \varphi_p\}$  وجود دارد، روش گشتاور و روش حداقل درست نمایی.

تخمین‌گر گشتاور پارامترهای مدل: تخمین‌گر گشتاور پارامتر  $\mu$  برابر است با:

$$\hat{\mu} = 1/N \sum_{t=1}^N y_t \quad (34-3)$$

$\hat{\mu}$  میانگین توالی  $y_t$  می‌باشد و تخمین‌گر گشتاور واریانس نیز به صورت زیر می‌باشد:

$$\hat{\sigma}^2 = 1/N \sum_{t=1}^N (y_t - \bar{y})^2 \quad (35-3)$$

معادله (۳۴-۳) تخمین اریب  $\sigma^2$  را ارائه می‌دهد.

دیگر پارامترهای مدل  $\{\varphi_1, \dots, \varphi_p\}$  را با استفاده از توالی زیر می‌توان تخمین زد:

$$z_t = y_t - \bar{y}, t = 1, \dots, N \quad (36-3)$$

پارامترهای  $\varphi_1, \varphi_2, \dots, \varphi_p$  با حل سیستم معادلات خطی (۲۵-۳) که در آن  $r_j$  توسط  $r_j$  و  $\varphi_j$  توسط

$\hat{\varphi}_j$  جایگزین شده‌اند، با رابطه زیر تخمین زده می‌شوند.

$$r_k = \hat{\varphi}_1 r_{k-1} + \hat{\varphi}_2 r_{k-2} + \dots + \hat{\varphi}_p r_{k-p}, k > p. \quad (37-3)$$

در این رابطه  $r_1, r_2, \dots, r_p$  توسط فرمول (۴-۳) محاسبه می‌شوند. در کل، برای مدل (۱) AR می‌توان

نوشت:

$$\hat{\varphi}_1 = r_1 \quad (38-3)$$

همچنین برای مدل (۲) AR نتیجه می‌دهد:

$$\hat{\varphi}_1 = \frac{r_1(1-r_1)}{1-r_1^2}, \quad \hat{\varphi}_2 = \frac{r_2-r_1^2}{1-r_1^2} \quad (39-3)$$

در نهایت، پارامتر  $\sigma_\varepsilon^2$  توسط رابطه زیر محاسبه می‌شود.

$$\hat{\sigma}_\varepsilon^2 = \sigma^2 (1 - \sum_{j=1}^p \varphi_j r_j) \quad (40-3)$$

برای مدل (۱) AR، معادلات (۳۸-۳) و (۴۰-۳) نتیجه می‌دهند:

$$\hat{\sigma}_\varepsilon^2 = \frac{N\hat{\sigma}^2}{(n-1)} (1 - \hat{\varphi}_1^2) \quad (41-3)$$

و برای مدل (۲) AR، معادلات (۳۹-۳) و (۴۰-۳) معادله زیر را ارائه می‌دهند:

$$\hat{\sigma}_\varepsilon^2 = \frac{N\hat{\sigma}^2(1+\hat{\varphi}_2)}{(n-2)(1-\hat{\varphi}_2)} \{ (1 - \hat{\varphi}_2)^2 - \hat{\varphi}_1^2 \} \quad (42-3)$$

### ج- تست‌های خوبی برآذش برای مدل‌های AR سالانه

تست خوبی برآذش مدل‌های AR سری‌های هیدرولوژیک سالانه به دو صورت قابل انجام است، (۱)

تست روی فرضیه‌های ساخته شده برای مدل AR و (۲) مقایسه همبستگی نگاشت نمونه‌های تاریخی

با همبستگی نگاشت مدل برآذش شده. تست‌های آماری پیشنهاد شده بالا باید بعد از مدل سازی

حتماً مورد بررسی قرار گیرند. اما در بعضی شرایط، آنالیزگر ممکن است از انجام بعضی از این تست‌ها

منصرف شود و بر اساس درجه مدل و پارامترهای مربوط تصمیم‌گیری کند.

## د- تولید و پیش بینی با استفاده از مدل های AR سالانه

پس از تعیین پارامترهای مدل و انجام تست های خوبی برآذش و انتخاب مدل مناسب، می توان از مدل برای تولید سری سالانه و یا پیش بینی مقادیر سالانه آینده استفاده کرد. در استفاده از مدل در تولید سری سالانه باید مراحل زیر در نظر گرفته شود. اگر سری اولیه برای شروع مدل سازی به سری نرمال تبدیل شده است در آن صورت باید عکس تبدیل صورت گیرد، بدین معنی که:

$$\hat{x}_t = \hat{g}^{-1}(\hat{y}_t) \quad (43-3)$$

(.)<sup>-1</sup>  $\hat{g}$  نشان دهنده عکستابع تبدیل (.) $\hat{g}$  می باشد.

برای مثال، اگر  $y_t = \log(x_t)$  می توان از معادلات

$$(32-3) \text{ و } (33-3) \text{ بدین صورت بدست آورد:}$$

$$\begin{cases} \hat{y}_t = \bar{y} + \hat{z}_t \\ \hat{z}_t = \hat{\varphi}_1 \hat{z}_{t-1} + \dots + \hat{\varphi}_p \hat{z}_{t-p} + \varepsilon_t \end{cases} \quad (44-3)$$

$\varepsilon_t$  باقی مانده نرمال با میانگین صفر و واریانس  $\hat{\sigma}_\varepsilon^2$  می باشد. می توان از متغیر نرمال استاندارد شده

$\xi_t$  استفاده کرد، بنابراین  $\hat{\xi}_t = \hat{\varepsilon}_t$  می شود. بنابراین برای معادله (44-3) می توان نوشت:

$$\hat{z}_t = \hat{\varphi}_1 \hat{z}_{t-1} + \dots + \hat{\varphi}_p \hat{z}_{t-p} + \hat{\sigma}_\varepsilon \xi_t \quad (45-3)$$

با استفاده از معادلات (43-3)، (44-3) و (45-3) می توان سری سالانه  $\hat{x}_t$  را تولید کرد. مراحل

تولید به صورت زیر می باشد: (۱) تولید عدد تصادفی نرمال استاندارد  $\xi_1$  و استفاده از معادله (45-3)

برای تعیین  $\hat{z}_1$  با این فرض که  $\hat{z}_{-p+1}, \hat{z}_{-p}, \dots, \hat{z}_1$  برابر صفر هستند. به همین ترتیب تولید  $\xi_2$  و

محاسبه  $\hat{z}_2$  توسط معادله (45-3) و استفاده از  $\hat{z}_1$  که در مرحله قبل بدست آمد و مقادیر  $\dots, \hat{z}_{-1}, \hat{z}_0$

که برابر صفر هستند. این روش تا محاسبه  $\hat{z}_N$  تکرار می شود. (۲) بر اساس توالی تولید شده

توالی  $\hat{z}_1, \dots, \hat{z}_N$  با استفاده از فرمول (44-3) تعیین می شوند. (۳) بر اساس توالی تولید

شده  $\hat{y}_1, \dots, \hat{y}_N$  و استفاده از فرمول (43-3) سری زمانی سالانه  $\hat{x}_1, \dots, \hat{x}_N$  محاسبه می شود.

### ۳-۱۰-۳- مدل سازی AR با سری های زمانی پریودیک

#### الف- مدل AR پریودیک با ضرائب ثابت

سری پریودیک با  $x_{v,\tau}$  که  $v$  و  $\tau$  به ترتیب نشان دهنده سال و فاصله زمانی ها در سال (روز، هفته، ماه، فصل و ...) می باشند، نشان داده می شود.تابع انتقال برای تبدیل این سری به سری نرمال با  $g_\tau$  نشان داده می شود. سری نرمال  $y_{v,\tau}$  برابر است با:

$$y_{v,\tau} = g_\tau(x_{v,\tau}) \quad (46-3)$$

خواهد بود. سری نرمال پریودیک  $y_{v,\tau}$  به صورت زیر نوشته می شود:

$$y_{v,\tau} = \mu_\tau + \sigma_\tau z_{v,\tau} \quad (47-3)$$

$\mu_\tau$  و  $\sigma_\tau$  میانگین و انحراف معیار پریودیک و  $z_{v,\tau}$  سری وابسته زمانی با میانگین صفر و واریانس یک می باشد. سری زمانی  $z_{v,\tau}$  توسط مدل های AR با ضریب اتورگرسیو ثابت یا پریودیک مدل می شود. در صورتی که سری  $z_{v,\tau}$  توسط مدل های AR با ضرائب ثابت همانند سری های سالانه مدل شود، مدل AR(p) برای این سری زمانی در کل همانند معادله (۳۳-۳) خواهد بود:

$$z_t = \varphi_1 z_{t-1} + \cdots + \varphi_p z_{t-p} + \varepsilon_t \quad (48-3)$$

پارامترهای این مدل شامل  $\{\varphi_1, \dots, \varphi_p, \sigma_\varepsilon, \tau = 1, \dots, \omega\}$  می باشد که باید از نمونه داده ها تخمین زده شود.

#### ب- مدل AR پریودیک با ضرائب پریودیک

مدل AR(p) برای این مدل ها به صورت زیر می باشد:

$$z_{v,\tau} = \varphi_{1,\tau} z_{v,\tau-1} + \cdots + \varphi_{p,\tau} z_{v,\tau-p} + \sigma_{\varepsilon\tau} \xi_{v,\tau} \quad (49-3)$$

مدل (۴۹-۳) را می توان به ترتیب توسط روابط زیر نشان داد:

$$z_{v,\tau} = \varepsilon_{v,\tau} \quad (50-3)$$

$$z_{v,\tau} = \varphi_{1,\tau} z_{v,\tau-1} + \sigma_{\varepsilon\tau} \xi_{v,\tau} \quad (51-3)$$

$$z_{v,\tau} = \varphi_{1,\tau} z_{v,\tau-1} + \varphi_{2,\tau} z_{v,\tau-2} + \sigma_{\varepsilon\tau} \xi_{v,\tau} \quad (52-3)$$

که در روابط فوق  $\varphi_{j,\tau}$  ضریب اتورگرسیو پریودیک و  $\sigma_{\varepsilon\tau}$  واریانس پریودیک باقی ماندها می‌باشند.

مجموعه پارامترهای این مدل‌ها شامل  $\{g_\tau, \mu_\tau, \sigma_\tau, \varphi_{1,\tau}, \dots, \varphi_{p,\tau}, \sigma_{\varepsilon\tau}; \tau = 1, \dots, \omega\}$  می‌باشد و باید از داده‌ها تخمین زده شود. ضریب اتورگرسیو پریودیک برای مدل AR(1) فرمول (51-3) با حل معادله (30-3) به صورت زیر به دست می‌آید.

$$\hat{\varphi}_{1,\tau} = \hat{\rho}_{1,\tau}, \quad \tau = 1, \dots, \omega \quad (53-3)$$

حل معادله (30-3) برای مدل AR(2) نتیجه می‌دهد (Salas et al., 1985)

$$\begin{cases} \hat{\varphi}_{1,\tau} = \frac{\hat{\rho}_{1,\tau} - \hat{\rho}_{1,\tau-1}\hat{\rho}_{2,\tau}}{1 - \hat{\rho}_{1,\tau-1}^2}, & \tau = 1, \dots, \omega \\ \hat{\varphi}_{2,\tau} = \frac{\hat{\rho}_{2,\tau} - \hat{\rho}_{1,\tau}\hat{\rho}_{1,\tau-1}}{1 - \hat{\rho}_{1,\tau-1}^2}, & \tau = 1, \dots, \omega \end{cases} \quad (54-3)$$

### ۳-۱۱-۱- مدل سازی اتورگرسیو میانگین متحرک<sup>۱</sup>

#### ۳-۱۱-۱-۱- توصیف مدل‌های اتورگرسیو میانگین متحرک

جريان‌های بسیار زیاد توسط بارش‌های بزرگ یا در اثر ذوب برف‌ها یا هر دو ایجاد می‌شوند. این رفتار می‌تواند با اضافه کردن قسمت میانگین متحرک به قسمت اتورگرسیو مدل شود.

#### ۳-۱۱-۲- خصوصیات مدل‌های اتورگرسیو میانگین متحرک

در این قسمت خصوصیات ریاضی پایه مدل‌های ARMA بررسی خواهند شد، در ابتدا خصوصیات مدل‌های MA و سپس مدل‌های ARMA بررسی خواهند شد.

##### الف- خصوصیات مدل‌های MA(q)

اتوکوواریانس این مدل‌ها ( $\text{Cov}(z_t, z_{t-q}) = \theta_q$ ) به صورت زیر محاسبه می‌شود.

---

<sup>۱</sup>-Autoregressive-Moving Average Modeling (ARMA Modeling)

$$\begin{cases} \gamma_k = \text{Cov}[z_t z_{t-k}] = \sigma_\varepsilon^2 \sum_{j=0}^{q-k} \theta_j \theta_{j+k} & , k \leq q \\ = . & , k > q \end{cases} \quad (55-3)$$

برای  $k=0$  واریانس برابر است با:

$$\text{Var}[z_t] = \gamma_0 = \sigma_\varepsilon^2 \sum_{j=0}^q \theta_j^2 \quad (56-3)$$

تابع خود همبستگی (ACF) با نسبت گرفتن دو معادله فوق (با قرارداد  $\theta_0 = -1$ ) به دست می آید.

$$\begin{cases} \rho_k = \frac{\gamma_k}{\gamma_0} = \frac{\sum_{j=0}^{q-k} \theta_j \theta_{j+k}}{\sum_{j=0}^q \theta_j^2} & , k \leq q \\ = . & , k > q \end{cases} \quad (57-3)$$

فرآیند (۱) توسط فرمول زیر تعریف می شود.

$$z_t = \varepsilon_t - \theta_1 \varepsilon_{t-1} \quad (58-3)$$

اتوکوواریانس در تأخیر برابر یک توسط فرمول (۲-۳) بدین صورت محاسبه می شود.

$$\gamma_1 = -\theta_1 \sigma_\varepsilon^2 \quad (59-3)$$

و واریانس نیز برابر:

$$\gamma_0 = (1 + \theta_1^2) \sigma_\varepsilon^2 \quad (60-3)$$

همچنین ضریب خود همبستگی نیز برابر است با:

$$\rho_1 = \frac{\gamma_1}{\gamma_0} = \frac{-\theta_1}{1 + \theta_1^2} \quad (61-3)$$

شرطی که باید توسط پارامترها ارضاء شود شرط وارونگی<sup>۱</sup> نام دارد. برای ارضاء شدن این شرط باید ریشه چند جمله‌ای زیر در دایره واحد قرار گیرد.

$$r^q - \theta_1 r^{q-1} - \theta_2 r^{q-2} - \dots - \theta_q = . \quad (62-3)$$

## ب- خصوصیات کلی مدل‌های ARMA(p,q)

اتوکوواریانس مدل ARMA(p,q) به صورت زیر محاسبه می شود:

<sup>۱</sup>-Invertibility Condition

$$\begin{cases} \gamma_k = \sum_{i=1}^p \varphi_i \gamma_{k-i} - \sum_{i=1}^q \theta_i \gamma_{z\epsilon}(k-i) , & k \leq q+1 \\ \gamma_k = \sum_{i=1}^p \varphi_i \gamma_{k-i} & , k \geq q+1 \end{cases} \quad (63-3)$$

واریانس برای  $k=0$  طبق فرمول زیر محاسبه می‌شود:

$$\text{Var}[z_t] = \sigma_\epsilon^2 + \sum_{i=1}^p \varphi_i \gamma_i - \sum_{i=1}^q \theta_i \gamma_{z\epsilon}(-i) \quad (64-3)$$

تابع خود همبستگی نیز به صورت زیر می‌باشد:

$$\rho_k = \sum_{i=1}^p \varphi_i \rho_{k-i} , \quad k \geq q+1 \quad (65-3)$$

خود همبستگی جزئی  $\varphi_k(k)$  با برازش فرآیند AR با درجه‌های  $k=1, 2, \dots$  به سری مورد نظر به

صورت زیر به دست می‌آید:

$$z_t = \varphi_1(k)z_{t-1} + \varphi_2(k)z_{t-2} + \dots + \varphi_j(k)z_{t-j} + \dots + \varphi_k(k)z_{t-k} \quad (66-3)$$

که در این فرمول  $\varphi_j(k)$ ،  $j$  امین ضریب فرآیند AR با درجه  $k$  را نشان می‌دهد. رسم  $\varphi_k(k)$  در

برابر  $k$  تابع خود همبستگی جزئی را ارائه می‌دهد. خود همبستگی جزئی از معادله یول-واکر به وجود

آمده است.

### ۱۱-۳-۳- مدل سازی سری‌های زمانی سالانه با استفاده از مدل ARMA

#### الف- مدل‌های ARMA سالانه

فرض می‌شود که سری زمانی هیدرولوژیک سالانه توسط  $x_t$  نشان داده شود. در صورتی که

توزیع نرمال نداشته باشد باید به سری نرمال  $y_t$  تبدیل شود. با توجه به این فرضیات، مدل آرما برای

سری هیدرولوژیک  $y_t$  به صورت زیر بیان می‌شود:

$$y_t = \mu + z_t \quad (67-3)$$

که  $z_t$  مدل ARMA(p,q) می‌باشد.

$$z_t = \varphi_1 z_{t-1} + \varphi_2 z_{t-2} + \dots + \varphi_p z_{t-p} + \varepsilon_t - \theta_1 \varepsilon_{t-1} - \theta_2 \varepsilon_{t-2} - \dots - \theta_q \varepsilon_{t-q} \quad (68-3)$$

مدل اتورگرسیو که در قسمت‌های قبل توضیح داده شده حالت خاصی از مدل‌های ARMA می-باشد که در آن تمام ضرائب  $\theta$  صفر هستند. مدل ARMA(1,1) به طور گسترده در هیدرولوژی کاربرد دارد و به صورت زیر بیان می‌شود.

$$z_t = \varphi_1 z_{t-1} + \varepsilon_t - \theta_1 \varepsilon_{t-1} \quad (69-3)$$

پارامترهای مدل ARMA(p,q) برای سری  $y_t$  شامل  $\{\mu, \varphi_1, \dots, \varphi_p, \theta_1, \dots, \theta_q, \sigma_\varepsilon^2\}$  هستند که از داده‌های هیدرولوژیک سالانه تخمین زده می‌شوند.

### ب- تخمین پارامترهای مدل ARMA سالانه

**تشخیص مدل:** وسیله اصلی برای تشخیص مدل،تابع خود همبستگی و خود همبستگی جزئی سری اولیه می‌باشد. برای تشخیص مدل با استفاده از تابع خود همبستگی باید  $r_k$  را در مقابل  $k$  رسم کرد. نشان دادن حدود احتمال روی نمودار خود همبستگی مفید می‌باشد. حدود احتمال ۹۵٪ برابر  $\pm 2/\sqrt{N}$  می‌باشد و  $N$  طول سری مورد نظر می‌باشد.

**تخمین پارامترها:** معادلات (۵۵-۳) و (۵۶-۳) به صورت تکرار شونده<sup>۱</sup> برای به دست آوردن پارامترهای  $\theta$  قابل حل هستند. این معادلات به ترتیب به این صورت نوشته می‌شوند.

$$\sigma_\varepsilon^2 = \frac{c'}{1 + \hat{\theta}_1 + \dots + \hat{\theta}_q} \quad (70-3)$$

$$\theta_j = -(\frac{c_j}{\hat{\sigma}_\varepsilon^2} - \hat{\theta}_1 \hat{\theta}_{j+1} - \hat{\theta}_2 \hat{\theta}_{j+2} - \dots - \hat{\theta}_{q-j} \hat{\theta}_q) \quad (71-3)$$

که  $c_j$  و  $c$  به ترتیب تخمین‌گرهای واریانس و اتوکوواریانس می‌باشند. برای نمونه برای فرآیند

(۱) این معادلات به صورت زیر نوشته می‌شود:

$$\begin{cases} \hat{\sigma}_\varepsilon^2 = \frac{c'}{1 + \hat{\theta}_1} \\ \theta_1 = -\frac{c'}{\hat{\sigma}_\varepsilon^2} \end{cases} \quad (72-3)$$

و به طور مشابه، برای فرآیند (۲) MA(۱) معادله (۷۰-۳) و (۷۱-۳) به صورت زیر نوشته می‌شود.

<sup>۱</sup>-Iteratively

$$\begin{cases} \hat{\sigma}_\varepsilon^2 = \frac{c_1}{1 + \hat{\theta}_1 + \hat{\theta}_2} \\ \hat{\theta}_1 = -\frac{c_2}{\hat{\sigma}_\varepsilon^2} \\ \hat{\theta}_2 = -\left(\frac{c_1}{\hat{\sigma}_\varepsilon^2} - \hat{\theta}_1 \hat{\theta}_2\right) \end{cases} \quad (73-3)$$

برای فرآیند ARMA ابتدا پارامترهای اتورگرسیو تخمین زده می‌شوند. بعد از تخمین اولیه پارامترهای مدل مورد نظر، تخمین مؤثر دیگری از پارامترها، یعنی محاسبه باقی ماندها، مورد نیاز است که از تمام اطلاعات موجود در داده‌ها استفاده می‌کند.

$$\varepsilon_t = z_t - \varphi_1 z_{t-1} - \cdots - \varphi_p z_{t-p} + \theta_1 \varepsilon_{t-1} + \cdots + \theta_q \varepsilon_{t-q} \quad (74-3)$$

باقی ماندها  $\varepsilon_t$  توزیع نرمال دارند. برای نمونه برای مدل  $(1, q)$  می‌توان نوشت:

$$z_t = \varepsilon_t - \theta_1 \varepsilon_{t-1} \quad (75-3)$$

و باقی ماندها توسط فرمول (76-3) قابل محاسبه‌اند:

$$\varepsilon_t = z_t + \theta_1 \varepsilon_{t-1} \quad (76-3)$$

برای محاسبه این مجموع نیاز به مقدار آغازین  $\varepsilon_1$  می‌باشد که صفر در نظر گرفته می‌شود. بنابراین

$$\begin{cases} \varepsilon_1 = z_1 \\ \varepsilon_2 = z_2 + \theta_1 \varepsilon_1 = z_2 + \theta_1 z_1 \\ \varepsilon_3 = z_3 + \theta_1 \varepsilon_2 = z_3 + \theta_1 z_2 + \theta_1 \varepsilon_1 z_1 \end{cases} \quad (77-3)$$

انتخاب مقدار آغازین فقط چند باقی مانده اولیه را تحت تاثیر قرار می‌دهد و به طور معنی داری روی تخمین پارامترها اثری ندارد.

### ج- خوبی برازش برای مدل‌های ARMA سالانه

تست‌های بررسی استقلال باقی ماندها و امساك پارامترها در قسمت ۹-۳ ارائه شده‌اند.

### د- تولید سری سالانه با استفاده از مدل‌های ARMA

پس از انتخاب مدل ARMA، این مدل ممکن است برای تولید سری مصنوعی یا پیش‌بینی وقایع آینده مورد استفاده قرار گیرد. برای تولید سری مقادیر  $\hat{z}_t$  از مدل ARMA(p,q) با ساختار ارائه شده

در رابطه (۷۸-۳) استفاده می‌شود. با تولید سری به اندازه کافی بزرگ و حذف کردن حدود ۵۰ مقدار اول، اثر مقادیر اولیه نیز ناچیز می‌شود.

##### ۵- پیش‌بینی با استفاده از مدل‌های ARMA سالانه

یکی از کاربردهای مهم فرآیندهای ARMA در هیدرولوژی، پیش‌بینی متغیرهای هیدرولوژیک یک یا چند گام زمانی جلوتر می‌باشد. با مراجعه به زمان اولیه "t"، استفاده از مدل‌های ARMA برای پیش‌بینی  $z_{t+L}$  برای  $L \geq 1$ ، که L به عنوان "زمان تدارک"<sup>۱</sup> توصیف می‌شود، مد نظر می‌باشد. مقادیر پیش‌بینی شده  $z_{t+L}$  برای زمان اولیه t و زمان تدارک L به صورت  $z_t(L)$  نوشته می‌شود. به صورت زیر نوشته می‌شود:

$$z_{t+L} = \varphi_1 z_{t+L-1} + \cdots + \varphi_p z_{t+L-p} + \varepsilon_{t+1} - \theta_1 \varepsilon_{t+L-1} - \cdots - \theta_q \varepsilon_{t+L-q} \quad (78-3)$$

پیش‌بینی یک قدم جلوتر در زمان t (با  $L=1$ ) برابر است با:

$$z_t(1) = \varphi_1 z_t + \cdots + \varphi_p z_{t-p+1} - \theta_1 \varepsilon_t - \cdots - \theta_q \varepsilon_{t-q+1} \quad (79-3)$$

و برای  $q < 2$  داریم:

$$z_t(2) = \varphi_1 z_t(1) + \varphi_2 z_t + \cdots + \varphi_p z_{t-p+2} - \theta_1 \varepsilon_t - \cdots - \theta_q \varepsilon_{t-q+2} \quad (80-3)$$

این فرآیند برای پیش‌بینی  $z_t(L)$  های بعدی به همین صورت ادامه می‌یابد.

##### ۱۱-۴-۴- مدل سازی سری‌های زمانی پریودیک با استفاده از مدل ARMA

سری‌های زمانی هیدرولوژیک پریودیک، سری‌هایی هستند که فاصله زمانی آن‌ها کمتر از یک سال می‌باشد. برای مثال، می‌توان سری‌های فصلی، ماهانه، هفتگی یا روزانه را نام برد. ساختار این سری‌های پریودیک را می‌توان با فرآیند ARMA با ضرائب ثابت یا پریودیک مدل کرد. در هر دو حالت مدلی که سری زمانی اولیه را نشان می‌دهد، مدل ARMA پریودیک خوانده می‌شود.

---

<sup>۱</sup>-Lead time

## الف- مدل‌های ARMA پریودیک

فرض می‌کنیم که سری پریودیک اولیه به صورت  $x_{v,\tau}$  نشان داده شود. در صورتی که این سری نرمال نباشد آن را به سری نرمال  $y_{v,\tau}$  تبدیل می‌کنیم. سپس مدل ARMA پریودیک برای  $y_{v,\tau}$  می‌تواند بدین صورت نوشته شود:

$$y_{v,\tau} = \mu_\tau + \sigma_\tau z_{v,\tau} \quad (81-3)$$

که  $\mu_\tau$  و  $\sigma_\tau$  میانگین و انحراف معیار پریودیک و  $z_{v,\tau}$  با مدل ARMA با ضرایب ثابت یا پریودیک نشان داده می‌شود. مدل ARMA(p,q) با ضرایب ثابت بدین صورت نوشته می‌شود:

$$z_t = \sum_{j=1}^p \varphi_j z_{t-j} - \sum_{i=1}^q \theta_i \varepsilon_{t-i} + \varepsilon_t \quad (82-3)$$

که  $\varphi$  و  $\theta$  ضرایب مدل و  $\varepsilon_t$  متغیر مستقل نرمال می‌باشند.  
تائو و دلئور (Tao and Delleur, ۱۹۷۶) مدل ARMA(p,q) با ضرایب پریودیک را به صورت زیر مورد استفاده قرار دادند.

$$z_{v,t} = \sum_{j=1}^p \varphi_{j,\tau} z_{v,\tau-j} - \sum_{i=1}^q \theta_{i,\tau} \varepsilon_{v,\tau-i} + \varepsilon_{v,\tau} \quad (83-3)$$

$\varphi_{j,\tau}$  و  $\theta_{i,\tau}$  ضریب‌های اتورگرسیو- میانگین متحرک پریودیک هستند و  $\varepsilon_{v,\tau}$  مستقل و نرمال می‌باشد.

## ب- تخمین پارامترهای مدل ARMA پریودیک

تخمین پارامترهای مدل‌های ARMA پریودیک همانند مدل‌های AR پریودیک می‌باشد.

## ج- از بین بردن رفتار پریودیک

برای سری‌های ماهانه، میانگین  $\hat{\mu}_\tau$  و انحراف معیار  $\hat{\sigma}_\tau$  ماهانه، ماه به ماه محاسبه می‌شود. سپس سری  $y_{v,\tau}$  به صورت زیر استاندارد می‌شود:

$$z_{v,t} = \frac{y_{v,\tau} - \hat{\mu}_\tau}{\hat{\sigma}_\tau} \quad (84-3)$$

## د- برازش مدل‌های ARMA با ضرائب ثابت

روش برازش مدل ARMA(p,q) به سری  $z_{v,t}$  همانند روش توضیح داده شده در قسمت ۱۱-۳ (ب) می‌باشد. قابل ذکر است که، سری مصنوعی تولید شده  $z_{v,t}$  می‌باشد که عکس عمل استاندارد لازم است تا سری  $y_{v,\tau}$  معادله (۸۲-۳) حاصل شود. همچنین اگر تبدیل برای دستیابی به سری نرمال  $y_{v,\tau}$  صورت گرفته عکس عمل تبدیل برای دستیابی به سری  $x_{v,\tau}$  نیز ضروری می‌باشد.

## ه- برازش مدل‌های ARMA با ضرائب پریودیک

خود همبستگی پریودیک  $r_{v,\tau}$  سری  $z_{v,t}$  به وسیله فرمول (۷-۳) محاسبه می‌شود. بنابراین تخمین تقریبی  $\theta_{k,\tau}$  و  $\varphi_{k,\tau}$  با استفاده از معادلات یول-واکر بدست می‌آیند. برای مثال،

$$\text{ARMA}(1,0) \quad \hat{\varphi}_{1,\tau} = r_{1,\tau} \quad (85-3)$$

$$\text{ARMA}(2,0) \quad \begin{cases} \hat{\varphi}_{1,\tau} = \frac{r_{1,\tau} - r_{1,\tau-1} \cdot r_{2,\tau}}{1 - r_{1,\tau-1}^2} \\ \hat{\varphi}_{2,\tau} = \frac{r_{2,\tau} - r_{1,\tau} \cdot r_{1,\tau-1}}{1 - r_{1,\tau-1}^2} \end{cases} \quad (86-3)$$

$$\text{ARMA}(1,1) \quad r_{1,\tau} = r_{1,\tau} \cdot \hat{\varphi}_{1,\tau} \quad (87-3)$$

$$r_{1,\tau} = \frac{(1 - \hat{\theta}_{1,\tau} \cdot \hat{\varphi}_{1,\tau})(\hat{\varphi}_{1,\tau} - \hat{\theta}_{1,\tau})}{1 + \hat{\theta}_{1,\tau}^2 - 2\hat{\theta}_{1,\tau}\hat{\varphi}_{1,\tau}} \quad (88-3)$$

## و- تست خوبی برازش برای مدل‌های ARMA پریودیک

تست‌های خوبی برازش برای مدل‌های ARMA پریودیک با ضرائب ثابت همانند تست‌های توضیح داده شده در قسمت ۲-۳-۵ برای سری‌های سالانه می‌باشد. برای مدل‌های ARMA با ضرائب پریودیک، تست‌های نظری یا تجربی برای بررسی همبستگی باقی مانده‌ها در مدل‌های استوکستیک وجود ندارد. برای مدل ARMA(1,1) واریانس تقریبی باقی مانده‌ها برابر است با:

$$\sigma_{\epsilon}^2 = \frac{1 - \hat{\varphi}_{1,\tau}^2}{1 + \hat{\theta}_{1,\tau}^2 - 2\hat{\theta}_{1,\tau}\hat{\varphi}_{1,\tau}} \quad (89-3)$$

تائو و دلئور (Tao and Delleur, ۱۹۷۶) پیشنهاد جایگزینی آماره  $Q$  غیر پریودیک پورت مانتو را

کردند:

$$Q_1 = N \sum_{k=1}^L \sum_{t=\tau}^{\omega} (r_{k,t})^r \quad (90-3)$$

$N$  مقدار سال‌های مشاهده شده،  $\omega$  تعداد مشاهدات درون سال،  $L$  تعداد تأخیرهای در نظر گرفته شده و  $r_{k,\tau}$  ضریب همبستگی پریودیک باقی ماندها در زمان  $\tau$  با تأخیر  $k$  می‌باشد. آماره  $Q_1$  را آماره پورت مانئو اصلاح شده گویند (Salas et al., 1985).

## SAMS ۲۰۰۷-۱۲-۳-معرفی نرم افزار

### ۱-۱۲-۳-مقدمه

بسته‌های نرم افزاری کامپیوترا فراوانی از سال ۱۹۷۰ برای آنالیز رفتارهای استوکستیکی سری زمانی و به ویژه سری زمانی هیدرولوژیکی و منابع آب توسعه یافته‌اند. برای مثال، نرم افزار LAST طی سال‌های ۱۹۷۷-۱۹۷۹ توسط کمیته USBR آمریکا در دنور<sup>۱</sup>، در دانشگاه کلورادو<sup>۲</sup> (CSU) ایجاد شده است. این نرم افزار در ابتدا برای کامپیوتراهای بزرگ (پردازنده مرکزی) طراحی شده بود اما بعداً برای استفاده روی کامپیوتراهای شخصی اصلاح شد. طی ۲۰ سال گذشته اصلاحات بیشتری روی نرم افزار LAST صورت گرفت. این مسئله کمیته اصلاح US و دانشگاه کلرادو را به توسعه اولیه SAMS تحت نظارت پروژه تحقیقاتی توسعه یافته آب شناسی کمیته اصلاح و موافق پروفسور سالاس (Jose D.Salas) به عنوان مدیر تحقیقات وادر کرد، که این بسته نرم افزاری قادر به تجزیه و تحلیل استوکستیکی، مدل سازی و شبیه سازی سری زمانی می‌باشد. این برنامه به زبان‌های C، C++ و Fortran قابل نوشته شده است و توسط سیستم عامل ویندوز پیشرفته مثل WINDOS XP قابل اجرا می‌باشد. در اینجا نسخه رایج این نرم افزار با عنوان SAMS ۲۰۰۷ توصیف می‌شود.

---

<sup>۱</sup>-Denver

<sup>۲</sup>-Colorado State University

## ۳-۱۲-۲- کاربردهای نرم افزار SAMS

شبیه سازی استوکستیک سری زمانی منابع آب به طور گسترده در دهه های بسیاری برای مسائل متنوع مرتبط با برنامه ریزی و مدیریت سیستم های منابع آب مورد استفاده قرار گرفته است. نرم افزارهای بسیاری توسعه یافته اند، از این میان می توان به نرم افزارهای IML، STATGRAPHICS، MATLAB، SPSS، SAS/ETS، MINITAB استاندارد در فرآیندهای هیدرولوژیکی بسیار مفید هستند. اولین نسخه نرم افزار<sup>۱</sup> SAMS با عنوان SAMS-۹۶.۱ در سال ۱۹۹۶ منتشر شده است. از آن زمان به بعد با توجه به نیاز مصرف کنندگان اصلاحاتی روی این نرم افزار صورت گرفته و همچنین، توابع و توانایی های جدیدی به این نرم افزار اضافه شده است. در اکتبر ۲۰۰۰ نسخه جدید با عنوان ۲۰۰۰ SAMS منتشر شد. جدیدترین نسخه این نرم افزار، ۲۰۰۷ و دارای روش های جدید مدل سازی و تجزیه و تحلیل داده می باشد.

SAMS ۲۰۰۷ دارای توانایی های زیر می باشد:

- ۱- قادر به تجزیه و تحلیل استوکستیک داده سالانه و ماهانه می باشد.
- ۲- دارای روش های مختلف تبدیل داده اولیه به نرمال می باشد.
- ۳- دارای مدل های استوکستیک فراوانی می باشد که به طور گسترده در آب شناسی مورد استفاده هستند.

- ۴- دارای ۲ طرح مدل سازی اصلی برای تولید داده سیستم های شبکه رودخانه پیچیده می باشد.
- ۵- تعداد نمونه های تولید شده نامحدود است.
- ۶- تعداد سال هایی که می توانند تولید شوند نا محدود است.

هدف اصلی SAMS تولید داده هیدرولوژیکی ساختگی می باشد (Sveinsson *et al.*, ۲۰۰۷).

<sup>۱</sup>-Stochastic Analysis, Modeling and Simulation

### ۳-۱۲-۳- توصیف نرم افزار SAMS

در این بخش به توصیف عمومی SAMS و عملیات‌های مختلفی که توسط این نرم افزار قابل انجام است می‌پردازیم. SAMS نرم افزاری است که با تجزیه و تحلیل استوکستیک، مدل سازی و شبیه سازی سری‌های زمانی هیدرولوژیکی سر و کار دارد. این نرم افزار دارای سه کاربرد ابتدایی می‌باشد:

#### ۱- آنالیز آماری داده

با انتخاب گزینه آنالیز داده<sup>۱</sup> کاربر قادر به انجام آنالیزهای آماری بر روی داده‌های سالانه یا فصلی و داده اولیه یا تبدیل شده می‌باشد که شامل<sup>۴</sup> عملگر زیر است:

➢ رسم سری زمانی که خود شامل رسم سری زمانی، محاسبه و رسم توابع خود همبستگی و خود همبستگی جزئی و طیف می‌باشد. همچنین کاربر قادر به رسم تمام سری زمانی یا فقط قسمتی از آن می‌باشد.

➢ تبدیل سری زمانی. این نرم افزار با رسم داده بر روی کاغذ احتمال نرمال<sup>۲</sup> و استفاده از تست-های نرمالیتی چولگی<sup>۳</sup> و فیلیبن<sup>۴</sup> نرمال بودن داده‌ها را بررسی می‌کند و مقادیر بحرانی و نتیجه تست را به شکل جدول و همچنین بعد از تبدیل نتایج را برای داده‌های اولیه و تبدیل شده به صورت ترسیمی ارائه می‌دهد.

➢ ارائه آمارها. خصوصیات آماری داده سالانه و فصلی و اولیه یا تبدیل شده قابل محاسبه هستند که شامل: (الف) آمارهای پایه مثل میانگین، انحراف معیار، ضریب چولگی، ضریب تغییرات، مقادیر مینیمم و ماکزیمم، ضریب‌های خود همبستگی، همبستگی فصل به فصل، طیف‌ها و همبستگی متقطع، و (ب) اطلاعات ذخیره، خشکسالی و سال‌های پر آبی مثل طولانی‌ترین دوره خشکسالی، حجم ماکزیمم کمبود<sup>۵</sup>، طولانی‌ترین دوره پر آبی<sup>۶</sup>، حجم ماکزیمم پر آبی، ظرفیت ذخیره می‌باشند.

<sup>۱</sup>-Data Analysis

<sup>۲</sup>-Normal Probability Paper

<sup>۳</sup>-Skewness Test of Normality

<sup>۴</sup>-Filliben Test of Normality

<sup>۵</sup>-Maximum Deficit Volume

<sup>۶</sup>-Maximum Surplus

► نمایش آمارها. بعضی از خصوصیات آماری به صورت ترسیمی قابل ارائه هستند که شامل ضریب همبستگی سالانه و فصلی، همبستگی فصل به فصل، همبستگی متقاطع بین مکان‌های مختلف، طیف، آمارهای فصلی شامل میانگین، انحراف معیار، ضریب چولگی، ضریب تغییرات، مقادیر مینیمم و ماکزیمم هستند.

## ۲- برازش مدل استوکستیک

نرم افزار SAMS دارای دو روش تخمین به نام‌های روش گشتاورها<sup>۱</sup> (MOM) و روش کمترین مربعات<sup>۲</sup> (LS) می‌باشد. روش گشتاورها برای مدل‌های (ARMA(p,q), AR(p,q), MAR(p,q), SM, GAR(1)) و روش کمترین مربعات فقط قسمت CMS مدل PARMA(p,q) و MPAR(p,q) و PARMA(p,q) و CSM-CARMA و روش کمترین مربعات فقط برای مدل‌های CARMA(p,q) و PARMA(p,q) و ARMA(p,q) برای مدل CARMA دو روش گشتاورها و حداکثر درست نمایی در دسترس هستند. در خصوص مدل-های چند متغیره تراکمی سالانه، تخمین پارامترها بر اساس روش‌های والنسیا- شاک<sup>۳</sup> و مجیا-راسله<sup>۴</sup> امکان پذیر می‌باشد، در حالی که برای مدل‌های سالانه به فصلی تراکمی روش لین<sup>۵</sup> به کار گرفته می‌شود. این نرم افزار دو روش مدل سازی مستقیم و غیر مستقیم دارد. مدل سازی مستقیم به معنای برازش مدل پایا (مثل ARMA تک متغیره یا AR چند متغیره، CARMA یا CSM-CARMA) مستقیماً به داده سالانه و مدل‌های تناوبی (مثل PARMA تک متغیره یا PAR چند متغیره) به داده فصلی می‌باشد. از طرف دیگر، مدل‌های تراکمی روش‌های غیر مستقیم هستند بدین دلیل که مدل سازی داده سالانه یک ایستگاه می‌تواند به مدل سازی ایستگاه‌های دیگر وابسته باشد و مدل سازی داده فصلی شامل مدل سازی داده سالانه مربوطه قبل از دستیابی به داده فصلی توسط مدل‌های تراکمی زمانی می‌باشد. در این نرم افزار مدل‌ها به دو دسته مدل‌های

---

<sup>۱</sup>-Method of Moments

<sup>۲</sup>-Least Squares Method

<sup>۳</sup>-Valencia-Schaake

<sup>۴</sup>-Mejia-Rousselle

<sup>۵</sup>-Lane

داده سالانه و فصلی تقسیم بندی شده‌اند که هر دسته شامل مدل‌های تک متغیره، چند متغیره و تراکمی می‌باشد. مدل‌های زیر در دو دسته در SAMS موجود هستند:

الف- داده‌های سالانه

- مدل تک متغیره ARMA(p,q)
- مدل تک متغیره GAR(1)
- مدل تک متغیره SM
- مدل چند متغیره (MAR).AR(p)
- مدل همزمان CARMA(p,q) یا ARMA(p,q)
- مدل همزمان CSM-CARMA(p,q)
- مدل چند متغیره تراکمی مکانی سالانه.

ب- داده فصلی

- مدل PARMA(p,q) تک متغیره.
- مدل PAR(p) چند متغیره (MPAR(p))
- مدل تراکمی فصلی تک متغیره.
- مدل تراکمی مکانی- فصلی چند متغیره .<sup>۱</sup>
- مدل تراکمی فصلی- مکانی چند متغیره .<sup>۲</sup>

عملگر برآش مدل برای تمام مدل‌ها به غیر از مدل تراکمی یکسان می‌باشد. در کل، مدل سازی به داده‌هایی که میانگین از آن‌ها کسر شده برآش داده می‌شود، اما در صورتی که استفاده از داده‌های استاندارد شده مورد نظر کاربر باشد، انتخاب گزینه داده استاندارد شده این امر را امکان پذیر می‌کند. برآش مدل‌های تراکمی نیازمند عملکرد اضافی می‌باشد. در مدل سازی تراکمی، فرد باید به صورت گام به گام با ترکیب مدل در ارتباط باشد. ترکیب به درجه و محل ایستگاه‌های مرتبط به هم در

<sup>۱</sup>-Multivariate Spatial-Seasonal Disaggregation Model  
<sup>۲</sup>-Multivariate Seasonal-Spatial Disaggregation Model

سیستم مورد بررسی بستگی دارد. SAMS از مفهوم ایستگاه‌های راهنمای<sup>۱</sup> استفاده می‌کند. ایستگاه راهنمای ایستگاه پایین دست رودخانه می‌باشد که می‌تواند دورترین ایستگاه پایین دست و یا با توجه به مشکل مورد بررسی هر ایستگاه دیگری باشد.

### ۳- تولید سری ساختگی

تولید داده در استوکستیک هیدرولوژی یک موضوع حائز اهمیت می‌باشد و آب شناسان به هدف-های فراوانی توسط تولید داده همانند اندازه مخزن ذخیره، برنامه ریزی و مدیریت مخزن موجود، قابلیت اطمینان منابع آب مثل تأمین آب یا سیستم آبیاری دست یافته‌اند. تولید داده‌های تصادفی در اتخاذ تصمیم‌های مدیریتی در وضعیت‌های بحرانی مثل دوره‌های طولانی مدت خشکسالی کمک می-نماید. فلسفه اصلی تولید داده ساختگی این مسئله می‌باشد که داده‌های ساختگی دارای خصوصیات آماری می‌باشند که در فرآیندهای هیدرولوژیک طبیعی نیز موجود هستند. در نتیجه، در آینده هر دو داده تولید شده و تاریخی قابل اتفاق می‌باشند. تولید سری زمانی ساختگی بر اساس مدل‌ها، روش‌ها و طرح‌ها می‌باشد. بعد از تعیین مدل و تخمین پارامترها، تولید نمونه ساختگی بر اساس این مدل قابل انجام می‌باشد. SAMS امکان مقایسه خصوصیات آماری داده‌های تاریخی و تولید شده را به کاربر می‌دهد. این مقایسه برای بررسی صحت مدل از اهمیت خاصی برخوردار است و در صورتی که آمارهای داده‌های تاریخی و تولید شده قابل مقایسه با هم باشند می‌توان اظهار داشت که مدل مناسب می‌باشد.

### ۴-۱۲-۳- توابع تبدیل در SAMS

تمام مدل‌های موجود در SAMS ۲۰۰۷ به غیر از مدل (۱)GAR بر این فرض استوارند که داده-های مورد استفاده دارای توزیع نرمال هستند. مدل (۱)GAR با پیش فرض این که داده‌ها دارای

---

<sup>۱</sup>-Key Stations

توزیع گاما هستند به مدل سازی می‌پردازد. بنابراین برای تمام مدل‌های دیگر تبدیل داده به داده‌های نرمال ضروری است.

**تبدیل‌های داده:** در قسمت تست‌های بررسی نرمالیتی در SAMS در صورتی که سری مشاهده شده توزیع نرمال نداشته باشد، قبل از اجرای مدل سازی داده موجود باید به داده نرمال تبدیل شود. برای نرمال سازی داده، تبدیل‌های زیر  $Y = f(X)$  در SAMS موجود هستند. تبدیل لگاریتمی:

$$Y = \ln(X + a) \quad (91-3)$$

گاما:

$$Y = \text{Gamma}(X) \quad (92-3)$$

نمایی:

$$Y = (X + a)^b \quad (93-3)$$

باکس- کاکس:

$$Y = \frac{(X+a)^b - 1}{b}, b \neq 0. \quad (94-3)$$

در این فرمول‌ها  $Y$  سری نرمال شده،  $X$  سری مشاهده شده اولیه، و  $a$  و  $b$  ضریب‌های تبدیل هستند. متغیرهای  $Y$  و  $X$  نشان دهنده داده‌های سالانه و ماهانه هستند، که برای داده ماهانه  $a$  و  $b$  با ماهها تغییر می‌کنند. توجه داشته باشید که تبدیل لگاریتمی فرم محدود شده تبدیل باکس- کاکس است که در آن ضریب  $b$  برابر صفر می‌باشد.

### ۱۲-۳-۵- مدل‌های تک متغیره

مدل‌های تک متغیره فراوانی در SAMS وجود دارند، از این میان می‌توان به مدل‌های سالانه شامل مدل اتورگرسیو- میانگین متحرک (ARMA(p,q))، مدل GAR(1) برای مدل سازی فرآیندهایی با توزیع گاما، مدل SM برای مدل سازی فرآیندهایی با الگوی انتقال در میانگین، و PARMA(p,q) برای مدل سازی فرآیندهایی تناوبی همانند داده‌های فصلی یا ماهانه اشاره نمود. فرم مدل

ARMA(p,q) مدلی مختصر فرم کلی مدل‌های موجود در SAMS قبلاً ارائه شده است. در زیر به طور مختصر فرم کلی مدل‌های موجود در SAMS ۲۰۰۷ ارائه شده است.

### الف- مدل تک متغیره (GAR(1))

می‌باشد، با آن تفاوت که در این مدل داده‌ها به جای توزیع نرمال، توزیع گاما دارند. بنابراین اگر تمایل به استفاده از مدل GAR(1) وجود دارد، باید داده‌های مورد نظر را توسط SAMS به داده نرمال تبدیل کرد. مدل GAR(1) به صورت زیر بیان می‌شود:

$$X_t = \varphi X_{t-1} + \varepsilon_t \quad (95-3)$$

$X_t$  متغیر گاما در زمان  $t$  ضریب اتورگرسیو و  $\varepsilon_t$  عبارت مستقل نویز<sup>۱</sup> می‌باشد.

ب- مدل SM با الگوی انتقال در میانگین: این مدل با یک انتقال یا پرش در میانگین مشخص می‌شود. این فرآیند با حالت‌های پایای چند گانه<sup>۲</sup> توصیف می‌شود که تفاوت آن‌ها داشتن میانگین‌های مختلف می‌باشد. شکل عمومی مدل SM بدین صورت ارائه می‌شود:

$$X_t = Y_t + Z_t \quad (96-3)$$

در این فرمول  $\{X_t\}$  توالی متغیرهای تصادفی نشان دهنده فرآیند هیدرولوژیک مورد نظر،  $\{Y_t\}$  توالی متغیرهای تصادفی با میانگین  $\mu_Y$  و واریانس  $\sigma_Y^2$ ،  $\{Z_t\}$  یک توالی با میانگین صفر و واریانس  $\sigma_Z^2$  می‌باشند. توالی‌های  $\{Y_t\}$  و  $\{Z_t\}$  متقابلاً از یکدیگر مستقل هستند. فرآیند  $X_t$  با حالت‌های پایای چند گانه برای طول هر داده تصادفی ...  $N_i, i = 1, 2, \dots$  توصیف می‌شود.

ج- مدل فصلی تک متغیره (PARMA(p,q)): برای سری‌های زمانی هیدرولوژیک ماهانه، آمارهای ماهانه شامل میانگین، انحراف معیار توسط مدل ARMA با استاندارد کردن سری زمانی در دسترس، تولید می‌شوند. هر چند، این مرحله فرض می‌کند که همبستگی ماه به ماه برای یک تأخیر در نظر گرفته شده یکسان است. این سری‌های زمانی هیدرولوژیک، با ساختارهای وابسته مختلف

<sup>۱</sup>-Independence Noise Term

<sup>۲</sup>-Multiple Stationary States

توصیف می‌شود. مدل‌های ARMA تناوبی<sup>۱</sup> یا PARMA برای مدل سازی این ساختارهای تناوبی پیشنهاد شده است. مدل PARMA(p,q) می‌تواند به صورت زیر بیان شود:

$$Y_{v,\tau} = \sum_{i=1}^p \varphi_{i,\tau} Y_{v,\tau-i} + \varepsilon_{v,\tau} - \sum_{j=1}^q \theta_{j,\tau} \varepsilon_{v,\tau-j} \quad (97-3)$$

$Y_{v,\tau}$  نشان دهنده جریان برای سال  $v$  و فصل  $\tau$  می‌باشد. برای هر ماه،  $\tau$ ، این فرآیند دارای توزيع نرمال با میانگین صفر و واریانس  $(Y)^{\sigma}_{\tau}$  و  $\varepsilon_{v,\tau}$  عبارت غیر همبسته نویز می‌باشد.  $\{\varphi_{1,\tau}, \dots, \varphi_{p,\tau}\}$  پارامترهای میانگین متحرک تناوبی هستند.

### ۶-۱۲-۳- مدل‌های چند متغیره

آنالیز و مدل سازی سری‌های زمانی چند گانه اغلب در هیدرولوژی نیاز می‌باشند. در SAMS مدل‌های چند متغیره کامل برای مدل سازی ساختارهای پیچیده و وابسته در زمان و مکان برای تأخیرهای چند گانه وجود دارد. مدل‌های چند متغیره در این نرم افزار شامل مدل اتورگرسیو چند گانه MAR(P)، اتورگرسیو میانگین متحرک همزمان به صورت CARMA(p,q)، مدل مختلط SM و CSM-CARMA(p,q) به صورت CARMA(p,q) می‌باشند. در ادامه این مدل‌ها به طور مختصر شرح داده می‌شوند.

**الف- مدل اتورگرسیو چند متغیره (MPAR(p)):** این مدل برای  $n$  ایستگاه به صورت زیر قابل

بیان می‌باشد:

$$Y_t = \sum_{i=1}^p \varphi_i Y_{t-i} + \varepsilon_t \quad (98-3)$$

$Y_t$  نشان دهنده ایستگاه‌های مختلف،  $\varphi_1, \dots, \varphi_p$  پارامترهای اتورگرسیو، و  $\varepsilon_t$  عبارت نویز با توزيع نرمال می‌باشد.

**ب- مدل اتورگرسیو میانگین متحرک همزمان چند متغیره (CARMA(p,q)):** در هنگام مدل سازی فرآیند هیدرولوژیک چند متغیره بر اساس مدل ARAM چند متغیره کامل، اغلب در

<sup>۱</sup>-Periodic ARMA models

تخمین پارامترها مشکلاتی ایجاد می‌شود. مدل اتورگرسیو میانگین متحرک همزمان CARMA به عنوان روشی ساده‌تر برای مدل سازی اتورگرسیو میانگین متحرک کامل ارائه شده است. در این مدل به جای تخمین پارامترها به صورت پیوسته، پارامترها به صورت مستقل برای هر ایستگاه توسط فرآیند تخمین مدل ARMA تک متغیره قابل محاسبه هستند. این مدل برای  $n$  ایستگاه بدین صورت بیان می‌شود:

$$Y_t = \sum_{i=1}^p \varphi_i Y_{t-i} + \varepsilon_t - \sum_{j=1}^q \theta_j \varepsilon_{t-j} \quad (99-3)$$

در این فرمول  $Y_t$  نشان دهنده ایستگاه‌های مختلف،  $\varphi_1, \dots, \varphi_p$  پارامترهای اتورگرسیو و  $\theta_1, \dots, \theta_q$  پارامترهای میانگین متحرک هستند.

### ج- مدل CSM-CARMA(p,q) چند متغیره: بررسی سری‌های زمانی چند متغیره

هیدرولوژیک گوناگون ممکن است به اختلاط مدل‌ها نیاز داشته باشد. برای مثال شیفت<sup>۱</sup> یا جابه‌جای در سری زمانی یک متغیر هیدرولوژیک ممکن است در متغیر هیدرولوژیک سری زمانی دیگر نشان داده نشود. یا، اگر برای یک متغیر هیدرولوژیک مکان‌های مختلف مورد استفاده قرار بگیرند، در این صورت خصوصیات سری زمانی مربوطه به مکان‌هاییش بستگی دارد. در چنین شرایطی اختلاط مدل‌های SM چند گانه و دیگر مدل‌های سری زمانی، مثل ARMA(p,q)، مد نظر قرار می‌گیرد. در قسمت CSM مدل فرض شده است که تمام ایستگاه‌ها در یک زمان دارای شیفت هستند. قسمت CSM مدل قادر به ارائه ساختار وابسته معینی در زمان و مکان از طریق فرآیند سطح نویز<sup>۲</sup> می‌باشد.

### د- مدل فصلی MPAR(p) چند متغیره: این مدل را برای $n$ ایستگاه می‌توان بدین صورت نشان داد:

$$Y_{v,\tau} = \sum_{i=1}^p \varphi_{i,\tau} Y_{v,\tau} + \varepsilon_{v,\tau} \quad (100-3)$$

$Y_{v,\tau}$  نشان دهنده فرآیند برای سال  $v$  و فصل  $\tau$  و  $\varphi_{1,\tau}, \dots, \varphi_{p,\tau}$  پارامترهای اتورگرسیو تناوبی می‌باشند.  $\varepsilon_{v,\tau}$  اصطلاح نویز با توزیع نرمال و میانگین صفر می‌باشد (Sveinsson et al., ۲۰۰۷).

<sup>۱</sup>-Shift

<sup>۲</sup>-Noise level process

### ۷-۱۲-۳- تست‌های مدل در نرم افزار SAMS

مدل برآش شده باید از نظر این که با فرضیات در نظر گرفته شده مطابقت دارد و قادر به تولید دوباره خصوصیات آماری داده تاریخی در دست می‌باشد، تست شود. معیارهای اطلاعاتی که در این نرم افزار برای انتخاب بهترین مدل مورد استفاده قرار می‌گیرند شامل دو معیار اطلاعاتی آکائیک اصلاح شده<sup>۱</sup> (AICC) و معیار اطلاعاتی شوارز<sup>۲</sup> (SIC) می‌باشند. معیار اصلاح شده آکائیک توسط فرمول زیر نشان داده شده است:

$$AICC = n \ln \hat{\sigma}^2(\varepsilon) + n + \frac{r(k+1)n}{n-k-2} \quad (101-3)$$

در این فرمول  $n$  اندازه نمونه،  $k$  نشان دهنده مجموع پارامترهای مدل (برای مثال  $k=p+q$  برای مدل (ARMA(p,q)،  $(\varepsilon)^{\hat{\sigma}}$  تخمین حداکثر درست نمایی واریانس باقی ماندها می‌باشند. این معیار برای نمونه‌های کوچک به خوبی جواب می‌دهد، اما برای نمونه‌ها و  $k$  بزرگ، مقادیر را بیش از حد معمول نشان می‌دهد.

معیار اطلاعاتی شوارز نیز با رابطه (102-۳) بیان می‌شود:

$$SIC = n \ln \hat{\sigma}^2(\varepsilon) + n + k \ln n \quad (102-3)$$

در این رابطه،  $n$  و  $(\varepsilon)^{\hat{\sigma}}$  همانند معیار اصلاح شده آکائیک توصیف می‌شوند. به طور کلی این معیار برای نمونه‌های بزرگ مناسب است، اما برای نمونه‌های کوچک مقادیر را کمتر از حد معمول نشان می‌دهد.

### ۸-۱۲-۳- تست‌های نرمالیتی در SAMS

دو تست نرمالیتی در این نرم افزار به نام‌های تست چولگی نرمالیتی و تست احتمال همبستگی فیلیبن (Filliben, ۱۹۷۵) وجود دارند، که هر دو برای سطح اعتماد ۱۰٪ به کار برده می‌شوند. این

<sup>۱</sup>-Corrected Akaike Information Criterion

<sup>۲</sup>-Schwarz Information Criterion

تست‌ها برای داده‌های سالانه و فصلی قابل استفاده هستند. در تست چولگی نرمالیتی، مقدار چولگی نمونه را با فرمول (۱۰۳-۳) محاسبه می‌شود، که  $g$  دارای توزیع  $N(\cdot, \sigma^2 = 6/N)$  می‌باشد.

$$g = \frac{\frac{1}{N} \sum_{t=1}^N (y_t - \bar{y})^2}{s^2} \quad (103-3)$$

در این فرمول  $N$  اندازه نمونه می‌باشد. فرضیه  $H_0: g = H$  در سطح اعتماد  $\alpha$  در صورتی که  $abs(g) > z_{1-\alpha/2}\sqrt{6/N}$  باشد، رد می‌شود؛ و  $z_q$  چارک  $q$  ام از توزیع نرمال استاندارد می‌باشد.

تست احتمال همبستگی فیلیبن یک تکنیک گرافیکی برای تشخیص نوع توزیعی می‌باشد که بهترین توصیف را از نمونه در دسترس ارائه می‌دهد. این تست به عنوان ضریب همبستگی بین درجه مشاهده شده  $y_i$  و درجه میانه  $M_i$  برای یک توزیع نرمال استاندارد شده می‌باشد، که ضریب همبستگی با فرمول (۱۰۴-۳) محاسبه می‌گردد. تست آماری  $r$  به صورت زیر می‌باشد:

$$\hat{r} = \frac{\sum_{i=1}^n (y_{(i)} - \bar{y})(M_i - \bar{M})}{\sqrt{\sum_{i=1}^n (y_{(i)} - \bar{y})^2} \sqrt{\sum_{j=1}^n (M_j - \bar{M})^2}} \quad (104-3)$$

در این فرمول  $M_i$  برابر مقدار میانه یا میانگین  $i$  امین بزرگ‌ترین مشاهده در یک نمونه متغیر تصادفی استاندارد شده از توزیع فرض شده می‌باشد.

فرضیه  $H_0: r = r_0$  در سطح اعتماد  $\alpha$  در صورتی که  $\rho_\alpha(N) < r$  باشد، رد می‌شود؛ که  $\rho_\alpha(N)$  آماره تست فهرست بندی شده‌ای می‌باشد که توسط فیلیبن و وگل (Vogel, ۱۹۸۶) ارائه شده است (Sveinsson et al., ۲۰۰۷).

### ۱۳-۳- معنای شبکه‌های عصبی

شبکه‌های عصبی چه در بعد آنالیز و توسعه ساختاری و چه در بعد پیاده سازی سخت افزاری، از نظر کمی، کیفی و توانایی، در حال رشد و پیشرفت می‌باشند و تکنیک‌های مختلف محاسبات عصبی از لحاظ تعداد همچنان در حال افزایش است. در این قسمت قصد داریم به معنای شبکه‌های عصبی

مصنوعی، حدود انتظارات ما از این شبکه‌ها و شباهت‌های آن‌ها با شبکه‌های واقعی بپردازیم. از مغز به عنوان یک سیستم پردازش اطلاعات با ساختار موازی و کاملاً پیچیده استفاده می‌شود. این که چگونه مغز این کارها را انجام می‌دهد از زمانی مطرح شد که دریافتند، مغز برای محاسبات خود، از ساختاری کاملاً مغایر با ساختار کامپیوترهای متداول برخوردار می‌باشد. تلاش برای فهم این موضوع خصوصاً از سال ۱۹۱۱ وقت گرفت، زمانی که برای نخستین بار شخصی به نام سگال<sup>۱</sup> اعلام کرد که مغز از عناصر اصلی ساختاری به نام نرون<sup>۲</sup> تشکیل یافته است. هر نرون بیولوژیکی به عنوان اجتماعی از مواد آلی، اگرچه دارای پیچیدگی یک میکروپروسسور می‌باشد، ولی دارای سرعت محاسباتی برابر یک میکروپروسسور نیست. دانشمندان علم بیولوژی به تازگی دریافته‌اند که عملکرد نرون‌های بیولوژیکی از قبیل ذخیره سازی و حفظ اطلاعات، در خود نرون‌ها و ارتباطات بین نرون‌ها نهفته است. به عبارت فنی‌تر، یادگیری به عنوان ایجاد ارتباطات جدید بین نرون‌ها و تنظیم مجدد ارتباطات موجود استنباط می‌شود. نرون‌هایی که در مبحث ما مورد بررسی قرار می‌گیرند، نرون‌های بیولوژیکی نیستند بلکه شکل بسیار ساده‌ای از نرون‌های بیولوژیکی می‌باشند که می‌توان آن‌ها را به عنوان عناصری از یک برنامه کامپیتری یا شاید تراشه‌های نیمه هادی در نظر گرفت. باید توجه کرد که شبکه‌های عصبی تشکیل شده از این نرون‌ها، اگر چه در مقابل نرون‌های بیولوژیکی از سرعت بسیار بالایی (۱۰۰۰۰۰۰ برابر) برخوردارند، ولی تنها از کسری از توانایی بالای نرون‌های بیولوژیکی بهره می‌برند. در شبکه‌های عصبی مصنوعی به کمک دانش برنامه نویسی، ساختار داده‌ای طراحی می‌شود که می‌تواند همانند نرون عمل کند. که به این ساختار داده گره گفته می‌شود. سپس با ایجاد شبکه‌ای بین این گره‌ها و اعمال یک الگوریتم آموزشی به آن، شبکه را آموزش می‌دهند. در این حافظه یا شبکه عصبی گره‌ها دارای دو حالت فعال و غیرفعال هستند و هر یال (سیناپس یا ارتباط بین گره‌ها) دارای یک وزن می‌باشد. یال‌های با وزن مثبت، موجب تحریک یا فعال کردن گره غیر فعال بعدی می‌شوند و یال‌های با وزن منفی، گره متصل بعدی را غیر فعال یا مهار می‌کنند.

۱-Segal  
۲-Neuron

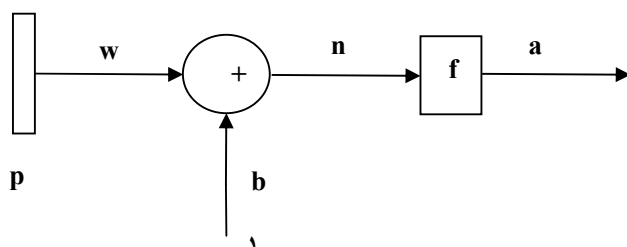
پس از توصیف اجمالی نرون‌های بیولوژیکی و شبکه‌های عصبی، در ادامه مدل ساده‌ای از یک نرون واقعی ارائه خواهد شد و سپس توضیح خواهیم داد که چگونه می‌توان ساختارهای عصبی مصنوعی را، از ترکیب و کنار هم گذاشتن تعداد زیادی از این نرون‌ها به وجود آورد.

### ۱-۱۳-۳- مدل نرون

نرون کوچک‌ترین واحد پردازشگر اطلاعات است، که اساس عملکرد شبکه‌های عصبی را تشکیل می‌دهد.

### ۲-۱۳-۳- مدل تک ورودی

شکل (۱-۳) ساختار یک نرون تک ورودی را نشان می‌دهد. اسکالارهای  $p$  و  $a$  به ترتیب ورودی و خروجی می‌باشند.



شکل ۱-۳- مدل نرون تک ورودی

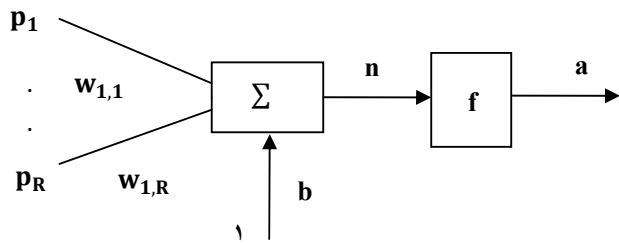
میزان تأثیر ورودی  $p$  روی  $a$  به وسیله اسکالار  $w$  تعیین می‌شود. ورودی دیگر که مقدار ثابت یک است، در جمله بایاس  $b$  ضرب شده و سپس با  $wp$  جمع می‌شود، این حاصل جمع، ورودی خالص<sup>۱</sup> برای تابع حرک (یا تابع تبدیل)  $f$  خواهد بود. بدین ترتیب خروجی نرون با معادله زیر تعریف می‌شود:

$$a = f(wp + b) \quad (105-3)$$

<sup>۱</sup>-Net Input

### ۳-۱۳-۳- مدل چند ورودی

عموماً یک نرون بیش از یک ورودی دارد. شکل (۲-۳) یک مدل نرون با  $R$  ورودی را ارائه می-دهد. بردار ورودی با  $\underline{p}$  نمایش داده می‌شود. اسکالارهای  $(R, \dots, R)$  عناصر بردار  $p_i (i = 1, 2, \dots, R)$  هستند. مجموعه سیناپس‌های  $w_{1,i}$ ، عناصر ماتریس وزن  $W$  را تشکیل می‌دهند.

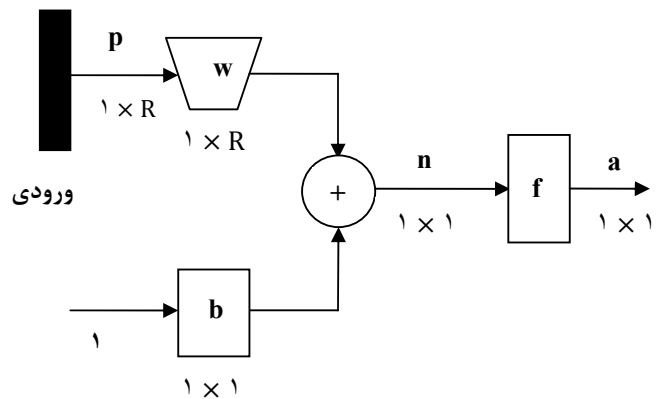


شکل ۲-۳- مدل چند ورودی یک نرون

خروجی نرون به صورت زیر خواهد بود:

$$a = f(W\underline{p} + b) \quad (106-3)$$

همان گونه که در شکل (۳-۳) مشاهده می‌شود، بردار ورودی  $\underline{p}$  با یک ستون عمودی در سمت چپ نمایش داده شده است. ابعاد  $\underline{p}$  در زیر متغیر  $p$  دارای عنصر  $1 \times R$  مشخص شده است. این نماد نشان دهنده آن است که بردار ورودی  $\underline{p}$  دارای عنصر  $R$  است. بردار  $\underline{p}$  در یک ماتریس  $W$  با  $R$  ستون، ضرب می‌شود. مقدار ثابت یک به عنوان یک ورودی به نرون اعمال شده و در جمله اسکالر بایاس  $b$  ضرب می‌شود. خروجی خالص  $n$ ، به تابع تبدیل  $f$  اعمال شده و خروجی مربوطه به وجود می‌آید.  $a$  عملأ نشان دهنده خروجی شبکه تک نرونی است و در این حالت یک اسکالر با ابعاد  $1 \times 1$  است که در شکل (۶-۳) مشخص شده است (منهاج، ۱۳۷۹).



شکل ۳-۳- فرم ساده شده نرون با R ورودی

### ۴-۱۳-۳- توابع محرك

تابع محرك  $f$  میتواند خطی یا غیر خطی باشد. یک تابع محرك بر اساس نیاز خاص حل یک مسئله (مسئله‌ای که قرار است به وسیله شبکه عصبی حل شود) انتخاب می‌شود. در عمل تعداد محدودی از توابع محرك مورد استفاده قرار می‌گیرند، که در جدول (۲-۳) لیست شده است. در اینجا به چند مورد از مهم‌ترین آن‌ها اشاره می‌کنیم.

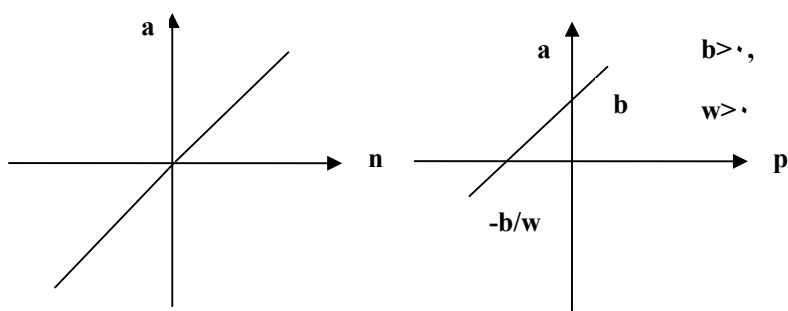
۱ - تابع محرك خطی: خروجی این تابع برابر ورودی آن است:

$$a = f_1(n) = n \quad (107-3)$$

تابع خطی در شکل (۴-۳) نمایش داده شده است. از نرون‌هایی با تابع تبدیل فوق، در شبکه‌های خاصی مانند آدالاین استفاده شده است.

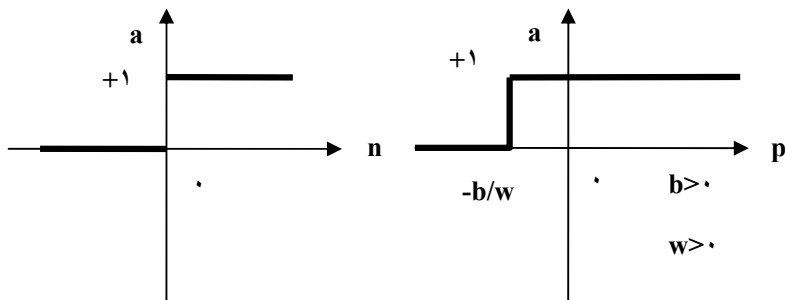
جدول ۲-۳- توابع محرک با علائم قراردادی

علائم قراردادی	تعریف تابع	نام	ردیف
	$a = -1, n < 0$ $a = 1, n \geq 0$	آستانه‌ای دو مقداره حدی	۱
	$a = -1, n < 0$ $a = 1, n \geq 0$	آستانه‌ای دو مقداره متقارن	۲
	$a = n$	خطی	۳
	$a = -1, n < -1$ $a = n, -1 \leq n \leq 1$ $a = 1, n > 1$	آستانه‌ای خطی متقارن	۴
	$a = \frac{1}{1 + e^{-n}}$	سیگموئیدی	۵
	$a = \frac{e^n - e^{-n}}{e^n + e^{-n}}$	تازه‌انت هیپرboleیک	۶
	$a = n, n < 0$ $a = n, n \geq 0$	خطی مثبت	۷



شکل ۴-۳- تابع محرک خطی

۲- تابع محرک آستانه‌ای دومقداره حدی: این تابع در شکل (۵-۳) نشان داده شده است. همان گونه که مشاهده می‌شود، مقدار خروجی صفر یا یک است. اگر آرگومان  $n$  کوچک‌تر از صفر باشد و به عبارتی ورودی  $p$  کوچک‌تر از  $-b/w$  باشد، مقدار تابع صفر است و در غیر این صورت خروجی نرون برابر یک خواهد شد.



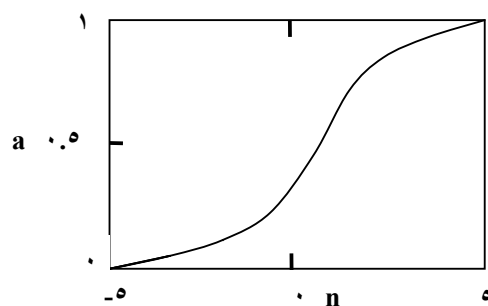
شکل ۳-۵- تابع محرک آستانه‌ای دومقداره حدی

۳- تابع محرک سیگموئید: این تابع با فرم کلی زیر بیان می‌شود:

$$a = f_s(n) = \frac{1}{1+e^{-cn}}, c > 0. \quad (10.8-3)$$

شکل این تابع به ازای  $c=1$  در تصویر (۶-۳) رسم شده است. مقدار  $c$  وسعت ناحیه خطی بودن تابع را تعیین می‌کند. مثلاً اگر  $c$  خیلی بزرگ باشد، شکل منحنی به تابع محرک آستانه دو مقداره حدی نزدیک‌تر می‌شود. این تابع در شبکه‌های عصبی مورد استفاده زیادی دارد که به عنوان مثال، می‌توان به شبکه‌های عصبی چند لایه با قانون یادگیری پس انتشار خطأ اشاره کرد (منهاج،

.(۱۳۷۹)



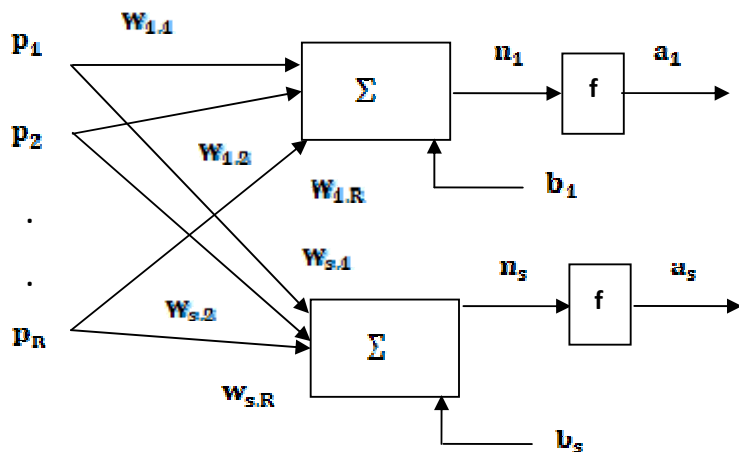
شکل ۳-۶- تابع محرک سیگموئید

### ۳-۱۳-۵- ساختار شبکه‌های عصبی

باید توجه داشت که معمولاً نمونی با ورودی‌های زیاد نیز، به تنها یکی برای حل مسائل فنی-مهندسی کفایت نمی‌کند.

**الف- شبکه تک لایه:** یک شبکه تک لایه با S نمون در شکل (۷-۳) نشان داده شده است.

ورودی شبکه با بردار  $\underline{p}$  و خروجی آن با بردار  $\underline{a}$  نشان داده شده است. باید توجه داشت که هر یک از ورودی‌ها به همه نمون‌ها متصل شده است. ماتریس  $W$  نیز در این حالت دارای S سطر و R ستون می‌باشد.



شکل ۷-۳- شبکه تک لایه با S نمون

**ب- شبکه‌های چند لایه:** در شبکه‌های تک لایه، همان طور که ذکر شد، بردار ورودی ( $\underline{p}$ ) توسط نمون‌های لایه (عناصر محاسباتی)، طبق رابطه  $\underline{a} = f(\underline{W}\underline{p} + \underline{b})$  به بردار خروجی متصل می‌شوند. این شبکه شکل ساده‌ای از شبکه‌های پیشخور<sup>۱</sup> می‌باشد.

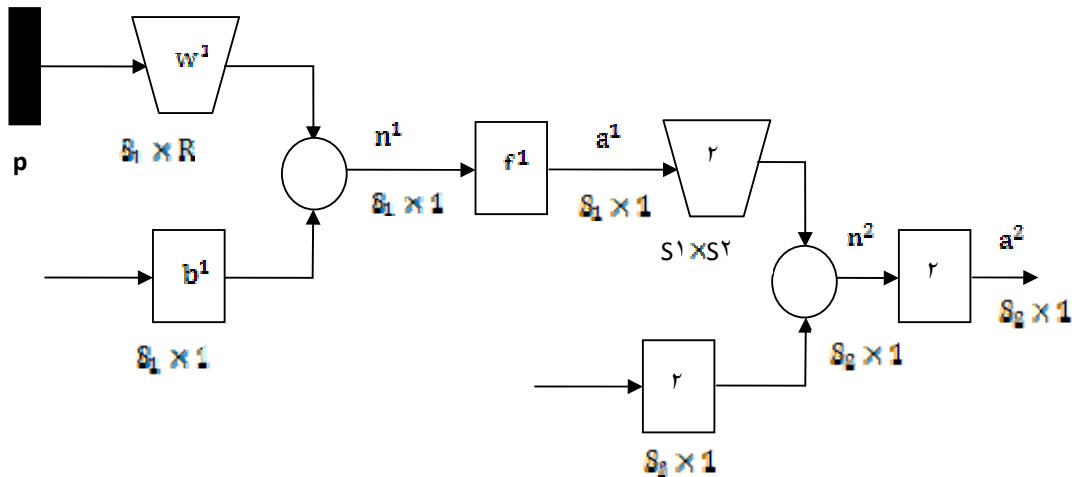
یک شبکه عصبی شامل اجزای سازنده لایه‌ها و وزن‌ها می‌باشد. رفتار شبکه نیز به ارتباط بین اعضاء وابسته است. در حالت کلی در شبکه‌های عصبی سه نوع لایه نمونی وجود دارد:

<sup>۱</sup>-Feed-Forward

**لایه ورودی:** لایه ورودی شبکه عصبی وظیفه توزیع مقادیر داده‌های ورودی به اولین لایه مخفی را بر عهده دارد. تعداد گره‌های لایه ورودی برابر با تعداد مقادیر داده‌های ورودی به مدل می‌باشد.

**لایه‌های پردازش‌گر مخفی:** عملکرد این لایه‌ها به وسیله ورودی‌ها و وزن ارتباط بین آن‌ها و لایه‌های پنهان تعیین می‌شود. وزن‌های بین واحدهای ورودی و پنهان تعیین می‌کنند که چه وقت یک واحد پنهان باید فعال شود. انتخاب تعداد لایه‌های مخفی و تعداد گره‌های مخفی در هر لایه مسئله ناچیزی نیست. ساختار پردازش مخفی شبکه عصبی اختیاری می‌باشد، اما عوامل زیادی در انتخاب ساختار نقش دارند که شامل کمیت نمونه‌های آموزش، تعداد گره‌های ورودی و خروجی و روابط بین داده‌های ورودی و خروجی می‌باشند.

**لایه خروجی:** لایه‌ای که خروجی آن، خروجی نهایی شبکه باشد، به لایه خروجی موسوم است. عملکرد واحد خروجی بسته به فعالیت واحد پنهان و وزن ارتباط بین واحد پنهان و خروجی می‌باشد. شبکه موجود در شکل (۸-۳) دارای یک لایه میانی<sup>۱</sup> است. در شکل (۹-۳) شبکه عصبی مصنوعی و لایه‌های ورودی، میانی و خروجی نشان داده شده است.



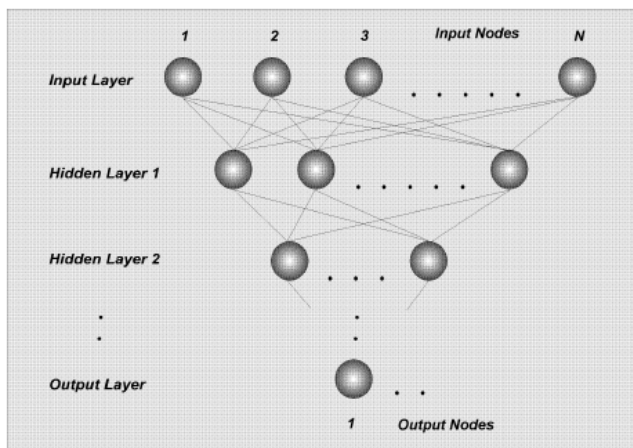
شکل ۳-۸- شبکه پیش خور دو لایه

<sup>۱</sup>-Hidden Layer

چند نکته:

۱) شبکه‌های عصبی چند لایه نسبت به شبکه‌های عصبی تک لایه دارای توانایی بیشتری هستند.

۲) به نظر می‌رسد که تعداد درجات آزادی (مثلاً تعداد ورودی‌ها، خروجی‌ها، نرون‌های هر لایه) برای طراحی یک شبکه چند لایه پیشخور زیاد باشد. ولی باید توجه داشت که تعداد ورودی‌های شبکه ( $R$ ) و تعداد خروجی‌های شبکه ( $S$ ), بر اساس مسئله خاص که شبکه قرار است حل کند، به دست می‌آیند. به عبارت دیگر این دو پارامتر جزء پارامترهای آزاد طراح نیستند، بلکه انتخاب آن‌ها بستگی به مسئله‌ای دارد که در حال بررسی است. بنابراین می‌توان گفت که ساختار شبکه‌های عصبی تک لایه پیشخور را کاملاً از روی ویژگی‌های مسئله مورد بررسی، می‌توان مشخص نمود.



شکل ۳-۹- طراحی توپولوژی شبکه‌های عصبی مصنوعی

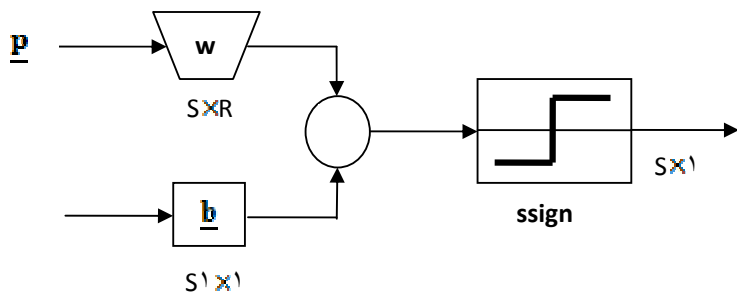
در مورد شبکه عصبی چند لایه، مطالب فوق ساده نیست. یعنی از روی ویژگی‌های مسئله مورد بررسی، نمی‌توان اطلاعاتی در مورد تعداد نرون‌های لایه میانی کسب نمود.

### ۳-۶-۱۳- معرفی سه شبکه عصبی ساده

سه نوع شبکه عصبی پرسپترون، همینگ و هاپفیلد به طور مختصر توضیح داده می‌شوند.

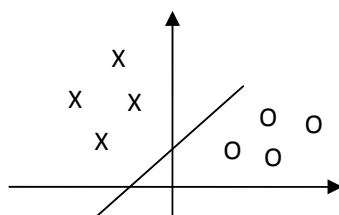
الف - پرسپترون<sup>۱</sup>: شبکه‌های عصبی پرسپترون، به ویژه پرسپترون چند لایه، در زمرة کاربردی-

ترین شبکه عصبی می‌باشند. این شبکه‌ها قادرند با انتخاب مناسب تعداد لایه‌ها و سلول‌های عصبی، که اغلب زیاد هم نیستند، یک نگاشت غیر خطی را با دقت دلخواه انجام دهند. این همان چیزی است که در بسیاری از مسائل فنی مهندسی به عنوان راه حل اصلی مطرح می‌باشد. شبکه پرسپترون تک لایه در شکل (۱۰-۳) ترسیم شده است.



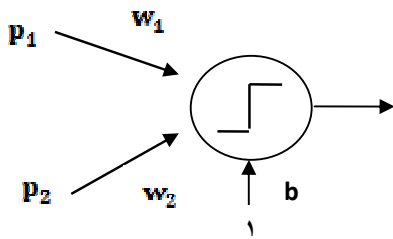
شکل ۱۰-۳ - پرسپترون تک لایه

برای درک توانایی‌های این شبکه فرض کنید که بخواهیم سیستمی داشته باشیم که دو گروه الگوهای 'O' و 'X' را در فضای دو بعدی، چنان که در شکل (۱۱-۳) نشان داده شده است از یکدیگر تفکیک نماییم. نرون شکل (۱۲-۳) از عهده این کار بر می‌آید، به طوری که اگر یکی از الگوهای ورودی 'O' به سلول اعمال شود، مقدار a (۱) یا (-۱) و اگر یکی از الگوهای 'X' به نرون اعمال شود مقدار آن (۱) یا (-۱) می‌شود. این شرایط هنگامی فراهم می‌شود که که آرگومانتابع ssign با انتخاب مناسب b،  $w_1$  و  $w_2$  مقدار مناسبی کسب کند. اگر آرگومان (n) بزرگ‌تر از صفر باشد a برابر ۱ و اگر کوچک‌تر از صفر باشد a برابر -۱ خواهد شد.



شکل ۱۱-۳ - جدا سازی الگو

<sup>۱</sup>-Perceptron



شکل ۱۲-۳- نرون با تابع تبدیل دو مقداره متقابن

از الگوریتم پس انتشار خطا<sup>۱</sup> (BP) برای آموزش شبکه‌های عصبی چند لایه پیشخور که عموماً شبکه‌های چند لایه پرسپترون<sup>۲</sup> (MLP) نامیده می‌شوند، استفاده می‌شود. به عبارتی توبولوژی این شبکه‌ها با یادگیری پس انتشار خطا تکمیل می‌شود. قانون پس انتشار خطا از دو مسیر اصلی تشکیل می‌شود. مسیر اول به مسیر رفت موسوم می‌باشد که در این مسیر، بردار ورودی به شبکه چند لایه پرسپترون اعمال می‌شود. مسیر دوم به مسیر برگشت موسوم است و در این مسیر پارامترهای شبکه چند لایه پرسپترون تغییر و تنظیم می‌گردند.

**ب- شبکه همینگ:** این شبکه‌ها اساساً جهت حل مسئله شناسایی الگوهای باینری (الگوهای برداری که عنصرشان فقط دو مقدار مثلاً ۰ یا ۱- را قبول می‌کند) طراحی شده است. این شبکه هم در چهار چوب شبکه عصبی قرار می‌گیرد، زیرا از یک سری نرون‌ها به مثابه گره‌ها و یک سری وزن‌های ارتباطی بین گره‌ها تشکیل یافته است. هر گره یک سطح فعال دارد که خروجی نرون را می‌سازد. شبکه همینگ از دو ساختار پیشخور و پسخور تشکیل شده است. شکل (۱۳-۳) شبکه همینگ را نشان می‌دهد. هدف اصلی در شبکه همینگ این است که تشخیص دهد کدام الگوی مرجع<sup>۳</sup> بیشترین نزدیکی را به الگوی ورودی دارد، و سپس آن را در خروجی شبکه ظاهر کند. این شبکه از سه لایه تشکیل شده است: ۱- لایه پیشخور اول، به عنوان نخستین لایه، ۲- لایه برگشتی (WAT)، به عنوان لایه میانی، ۳- لایه سوم شبکه همینگ.

<sup>۱</sup>-Back-Propagation

<sup>۲</sup>-Multi-layer Perceptron

<sup>۳</sup>-Prototype

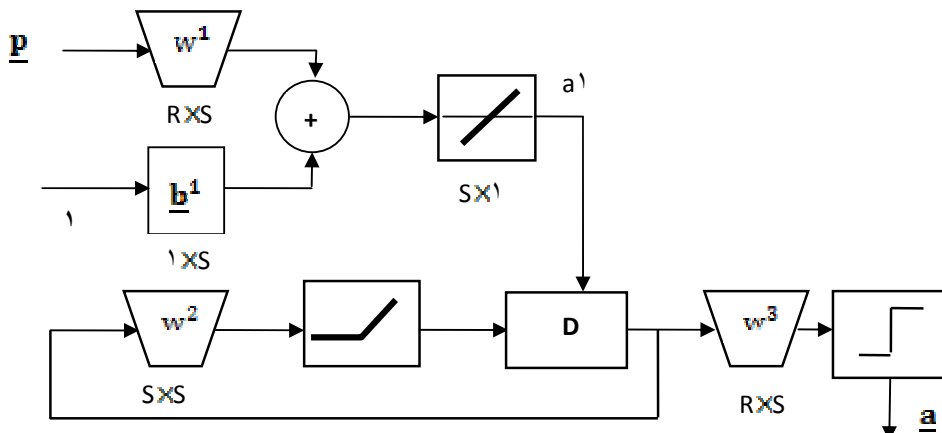
ج- شبکه هاپفیلد: دیاگرام بلوکی شبکه هاپفیلد در شکل (۱۴-۳) نمایش داده شده است. همان

طور که در شکل قابل مشاهده است همه نرون‌ها شبیه یکدیگر عمل می‌کنند و هیچ یک از این نرون‌ها به عنوان ورودی یا خروجی از هم متمایز نمی‌شوند، این وجه باز اخلاف این شبکه با دیگر شبکه‌هاست.

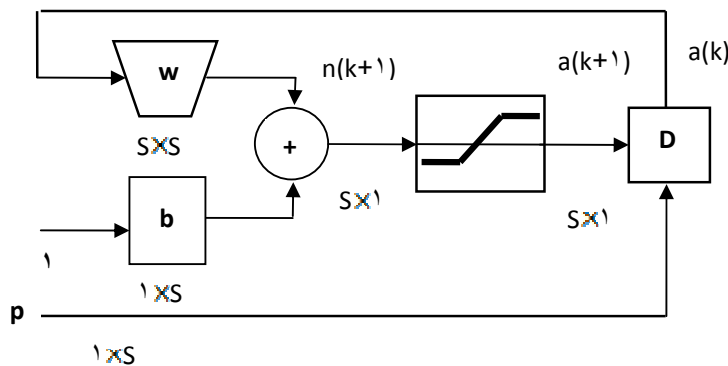
نرون‌ها نخست توسط ورودی مقادیر اولیه می‌گیرند و آن گاه شبکه طوری خود را تکرار می‌کند که نتیجه نهایی، همگرایی شبکه به یکی از الگوهای مرجع باشد. معادلاتی که رفتار شبکه هاپفیلد را تبیین می‌کنند عبارتند از:

$$\begin{cases} \underline{a}(k+1) = \text{ssatl}\left[\underline{w}\underline{a}(k) + \underline{b}\right] \\ \underline{a}(\cdot) = \underline{p} \end{cases} \quad (10\text{-}3)$$

که در آن تابع تبدیل غیر خطی  $\text{ssatl}$ ، تابع متقارنی می‌باشد در فاصله  $[0,1]$  خطی می‌باشد و برای مقادیر کوچک‌تر از  $1$ - مقدار  $1$ - و برای مقادیر بزرگ‌تر از  $1$  مقدار  $1$ + می‌گیرد. طراحی ماتریس وزن و بردار بایاس برای شبکه هاپفیلد در مقایسه با شبکه‌های قبل روند پیچیده‌تری دارد (منهاج، ۱۳۷۹).



شکل ۱۳-۳ - شبکه همینگ



شکل ۳-۱۴-۳ - شبکه های پیش‌گستره

### ۳-۱۳-۷- فرآیند یادگیری

سیستم‌های یادگیر<sup>۱</sup> سیستم‌های هستند که صرفاً با مشاهده عملکردشان، می‌توانند رفتارشان را جهت دستیابی به هدف و مقصدی خاص بهبود بخشنند. زمانی به پروسه یادگیری نیاز است که اطلاعات کامل در مورد اهداف موجود نباشد. رفتار سیستم‌های یادگیر توسط الگوریتم‌های بازگشتی بیان می‌شود. به همین خاطر به این الگوریتم‌ها قوانین یادگیری می‌گویند و عموماً توسط معادلات تفاضلی (دیفرانسیلی) بیان می‌شوند. این الگوریتم‌ها روی اطلاعات موجود آن گونه پردازش می‌کنند که شاخص اجرایی مشخص شده‌ای که عموماً تقریبی است از هدف خاص که مقصور پروسه یادگیری می‌باشد بهینه گردد و این کار تنها راه جبران نمودن نقصان اطلاعات اولیه می‌باشد. به پروسه یادگیری نیاز است چون اطلاعات (ارتباط ورودی و خروجی) کاملاً مشخص نیستند. در حالت کلی دو نوع یادگیری موجود است: یادگیری با ناظر<sup>۲</sup> و یادگیری بدون ناظر<sup>۳</sup>. در یادگیری با ناظر فرض بر این است که در مرحله تکرار الگوریتم یادگیری، جواب مطلوب سیستم یادگیرنده از قبل آماده است، در حالی که در یادگیری بدون ناظر جواب مطلوب برای سیستم یادگیرنده موجود نیست. بین تمام خواص شبکه‌های عصبی، خاصیت یادگیری از اهمیت ویژه‌ای برخوردار است.

<sup>۱</sup>-Learning Systems

<sup>۲</sup>-Supervised-Learning

<sup>۳</sup>-Unsupervised-Learning

### ۱۴-۳- معرفی نرم افزار Qnet ۲۰۰۰

نرم افزار مورد استفاده در این تحقیق، نرم افزار تخصصی Qnet ۲۰۰۰ می‌باشد، که به طور مختصر شرح داده می‌شود.

### ۱۴-۳-۱- Qnet ۲۰۰۰

در حال حاضر توجه زیادی به سیستم‌های مدل سازی شبکه عصبی و کارایی آن‌ها برای حل مسائل مدل سازی داده‌های در دسترس وجود دارد. نرم افزار Qnet به صورتی طراحی شده است که توانایی انجام کارهای تخصصی و مبتدی با یک نرم افزار قدرتمند برای تولید و تکمیل شبکه‌های عصبی از نوع پس انتشار خطا<sup>۱</sup> برای حل مسائل روزمره را دارا می‌باشد. نرم افزار فوق یک سیستم مدل سازی عصبی پس انتشار خطا می‌باشد، که برای بالا بردن قدرت کامپیوترهای شخصی طراحی شده است. مسائل قابل حل با این نرم افزار نا محدود هستند. این نرم افزار یک ساختار طراحی شبکه پیشرفته، برای تولید شبکه‌های پیچیده ارائه می‌دهد، که برای یادگیری از الگوریتم آموزش بهینه پس انتشار خطا استفاده می‌کند. از مزیت‌های این شبکه عصبی می‌توان به سرعت بالا، روش‌های آموزش متعدد، قسمت کمک<sup>۲</sup> نرم افزار برای تمامی مدل‌ها، طراحی شبکه سریع و آسان، وجه مشترک آسان داده‌ها<sup>۳</sup>، مجموعه تست‌های خودکار برای آنالیز مدل و آموزش اضافی، آنالیز متقابل کامل فرآیند یادگیری با استفاده از گراف‌های شبکه و ساختار قدرتمند خود درشت نمایی آن، ابزار پیشرفته آنالیز شبکه، توانایی ذخیره خودکار مدل شبکه در طول آموزش، قسمت کنترل سرعت یادگیری برای خودکار کردن آموزش شبکه، الگوریتم‌های آموزش متعدد، روش صحت سنجی با ساختار کامل، توانایی یکپارچگی مدل‌های شبکه عصبی به فضای کار روزمره و مسائل مثال زده شده اشاره نمود. تمام این خصوصیات Qnet را به عنوان قدرتمندترین و راحت‌ترین نرم افزار شبکه عصبی

<sup>۱</sup>-Backprobagation

<sup>۲</sup>-Help

<sup>۳</sup>-Easy Data Interfacing

برای استفاده تبدیل کرده است. این برنامه روی سیستم عامل‌های ویندوز ۹۵، ۹۸، ۲۰۰۰ یا ویندوز NT قابل اجرا می‌باشد.

### ۳-۱۴-۲- اجرا و سازمان دهی Qnet ۲۰۰۰

در ادامه به طور مختصر ساختار این نرم افزار مورد بررسی قرار می‌گیرد. پنجره اصلی این نرم افزار شامل باز کردن شبکه جدید یا فایل‌های توصیف شبکه موجود و انتخاب حالت آموزش یا صحت سنجی برای اجرا می‌باشد. همچنین توانایی ذخیره ساختار شبکه و اطلاعات یادگیری شده، انجام یادگیری اضافی یا اصلاح شبکه موجود را دارا است. در صورت انتخاب آموزش<sup>۱</sup> نرم افزار، تعیین طراحی شبکه، تعیین داده‌های آموزش و تعیین پارامترهای آموزش و سپس مدل آموزش، کنترل آموزش و بهینه سازی، بررسی گراف‌های شبکه، بررسی خصوصیات آماری و ذخیره نتایج قابل اجرا می‌باشد. انتخاب صحت سنجی<sup>۲</sup> نرم افزار نیز شامل تعیین داده‌های صحت سنجی، بررسی و آنالیز گراف‌های شبکه، بررسی خصوصیات آماری و ذخیره نتایج می‌باشد. برای طراحی یک شبکه، مدل کننده باید اطلاعات زیر را تعیین نماید: تعداد گره‌های ورودی، تعداد لایه‌های مخفی (۱ الی ۸)، تعداد گره‌های هر لایه مخفی، تعداد گره‌های خروجی. همچنین طراحی اتصالات شبکه، تابع انتقال مورد استفاده در هر لایه طراحی را می‌توان استفاده نمود (راهنمای نرم افزار Qnet ۲۰۰۰).

### ۳-۱۴-۳- توابع انتقال مورد استفاده در ۲۰۰۰

توابع انتقال گره، در ایفای هدف کنترل شدت سیگنال<sup>۳</sup> خروجی گره نقش دارد. این توابع شدت صوت خروجی را بین صفر و یک قرار می‌دهند. ورودی تابع انتقال حاصل ضرب نقطه‌ای سیگنال‌های ورودی تمامی گره‌ها و بردار وزن گره‌ها می‌باشد. Qnet گزینه انتخاب چهار تابع انتقال را به کاربر ارائه

---

۱-Training Setup

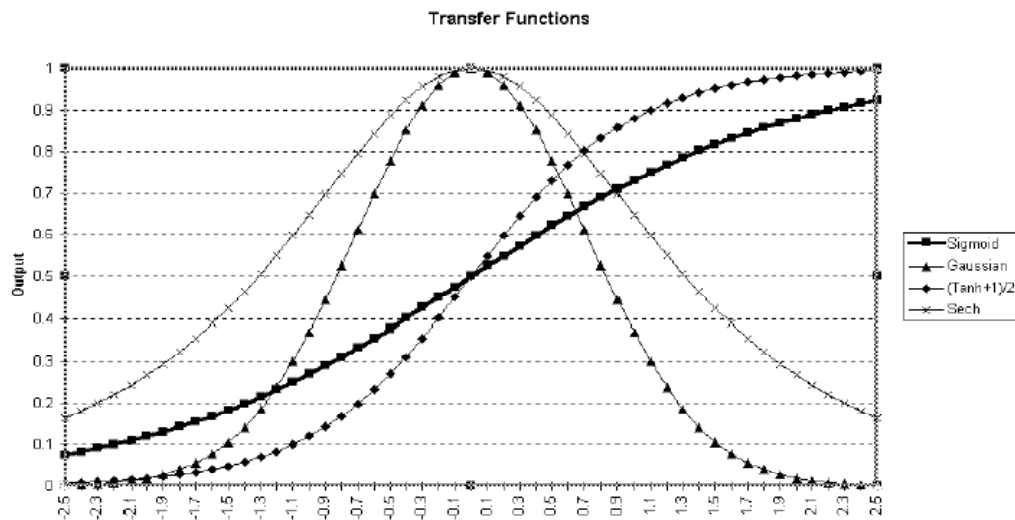
۲-Recall Setup

۳-Signal Strength

می‌دهد که شامل سیگموئید<sup>۱</sup> با رابطه ریاضی  $(\exp(-x^*x))^{1/(1+\exp(-x))}$ ، گوس<sup>۲</sup> با رابطه ریاضی  $(\exp(-x^*x))$  تانژانت هیپربولیک<sup>۳</sup>  $(\tanh(x))$  و سکانت هیپربولیک<sup>۴</sup>  $(\text{sech}(x))$  می‌باشند. توابع در Qnet برای هر لایه به طور جداگانه قابل انتخاب هستند و می‌توان شبکه‌هایی با انواع مختلف توابع ترکیبی تولید کرد.

شکل (۱۵-۳) رفتار هر تابع را نشان می‌دهد.

تابع سیگموئید، تابعی می‌باشد که این نرم افزار به صورت پیش فرض در نظر می‌گیرد و تابعی است که به صورت گستردگی برای شبکه‌های عصبی پس انتشار خطأ مورد استفاده است. تابع سیگموئید به عنوان یک مدخل خروجی که توانایی باز کردن (۱) یا بستن (۰) را دارد، عمل می‌کند. از آن جایی که تابع به صورت پیوسته است، این امکان برای این مدخل وجود دارد که به صورت جزئی (یعنی جایی بین صفر و یک) باز شود. مدل‌هایی که از تابع انتقال سیگموئید استفاده می‌کنند اغلب در تولید خصوصیات یادگیری تعمیم یافته کمک می‌کنند و مدل‌هایی با درجه دقت ثابت شده ایجاد می‌کنند. استفاده از تابع انتقال سیگموئید به زمان یادگیری طولانی تری نیاز دارد.



شکل ۱۵-۳- تابع انتقال سیگموئید، گوس، تانژانت و سکانت هیپربولیک سیگناال خروجی تولید شده از هر گره را نرمال می‌کنند.

<sup>۱</sup>-Sigmoid

<sup>۲</sup>-Gaussian

<sup>۳</sup>-Hyperbolic Tangent

<sup>۴</sup>-Hyperbolic Secant

تابع انتقال گوس به صورت معنی داری دینامیک یادگیری مدل‌های شبکه عصبی را تغییر داده است. در جایی که تابع سیگموئید به عنوان یک مدخل برای پاسخ یک گره عمل می‌کند، تابع گوس به عنوان ناظر احتمالاتی خروجی عمل می‌کند. همانند تابع سیگموئید، پاسخ خروجی‌ها به صورت نرمال شده بین صفر و یک هستند، اما تابع انتقال گوس احتمال بیشتری برای تولید حالت‌های فی مابین دارد. با ارائه یک مجموعه ورودی‌ها به یک گره، خروجی‌های نرمال به صورت پاسخ‌های جزئی هستند. مدخل خروجی به صورت جزئی باز می‌شود. شبکه‌هایی با پایه گوسی توانایی یادگیری بالاتری نسبت به همتای سیگموئیدی خود دارند.

تابع هیپربولیک شامل تانژانت هیپربولیک و سکانت هیپربولیک هستند. تابع تانژانت هیپربولیک همانند تابع سیگموئید می‌باشد اما در طول یادگیری دینامیک یادگیری متفاوتی ارائه می‌دهد. این تابع یادگیری را برای برخی مدل‌ها تسريع می‌کند و همچنین روی صحت پیش گویی اثر دارد.

#### ۴-۱۴-۳- داده‌های آموزش

برای شبکه‌های عصبی پس انتشار خطأ، هر چه تعداد داده‌های آموزش بیشتر باشد، مدل نتایج بهتری ارائه می‌دهد. کاربر با حالت‌های آموزش بیشتر در دسترس، قادر به طراحی شبکه پیچیده‌تر می‌باشد.

شبکه‌های عصبی پس انتشار خطأ به داده‌های آموزش نرمال شده بین صفر و یک نیازمند هستند. این مسئله بدین دلیل است که سیگنال گره خروجی بین صفر و یک محدود است. این نرم افزار همچنین به داده‌های نرمال شده برای بهبود خصوصیات آموزش احتیاج دارد و خود قادر به نرمال کردن داده‌ها به صورت خودکار می‌باشد. در طول انتخاب این گزینه در مرحله آموزش، تمام داده‌ها برای گره‌های لایه ورودی یا هدف‌های آموزش برای لایه خروجی بین محدوده  $0/15$  و  $0/85$  نرمال می‌شوند. برای تعیین این که شبکه به حالت بهینه رسیده است، روش‌های زیر وجود دارند:

(۱) آنالیز RMS: پایان یافتن فرآیند آموزش در نقطه‌ای که تست خطأ کمترین مقدار را داشته باشد.

(۲) آنالیز همبستگی: پایان یافتن فرآیند آموزش در نقطه‌ای که خطای همبستگی بیشترین مقدار را دارد. (۳) آنالیز تحمل<sup>۱</sup>: در صورتی که نیاز به دسترسی به یک درجه دقت شناخته شده باشد، قسمت بررسی تحمل Qnet برای تعیین این که شبکه چه زمانی به سطح درجه دقت مورد نظر رسیده، را می‌توان به کار برد (راهنمای نرم افزار Qnet ۲۰۰۰).

---

<sup>۱</sup>-Tolerance Analysis

## فصل چهارم

### نتایج مدل سازی‌ها

## ۱-۴- مقدمه

در این فصل نتایج حاصل از مدل سازی دبی رودخانه مارون مربوط به ایستگاه هیدرومتری ایدنک که توسط نرم افزارهای SAMS ۲۰۰۷ و Qnet ۲۰۰۰ به ترتیب برای روش‌های استوکستیک و شبکه‌های عصبی مصنوعی مورد استفاده قرار گرفته‌اند، ارائه می‌شوند.

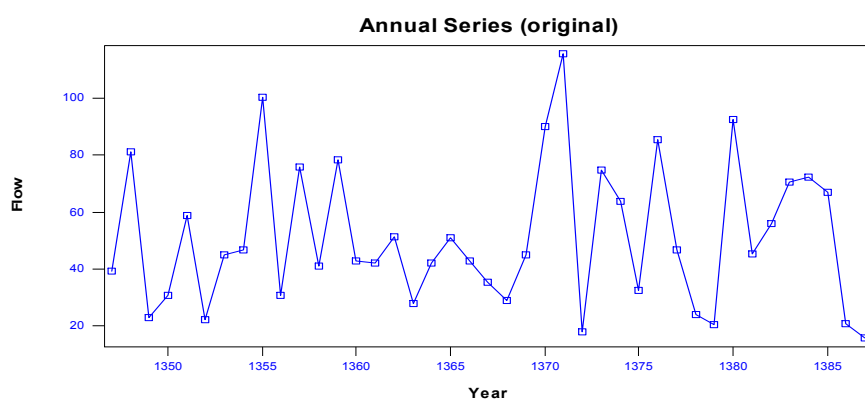
## ۲-۴- نتایج حاصل از مدل سازی استوکستیک برای پیش‌بینی دبی رودخانه

### مارون

#### ۲-۴-۱- داده‌های سالانه

##### الف- مدل سازی اتورگرسیو تک متغیره

در این تحقیق آمار دبی ۴۱ ساله ایستگاه هیدرومتری ایدنک واقع بر روی رودخانه مارون برای سال‌های ۱۳۴۷-۴۸ تا ۱۳۸۷-۸۸ مورد استفاده قرار گرفت. این آمار در جدول (۱-۴) آورده شده‌اند. پس از معرفی داده‌های مورد نظر به نرم افزار ۲۰۰۷ سری زمانی اولیه برای داده‌های دبی سالانه ایستگاه ایدنک رسم شده است که در شکل (۱-۴) قابل مشاهده است.



شکل ۱-۴- سری زمانی سالانه دبی ایستگاه هیدرومتری ایدنک

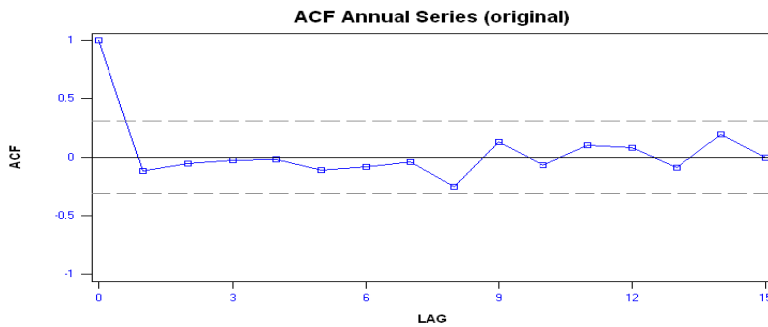
جدول ۴-۱- آمار دبی سالانه ایستگاه هیدرومتری ایدنک واقع بر روی رودخانه مارون  
برای سال‌های آبی ۱۳۴۶-۴۷ تا ۱۳۸۷-۸۸

سال آبی	دبی سالانه (متر مکعب بر ثانیه)	سال آبی	دبی سالانه (متر مکعب بر ثانیه)
۱۳۴۷-۴۸	۳۹/۳۸۵	۱۳۶۸-۶۹	۲۸/۸۷۵
۱۳۴۸-۴۹	۸۱/۳۶۸	۱۳۶۹-۷۰	۴۴/۸۷۷
۱۳۴۹-۵۰	۲۳/۰۱۲	۱۳۷۰-۷۱	۹۰/۲۲۶
۱۳۵۰-۵۱	۳۰/۷۵۶	۱۳۷۱-۷۲	۱۱۵/۷۱۳
۱۳۵۱-۵۲	۵۸/۷۴۶	۱۳۷۲-۷۳	۱۸/۰۹۸
۱۳۵۲-۵۳	۲۲/۲۷۶	۱۳۷۳-۷۴	۷۴/۸۷۴
۱۳۵۳-۵۴	۴۴/۹۳۵	۱۳۷۴-۷۵	۶۳/۹۰۸
۱۳۵۴-۵۵	۴۶/۸۸۵	۱۳۷۵-۷۶	۳۲/۶۹
۱۳۵۵-۵۶	۱۰۰/۴۴۸	۱۳۷۶-۷۷	۸۵/۶۳۸
۱۳۵۶-۵۷	۳۰/۸۹۱	۱۳۷۷-۷۸	۴۶/۶۷۱
۱۳۵۷-۵۸	۷۵/۷۱۸	۱۳۷۸-۷۹	۲۴/۰۵۶
۱۳۵۸-۵۹	۴۱/۱۲۳	۱۳۷۹-۸۰	۲۰/۰۵۶
۱۳۵۹-۶۰	۷۸/۲۴۱	۱۳۸۰-۸۱	۹۲/۰۵۹
۱۳۶۰-۶۱	۴۲/۸۱۱	۱۳۸۱-۸۲	۴۵/۳۷۴
۱۳۶۱-۶۲	۴۱/۹۹۳	۱۳۸۲-۸۳	۵۶/۱۲۴
۱۳۶۲-۶۳	۵۱/۴۱۱	۱۳۸۳-۸۴	۷۰/۶۸۷
۱۳۶۳-۶۴	۲۸/۰۰۲	۱۳۸۴-۸۵	۷۲/۰۵۰
۱۳۶۴-۶۵	۴۱/۹۸۶	۱۳۸۵-۸۶	۶۷/۱۳۲
۱۳۶۵-۶۶	۵۱/۱۸۶	۱۳۸۶-۸۷	۲۰/۶۵۸
۱۳۶۶-۶۷	۴۲/۶۷۵	۱۳۸۷-۸۸	۱۵/۸۲۶
۱۳۶۷-۶۸	۳۵/۵۱۶	-	-

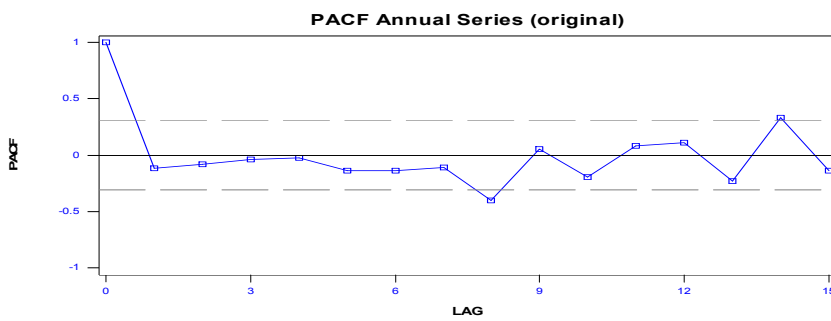
همان طوری که در فصل ۳ اشاره شد، وسیله اصلی برای تشخیص مدل، ترسیم تابع خود همبستگی (ACF) و خود همبستگی جزئی (PACF) سری اولیه می‌باشد. مقادیر محاسبه شده توابع فوق توسط SAMS ۲۰۰۷ در جدول (۲-۴) ارائه شده‌اند و سپس توابع مذکور مطابق شکل‌های (۲-۴) و (۳-۴) ترسیم شدند.

جدول ۲-۴- تابع خود همبستگی و خود همبستگی جزئی دبی سالانه ایستگاه هیدرومتری ایدنک

PACF	X	PACF	X	ACF	X	ACF	X
-۰/۳۹۹۵	۸	۱	۰	-۰/۲۵۰۳	۸	۱	۰
۰/۰۵۳۲	۹	-۰/۱۲۰۷	۱	۰/۱۳۴۰	۹	-۰/۱۱۴۶	۱
-۰/۱۹۴۱	۱۰	-۰/۰۸۱۷	۲	-۰/۰۶۵۳	۱۰	-۰/۰۵۵۷	۲
۰/۰۸۵۱	۱۱	-۰/۰۴۲۴	۳	۰/۱۰۴۱	۱۱	-۰/۰۲۱۹	۳
۰/۱۱۳۲	۱۲	-۰/۰۲۵۴	۴	۰/۰۸۳۴	۱۲	-۰/۰۱۴۵	۴
-۰/۲۳۳۰	۱۳	-۰/۱۳۵۱	۵	-۰/۰۸۶۳	۱۳	-۰/۱۱۰۹	۵
۰/۳۳۳۶	۱۴	-۰/۱۳۸۹	۶	۰/۱۹۳۴	۱۴	-۰/۰۸۲۷	۶
-۰/۱۳۹۷	۱۵	-۰/۱۰۸۱	۷	-۰/۰۰۰۳	۱۵	-۰/۰۳۹۴	۷



شکل ۴-۲- تابع خود همبستگی سری زمانی اولیه داده‌های دبی سالانه ایستگاه ایدنک با استفاده از نرم افزار SAMS ۲۰۰۷



شکل ۴-۳- تابع خود همبستگی جزئی سری زمانی اولیه داده‌های دبی سالانه ایستگاه ایدنک با استفاده از نرم افزار SAMS ۲۰۰۷

در شرایطی که استفاده از تابع خود همبستگی برای تعیین مقدار  $q$  مدل ARMA( $p, q$ ) مناسب است، تابع خود همبستگی جزئی نیز برای مشخص کردن مقدار  $p$  مدل ARMA( $p, q$ ) سودمند می‌باشد (Ahmed and Sarma, ۲۰۰۶). در نتیجه با توجه به شکل (۴-۳) قابل مشاهده است هیچ کدام از ضرائب خود همبستگی جزئی خارج از حدود اعتماد قرار نگرفته‌اند و مدل پیشنهادی برای این سری زمانی مدل AR(۱) می‌باشد.

خصوصیات آماری این سری زمانی در جدول (۳-۴) قابل مشاهده است.

جدول ۳-۴- خصوصیات آماری پایه سری زمانی دبی سالانه ایستگاه ایدنک

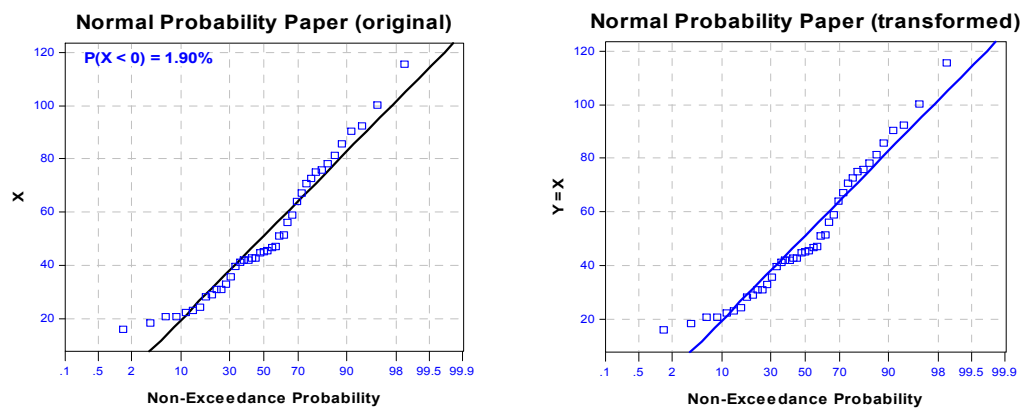
تابع خود همبستگی تاخیر (acf(۲))	تابع خود همبستگی تاخیر (acf(۱))	حداکثر (متر مکعب بر ثانیه)	حداقل (متر مکعب بر ثانیه)	ضریب چولگی (SKW)	ضریب تغییرات (CV)	انحراف معیار	متوجه (متر مکعب بر ثانیه)
-۰/۰۵۵۷	-۰/۱۱۴۷	۱۱۵/۷	۱۵/۸۳	۰/۶۵۴۹	۰/۴۸۱۸	۲۴/۶۴	۵۱/۱۳

نرم افزار SAMS ۲۰۰۷ نرمال بودن داده‌ها را با دو تست چولگی و تست فیلیبن مورد بررسی قرار داد. نتایج تست بر روی داده‌ها نشان که داده‌های خام دارای توزیع نرمال نمی‌باشند. نتایج و نمودار

ترسیمی توزیع فراوانی سری اولیه بر روی کاغذ احتمال نرمال قبل از تبدیل سری اولیه به نرمال در جدول (۴-۴) و شکل (۴-۴) قابل مشاهده می‌باشد. همان طوری که در جدول (۴-۴) نشان داده شده است، نرمال بودن داده‌ها به وسیله هر دو تست رد شده است.

جدول ۴-۴- نتایج تست نرمال بودن سری زمانی سالانه دبی قبل از اعمال تبدیل

تست فیلیپن		تست چولگی		تبدیل مورد استفاده			تبدیل فعلی		
نتیجه	مقدار مقایسه	نتیجه	مقدار مقایسه	ضریب b	ضریب a	تبدیل	ضریب b	ضریب a	تبدیل
رد	۰/۹۷۴	رد	۰/۶۵۴	۱/۰۰۰	۴/۵۰۸	-	۱/۰۰۰	۱/۰۰۰	-

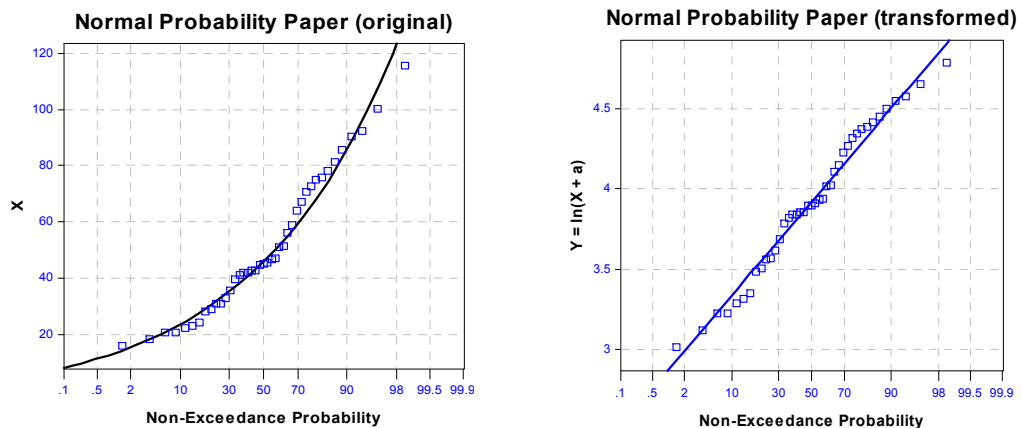


شکل ۴-۴- توزیع فراوانی سری زمانی داده‌های دبی سالانه قبل از تبدیل سری اولیه به نرمال

با توجه به بررسی انجام شده، چون داده‌های اولیه نرمال نبودند، برای نرمال کردن آن‌ها از توابع تبدیل لگاریتمی، نمایی و نظایر آن استفاده شد. نتایج بررسی نرمال بودن داده‌ها با استفاده از توابع تبدیل مذکور نشان می‌دهد که سری تولید شده با استفاده از تابع تبدیل لگاریتمی نسبت به سایر توابع نرمال تر بوده است. نتیجه استفاده از تابع تبدیل لگاریتمی در جدول (۵-۴) و نمودار ترسیمی آن که نشان دهنده توزیع فراوانی سری اولیه و داده‌های تبدیل شده می‌باشد نیز در شکل (۵-۴) آورده شده‌اند.

جدول ۵-۴- نتایج تست نرمالیتی سری زمانی سالانه دبی بعد از اعمال تبدیل لگاریتمی

تست فیلیپن		تست چولگی		تبدیل مورد استفاده			تبدیل فعلی		
نتیجه	مقدار مقایسه	نتیجه	مقدار مقایسه	ضریب b	ضریب a	تبدیل	ضریب b	ضریب a	تبدیل
قبول	۰/۹۹۲	قبول	-۰/۱۰۱	۱/۰۰۰	۴/۵۰۸	لگاریتمی	۱/۰۰۰	۴/۵۰۸	لگاریتمی



شکل ۴-۵- توزیع فراوانی سری زمانی داده‌های دبی سالانه بعد از اعمال تبدیل لگاریتمی

سپس مدل (۱) AR(۱)، (۲) AR(۲) و (۳) AR(۳) توسط این نرم افزار به داده‌های نرمال استاندارد شده برآورد گردید. پارامترهای مدل‌ها به روش گشتاورها (MOM) محاسبه و در جدول (۶-۴) ارائه شده‌اند.

جدول ۶-۴- پارامترهای مدل‌های (۱) AR(۱)، (۲) AR(۲) و (۳) AR(۳)

مدل	AR(۳)	AR(۲)	AR(۱)
میانگین	۳/۹۱۹۲۹	۳/۹۱۹۲۹	۳/۹۱۹۲۹
واریانس	۰/۲۰۵۱۵۳	۰/۲۰۵۱۵۳	۰/۲۰۵۱۵۳
معیار اطلاعاتی آکائیک	۴۹/۳۱۱	۴۶/۵۰۷	۴۴/۹۵۸
معیار اطلاعاتی شوارز	۵۱/۳۴۱	۴۷/۲۸۶	۴۴/۳۵۵
پارامترهای اتورگرسیو			
$\varphi_1$	-۰/۱۲۵۲۶	-۰/۱۰۶۱۰۵	-۰/۰۹۳۲۸
$\varphi_2$	-۰/۰۷۴۳۶	-۰/۱۳۷۵۲۵	-
$\varphi_3$	-۰/۰۳۷۴۲	-	-

همان طور که از جدول (۶-۴) قابل فهم است مدل (۱) AR با داشتن کمترین مقدار معیارهای اطلاعاتی آکائیک و شوارز به عنوان مدل مناسب برای این سری زمانی تشخیص داده شد و تولید سری جدید توسط این مدل صورت گرفت. در جدول (۷-۴) خصوصیات آماری پایه سری تولید شده با سری اولیه مقایسه شده‌اند، که نشان می‌دهد این خصوصیات به خصوصیات سری اولیه نزدیک می‌باشد.

جدول ۷-۴- مقایسه خصوصیات آماری پایه سری تولید شده با سری اولیه برای مدل (۱) AR(۱)

پارامتر	سری تاریخی	سری تولید شده
میانگین	۵۱/۱۳	۵۰/۶۳
انحراف معیار	۲۴/۶۴	۲۵/۳۱
ضریب تغییرات	۰/۴۸۱۸	۰/۴۸۹۴
چولگی	۰/۶۵۴۹	۱/۰۵۳
حداقل	۱۵/۸۳	۱۵/۴۳
حداکثر	۱۱۵/۷	۱۲۸/۳
تابع خود همبستگی تاخیر ۱ (acf( ۱))	-۰/۱۱۴۷	-۰/۱۲۶۸
تابع خود همبستگی تاخیر ۲ (acf( ۲))	-۰/۰۵۵۷	-۰/۰۳۵۲۲

یکی از توانایی‌های نرم افزار SMAS ۲۰۰۷ قابلیت پیش‌بینی حداکثر دوره خشکسالی، مقدار دبی خشکسالی، حداکثر دوره پر آبی و حداکثر دبی پر آبی و ظرفیت ذخیره می‌باشد. این اطلاعات در جدول (۸-۴) برای سری تولید شده و سری اولیه با هم مقایسه شده‌اند. نتایج این جدول نشان می‌دهد که سری تولید شده به خوبی با سری اولیه قابل مقایسه است.

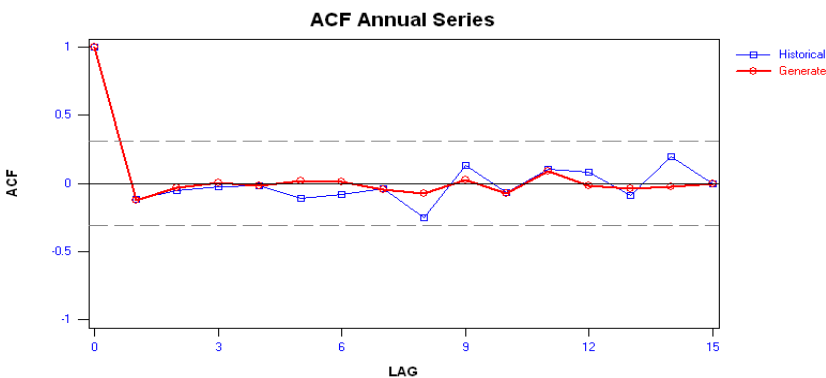
جدول ۸-۴- مقایسه اطلاعات ذخیره، خشکسالی و سال‌های پر آبی سری تولید شده با سری اولیه برای مدل (۱) AR(۱)

پارامتر	سری تاریخی	سری تولید شده
(Longest Drought) (سال)	۴	۶/۴
(Max Deficit) (متر مکعب در ثانیه)	۶۵/۷۸	۱۰۶/۲
(Longest Surplus) (سال)	۴	۳/۶
(Max Surplus) (متر مکعب در ثانیه)	۱۰۳/۷	۱۱۳/۵
(Storage Capacity) (میلیون متر مکعب)	۱۱۱/۴	۱۸۳/۶

مقایسه تابع خود همبستگی سری تولید شده با سری اولیه در جدول (۹-۴) و شکل (۶-۴) نشان داده شده است. در این جدول X و Y به ترتیب نشان دهنده تأخیر (Lag) و تابع خود همبستگی هستند. تابع خود همبستگی سری تولید شده نیز همانند سری اولیه در میان حدود اطمینان ۱۰٪ هست. قرار دارد.

جدول ۹-۴- مقایسه تابع خود همبستگی سری تولید شده با سری اولیه برای مدل (۱) AR(۱)

X	-Y- سری تاریخی	-Y- سری تولید شده	X	-Y- سری تاریخی	-Y- سری تولید شده
.	۱	۱	۸	۱	۱
۱	-۰/۱۱۴۶	-۰/۱۲۶۷	۹	۰/۱۳۴۰	۰/۰۲۲۷
۲	-۰/۰۵۵۷	-۰/۰۳۵۲	۱۰	-۰/۰۶۵۳	-۰/۰۷۵۸
۳	-۰/۰۲۱۹	-۰/۰۰۲۷	۱۱	۰/۱۰۴۲	۰/۰۸۵۷
۴	-۰/۰۱۴۵	-۰/۰۰۲۱۲	۱۲	۰/۰۸۳۴	-۰/۰۱۵۹
۵	-۰/۱۱۰۹	-۰/۰۱۷۵	۱۳	-۰/۰۸۶۳	-۰/۰۳۸۹
۶	-۰/۰۸۲۷	-۰/۰۰۸۶	۱۴	۰/۱۹۳۵	-۰/۰۲۳۳
۷	-۰/۰۳۹۴	-۰/۰۴۸۱	۱۵	-۰/۰۰۰۳	.

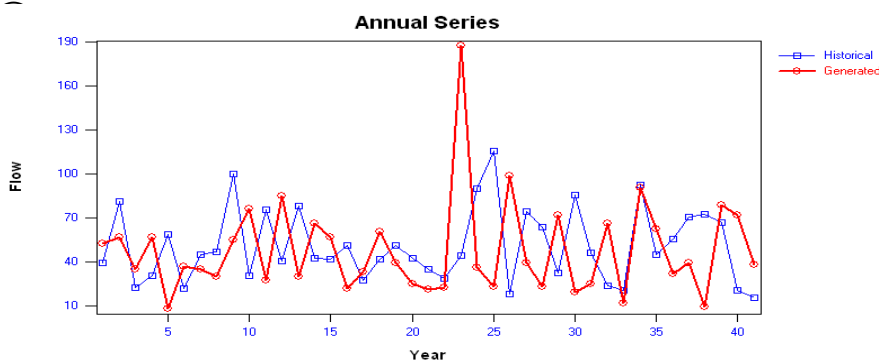


شکل ۶-۴- مقایسه تابع خود همبستگی سری تولید شده با سری اولیه برای مدل (۱) AR(۱)

سری تولید شده و سری اولیه برای مدل (۱) AR(۱) در جدول (۶-۴) و شکل (۷-۴) با هم مقایسه شده‌اند. در این جدول X و Y به ترتیب نشان دهنده تعداد داده‌ها و دیگر سالانه ایستگاه ایدنک می‌باشند.

جدول ۱۰-۴- مقایسه سری تولید شده و سری اولیه برای مدل (۱) AR(۱)

-Y سری تاریخی	-Y سری تولید شده	X	-Y سری تاریخی	-Y سری تولید شده	X
۲۲/۴۵۳	۲۸/۸۷۵	۲۲	۵۲/۸۲۵	۳۹/۳۸۵	۱
۱۸۷/۹۲۴	۴۴/۸۷۷	۲۳	۵۷/۲۸۲	۸۱/۳۶۸	۲
۳۶/۵۸۵	۹۰/۲۲۶	۲۴	۳۵/۲۳	۲۳/۰۱۲	۳
۲۳/۱۰۵	۱۱۵/۷۱۳	۲۵	۵۶/۹۲۰	۳۰/۷۵۶	۴
۹۸/۷۱۷	۱۸/۰۹۸	۲۶	۸/۱۱۹	۵۸/۷۴۶	۵
۳۹/۶۰۳	۷۴/۸۷۴	۲۷	۳۶/۸۷۲	۲۲/۲۷۶	۶
۲۳/۱۶۱	۶۳/۹۰۸	۲۸	۳۵/۱۹۱	۴۴/۹۳۵	۷
۷۱/۹۳۴	۳۲/۶۹	۲۹	۳۰/۰۱۳	۴۶/۸۸۵	۸
۱۹/۷۱۴	۸۵/۶۳۸	۳۰	۵۵/۰۱۵	۱۰۰/۴۴۸	۹
۲۵/۰۰۱	۴۶/۶۷۱	۳۱	۷۶/۳۵۰	۳۰/۸۹۱	۱۰
۶۶/۳۵۶	۲۴/۰۵۶	۳۲	۲۷/۸۳۳	۷۵/۷۱۸	۱۱
۱۲/۱۶۵	۲۰/۵۸۷	۳۳	۸۵/۴۳۹	۴۱/۱۲۳	۱۲
۹۰/۷۲۸	۹۲/۵۵۹	۳۴	۳۰/۱۸۵	۷۸/۲۴۱	۱۳
۶۲/۴۸۱	۴۵/۳۷۴	۳۵	۶۶/۴۶۷	۴۲/۸۱۱	۱۴
۳۲/۰۳۳	۵۶/۱۲۴	۳۶	۵۷/۰۷۲	۴۱/۹۹۳	۱۵
۳۹/۴۱۹	۷۰/۶۸۷	۳۷	۲۲/۲۰۵	۵۱/۴۱۱	۱۶
۹/۰۰۴	۷۲/۵۰۱	۳۸	۳۳/۲۶۹	۲۸/۰۰۲	۱۷
۷۹/۱۱۱	۶۷/۱۳۲	۳۹	۶۰/۹۴۳	۴۱/۹۸۶	۱۸
۷۱/۹۹۶	۲۰/۶۵۸	۴۰	۳۹/۸۴۵	۵۱/۱۸۶	۱۹
۳۸/۴۱۸	۱۵/۸۲۶	۴۱	۲۵/۴۸۲	۴۲/۶۷۵	۲۰
-	-	-	۲۱/۶۰۹	۳۵/۵۱۶	۲۱



شکل ۷-۴- مقایسه سری تولید شده و سری اولیه برای مدل AR(1)

### ب- مدل سازی اتورگرسیو- میانگین متحرک

با توجه به تابع خود همبستگی و خود همبستگی جزئی سری اولیه شکل های (۲-۴) و (۳-۴) مدل

ARMA برای داده های سالانه پیشنهاد شد. در نهایت برای انتخاب بهترین مدل، مدل های

ARMA(1,1) و ARMA(1,2) توسط این نرم افزار به داده های نرمال استاندارد شده سالانه برآش

گردید. پارامترهای مدل ها به روش گشتاورها (MOM) محاسبه و در جدول (۱۱-۴) ارائه شده اند.

برای مدل ARMA(1,1) مدل های پارامترها به روش گشتاورها مدل پایابی ارائه نمی دهد و پارامترها

قابل تخمین زدن نمی باشند.

جدول ۱۱-۴- پارامترهای مدل های ARMA(1,1) و ARMA(1,2)

ARMA(1,2)	ARMA(1,1)	مدل
۳/۹۱۹۲۹	۴/۲۷۶۴	میانگین
۰/۲۰۵۱۵۳	۰/۱۰۲۰۸۸	واریانس
۴۸/۸۴	۵۳/۸۰۷	معیار اطلاعاتی آکائیک
۵۰/۸۷	۵۴/۵۸۶	معیار اطلاعاتی شوارز
پارامترهای اتورگرسیو		
۰/۱۴۶۴۵۲	۰/۹۹۹۴۰.۶	$\varphi_1$
پارامترهای میانگین متحرک		
۰/۲۶۰۷۰۸	۰/۹۵۰۵۰۶	$\theta_1$
۰/۱۱۷۵۵۶	-	$\theta_2$

همان طور که از جدول (۱۱-۴) قابل فهم است مدل ARMA(1,1) با داشتن کمترین مقدار

معیارهای آکائیک و شوارز به عنوان مدل مناسب برای این سری زمانی در نظر گرفته شد و تولید

سری جدید توسط این مدل صورت پذیرفت. خصوصیات آماری پایه سری زمانی اولیه و تولید شده برای این مدل در جدول (۱۲-۴) با هم مقایسه شده‌اند، که نشان می‌دهد خصوصیات آماری پایه سری تولید شده به سری اولیه نزدیک می‌باشد.

همچنین مقایسه حداکثر دوره خشکسالی، مقدار دبی خشکسالی، حداکثر دوره پر آبی و حداکثر دبی پر آبی و ظرفیت ذخیره سری تولید شده با سری اولیه در جدول (۱۳-۴) قابل مشاهده می‌باشد. برای این مدل نیز سری تولید شده به خوبی با سری اولیه قابل مقایسه می‌باشد.

جدول ۱۲-۴ - مقایسه خصوصیات آماری پایه سری تولید شده با سری اولیه برای مدل

ARMA(1,۱)

پارامتر	سری تاریخی	سری تولید شده
میانگین	۵۱/۱۳	۵۲/۰۸
انحراف معیار	۲۴/۶۴	۲۸/۴۱
ضریب تغییرات	۰/۴۸۱۸	۰/۵۲۹۳
چولگی	۰/۶۵۴۹	۱/۲۷۱
حداقل	۱۵/۸۳	۱۵/۵۷
حداکثر	۱۱۵/۷	۱۴۶/۹
تابع خود همبستگی تاخیر ۱ (acf(۱))	-۰/۱۱۴۷	-۰/۱۱۸۶
تابع خود همبستگی تاخیر ۲ (acf(۲))	-۰/۰۵۵۷	-۰/۰۹۹۵۲

جدول ۱۳-۴ - مقایسه اطلاعات ذخیره، خشکسالی و سال‌های پر آبی سری تولید شده با سری اولیه

برای مدل ARMA(1,۱)

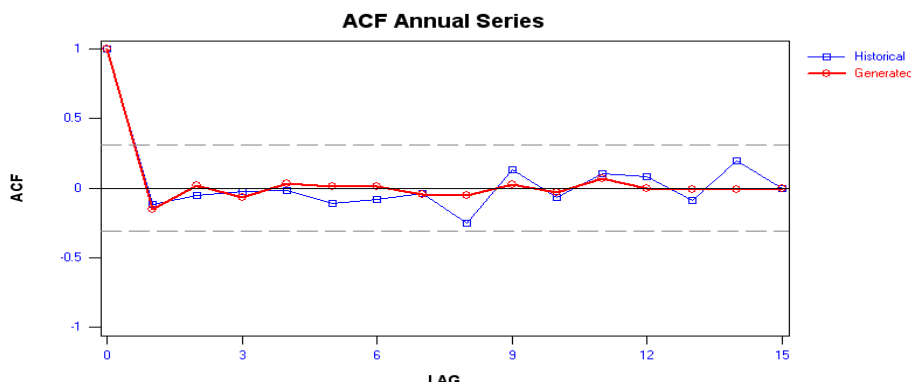
پارامتر	سری تاریخی	سری تولید شده
(Longest Drought) (سال)	۴	۴/۷
(Max Deficit) (متر مکعب در ثانیه)	۶۵/۷۸	۸۲/۰۳
(Longest Surplus) (سال)	۴	۳/۴
(Max Surplus) (متر مکعب در ثانیه)	۱۰۳/۷	۱۱۸/۳
(Storage Capacity) (میلیون متر مکعب)	۱۱۱/۴	۱۴۵/۳

تابع خود همبستگی سری تولید شده و سری اولیه در جدول (۱۴-۴) و شکل (۸-۴) با یکدیگر

مقایسه شده‌اند. در این جدول X و Y به ترتیب نشان دهنده تأخیر (Lag) و تابع خود همبستگی هستند. در این مدل نیز تابع خود همبستگی سری تولید شده همانند سری اولیه در میان حدود اطمینان ۱۰٪ قرار گرفته است.

جدول ۱۴-۴- مقایسه تابع خود همبستگی سری تولید شده با سری اولیه برای مدل ARMA(1,2)

-Y سری تولید شده	-Y سری تاریخی	X	-Y سری تولید شده	-Y سری تاریخی	X
-۰/۰۵۶۶	-۰/۲۵۰۳	۸	۱	۱	.
۰/۰۲۳۳	۰/۱۳۴۰	۹	-۰/۱۱۸۶	-۰/۱۱۴۶	۱
-۰/۰۲۰۵	-۰/۰۶۵۳	۱۰	-۰/۰۹۹۵	-۰/۰۵۵۷	۲
۰/۰۵۷۵	۰/۱۰۴۲	۱۱	-۰/۰۸۱۸	-۰/۰۲۱۹	۳
۰/۰۰۸۴	۰/۰۸۳۴	۱۲	۰/۰۳۱۸	-۰/۰۱۴۵	۴
-۰/۰۱۷۵	-۰/۰۸۶۳	۱۳	۰/۰۳۶۲	-۰/۱۱۰۹	۵
-۰/۰۱۳۷	۰/۱۹۳۵	۱۴	۰/۰۱۹۹	-۰/۰۸۲۷	۶
.	-۰/۰۰۰۳	۱۵	-۰/۰۴۹۳	-۰/۰۳۹۴	۷

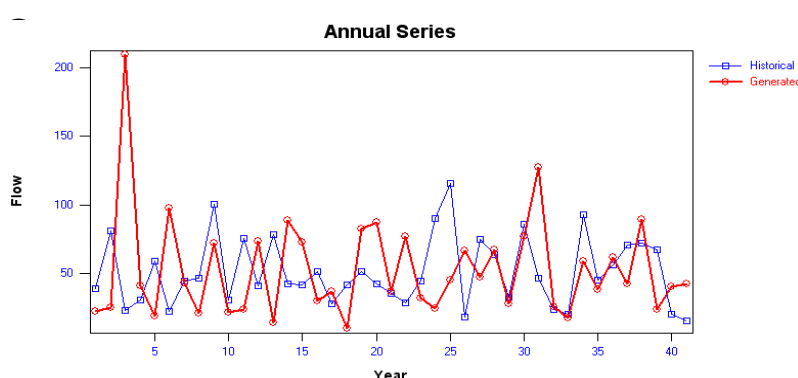


شکل ۸-۴- مقایسه تابع خود همبستگی سری تولید شده با سری اولیه برای مدل ARMA(1,2)

سری تولید شده و سری اولیه برای مدل ARMA(1,2) در جدول (۹-۴) و شکل (۹-۴) با هم

مقایسه شده‌اند. در این جدول X و Y به ترتیب نشان دهنده تعداد داده‌ها و دبی سالانه ایستگاه ایدنک

می‌باشند.



شکل ۹-۴- مقایسه سری تولید شده و سری اولیه برای مدل ARMA(1,2)

جدول ۴-۱۵- مقایسه سری تولید شده و سری اولیه برای مدل ARMA(1,2)

-Y سری تولید شده	-Y سری تاریخی	X	-Y سری تولید شده	-Y سری تاریخی	X
۷۶/۹۶۱	۲۸/۸۷۵	۲۲	۲۲/۲۴۳	۳۹/۳۸۵	۱
۳۲/۴۷۲	۴۴/۸۷۷	۲۳	۲۵/۰۴۵	۸۱/۳۶۸	۲
۲۴/۶۵۶	۹۰/۲۲۶	۲۴	۲۰۹/۲۵۸	۲۳/۰۱۲	۳
۴۴/۹۷۳	۱۱۵/۷۱۳	۲۵	۴۱/۰۱۹	۳۰/۷۵۶	۴
۶۶/۴۱۷	۱۸/۰۹۸	۲۶	۱۹/۰۰۱	۵۸/۷۴۶	۵
۴۷/۰۶۵	۷۴/۸۷۴	۲۷	۹۷/۴۱۷	۲۲/۲۷۶	۶
۶۷/۶۴۰	۶۳/۹۰۸	۲۸	۴۳/۳۴۰	۴۴/۹۳۵	۷
۲۷/۹۳۳	۳۲/۶۹	۲۹	۲۱/۱۳۸	۴۶/۸۸۵	۸
۷۶/۷۵۵	۸۵/۶۳۸	۳۰	۷۱/۹۵۷	۱۰۰/۴۴۸	۹
۱۲۷/۵۷۹	۴۶/۶۷۱	۳۱	۲۲/۰۲۶	۳۰/۸۹۱	۱۰
۲۶/۲۶۳	۲۴/۰۵۶	۳۲	۲۴/۲۲۳	۷۵/۷۱۸	۱۱
۱۷/۴۰۶	۲۰/۵۶۷	۳۳	۷۳/۷۷۳	۴۱/۱۲۳	۱۲
۵۹/۰۵۶	۹۲/۵۵۹	۳۴	۱۴/۰۶۶	۷۸/۲۴۱	۱۳
۳۸/۷۲۴	۴۵/۳۷۴	۳۵	۸۸/۵۱۵	۴۲/۸۱۱	۱۴
۶۲/۰۸۷	۵۶/۱۲۴	۳۶	۷۲/۶۷۱	۴۱/۹۹۳	۱۵
۴۲/۵۶۱	۷۰/۶۸۷	۳۷	۳۰/۰۳۳	۵۱/۴۱۱	۱۶
۸۹/۲۸۵	۷۲/۵۰۱	۳۸	۳۷/۱۸۲	۲۸/۰۰۲	۱۷
۲۳/۵۸۲	۶۷/۱۳۲	۳۹	۱۰/۲۱۷	۴۱/۹۸۶	۱۸
۴۰/۴۰۹	۲۰/۶۵۸	۴۰	۸۲/۲۶۹	۵۱/۱۸۶	۱۹
۴۲/۳۲۷	۱۵/۸۲۶	۴۱	۸۷/۱۶۶	۴۲/۶۷۵	۲۰
-	-	-	۳۷/۰۳۴	۳۵/۵۱۶	۲۱

نرم افزار از بین مدل‌های تک متغیره، مدل‌های GAR(۱) و SM-Shifting Mean را به داده‌های موجود برآذش نداد. برای مدل GAR(۱) در مقدار چولگی وتابع خود همبستگی و برای مدل SM با توجه به انتخاب تأثیرهای مختلف برای محاسبه تابع خود همبستگی خطای می‌گرفت.

نتایج مدل اتورگرسیو چند متغیره MAR همانند نتایج مدل برآذش شده اتورگرسیو- میانگین متحرک تک متغیره ARMA(p,q) با قرار دادن مقدار  $q$  برابر صفر و دست یابی به مدل اتورگرسیو تک متغیره می‌باشد، بنابراین از تکرار نتایج این مدل در این قسمت خودداری می‌کنیم.

## ج- مدل سازی اتورگرسیو- میانگین متحرک همزمان<sup>۱</sup>

برای این مدل نیز با توجه بهتابع خود همبستگی و خود همبستگی جزئی سری اولیه شکل‌های (۲-۴) و (۳-۴) مدل CARMA(۱,۱) برای داده‌های سالانه ایستگاه هیدرومتری ایدنک پیشنهاد شد. برای انتخاب بهترین مدل، مدل‌های CARMA(۱,۱)، CARMA(۱,۲) و CARMA(۱,۳) توسط این نرم افزار به داده‌های سالانه نرمال که مقدار میانگین از آن‌ها کم شده، برازش گردید. این نرم افزار برای برازش مدل اتورگرسیو- میانگین متحرک همزمان به داده‌های سالانه در اختیار ما به صورت خودکار از داده‌هایی که میانگین از آن‌ها کسر شده به جای داده‌های استاندارد شده استفاده کرده است. پارامترهای مدل‌ها به روش گشتاورها (MOM) محاسبه و در جدول (۱۶-۴) ارائه شده‌اند.

جدول ۱۶-۴- پارامترهای مدل‌های CARMA(۱,۱)، CARMA(۱,۲) و CARMA(۱,۳)

CARMA(۱,۳)	CARMA(۱,۲)	CARMA(۱,۱)	مدل
۳/۹۱۹۲۹	۳/۹۱۹۲۹	۳/۹۱۹۲۹	میانگین
۰/۲۵۱۵۳	۰/۲۵۱۵۳	۰/۲۵۱۵۳	واریانس
-۱۲/۴۷	-۱۶/۴۵۹	-۱۷/۶۸۹	معیار اطلاعاتی آکائیک
-۹/۳۳	-۱۴/۴۲۹	-۱۶/۹۱	معیار اطلاعاتی شوارز
پارامترهای اتورگرسیو			
-۰/۰۳۸۴	-۰/۳۲۰۲	-۰/۱۱۴۸	$\varphi_1$
پارامترهای میانگین متحرک			
.	-۰/۱۸۱۶	-۰/۰۰۰۰۰۲	$\theta_1$
.	۰/۲۱۵۷	-	$\theta_2$
.	-	-	$\theta_3$

با توجه به جدول (۱۶-۴) مدل CARMA(۱,۱) با داشتن کمترین مقدار معیارهای اطلاعاتی آکائیک و شوارز به عنوان بهترین مدل برای این سری زمانی شناخته شد و تولید سری جدید و مقایسه خصوصیات سری زمانی اولیه و تولید شده برای این مدل صورت می‌گیرد. خصوصیات آماری پایه سری زمانی اولیه و تولید شده در جدول (۱۷-۴) با هم مقایسه شده‌اند. نتایج این جدول نشان می‌دهد که خصوصیات آماری پایه سری تولید شده به سری اولیه نزدیک می‌باشد و نشان دهنده خوبی مدل برازش شده می‌باشد.

<sup>۱</sup>-Contemporaneous ARMA(p,q) Model (CARMA)

جدول ۱۷-۴- مقایسه خصوصیات آماری پایه سری تولید شده با سری اولیه برای مدل CARMA(۱,۱)

پارامتر	سری تاریخی	سری تولید شده
میانگین	۵۱/۱۳	۵۱/۱۶
انحراف معیار	۲۴/۶۴	۲۷/۱۵
ضریب تغییرات	۰/۴۸۱۸	۰/۵۲۲۱
چولگی	۰/۶۵۴۹	۱/۲۶۸
حداقل	۱۵/۸۳	۱۵/۹۸
حداکثر	۱۱۵/۷	۱۴۰/۸
تابع خود همبستگی تأخیر ۱ (acf(۱))	-۰/۱۱۴۷	-۰/۱۳۷۴
تابع خود همبستگی تأخیر ۲ (acf(۲))	-۰/۰۵۵۷	۰/۰۱۵۹۹

همچنین مقایسه حداکثر دوره خشکسالی، مقدار دبی خشکسالی، حداکثر دوره پر آبی و حداکثر دبی پر آبی و ظرفیت ذخیره سری تولید شده با سری اولیه در جدول (۱۸-۴) قابل مشاهده می باشد و نشان می دهد که نتایج به خوبی با هم قابل مقایسه هستند.

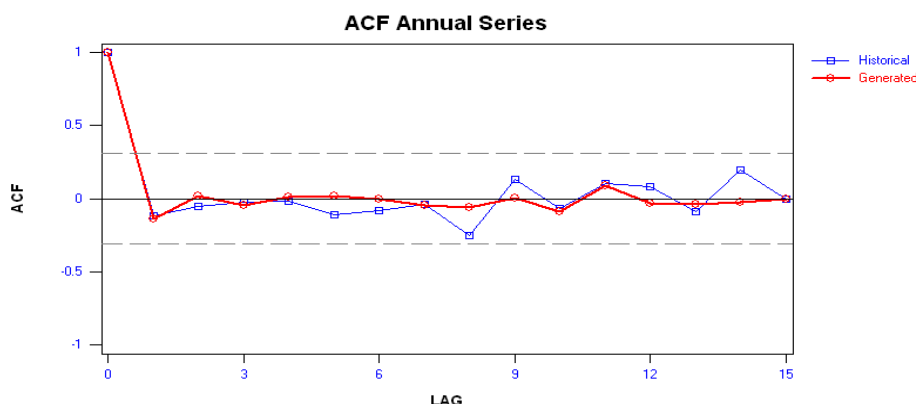
جدول ۱۸-۴- مقایسه اطلاعات ذخیره، خشکسالی و سال های پر آبی سری تولید شده با سری اولیه برای مدل CARMA(۱,۱)

پارامتر	سری تاریخی	سری تولید شده
حداکثر دوره خشکسالی (سال) (Longest Drought)	۴	۶/۲
مقدار دبی خشکسالی (متر مکعب در ثانیه) (Max Deficit)	۶۵/۷۸	۱۰۷/۷
حداکثر دوره پر آبی (سال) (Longest Surplus)	۴	۳/۵
حداکثر دبی پر آبی (متر مکعب در ثانیه) (Max Surplus)	۱۰۳/۷	۱۲۲/۷
ظرفیت ذخیره (میلیون متر مکعب) (Storage Capacity)	۱۱۱/۴	۱۷۶/۸

تابع خود همبستگی سری تولید شده و سری اولیه در جدول (۱۹-۴) و شکل (۱۰-۴) با یکدیگر مقایسه شده اند. در این جدول X و Y به ترتیب نشان دهنده تأخیر (Lag) و تابع خود همبستگی هستند.

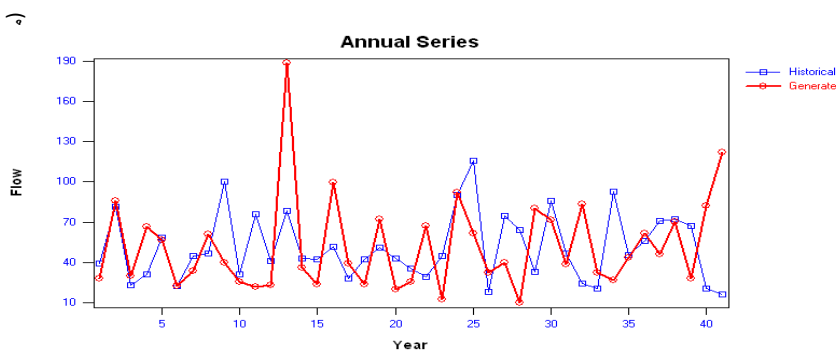
جدول ۱۹-۴- مقایسه تابع خود همبستگی سری تولید شده با سری اولیه برای مدل CARMA(۱,۱)

X	-Y سری تاریخی	-Y سری تولید شده	X	-Y سری تاریخی	-Y سری تولید شده
۰	۱	۱	۱	۱	۰
۱	-۰/۱۱۴۶	-۰/۱۳۷۴	۹	۰/۰۰۴۲	۰/۱۳۴۰
۲	-۰/۰۵۵۷	-۰/۰۱۵۹	۱۰	-۰/۰۸۹۷	-۰/۰۶۵۳
۳	-۰/۰۲۱۹	-۰/۰۴۴۵	۱۱	۰/۰۹۱۳	۰/۱۰۴۲
۴	-۰/۰۱۴۵	-۰/۰۱۳۰	۱۲	-۰/۰۳۰۱	۰/۰۸۳۴
۵	-۰/۱۱۰۹	-۰/۰۲۱۰	۱۳	-۰/۰۳۶۲	-۰/۰۸۶۳
۶	-۰/۰۸۲۷	-۰/۰۰۳۴	۱۴	-۰/۰۲۶۳	۰/۱۹۳۵
۷	-۰/۰۳۹۴	-۰/۰۴۷۵	۱۵	۰	-۰/۰۰۰۳



شکل ۱۰-۴- مقایسه تابع خود همبستگی سری تولید شده با سری اولیه برای مدل  $CARMA(1,1)$

سری تولید شده و سری اولیه برای مدل  $(1,1)$  در جدول (۲۰-۴) و شکل (۱۱-۴) با هم مقایسه شده‌اند. در این جدول X و Y به ترتیب نشان دهنده تعداد داده‌ها و دبی سالانه ایستگاه ایدنک می‌باشند.



شکل ۱۱-۴- مقایسه سری تولید شده و سری اولیه برای مدل  $(1,1)$

مدل‌های چند متغیره CSM-CARMA( $p,q$ ) و غیر تجمعی فاصله‌ای سالانه<sup>۱</sup> به دلیل استفاده ما از داده‌های دبی سالانه یک ایستگاه هیدرومتری قابل اجرا نبودند. برای برآش مدل CSM-CARMA( $p,q$ ) نیاز به معرفی ایستگاه‌های مجزا برای قسمت SM و ARMA مدل می‌باشد.

<sup>۱</sup>-Multivariate Annual (Spatial) Disaggregation

جدول ۴-۲۰- مقایسه سری تولید شده و سری اولیه برای مدل (I, I) CARMA

Y- سری تولید شده	X- سری تاریخی	Y- سری تولید شده	X- سری تاریخی	Y- سری تولید شده	X
۶۶/۸۹۹	۲۸/۸۷۵	۲۲	۲۷/۶۶۶	۳۹/۳۸۵	۱
۱۲/۰۸۸	۴۴/۸۷۷	۲۳	۸۵/۹۵۴	۸۱/۳۶۸	۲
۹۱/۹۹۷	۹۰/۲۲۶	۲۴	۲۹/۹۲۲	۲۳/۰۱۲	۳
۶۱/۸۹۳	۱۱۵/۷۱۳	۲۵	۶۶/۸۳۲	۳۰/۷۵۶	۴
۳۱/۹۵۰	۱۸/۰۹۸	۲۶	۵۶/۷۹۴	۵۸/۷۴۶	۵
۳۹/۵۹۲	۷۴/۸۷۴	۲۷	۲۲/۱۰۶	۲۲/۲۷۶	۶
۹/۵۱۸	۶۳/۹۰۸	۲۸	۳۳/۵۵۲	۴۴/۹۳۵	۷
۸۰/۳۳۸	۳۲/۶۹	۲۹	۶۱/۱۰۳	۴۶/۸۸۵	۸
۷۱/۴۲۷	۸۵/۶۳۸	۳۰	۳۹/۶۹۹	۱۰۰/۴۴۸	۹
۳۸/۲۴۹	۴۶/۶۷۱	۳۱	۲۵/۵۳۵	۳۰/۸۹۱	۱۰
۸۳/۵۱۸	۲۴/۰۵۶	۳۲	۲۱/۷۵۷	۷۵/۷۱۸	۱۱
۳۲/۰۴۳	۲۰/۰۵۶۷	۳۳	۲۲/۶۳۷	۴۱/۱۲۳	۱۲
۲۶/۸۷۲	۹۲/۵۵۹	۳۴	۱۸۹/۱۷	۷۸/۲۴۱	۱۳
۴۳/۶۰۴	۴۵/۳۷۴	۳۵	۳۵/۹۲۸	۴۲/۸۱۱	۱۴
۶۱/۳۲۶	۵۶/۱۲۴	۳۶	۲۳/۲۲۰	۴۱/۹۹۳	۱۵
۴۵/۸۱۷	۷۰/۶۸۷	۳۷	۹۹/۳۸۴	۵۱/۴۱۱	۱۶
۷۰/۵۱۸	۷۲/۵۰۱	۳۸	۳۹/۲۰۹	۲۸/۰۰۲	۱۷
۲۸/۰۵۳	۶۷/۱۳۲	۳۹	۲۳/۲۳۱	۴۱/۹۸۶	۱۸
۸۲/۲۴۸	۲۰/۶۵۸	۴۰	۷۲/۴۴۰	۵۱/۱۸۶	۱۹
۱۲۲/۳۹	۱۵/۸۲۶	۴۱	۱۹/۵۷۹	۴۲/۶۷۵	۲۰
-	-	-	۲۵/۲۶۷	۳۵/۵۱۶	۲۱

#### ۴-۲-۲- داده‌های ماهانه

در قسمت برازش مدل‌های ماهانه، از آمار دبی ماهانه ۴۱ ساله از سال‌های ۱۳۴۷-۴۸ تا

۱۳۸۷-۸۸ ایستگاه هیدرومتری ایدنک استفاده گردید.

آمار ماهانه در جدول (۴-۲۱) آورده شده است. داده‌های ماهانه به نرم افزار SAMS ۲۰۰۷ معرفی

شدند و سری زمانی اولیه برای داده‌های دبی ماهانه ایستگاه ایدنک به صورت کلی در شکل (۴-۱۲)

قابل مشاهده است. از تکرار سری زمانی داده‌های ماهانه به صورت ماه به ماه در اینجا به این دلیل

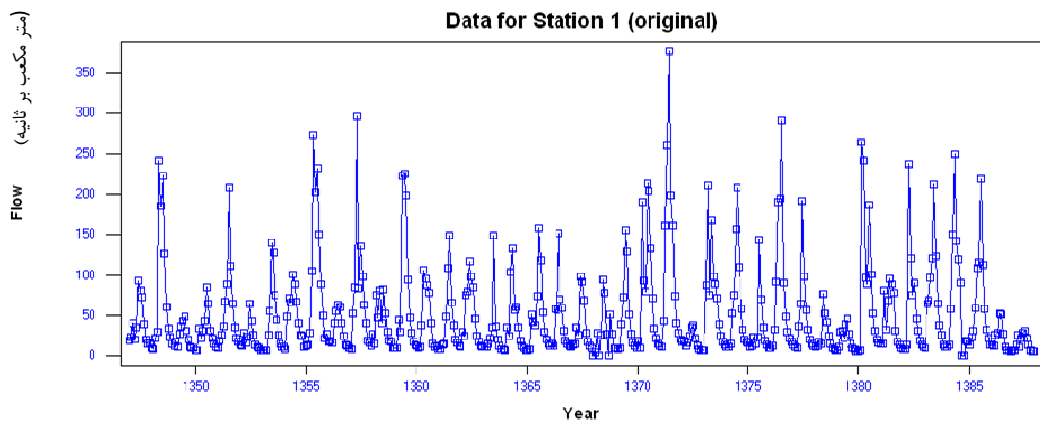
که در قسمت مقایسه سری‌های زمانی تاریخی و تولید شده ارائه شده‌اند، خودداری می‌کنیم.

جدول ۴-۱-۳-آمار دی ماهانه ایستگاه هیدرومتری ایندک واقع بر رودخانه مارون براي سال هاي آجي ۱۳۸۷-۸۸ تا ۱۳۴۷-۴۸ (متر مكعب بر ثابtie)

شهربر	مرداد	تير	خرداد	اسفند	بهمن	آذر	دي	آبان	مهر	سال آجي
۱۶۱۳۷۸	۱۴۱۳۴۸	۲۰۱۲۵۸	۳۸۱۸۰۹	۷۱۱۸۹۴	۸۰۱۰۴۴	۹۷۱۲۹۶	۴۰۱۳۱۶	۲۰۱۱۸۳	۴۰۱۳۱۳	۱۳۴۷-۴۸
۱۵۳۰۶	۲۲۱۲۸۴	۳۳۱۵۰۴	۳۸۱۸۵۸	۵۹۱۸۵۱	۱۲۵۸۵۸	۲۲۱۵۸۱	۲۴۱۱۳۳	۳۰۱۱۸۳	۲۲۱۱۶	۱۳۴۸-۴۹
۹۷۵۸	۱۰۱۰۲۴	۱۱۱۳۱۱	۲۰۱۳۴۸	۳۰۱۳۴۸	۲۰۱۳۴۸	۴۷۷۱۹	۳۶۱۵۲۲	۱۱۱۱۶	۱۶۹۹۴۷	۱۳۴۹-۵۰
۱۱۱۲۱۹	۱۱۱۲۱۹	۱۱۱۳۱۱	۱۰۱۰۲۴	۹۷۵۸	۹۷۵۸	۴۷۷۱۹	۳۰۱۳۴۸	۲۰۱۳۴۸	۱۱۱۱۶	۱۳۵۰-۵۱
۷۱۱۷۵۸	۱۱۱۲۱۹	۱۱۱۳۱۱	۱۰۱۰۲۴	۹۷۵۸	۹۷۵۸	۴۷۷۱۹	۳۰۱۳۴۸	۲۰۱۳۴۸	۱۶۹۹۴۷	۱۳۵۱-۵۲
۱۱۱۲۱۹	۱۱۱۲۱۹	۱۱۱۳۱۱	۱۰۱۰۲۴	۹۷۵۸	۹۷۵۸	۴۷۷۱۹	۳۰۱۳۴۸	۲۰۱۳۴۸	۱۶۹۹۴۷	۱۳۵۲-۵۳
۱۰۱۱۴۲	۱۱۱۲۱۹	۱۱۱۳۱۱	۱۰۱۰۲۴	۹۷۵۸	۹۷۵۸	۴۷۷۱۹	۳۰۱۳۴۸	۲۰۱۳۴۸	۱۶۹۹۴۷	۱۳۵۳-۵۴
۱۱۱۲۱۹	۱۱۱۲۱۹	۱۱۱۳۱۱	۱۰۱۰۲۴	۹۷۵۸	۹۷۵۸	۴۷۷۱۹	۳۰۱۳۴۸	۲۰۱۳۴۸	۱۶۹۹۴۷	۱۳۵۴-۵۵
۱۱۱۲۱۹	۱۱۱۲۱۹	۱۱۱۳۱۱	۱۰۱۰۲۴	۹۷۵۸	۹۷۵۸	۴۷۷۱۹	۳۰۱۳۴۸	۲۰۱۳۴۸	۱۶۹۹۴۷	۱۳۵۵-۵۶
۱۱۱۲۱۹	۱۱۱۲۱۹	۱۱۱۳۱۱	۱۰۱۰۲۴	۹۷۵۸	۹۷۵۸	۴۷۷۱۹	۳۰۱۳۴۸	۲۰۱۳۴۸	۱۶۹۹۴۷	۱۳۵۶-۵۷
۱۱۱۲۱۹	۱۱۱۲۱۹	۱۱۱۳۱۱	۱۰۱۰۲۴	۹۷۵۸	۹۷۵۸	۴۷۷۱۹	۳۰۱۳۴۸	۲۰۱۳۴۸	۱۶۹۹۴۷	۱۳۵۷-۵۸
۱۱۱۲۱۹	۱۱۱۲۱۹	۱۱۱۳۱۱	۱۰۱۰۲۴	۹۷۵۸	۹۷۵۸	۴۷۷۱۹	۳۰۱۳۴۸	۲۰۱۳۴۸	۱۶۹۹۴۷	۱۳۵۸-۵۹
۱۱۱۲۱۹	۱۱۱۲۱۹	۱۱۱۳۱۱	۱۰۱۰۲۴	۹۷۵۸	۹۷۵۸	۴۷۷۱۹	۳۰۱۳۴۸	۲۰۱۳۴۸	۱۶۹۹۴۷	۱۳۵۹-۶۰
۱۱۱۲۱۹	۱۱۱۲۱۹	۱۱۱۳۱۱	۱۰۱۰۲۴	۹۷۵۸	۹۷۵۸	۴۷۷۱۹	۳۰۱۳۴۸	۲۰۱۳۴۸	۱۶۹۹۴۷	۱۳۶۰-۶۱
۱۱۱۲۱۹	۱۱۱۲۱۹	۱۱۱۳۱۱	۱۰۱۰۲۴	۹۷۵۸	۹۷۵۸	۴۷۷۱۹	۳۰۱۳۴۸	۲۰۱۳۴۸	۱۶۹۹۴۷	۱۳۶۱-۶۲
۱۱۱۲۱۹	۱۱۱۲۱۹	۱۱۱۳۱۱	۱۰۱۰۲۴	۹۷۵۸	۹۷۵۸	۴۷۷۱۹	۳۰۱۳۴۸	۲۰۱۳۴۸	۱۶۹۹۴۷	۱۳۶۲-۶۳
۱۱۱۲۱۹	۱۱۱۲۱۹	۱۱۱۳۱۱	۱۰۱۰۲۴	۹۷۵۸	۹۷۵۸	۴۷۷۱۹	۳۰۱۳۴۸	۲۰۱۳۴۸	۱۶۹۹۴۷	۱۳۶۳-۶۴
۱۱۱۲۱۹	۱۱۱۲۱۹	۱۱۱۳۱۱	۱۰۱۰۲۴	۹۷۵۸	۹۷۵۸	۴۷۷۱۹	۳۰۱۳۴۸	۲۰۱۳۴۸	۱۶۹۹۴۷	۱۳۶۴-۶۵
۱۱۱۲۱۹	۱۱۱۲۱۹	۱۱۱۳۱۱	۱۰۱۰۲۴	۹۷۵۸	۹۷۵۸	۴۷۷۱۹	۳۰۱۳۴۸	۲۰۱۳۴۸	۱۶۹۹۴۷	۱۳۶۵-۶۶
۱۱۱۲۱۹	۱۱۱۲۱۹	۱۱۱۳۱۱	۱۰۱۰۲۴	۹۷۵۸	۹۷۵۸	۴۷۷۱۹	۳۰۱۳۴۸	۲۰۱۳۴۸	۱۶۹۹۴۷	۱۳۶۶-۶۷
۱۱۱۲۱۹	۱۱۱۲۱۹	۱۱۱۳۱۱	۱۰۱۰۲۴	۹۷۵۸	۹۷۵۸	۴۷۷۱۹	۳۰۱۳۴۸	۲۰۱۳۴۸	۱۶۹۹۴۷	۱۳۶۷-۶۸

ادامه جدول ۲۱-۴

سال آیی	محل	آبان	اذر	دی	بهمن	اسفند	فروردين	اردیبهشت	خرداد	تیر	مرداد	شهریور
۱۳۶۸-۶۹	•	۳/۵۵۵۲	۲۸/۹۳۳	۰/۶۸	۲۵/۷۴	۹۳/۵۵۳	۷۸/۰۲۹	۲۷/۵۵۸	۰	۵۱/۲۹	۳۷/۲۲۶	۹/۹۳۵
۱۳۶۹-۷۰	۹/۲۰۸	۸/۵۱۱	۹/۸۱۶	۳۸/۴۳۴	۷۲/۱۸	۱۲۸/۴۹	۵۱/۵۹۴	۲۷/۱۸۱	۱۶/۵۶۱	۱۲/۰۹۷	۹/۳۵۵	
۱۳۷۰-۷۱	۱۹/۴۱۱	۸/۹۱۸	۱۹/۰۶	۹۲/۲۵	۷۸/۸۱۷	۲۱۳/۹۸۷	۲۰۴/۰۳۲	۱۳۳/۱۹۴	۷۱/۰۰۶	۳۴/۲۷۷	۲۰/۹۷۱	۱۵/۱۸۷
۱۳۷۱-۷۲	۱۲/۷۰۳	۱۱/۲۵۷	۴۲/۳۷	۱۶۱/۳۵۷	۲۶۰/۱۴۳۳	۳۷/۱/۱۷۲	۱۹۷/۸۰۷	۱۶۱/۱۱۲۹	۷۴/۱۱۳۵	۴۰/۰۷۱	۲۸/۰۸۴	۲۰/۶۴۲
۱۳۷۲-۷۳	۱۷/۴۱	۱۸/۸۴۷	۱۲۶/۹۳	۱۵/۶۲۳	۲۲۳/۶۴۳	۳۴/۴۱۷	۳۷/۷۷۸	۲۲/۰۱۳	۱۲۲/۰۹	۸/۷۷۲	۷/۲۱۸	۶/۵۲۹
۱۳۷۳-۷۴	۶/۷۷۱	۸۶/۹۷۶	۲۱۱/۱۴۷	۱۶۷/۷۶۷	۷۵/۰۳۳	۹۸/۱۰۳	۸۹/۲۹	۷۰/۰۴۸	۳۸/۳۵۵	۲۴/۲۹	۱۷/۰۹۷	۱۳۱۲۹
۱۳۷۴-۷۵	۱۱/۴۱۷	۱۰/۱۷۲	۱۵/۱۲۳۳	۵۱/۱۷۸	۷۴/۱۱۳	۱۵۷/۴۲۸	۲۰/۸۷۱	۱۰۹/۶۲۳	۳۲/۶۱۴	۲۰/۰۴۹	۱۷/۲۸۱	
۱۳۷۵-۷۶	۱۶/۰۱۳	۱۰/۰۵۰	۱۲/۶۰۳	۲۳/۱۳۸	۱۵/۱۸	۲۳/۱۰۷	۱۴۳/۷۴۸	۷۰/۰۴۵	۳۵/۰۴۰	۱۹۱۳	۱۳۰۳۳	۹/۱۹۷
۱۳۷۶-۷۷	۸/۹۴۷	۱۱/۱۹۳۹	۳۲/۱۱۱	۹۱/۰۲۷	۱۹۱/۱۳۳	۱۹۴/۰۵۵۲	۲۹/۱۰۴۰	۸۹/۱۷۹	۴۸/۴۷۶	۲۹/۱۷۳۹	۲۱۱/۱۷۸	۱۴۹۹۵
۱۳۷۷-۷۸	۱۳/۰۵۶	۱۱/۱۲۵۱	۹/۸۱۱	۳۶/۴۴۱	۶۳/۸۱۷	۱۹۲/۱۱۷	۹۷/۱۰۱۹	۵۷/۰۰۳	۳۱۹/۰۶	۱۹۱۲۳	۱۴۷۵۲	۱۱۹۱۹
۱۳۷۸-۷۹	۱۰/۰۳۹	۱۲/۴۱۸	۱۷/۰۴۷	۱۵/۱۸۳	۷۵/۰۹۳۷	۵۲/۰۲۱	۴۱/۰۴۹	۲۴/۰۷۷	۱۴۷/۸۱	۱۰/۰۴۲	۷/۹۱۱	۹۰۸۸۷
۱۳۷۹-۸۰	۶/۱۷۴۱	۱۰/۱۱۴	۲۹/۰۷۳	۳۰/۰۷۹۳	۲۳/۰۴۳	۳۹/۱۴	۴۰/۰۲۰۶	۲۶/۰۷۲۹	۱۴۰۸۳	۹/۱۱۴	۷/۰۰۷	۵/۱۰۱
۱۳۸۰-۸۱	۵/۱۷۴۲	۶/۹۱۰	۲۶۴/۱۱۳۶	۲۴۰/۰۹۸۷	۹۶/۱۸۸	۸۸/۱۶۹	۱۰۱۱۱۲	۵۲/۰۹۹	۳۰۰۰۰۳	۱۹۱۹۸۴	۱۵۰۰۰۳	
۱۳۸۱-۸۲	۱۵/۱	۱۴/۰۷۳	۸۰/۰۲۱۳	۳۷/۰۵۷	۶۷/۱۸۸۳	۶۵/۳۴۹	۸۷/۰۴۲۹	۷۷/۱۱	۳۱۰۱	۱۷/۷۱	۱۳۴	۹/۱۱۵
۱۳۸۲-۸۳	۸/۰۱	۷/۷۷۹۷	۱۳/۰۶۹	۲۳۷/۰۷۷	۱۲۰/۹۴۷	۷۵/۰۵۴۸	۸۹/۰۴۱	۴۶/۰۱۷	۳۱۳۱۶	۱۸۷۴۸	۱۳۱۹۲۳	۱۰/۷۶۹
۱۳۸۳-۸۴	۹/۰۸۵	۶۴/۰۵۲۱	۶۹/۱۱۳۷	۹۷/۰۲۷	۱۲۰/۰۴۷	۲۱۱/۱۸۵	۱۲۳/۰۷۰۳	۶۳۷/۹۶۸	۳۷/۰۴۵	۲۵۰۱۹	۱۳۹۸۸	۱۱۲۳
۱۳۸۴-۸۵	۱۰/۰۸۶	۱۴/۰۱۷	۱۴/۰۱۹	۲۵۰/۰۲۳	۱۴۷/۰۲۰	۱۱۹/۲۱۳	۸۹/۰۷۸	۸۹/۰۷۸	۰	۰	۱۹۱۹۵۷	۱۷۸۲
۱۳۸۵-۸۶	۱۳/۰۷۸	۲۲/۰۵۳	۳۰/۰۴۹	۱۰/۰۸۱۲	۱۱۵/۰۴۱	۱۱۳/۰۱۶	۵۷/۰۳۹	۵۷/۰۴۹	۲۱۰۱	۲۱۱۰۷۷	۳۲۷۸۱	۱۲۱۰۰
۱۳۸۶-۸۷	۱۳/۰۷۸	۲۲/۰۵۳	۳۰/۰۴۹	۱۰/۰۸۱۲	۱۱۵/۰۴۱	۱۱۳/۰۱۶	۵۷/۰۳۹	۵۷/۰۴۹	۲۱۰۱	۲۱۱۰۷۷	۳۲۷۸۱	۱۲۱۰۰
۱۳۸۷-۸۸	۱۳/۰۷۸	۲۲/۰۵۳	۳۰/۰۴۹	۱۰/۰۸۱۲	۱۱۵/۰۴۱	۱۱۳/۰۱۶	۵۷/۰۳۹	۵۷/۰۴۹	۲۱۰۱	۲۱۱۰۷۷	۳۲۷۸۱	۱۲۱۰۰
۱۳۸۸-۸۹	۱۳/۰۷۸	۲۲/۰۵۳	۳۰/۰۴۹	۱۰/۰۸۱۲	۱۱۵/۰۴۱	۱۱۳/۰۱۶	۵۷/۰۳۹	۵۷/۰۴۹	۲۱۰۱	۲۱۱۰۷۷	۳۲۷۸۱	۱۲۱۰۰
۱۳۸۹-۹۰	۱۳/۰۷۸	۲۲/۰۵۳	۳۰/۰۴۹	۱۰/۰۸۱۲	۱۱۵/۰۴۱	۱۱۳/۰۱۶	۵۷/۰۳۹	۵۷/۰۴۹	۲۱۰۱	۲۱۱۰۷۷	۳۲۷۸۱	۱۲۱۰۰
۱۳۹۰-۹۱	۱۳/۰۷۸	۲۲/۰۵۳	۳۰/۰۴۹	۱۰/۰۸۱۲	۱۱۵/۰۴۱	۱۱۳/۰۱۶	۵۷/۰۳۹	۵۷/۰۴۹	۲۱۰۱	۲۱۱۰۷۷	۳۲۷۸۱	۱۲۱۰۰
۱۳۹۱-۹۲	۱۳/۰۷۸	۲۲/۰۵۳	۳۰/۰۴۹	۱۰/۰۸۱۲	۱۱۵/۰۴۱	۱۱۳/۰۱۶	۵۷/۰۳۹	۵۷/۰۴۹	۲۱۰۱	۲۱۱۰۷۷	۳۲۷۸۱	۱۲۱۰۰



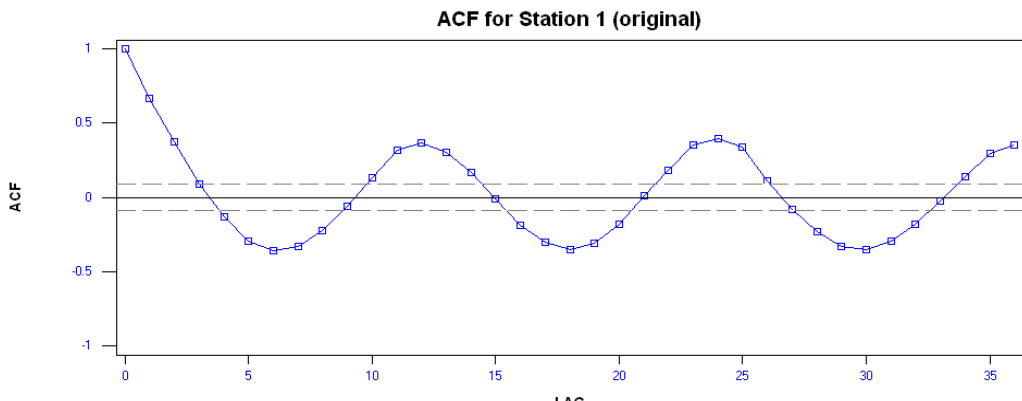
شکل ۱۲-۴- سری زمانی ماهانه دبی ایستگاه هیدرومتری ایدنک واقع بر رودخانه مارون برای سال‌های آبی ۴۸-۱۳۸۷-۸۸ تا ۱۳۴۷

مقادیر تابع خود همبستگی سری کلی ماهانه در جدول (۲۲-۴) و شکل (۱۳-۴) آورده شده‌اند.

این تابع برای داده‌های ماهانه تغییرات متناوب و دوره‌ای را نشان می‌دهد و دلیل آن این است که تابع خود همبستگی قبل از برطرف کردن میانگین و انحراف معیار پریودیک از سری اولیه محاسبه و رسم شده است.

جدول ۲۲-۴- تابع خود همبستگی سری ماهانه داده‌های ایستگاه هیدرومتری ایدنک

ACF	X	ACF	X
-0/3083	۱۹	۱	.
-0/1796	۲۰	0/6616	۱
0/0123	۲۱	0/3706	۲
0/1783	۲۲	0/0862	۳
0/3491	۲۳	-0/1338	۴
0/3972	۲۴	-0/292	۵
0/3367	۲۵	-0/3559	۶
0/1132	۲۶	-0/3297	۷
-0/0832	۲۷	-0/2256	۸
-0/2299	۲۸	-0/0611	۹
-0/3324	۲۹	0/1292	۱۰
-0/3527	۳۰	0/3164	۱۱
-0/2946	۳۱	0/3684	۱۲
-0/1821	۳۲	0/2991	۱۳
-0/0236	۳۳	0/1674	۱۴
0/1415	۳۴	-0/0135	۱۵
0/2941	۳۵	-0/1893	۱۶
0/3495	۳۶	-0/3025	۱۷
-	-	-0/3511	۱۸



شکل ۱۳-۴-تابع خود همبستگی سری کلی ماهانه داده‌های ایستگاه هیدرومتری ایدنک

همچنین مقادیر توابع خود همبستگی سری ماهانه به صورت ماه به ماه که توسط SMAS ۲۰۰۷

محاسبه شده‌اند و در جدول (۲۳-۴) و شکل‌های (۱۴-۴) تا (۲۵-۴) آورده شده‌اند.

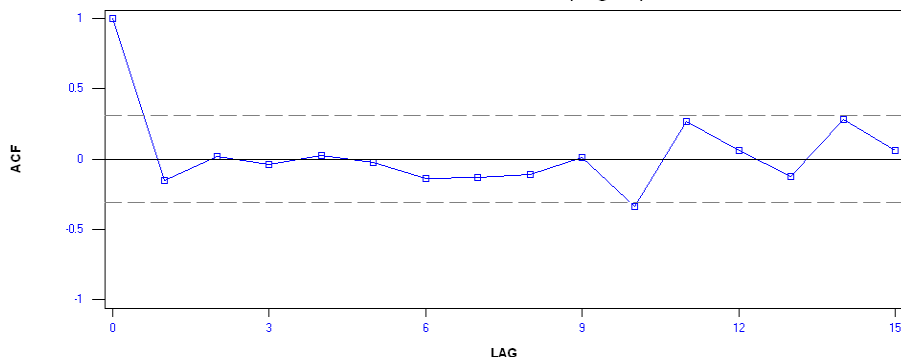
جدول ۱۴-۲۳-۲۳- توابع خود همبستگی سری ماهانه به صورت ماه به ماه

X	ACF(مهر)	ACF(آبان)	ACF(آذر)	ACF(دی)	ACF(بهمن)	ACF(اسفند)
۱	۱	۱	۱	۱	-۰/۰۱۴۴۴	-۰/۰۱۲۲
۲	۰/۰۱۷۷	-۰/۰۰۶۴	-۰/۰۱۴۷	-۰/۰۴۲۸	-۰/۰۲۹۷	-۰/۰۰۲۷
۳	-۰/۰۳۸۷	-۰/۰۱۹۷۰	-۰/۰۱۹۷۰	-۰/۰۸۴۵	-۰/۰۷۵۸	-۰/۰۰۷۵۸
۴	-۰/۰۲۲۷	-۰/۰۱۷۶۵	-۰/۰۱۳۸۵	-۰/۰۹۶۸	-۰/۰۱۷۲۵	-۰/۰۰۶۴۱
۵	-۰/۰۲۴۴	-۰/۰۰۷۶۹	-۰/۰۱۲۹۷	-۰/۰۱۵۵۸	-۰/۰۰۴۵	-۰/۰۰۰۲۷
۶	-۰/۰۱۴۰۲	-۰/۰۰۶۶۳	-۰/۰۱۵۷۴	-۰/۰۱۱۴۳	-۰/۰۲۰۱۸	-۰/۰۶۴۵
۷	-۰/۰۱۳۱۱	-۰/۰۰۴۱۳۳	-۰/۰۱۹۵۳	-۰/۰۰۳۰۷	-۰/۰۱۷۱۶	-۰/۰۸۴۵
۸	-۰/۰۱۱۱۷	-۰/۰۰۸۶۶	-۰/۰۰۷۹	-۰/۰۱۴۷۳	-۰/۰۲۵۷	-۰/۰۲۱۹۳
۹	-۰/۰۰۷۵	-۰/۰۰۳۶۹	-۰/۰۱۱۴۳	-۰/۰۱۴۸۶	-۰/۰۱۰۱۲	-۰/۰۰۷۴۹
۱۰	-۰/۰۳۳۹۸	-۰/۰۰۱۹۹	-۰/۰۲۶۲۳	-۰/۰۱۰۱۳	-۰/۰۱۶۰۶	-۰/۰۱۴۷۲
۱۱	-۰/۰۲۶۷۳	-۰/۰۰۶۷۶	-۰/۰۰۳۵۲	-۰/۰۱۹۹	-۰/۰۱۷۵۹	-۰/۰۱۵۶
۱۲	-۰/۰۰۶۲۴	-۰/۰۰۵۹۴	-۰/۰۰۴۴۶	-۰/۰۰۲۰۵	-۰/۰۱۲۱۹	-۰/۰۲۲۸۲
۱۳	-۰/۰۱۲۲۸	-۰/۰۰۱۰۱	-۰/۰۰۲۵۳	-۰/۰۰۵۶۳	-۰/۰۱۵۱	-۰/۰۰۸۳۸
۱۴	-۰/۰۲۸۲۳	-۰/۰۰۱۳۰۷	-۰/۰۰۱۳۰۷	-۰/۰۰۵۰۲	-۰/۰۹۳۵	-۰/۰۱۵۱۶
۱۵	-۰/۰۰۵۹۷	-۰/۰۰۱۱۳	-۰/۰۰۱۱۳	-۰/۰۱۲۰۸	-۰/۰۱۲۹۶	-۰/۰۰۴۸

ادامه جدول ۲۳-۴

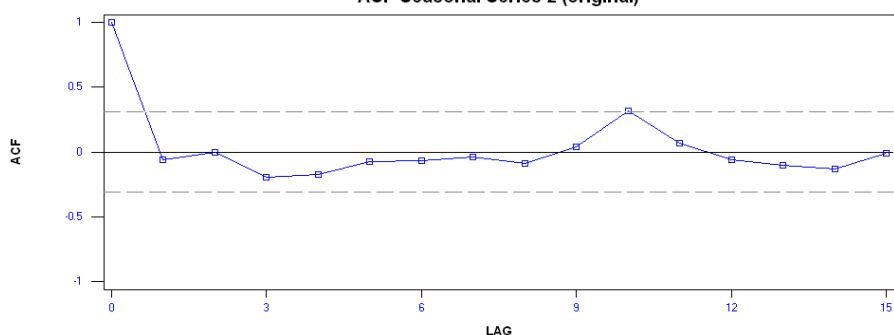
ACF(شهریور)	ACF(مرداد)	ACF(تیر)	ACF(خرداد)	ACF(اردیبهشت)	ACF(فروردین)	X
۱	۱	۱	۱	۱	۱	.
-۰/۰۹۵۹	-۰/۱۱۴۳	-۰/۲۲۲۰	-۰/۱۲۱۵	-۰/۰۹۳۲	-۰/۲۰۳۶	۱
-۰/۲۱۷۵	-۰/۲۸۸۸	-۰/۰۹۵	-۰/۱۴۲۵	-۰/۳۲۶۹	-۰/۱۱۵۳	۲
-۰/۰۹۸۳	۰/۳۲۹۲	۰/۲۹۲۷	-۰/۰۳۹۸	-۰/۰۸۶۱	-۰/۲۱۳۶	۳
۰/۲۰۴۵	-۰/۱۰۶۰	-۰/۱۲۷۰	۰/۱۲۲۱	۰/۱۵۱۷	-۰/۱۲۴۳	۴
-۰/۰۷۵۰	-۰/۰۷۹۰	-۰/۰۱۴۳	۰/۱۱۸۲	۰/۱۰۶۴	۰/۰۴۰۱	۵
۰/۰۲۴۷	۰/۰۸۴۵	۰/۱۲۲۰	۰/۰۱۳	-۰/۰۴۱۶	۰/۰۸۲۰	۶
-۰/۰۸۳۷	-۰/۱۳۷۷	-۰/۰۵۵۲	-۰/۰۷۱۹	-۰/۱۲۷۲	-۰/۱۱۹۲	۷
-۰/۰۰۸۷	-۰/۰۰۳۷	-۰/۱۱۰۶	-۰/۱۵۸۶	-۰/۱۶۲۷	-۰/۰۳۶۹	۸
۰/۰۰۴۱	۰/۰۸۶۴	۰/۰۹۳۶	۰/۰۶۳۹	۰/۰۸۷۷	۰/۰۵۹۰	۹
۰/۰۵۸۰	-۰/۱۴۹۸	-۰/۱۸۵۵	۰/۰۲۱۸	۰/۱۱۴۷	-۰/۰۳۴۶	۱۰
۰/۰۳۹۳	۰/۰۰۶۵	-۰/۰۷۹۱	۰/۰۹۰۴	۰/۰۹۸۱	۰/۰۲۹۸	۱۱
-۰/۱۰۸۵	-۰/۰۳۴۶	۰/۰۵۷۱	۰/۰۰۱۳	-۰/۰۷۶۹	-۰/۱۱۳۹	۱۲
-۰/۱۶۵۱	-۰/۱۵۸۹	-۰/۱۱۴۵	-۰/۳۶۳۸	-۰/۲۷۵۵	-۰/۱۳۲۷	۱۳
۰/۰۹۰۸	۰/۲۲۸۲	۰/۰۱۸۴	۰/۰۶۱۴	۰/۲۰۵۵	۰/۰۷۰۳	۱۴
۰/۱۰۹۴	۰/۰۵۴۹	۰/۱۹۲۲	۰/۱۵۶۹	۰/۱۱۲۷	۰/۲۲۰۹	۱۵

ACF Seasonal Series 1 (original)

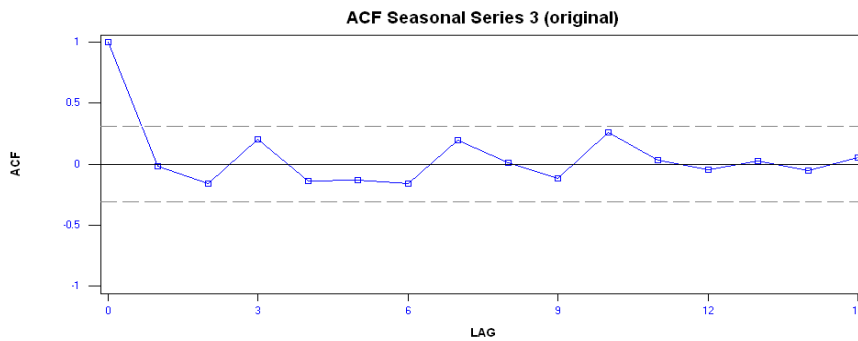


شکل ۴-۱۴- تابع خود همبستگی مهر ماههای ایستگاه هیدرومتری ایدنک با استفاده از نرم افزار SAMS ۲۰۰۷

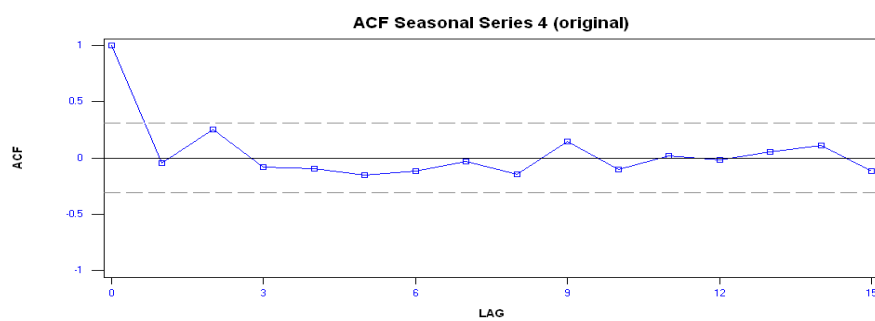
ACF Seasonal Series 2 (original)



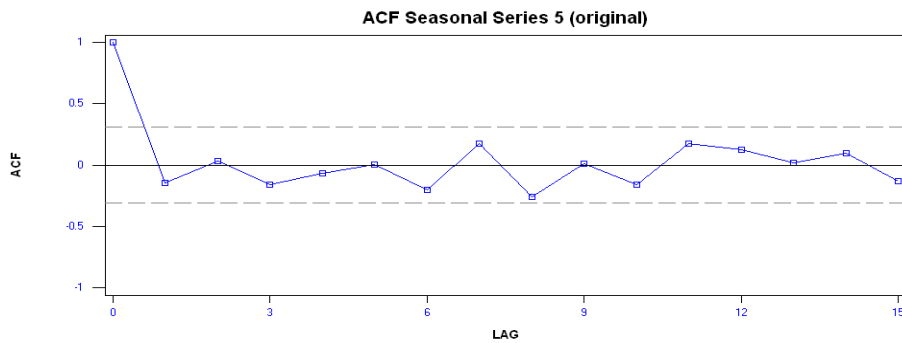
شکل ۴-۱۵- تابع خود همبستگی آبان ماههای ایستگاه هیدرومتری ایدنک با استفاده از نرم افزار SAMS ۲۰۰۷



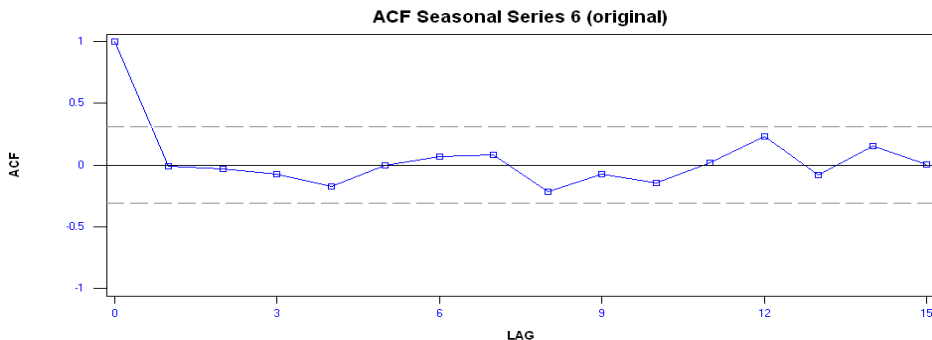
شکل ۴-۱۶- تابع خود همبستگی آذر ماههای ایستگاه هیدرومتری ایدنک با استفاده از نرم افزار SAMS ۲۰۰۷



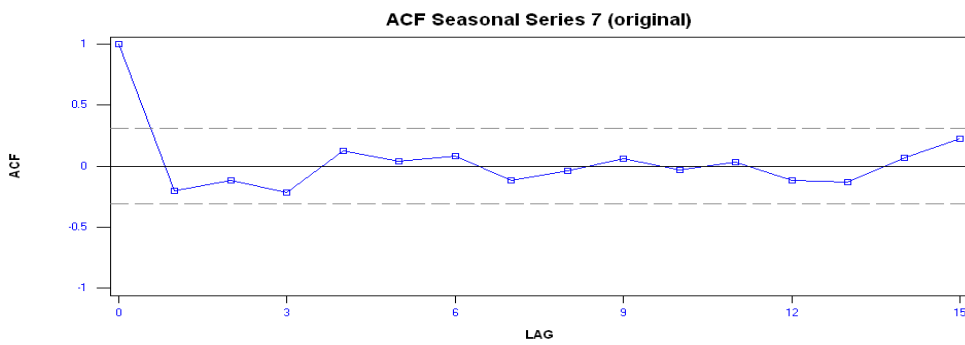
شکل ۴-۱۷- تابع خود همبستگی دی ماههای ایستگاه هیدرومتری ایدنک با استفاده از نرم افزار SAMS ۲۰۰۷



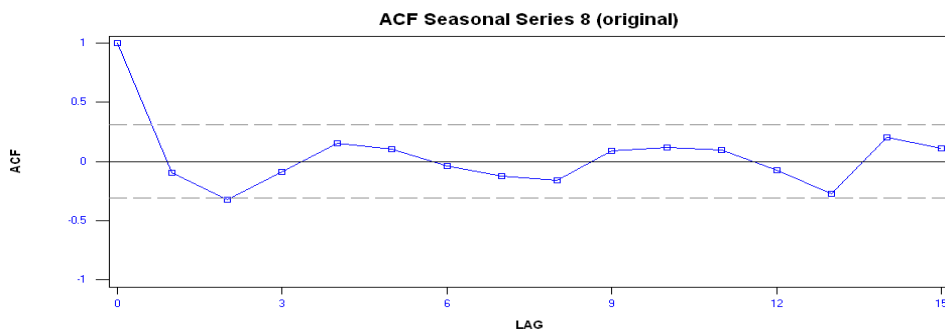
شکل ۴-۱۸- تابع خود همبستگی بهمن ماههای ایستگاه هیدرومتری ایدنک با استفاده از نرم افزار SAMS ۲۰۰۷



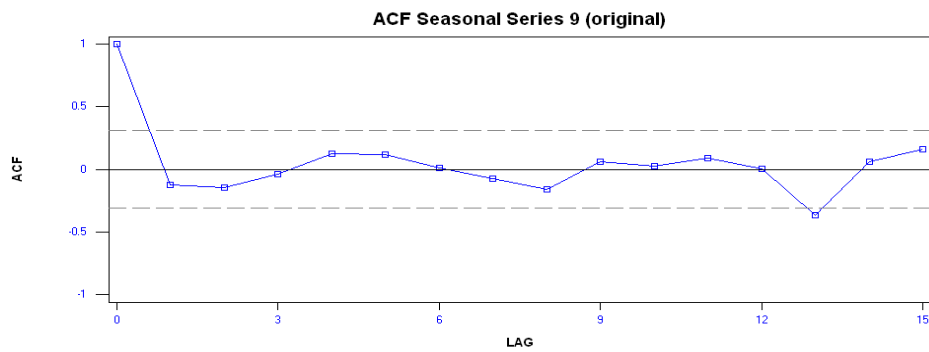
شکل ۴-۱۹- تابع خود همبستگی اسفند ماههای ایستگاه هیدرومتری ایدنک با استفاده از نرم افزار SAMS ۲۰۰۷



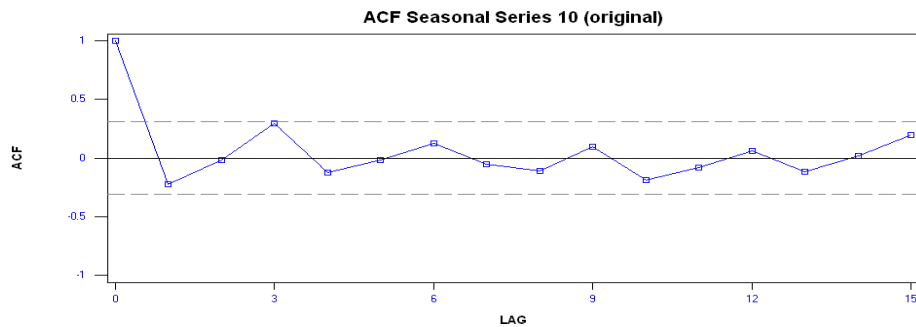
شکل ۲۰-۴-تابع خود همبستگی فروردین ماههای ایستگاه هیدرومتری ایدنک با استفاده از نرم افزار SAMS ۲۰۰۷



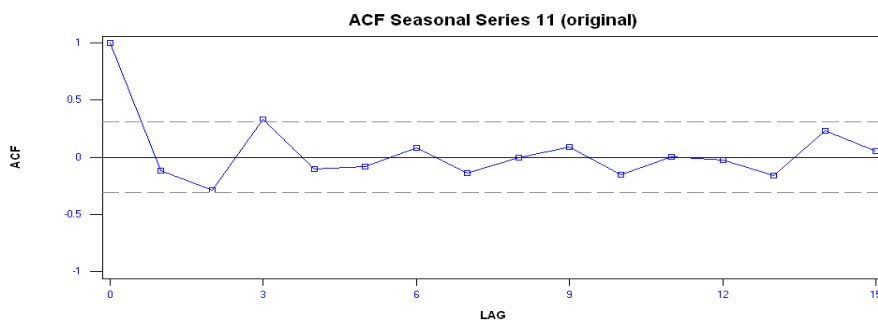
شکل ۲۱-۴-تابع خود همبستگی اردیبهشت ماههای ایستگاه هیدرومتری ایدنک با استفاده از نرم افزار SAMS ۲۰۰۷



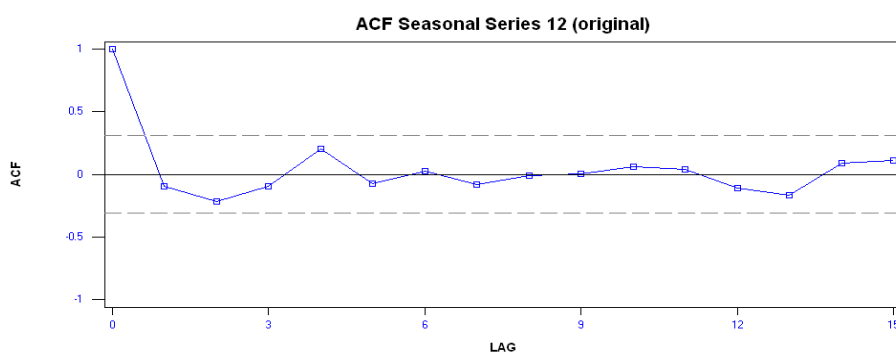
شکل ۲۲-۴-تابع خود همبستگی خرداد ماههای ایستگاه هیدرومتری ایدنک با استفاده از نرم افزار SAMS ۲۰۰۷



شکل ۴-۲۳- تابع خود همبستگی تیر ماههای ایستگاه هیدرومتری ایدنک با استفاده از نرم افزار SAMS ۲۰۰۷

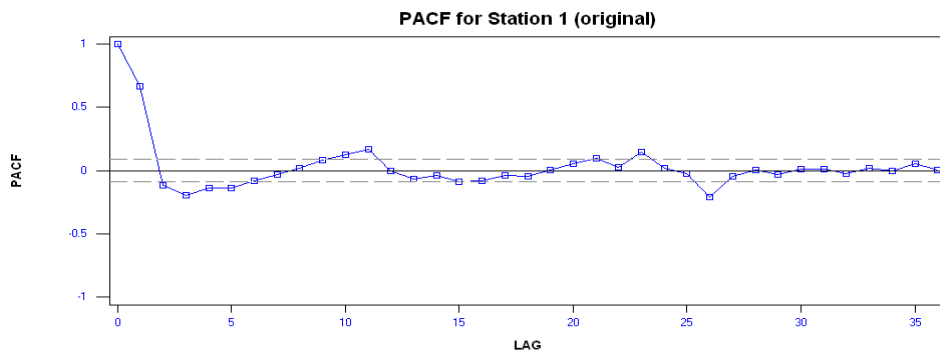


شکل ۴-۲۴- تابع خود همبستگی مرداد ماههای ایستگاه هیدرومتری ایدنک با استفاده از نرم افزار SAMS ۲۰۰۷



شکل ۴-۲۵- تابع خود همبستگی شهریور ماههای ایستگاه هیدرومتری ایدنک با استفاده از نرم افزار SAMS ۲۰۰۷

مقادیر تابع خود همبستگی جزئی سری کلی ماهانه در جدول (۲۴-۴) و شکل (۲۶-۴) آورده شده است. این تابع نیز همانند تابع خود همبستگی برای داده‌های ماهانه تغییرات متناوب و دوره‌ای نشان می‌دهد و علت این می‌باشد که تابع خود همبستگی جزئی نیز قبل از برطرف کردن میانگین و انحراف معیار پریودیک از سری اولیه محاسبه و رسم شده است.



شکل ۴-۲۶-تابع خود همبستگی جزئی سری کلی ماهانه داده‌های ایستگاه هیدرومتری ایدنک

جدول ۴-۲۶-تابع خود همبستگی جزئی سری کلی ماهانه داده‌های ایستگاه هیدرومتری ایدنک

PACF	X	PACF	X
-0/0.016	۱۹	1	.
-0/0.535	۲۰	-0/5624	۱
-0/0.979	۲۱	-0/1189	۲
-0/0.222	۲۲	-0/1976	۳
-0/1437	۲۳	-0/1406	۴
-0/0.212	۲۴	-0/1411	۵
-0/0.262	۲۵	-0/0.815	۶
-0/2117	۲۶	-0/0.311	۷
-0/0.441	۲۷	-0/0.181	۸
-0/0.29	۲۸	-0/0.805	۹
-0/0.338	۲۹	-0/1219	۱۰
-0/0.107	۳۰	-0/1682	۱۱
-0/0.110	۳۱	-0/0.041	۱۲
-0/0.277	۳۲	-0/0.664	۱۳
-0/0.191	۳۳	-0/0.369	۱۴
-0/0.035	۳۴	-0/0.881	۱۵
-0/0.513	۳۵	-0/0.825	۱۶
-0/0.17	۳۶	-0/0.391	۱۷
-	-	-0/0.455	۱۸

همچنین مقادیر توابع خود همبستگی جزئی سری ماهانه به صورت ماه به ماه که توسط SMAS

۲۰۰۷ محاسبه شده‌اند و در جدول (۲۵-۴) و شکل‌های (۲۷-۴) تا (۳۸-۴) قابل مشاهده هستند.

جدول ۲۵-۴-تابع خود همبستگی جزئی ماهانه به صورت ماه به ماه

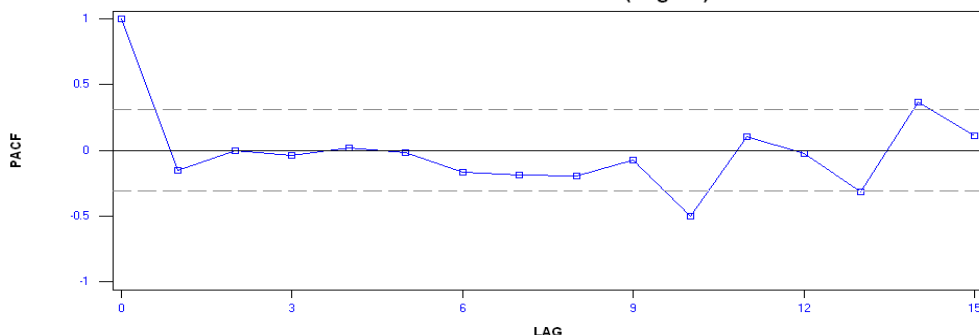
PACF(اسفند)	PACF(بهمن)	PACF(دی)	PACF(آذر)	PACF(آبان)	PACF(مهر)	X
1	1	1	1	1	1	.
-0/0.126	-0/1477	-0/0.435	-0/0.147	-0/0.613	-0/1549	۱
-0/0.316	0/0.139	0/2557	-0/1577	-0/0.100	-0/0.24	۲
-0/0.810	-0/1639	-0/0.657	0/1991	-0/1999	-0/0.37	۳
-0/1884	-0/1312	-0/1938	-0/1729	-0/2106	0/186	۴
-0/0.222	-0/0.128	-0/1657	-0/0.666	-0/1633	-0/0.191	۵

-0/0578	-0/12889	-0/1295	-0/12745	-0/1947	-0/1694	6
-0/0797	-0/0915	-0/0007	-0/2832	-0/2311	-0/1855	7
-0/2807	-0/3105	-0/3195	-0/1096	-0/353	-0/1965	8
-0/1087	-0/1814	-0/1228	-0/0445	-0/2962	-0/0765	9
-0/2055	-0/3202	-0/1657	-0/1892	-0/1363	-0/05014	10
-0/0319	-0/0618	-0/0840	-0/3368	-0/061	-0/1025	11
-0/2010	-0/0449	-0/0127	-0/0497	-0/1809	-0/0245	12
-0/1662	-0/0891	-0/1707	-0/0310	-0/1638	-0/3195	13
-0/2653	-0/0651	-0/1463	-0/05142	-0/1864	-0/3694	14
-0/0261	-0/0340	-0/3909	-0/7535	-0/05780	-0/1112	15

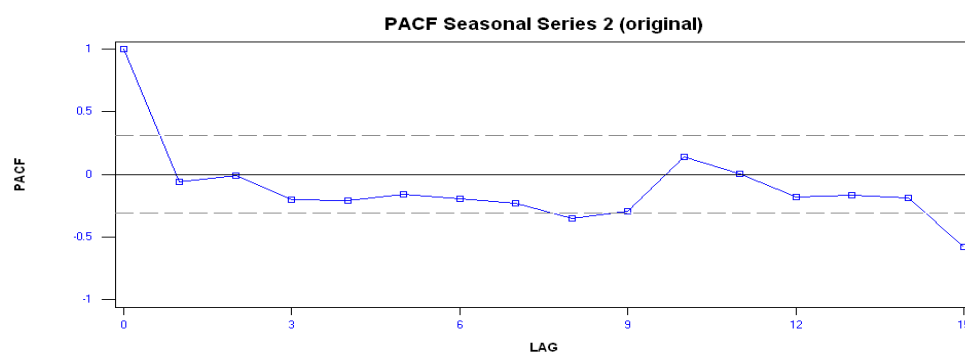
ادامه جدول ۲۵-۴

PACF(شهریور)	PACF(مرداد)	PACF(تیر)	PACF(خرداد)	PACF(اردیبهشت)	PACF(فروردین)	X
1	1	1	1	1	1	*
-0/1013	-0/125	-0/2327	-0/1255	-0/0975	-0/2131	1
-0/2658	-0/3902	-0/0974	-0/1838	-0/3931	-0/1941	2
-0/2042	-0/3274	-0/334	-0/0913	-0/2170	-0/3371	3
-0/1408	-0/1560	-0/0212	-0/0918	-0/036	-0/0254	4
-0/0964	-0/1227	-0/0405	-0/1462	-0/0505	-0/0032	5
-0/0777	-0/1343	-0/0598	-0/0912	-0/0400	-0/0354	6
-0/0805	-0/1511	-0/0163	-0/0059	-0/0666	-0/0379	7
-0/0654	-0/0365	-0/1422	-0/2242	-0/2432	-0/0932	8
-0/0853	-0/0283	-0/0791	-0/0466	-0/1171	-0/0159	9
-0/0739	-0/1982	-0/2402	-0/141	-0/1617	-0/2189	10
-0/0347	-0/1498	-0/1111	-0/1394	-0/0597	-0/0238	11
-0/1826	-0/2928	-0/0137	-0/1252	-0/06868	-0/3181	12
-0/3185	-0/3188	-0/0743	-0/0509	-0/03326	-0/4161	13
-0/1303	-0/4502	-0/0837	-0/0509	-0/2642	-0/0086	14
-0/1117	-0/1341	-0/3581	-0/1181	-0/03055	-0/6710	15

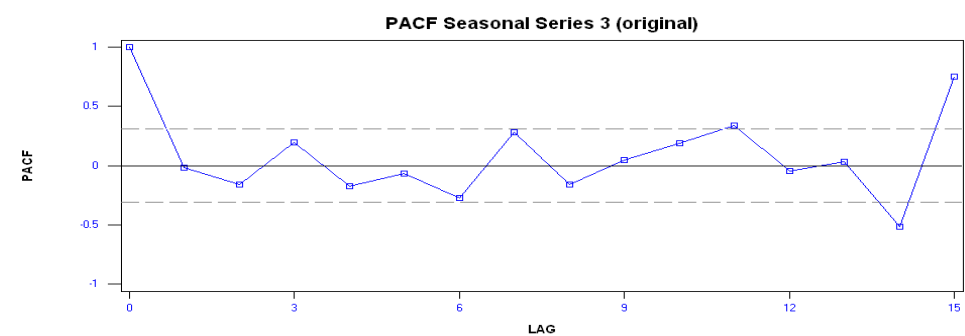
PACF Seasonal Series 1 (original)



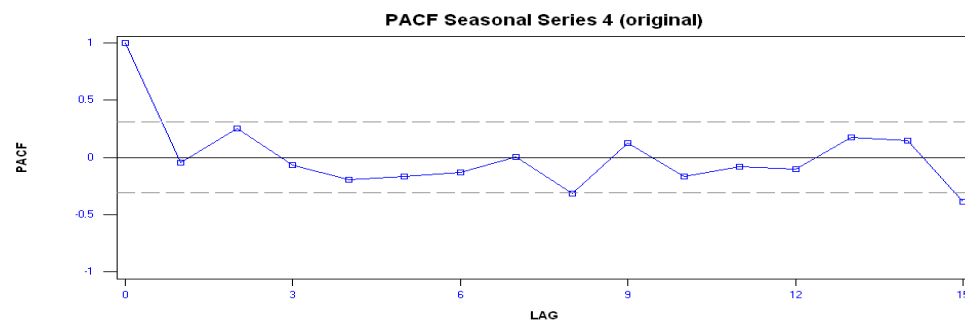
شکل ۲۷-۴-تابع خود همبستگی جزئی مهر ماههای ایستگاه هیدرومتری ایدنک با استفاده از نرم افزار SAMS ۲۰۰۷



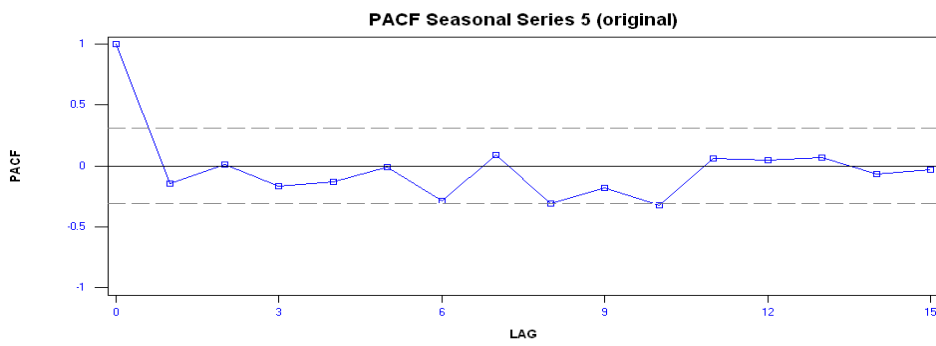
شکل ۲۸-۴-تابع خود همبستگی جزئی آبان ماههای ایستگاه هیدرومتری ایدنک با استفاده از نرم افزار SAMS ۲۰۰۷



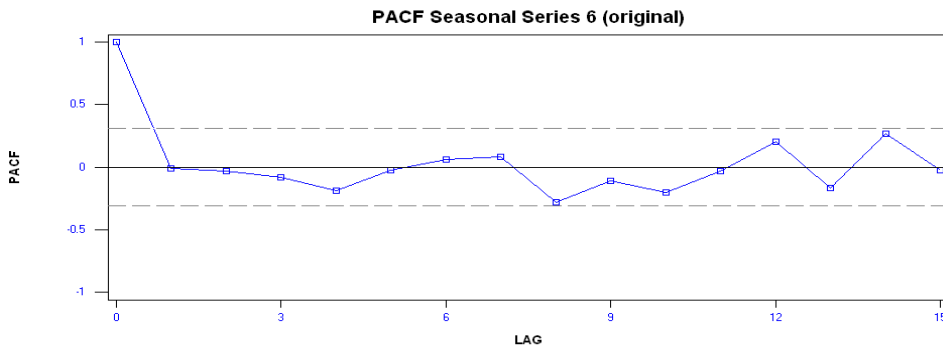
شکل ۲۹-۴-تابع خود همبستگی جزئی آذر ماههای ایستگاه هیدرومتری ایدنک با استفاده از نرم افزار SAMS ۲۰۰۷



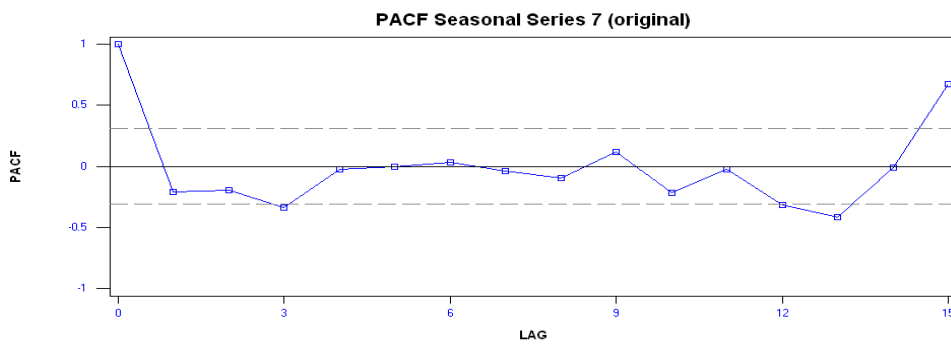
شکل ۴-۳۰- تابع خود همبستگی جزئی دی ماههای ایستگاه هیدرومتری ایدنک با استفاده از نرم افزار SAMS ۲۰۰۷



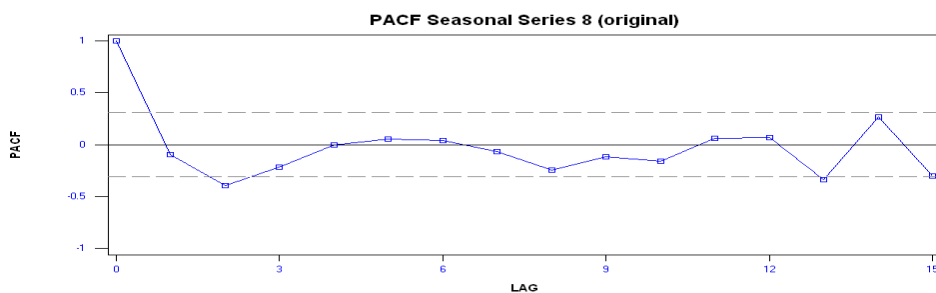
شکل ۴-۳۱- تابع خود همبستگی جزئی بهمن ماههای ایستگاه هیدرومتری ایدنک با استفاده از نرم افزار SAMS ۲۰۰۷



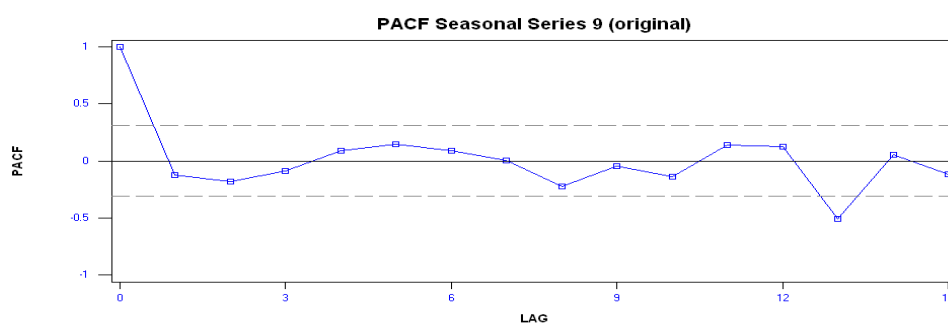
شکل ۴-۳۲- تابع خود همبستگی جزئی اسفند ماههای ایستگاه هیدرومتری ایدنک با استفاده از نرم افزار SAMS ۲۰۰۷



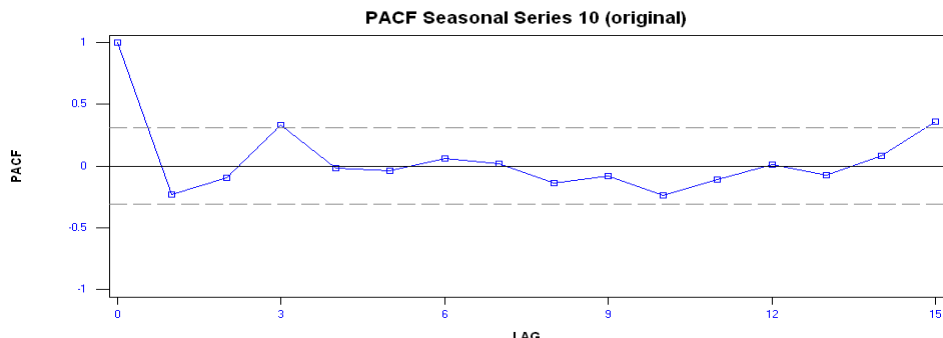
شکل ۴-۳۳-۴-تابع خود همبستگی جزئی فروردین ماههای ایستگاه هیدرومتری ایدنک با استفاده از نرم افزار  
SAMS ۲۰۰۷



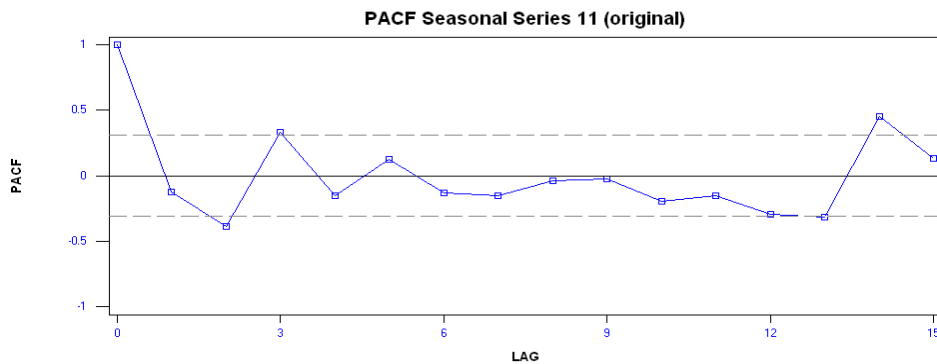
شکل ۴-۳۴-۴-تابع خود همبستگی جزئی اردیبهشت ماههای ایستگاه هیدرومتری ایدنک با استفاده از نرم افزار  
SAMS ۲۰۰۷



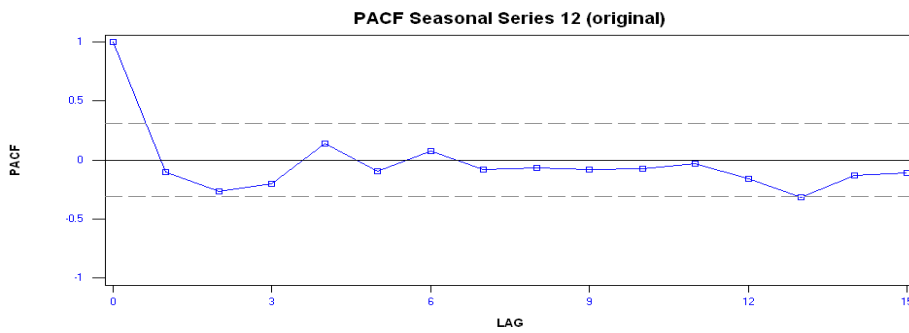
شکل ۴-۳۵-۴-تابع خود همبستگی جزئی خرداد ماههای ایستگاه هیدرومتری ایدنک با استفاده از نرم افزار  
SAMS ۲۰۰۷



شکل ۴-۳۶-۴-تابع خود همبستگی جزئی تیر ماههای ایستگاه هیدرومتری ایدنک با استفاده از نرم افزار  
SAMS ۲۰۰۷



شکل ۴-۳۷- تابع خود همبستگی جزئی مرداد ماههای ایستگاه هیدرومتری ایدنک با استفاده از نرم افزار SAMS ۲۰۰۱



شکل ۴-۳۸- تابع خود همبستگی جزئی شهریور ماههای ایستگاه هیدرومتری ایدنک با استفاده از نرم افزار SAMS ۲۰۰۱

خصوصیات آماری پایه سری زمانی ماهانه ایستگاه هیدرومتری ایدنک در جدول (۲۶-۴) قابل مشاهده است.

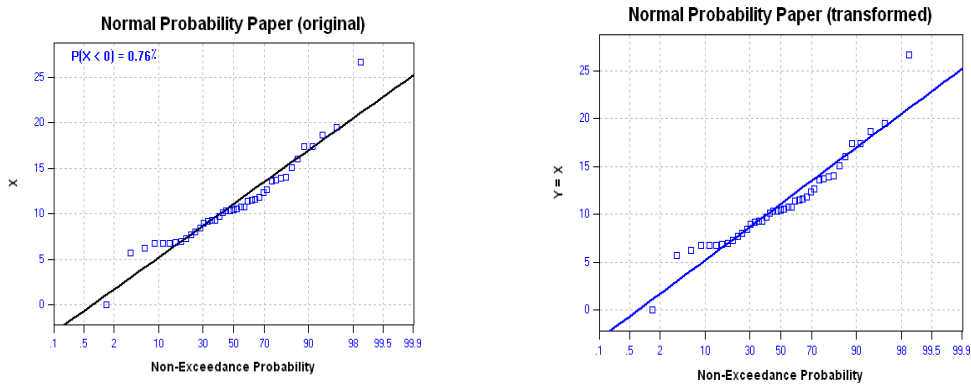
جدول ۲۶-۴- خصوصیات آماری پایه سری زمانی دبی ماهانه ایستگاه ایدنک

تابع خود همبستگی (acf(۲))	تابع خود همبستگی (acf(۱))	حداکثر	حداقل	ضریب چولگی (SKW)	ضریب تغییرات (CV)	انحراف معیار	میانگین	ماه
-۰/۰۱۷۸	-۰/۱۵۰۷	۲۶/۶۸	۳/۶۷۱	۰/۸۶۸	۰/۴۱۱	۴/۵۶۷	۱۱/۰۹	مهر
-۰/۰۰۶۴	-۰/۰۶۱۳	۸۶/۶۸	۳/۵۵۲	۲/۸۹۱	۰/۹۳۲	۱۵/۹۴	۱۷/۱	آبان
-۰/۱۵۶۶	-۰/۰۱۴۷	۲۶۴/۸	۷/۴۵	۲/۷۴۸	۱/۲۳۴	۵۴/۴۵	۴۴/۱	آذر
۰/۲۵۱۷	-۰/۰۴۲۸	۲۹۶/۶	۰/۶۸	۲/۰۱۶	۱/۰۲۱	۶۵/۶۳	۶۴/۲۴	دی
۰/۰۳۰۲	-۰/۱۴۴۵	۲۷۳/۹	۱۵/۱۸	۱/۲۹۶	۰/۷۹۳	۷۱/۳۴	۸۹/۹۱	بهمن
-۰/۰۲۹۸	-۰/۰۱۲۳	۳۷۷/۲	۲۲/۲	۱/۳۷۰	۰/۶۳۱	۷۰/۸۱	۱۱۲/۳	اسفند
-۰/۱۱۵۴	-۰/۰۲۰۳۷	۲۹۱/۱	۲۶/۴۴	۰/۶۵۵	۰/۵۴۸	۶۵/۳	۱۱۹/۱	فروردین
-۰/۳۲۶۹	-۰/۰۹۳۲	۱۶۱/۱	۱۱/۰۸	۰/۵۳۱	۰/۵۱۷	۳۶/۴۴	۷۰/۴۱	اردیبهشت
-۰/۱۴۲۵	-۰/۱۲۱۶	۸۸/۳۴	۴/۵۱۲	۰/۴۱۰	۰/۵۵۰	۱۹/۷۴	۳۵/۸۸	خرداد
-۰/۰۱۹۵	-۰/۲۲۲۱	۵۱/۲۹	۲/۷۹۱	۰/۶۱۳	۰/۵۰۶	۱۱/۱۱	۲۱/۹۲	تیر
-۰/۲۸۸۹	-۰/۱۱۴۳	۲۸/۰۸	۴/۹۰۳	۰/۱۴۹	۰/۳۶۴	۵/۶۴۵	۱۵/۴۸	مرداد
-۰/۲۱۷۵	-۰/۰۹۶	۲۷/۴۸	۵/۶۲۸	۱/۰۶۴	۰/۳۶۳	۴/۳۷۸	۱۲/۶	شهریور

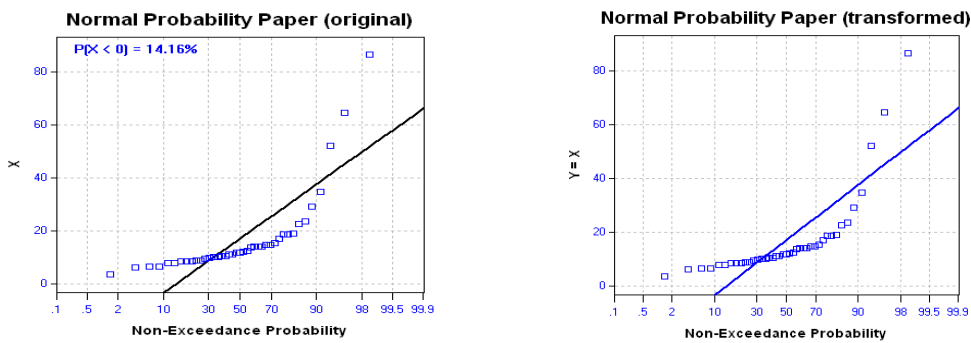
نرمال بودن تمام داده‌های ماهانه توسط نرم افزار به وسیله دو تست چولگی و تست فیلیبن مورد بررسی قرار گرفت. نتایج تست بر روی داده‌ها نشان می‌دهد که داده‌های خام دارای توزیع نرمال نمی‌باشند. نتایج و نمودار ترسیمی توزیع فراوانی سری اولیه بر روی کاغذ احتمال نرمال قبل از تبدیل سری اولیه به نرمال در جدول (۲۷-۴) و شکل‌های (۳۹-۴) تا (۵۰-۴) قابل مشاهده می‌باشند.

جدول ۲۷-۴- نتایج تست نرمال بودن سری زمانی ماهانه دبی قبل از اعمال تبدیل

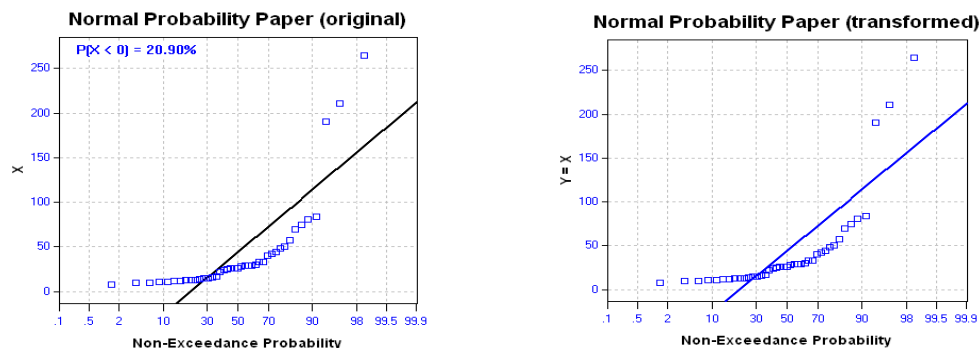
تست فیلیبن		تست چولگی		تبدیل مورد استفاده			تبدیل فعلی			ماه
نتیجه	مقدار مقایسه	نتیجه	مقدار مقایسه	ضریب b	ضریب a	تبدیل	ضریب b	ضریب a	تبدیل	
رد	۰/۹۵۹	رد	۰/۸۶۸	۱/۰۰۰	۱/۰۰۰	-	۱/۰۰۰	۱/۰۰۰	-	مهر
رد	۰/۹۶۴	رد	۲/۸۹۱	۱/۰۰۰	-۲/۴۹۱	-	۱/۰۰۰	۱/۰۰۰	-	آبان
رد	۰/۷۶۸	رد	۲/۷۴۸	۱/۰۰۰	-۵/۸۴۸	-	۱/۰۰۰	-۵/۸۴۸	-	آذر
رد	۰/۸۵۵	رد	۲/۰۱۶	۱/۰۰۰	۵/۲۷۸	-	۱/۰۰۰	۵/۲۷۸	-	دی
رد	۰/۹۱۱	رد	۱/۲۹۶	۱/۰۰۰	.	-	۱/۰۰۰	.	-	بهمن
رد	۰/۹۳۸	رد	۱/۳۷۰	۱/۰۰۰	۱/۰۰۰	-	۱/۰۰۰	۱/۰۰۰	-	اسفند
رد	۰/۹۶۶	رد	۰/۶۵۵	۱/۰۰۰	۱/۰۰۰	-	۱/۰۰۰	۱/۰۰۰	-	فروردین
قبول	۰/۹۸۳	قبول	۰/۵۳۱	۱/۰۰۰	۱/۰۰۰	-	۱/۰۰۰	۱/۰۰۰	-	اردیبهشت
قبول	۰/۹۹۱	قبول	۰/۴۱۰	۱/۰۰۰	۱/۰۰۰	-	۱/۰۰۰	۱/۰۰۰	-	خرداد
قبول	۰/۹۸۲	رد	۰/۶۱۳	۱/۰۰۰	۱/۰۰۰	-	۱/۰۰۰	۱/۰۰۰	-	تیر
قبول	۰/۹۹۳	قبول	۰/۱۴۹	۱/۰۰۰	۱/۰۰۰	-	۱/۰۰۰	۱/۰۰۰	-	مرداد
رد	۰/۹۶۱	رد	۱/۰۶۴	۱/۰۰۰	۱/۰۰۰	-	۱/۰۰۰	۱/۰۰۰	-	شهریور



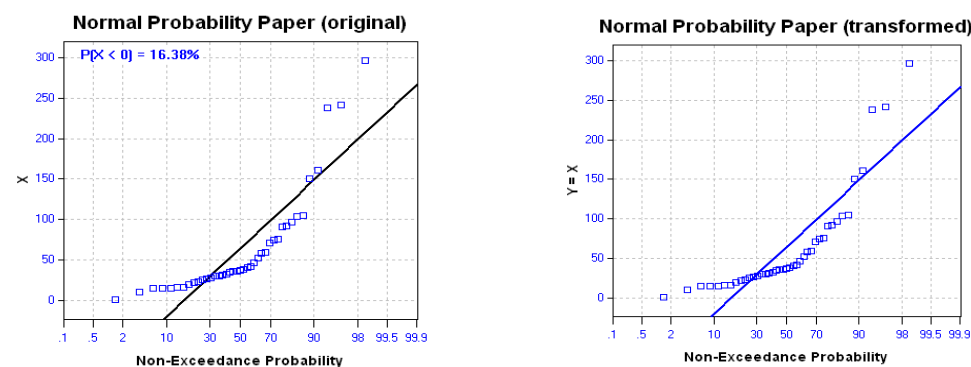
شکل ۳۹-۴- توزیع فراوانی سری زمانی داده‌های دبی مهر ماه قبل از تبدیل سری اولیه به نرمال



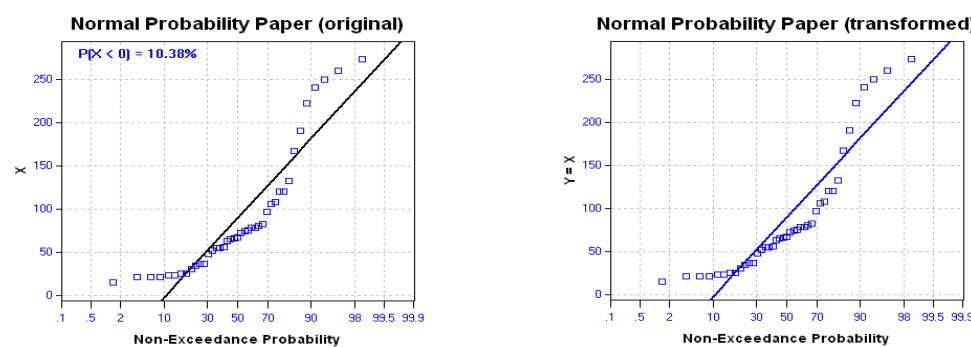
شکل ۴-۴۰- توزیع فراوانی سری زمانی داده‌های دبی آبان ماه قبل از تبدیل سری اولیه به نرمال



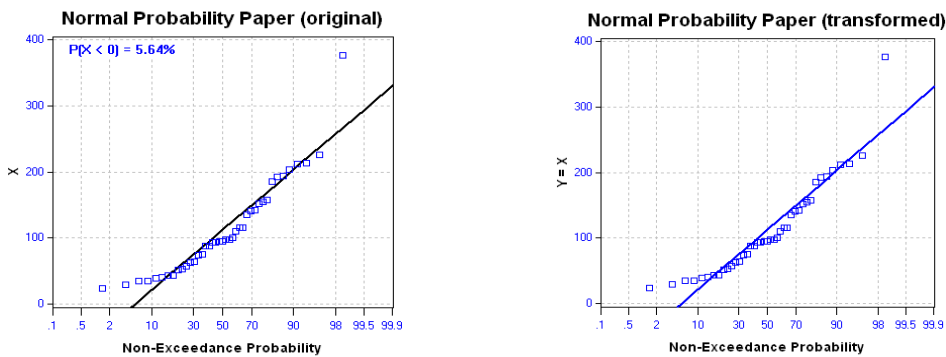
شکل ۴-۴۱-۴- توزیع فراوانی سری زمانی داده‌های دبی آذر ماه قبل از تبدیل سری اولیه به نرمال



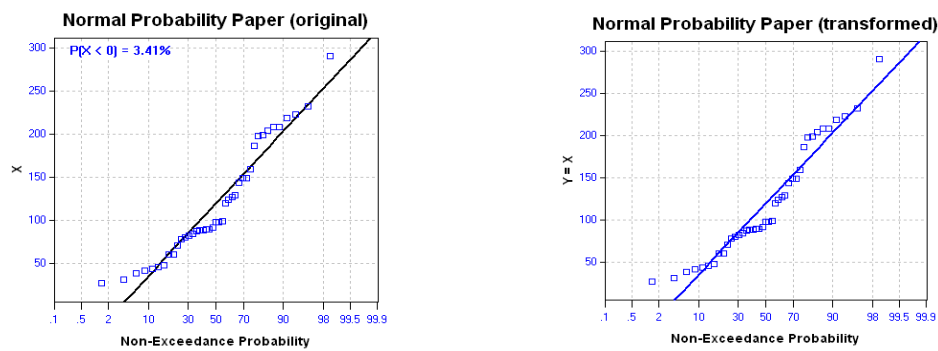
شکل ۴-۴۲-۴- توزیع فراوانی سری زمانی داده‌های دبی دی ماه قبل از تبدیل سری اولیه به نرمال



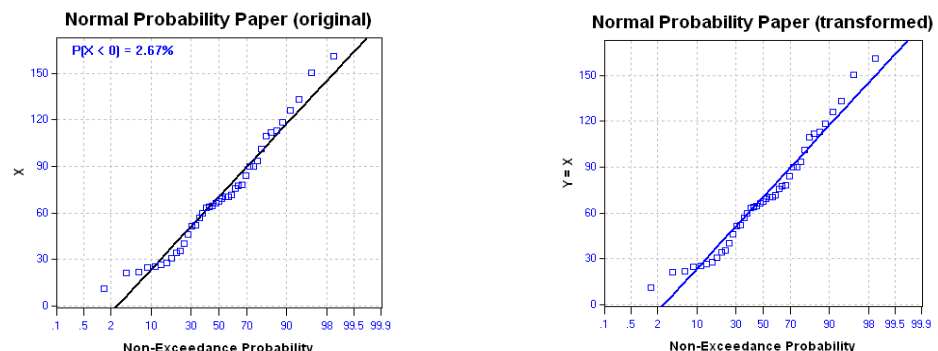
شکل ۴-۴۳-۴- توزیع فراوانی سری زمانی داده‌های دبی بهمن ماه قبل از تبدیل سری اولیه به نرمال



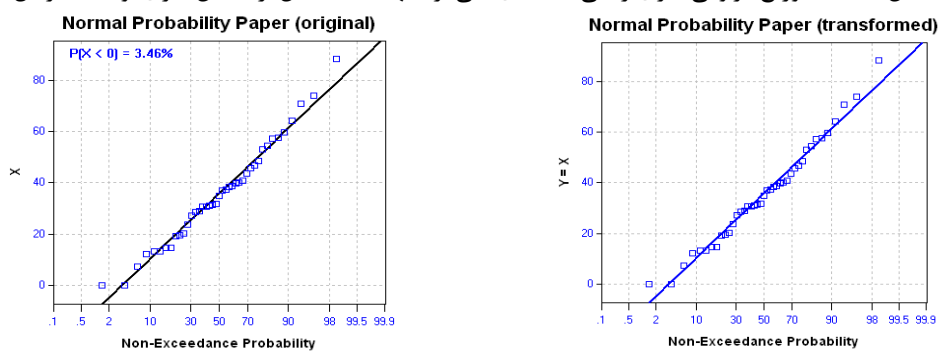
شکل ۴-۴- توزیع فراوانی سری زمانی داده‌های دبی اسفند ماه قبل از تبدیل سری اولیه به نرمال



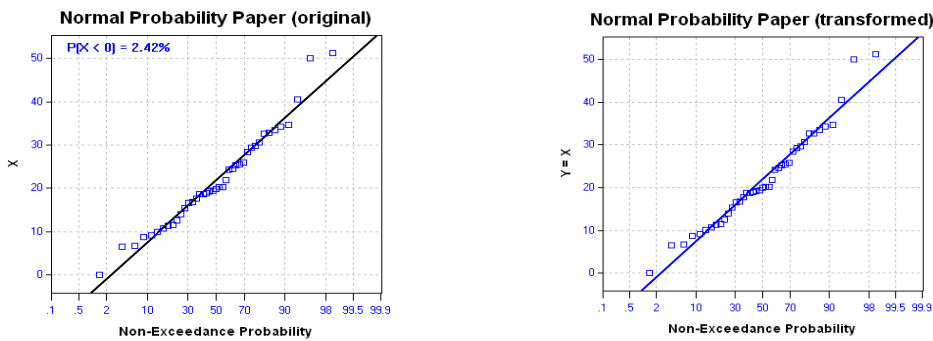
شکل ۴-۵- توزیع فراوانی سری زمانی داده‌های دبی فروردین ماه قبل از تبدیل سری اولیه به نرمال



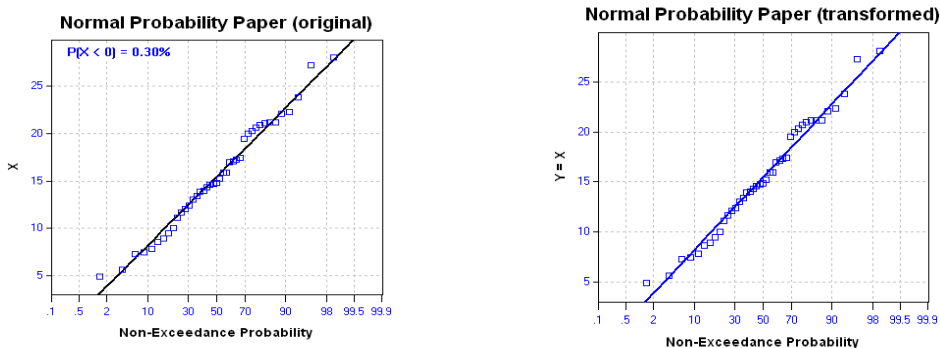
شکل ۴-۶- توزیع فراوانی سری زمانی داده‌های دبی اردیبهشت ماه قبل از تبدیل سری اولیه به نرمال



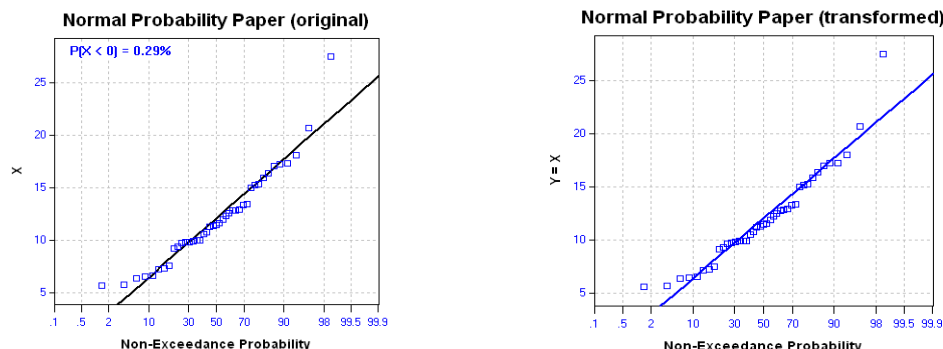
شکل ۴-۷- توزیع فراوانی سری زمانی داده‌های دبی خرداد ماه قبل از تبدیل سری اولیه به نرمال



شکل ۴-۴۸- توزیع فراوانی سری زمانی داده‌های دبی تیر ماه قبل از تبدیل سری اولیه به نرمال



شکل ۴-۴۹- توزیع فراوانی سری زمانی داده‌های دبی مرداد ماه قبل از تبدیل سری اولیه به نرمال



شکل ۴-۵۰- توزیع فراوانی سری زمانی داده‌های دبی شهریور ماه قبل از تبدیل سری اولیه به نرمال

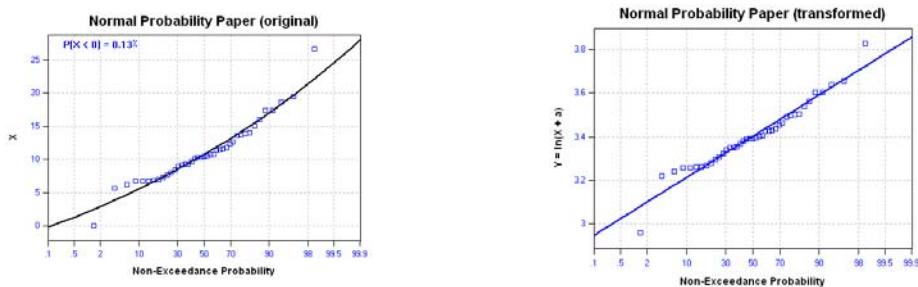
با توجه به جدول (۴-۲۷)، نتیجه این دو تست برای تمامی ماهها به غیر از اردیبهشت، خرداد، تیر و مرداد رد شده است، در نتیجه می‌بایست داده‌های این ماهها به داده‌های نرمال تبدیل شوند. ما برای استفاده از داده‌های یکسان در مدل سازی داده‌های تمامی ماهها را با استفاده از نرم افزار و توابع تبدیل موجود به داده‌های نرمال تبدیل کردیم. نتایج بررسی نرمال بودن داده‌ها با استفاده از تابع تبدیل لگاریتمی، نمائی و نظایر آن نشان می‌دهد که سری تولید شده با استفاده از تابع تبدیل لگاریتمی نسبت به سایر توابع نرمال‌تر بوده است. نتیجه استفاده از تابع تبدیل لگاریتمی در جدول

(۲۸-۴) و نمودار ترسیمی آن که نشان دهنده توزیع فراوانی سری اولیه و داده‌های تبدیل شده می-

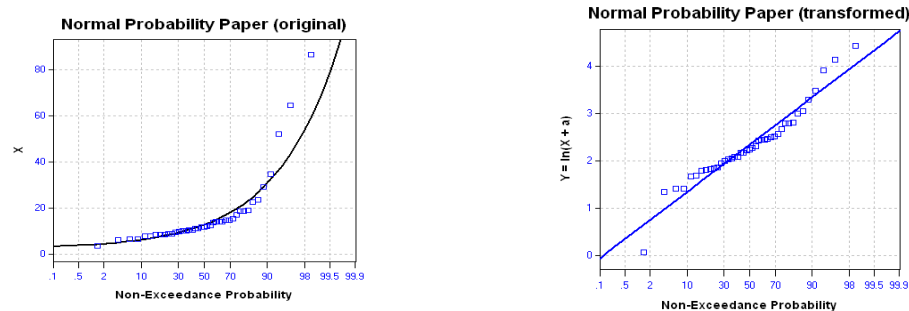
باشد نیز در شکل‌های (۵۱-۴) تا (۵۲-۴) آورده شده‌اند.

جدول ۲۸-۴- نتایج تست نرمال بودن سری زمانی ماهانه دبی بعد از اعمال تبدیل لگاریتمی

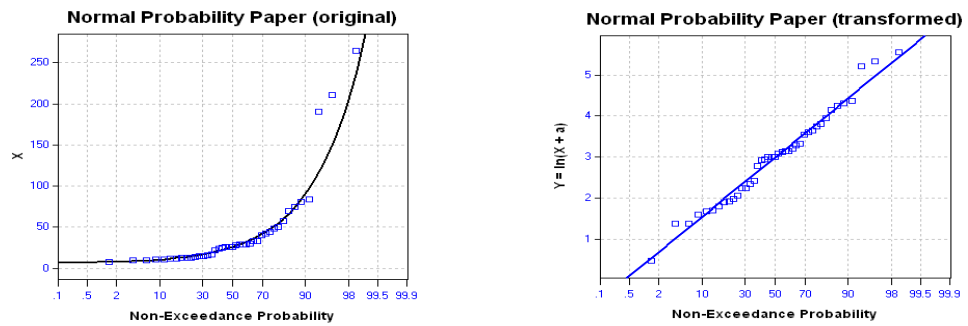
تست فیلیبن		تست چوگنی		تبدیل مورد استفاده			تبدیل فعلی			ماه
نتیجه	مقدار مقایسه	نتیجه	مقدار مقایسه	b	ضریب a	تبدیل	b	ضریب a	تبدیل	
رد	۰/۹۷۱	قبول	۰/۱۲۲	۱/۰۰۰	۱۹/۲۷۳	لگاریتمی	۱/۰۰۰	۱۹/۲۷۳	لگاریتمی	مهر
رد	۰/۹۶۴	قبول	۰/۳۱۵	۱/۰۰۰	-۲/۴۹۱	لگاریتمی	۱/۰۰۰	-۲/۴۹۱	لگاریتمی	آبان
قبول	۰/۹۹۰	قبول	۰/۲۲۶	۱/۰۰۰	-۵/۸۴۸	لگاریتمی	۱/۰۰۰	-۵/۸۴۸	لگاریتمی	آذر
قبول	۰/۹۸۴	قبول	۰/۱۸۵	۱/۰۰۰	۵/۲۷۸	لگاریتمی	۱/۰۰۰	۵/۲۷۸	لگاریتمی	دی
قبول	۰/۹۸۷	قبول	۰/۰۷۸	۱/۰۰۰	.	لگاریتمی	۱/۰۰۰	.	لگاریتمی	بهمن
قبول	۰/۹۹۳	قبول	-۰/۱۶۹	۱/۰۰۰	.	لگاریتمی	۱/۰۰۰	.	لگاریتمی	اسفند
قبول	۰/۹۸۷	قبول	-۰/۱۵۵	۱/۰۰۰	۱۴/۸۱۶	لگاریتمی	۱/۰۰۰	۱۴/۸۱۶	لگاریتمی	فروردین
قبول	۰/۹۹۲	قبول	۰/۰۳۸	۱/۰۰۰	۷۵/۰۹۱	لگاریتمی	۱/۰۰۰	۷۵/۰۹۱	لگاریتمی	اردیبهشت
قبول	۰/۹۹۵	قبول	۰/۰۵۸	۱/۰۰۰	۱/۰۰۰	لگاریتمی	۱/۰۰۰	.	لگاریتمی	خرداد
قبول	۰/۹۹۳	قبول	-۰/۰۶۵	۱/۰۰۰	۳۴/۶۸۴	لگاریتمی	۱/۰۰۰	۳۴/۶۸۴	لگاریتمی	تیر
قبول	۰/۹۹۳	قبول	-۰/۱۳۵	۱/۰۰۰	۲۴/۶۹۳	لگاریتمی	۱/۰۰۰	۲۴/۶۹۳	لگاریتمی	مرداد
قبول	۰/۹۹۰	قبول	-۰/۰۳۲	۱/۰۰۰	.	لگاریتمی	۱/۰۰۰	.	لگاریتمی	شهریور



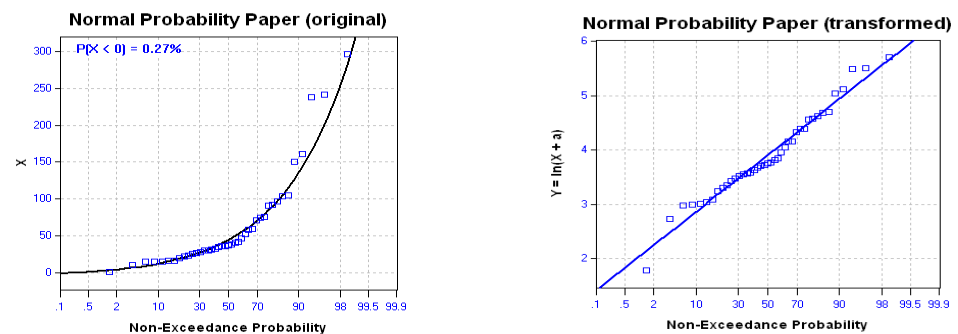
شکل ۵۱-۴- توزیع فراوانی سری زمانی داده‌های دبی مهر ماه بعد از اعمال تبدیل لگاریتمی



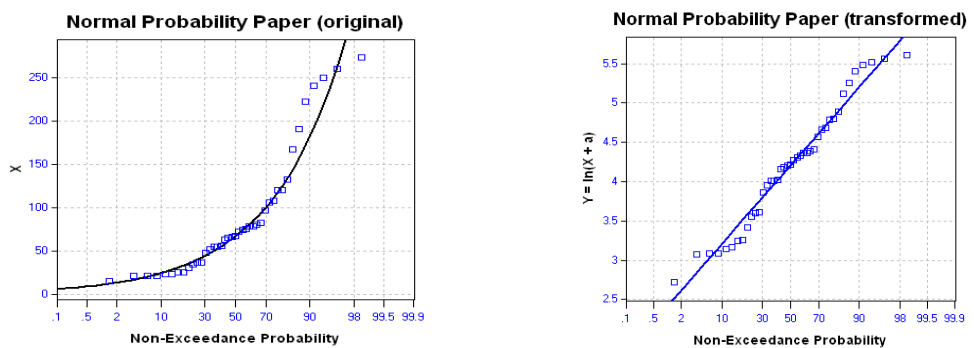
شکل ۵۲-۴- توزیع فراوانی سری زمانی داده‌های دبی آبان ماه بعد از اعمال تبدیل لگاریتمی



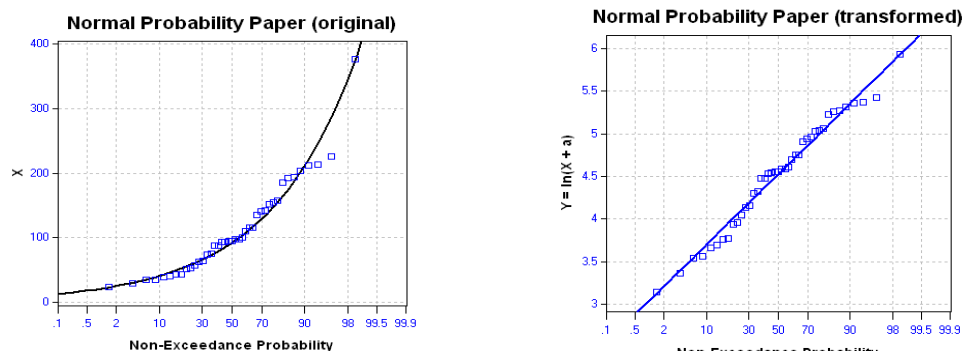
شکل ۵۳-۴- توزیع فراوانی سری زمانی داده‌های دبی آذر ماه بعد از اعمال تبدیل لگاریتمی



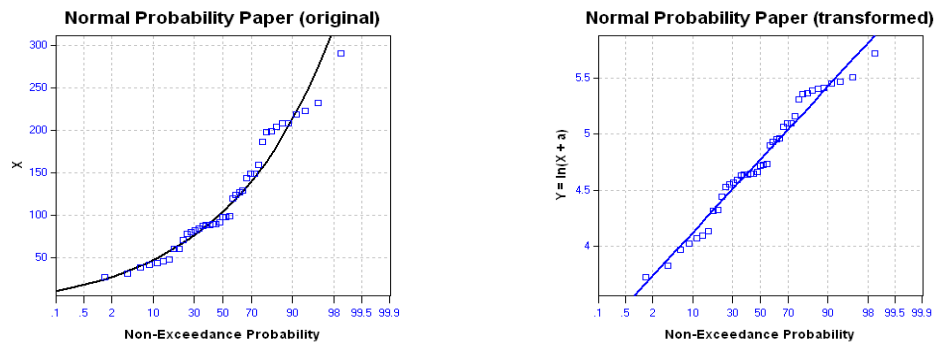
شکل ۵۴-۴- توزیع فراوانی سری زمانی داده‌های دبی دی ماه بعد از اعمال تبدیل لگاریتمی



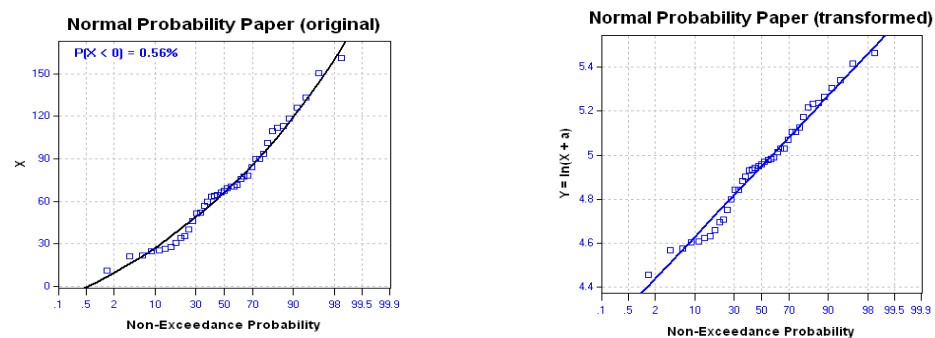
شکل ۵۵-۴- توزیع فراوانی سری زمانی داده‌های دبی بهمن ماه بعد از اعمال تبدیل لگاریتمی



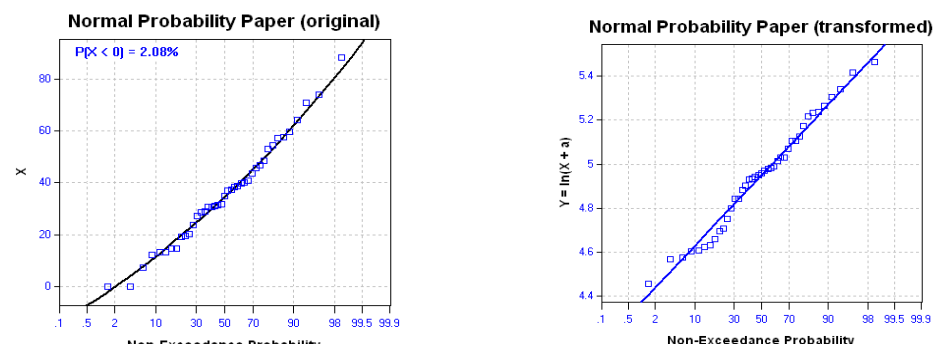
شکل ۵۶-۴- توزیع فراوانی سری زمانی داده‌های دبی اسفند ماه بعد از اعمال تبدیل لگاریتمی



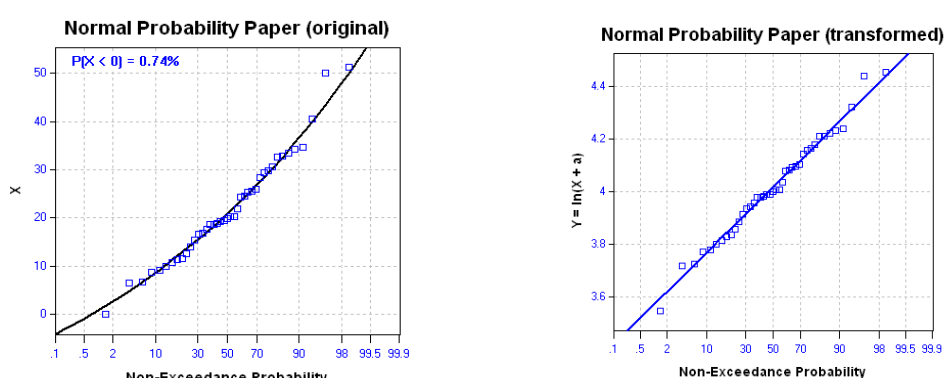
شکل ۴-۵۷-۴- توزیع فراوانی سری زمانی داده‌های دبی فروردین ماه بعد از اعمال تبدیل لگاریتمی



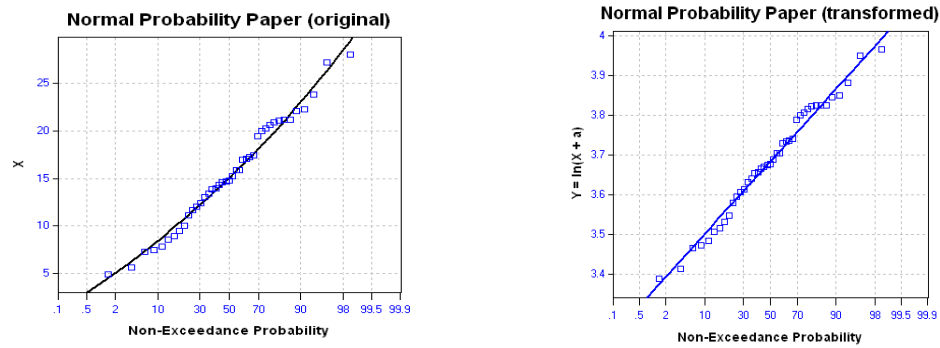
شکل ۴-۵۸-۴- توزیع فراوانی سری زمانی داده‌های دبی اردیبهشت ماه بعد از اعمال تبدیل لگاریتمی



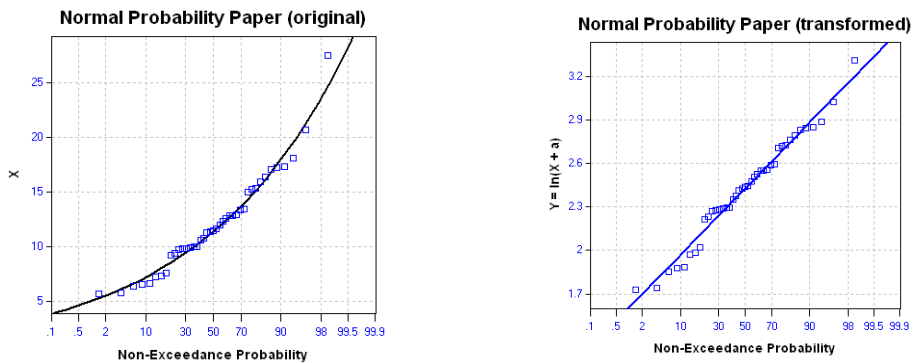
شکل ۴-۵۹-۴- توزیع فراوانی سری زمانی داده‌های دبی خرداد ماه بعد از اعمال تبدیل لگاریتمی



شکل ۴-۶۰-۴- توزیع فراوانی سری زمانی داده‌های دبی تیر ماه بعد از اعمال تبدیل لگاریتمی



شکل ۴-۶۱-۴- توزیع فراوانی سری زمانی داده‌های دبی مرداد ماه بعد از اعمال تبدیل لگاریتمی



شکل ۴-۶۲-۴- توزیع فراوانی سری زمانی داده‌های دبی شهریور ماه بعد از اعمال تبدیل لگاریتمی

### الف- مدل سازی اتورگرسیو- میانگین متغیر تناوبی<sup>۱</sup> تک متغیره

با توجه به توابع خود همبستگی و خود همبستگی جزئی ماههای مهر تا شهریور که مقدار این توابع برای تأخیرهای اولیه در تمام این توابع بین حدود اعتماد قرار دارد، مرتبه مدل یعنی مقدار  $p$  و  $q$  برابر یک در نظر گرفته می‌شود، اما برای انتخاب بهترین مدل، مدل‌های PARMA(1,1) و PARMA(1,3) به داده‌های ماهانه استاندارد شده برآش داده شدند. پارامترهای PARMA(1,2) و PARMA(1,3) به داده‌های ماهانه استاندارد شده برآش داده شدند. پارامترهای این مدل‌ها به روش کمترین مربعات تقریبی<sup>۲</sup> محاسبه و در جداول (۲۹-۴)، (۳۰-۴) و (۳۱-۴) ارائه شده‌اند. نرم افزار برای برآش این مدل و استفاده از روش گشتاورها مقدار پارامترهای اتورگرسیو را کوچک‌تر مساوی ۱۰ و مقدار پارامتر میانگین متغیر را برابر یک می‌پذیرد، ما برای یکسان بودن پارامترهای اتورگرسیو و میانگین متغیر در تمامی مدل‌ها برای این مدل از روش کمترین مربعات تقریبی استفاده کردیم.

<sup>۱</sup>-Univariate PARMA(p,q) Model

<sup>۲</sup>-Approximate least square

جدول ۴-۲۹- پارامترهای مدل (۱,۱) برای داده‌های ماهانه ایستگاه هیدرومتری ایدنک

پارامتر میانگین متحرک $\theta_1$	پارامتر اتورگرسیو $\Phi_1$	معیار اطلاعاتی شوارز	معیار اطلاعاتی آکائیک	واریانس	میانگین	ماه
۰/۲۶۵۶	۰/۷۴۱۹	۲۷/۳۲۸	۲۶/۵۴۹	۰/۰۲۱۵	۳/۴۰۲۴	مهر
-۰/۲۹۹۶	۰/۱۱۶۶	۴۳/۶۸۱	۴۲/۹۰۲	۰/۶۰۵۹	۲/۳۳۸۹	آبان
۰/۴۹۰۹	۰/۶۹۸۳	۴۴/۴۸۸	۴۳/۷۰۹	۱/۲۵۷۶	۲/۹۸۸۶	آذر
۰/۸۳۲۱	۱/۱۷۸۰	۳۷/۴۰۱	۳۶/۶۲۲	۰/۶۴۷۵	۳/۹۰۴۷	دی
۰/۰۱۲۵	۰/۶۶۵۹	۲۵/۳۱۹	۲۴/۵۴۱	۰/۵۹۷۷	۴/۲۰۵۹	بهمن
-۰/۰۴۰۲	۰/۶۹۲۷	۱۸/۹۷۱	۱۸/۱۹۳	۰/۴۱۰۴	۴/۵۲۶۵	اسفند
۰/۱۸۸۴	۰/۷۲۴۰	۲۶/۸۹۸	۲۶/۱۱۹	۰/۲۵۶۶	۴/۷۷۴۴	فروردین
۰/۳۶۸۶	۱/۰۹۰۴	-۱۶/۳۳۲	-۱۷/۱۱	۰/۰۶۱۷	۴/۹۴۹۳	اردیبهشت
۰/۰۴۳۲	۰/۸۸۶۲	-۱۱/۸۲۸	-۱۲/۶۰۷	۰/۹۹۴۲	۰/۰۰۰۲	خرداد
۰/۱۷۷۶	۰/۷۸۸۱	۱۴/۳۹۵	۱۳/۶۱۷	۰/۰۳۷۴	۴/۰۱۷۲	تیر
۰/۱۳۶۱	۰/۸۷۸۶	۲/۲۵	۱/۴۷۲	۰/۹۹۸۲	۰/۰۰۰۳	مرداد
۰/۱۸۳۹	۰/۸۷۸۳	۲/۰۰۷	۱/۲۲۹	۰/۱۲۶۱	۲/۴۲۷۴	شهریور
-	-	۱۷/۸۸۱	۱۷/۱۰۳	-	-	میانگین

جدول ۴-۳۰- پارامترهای مدل (۱,۲) برای داده‌های ماهانه ایستگاه هیدرومتری ایدنک

پارامتر میانگین متحرک $\theta_2$	پارامتر میانگین متحرک $\theta_1$	پارامتر اتورگرسیو $\Phi_1$	معیار اطلاعاتی شوارز	معیار اطلاعاتی آکائیک	واریانس	میانگین	ماه
-۰/۵۱۸	۰/۳۶۰	۰/۶۹۱	۲۷/۷۸۷	۲۵/۷۵۷	۰/۰۲۱۵	۳/۴۰۲۴	مهر
-۰/۰۴۵	-۰/۱۵۷	۰/۲۰۶	۴۸/۱۰۷	۴۶/۰۷۷	۰/۶۰۵۹	۲/۳۳۸۹	آبان
-۱/۲۴۹	-۲/۵۹۶	-۲/۳۴۳	۳۹/۸۴۹	۳۷/۸۱۹	۱/۲۵۷۶	۲/۹۸۸۶	آذر
-۰/۲۳۷	۰/۲۹۱	۰/۵۸۳	۳۹/۴۴۶	۳۷/۴۱۶	۰/۶۴۷۵	۳/۹۰۴۷	دی
-۰/۱۷۵	-۰/۱۳۶	۰/۵۱۸	۲۷/۷۶۴	۲۵/۷۳۴	۰/۵۹۷۷	۴/۲۰۵۹	بهمن
-۰/۲۲۵	-۰/۲۲۳	۰/۴۸۴	۲۱/۷۶۴	۱۹/۷۳۴	۰/۴۱۰۴	۴/۵۲۶۵	اسفند
۰/۱۷۵	۰/۳۵۲	۰/۸۶۸	۲۹/۸۱۰	۲۷/۷۸۱	۰/۲۵۶۶	۴/۷۷۴۴	فروردین
۰/۰۳۳	۰/۴۱۳	۱/۱۲۰	-۱۳/۶۸۷	-۱۵/۷۱۶	۰/۰۶۱۷	۴/۹۴۹۳	اردیبهشت
-۰/۰۵۷	۰/۰۲۱	۰/۸۵۸	-۸/۳۵۳	-۱۰/۳۸۳	۰/۹۹۴۲	۰/۰۰۰۲	خرداد
۰/۴۷۵	۰/۲۸۹	۰/۸۹۳	۱۴/۴۱۶	۱۲/۳۸۶	۰/۰۳۷۴	۴/۰۱۷۲	تیر
۰/۹۶۱	۰/۳۷۱	۱/۰۹۹	-۲۸/۱۲۲	-۳۰/۱۵۲	۰/۹۹۸۲	۰/۰۰۰۳	مرداد
۰/۶۴۳	۰/۶۱۲	۱/۰۹۲	-۱۶/۶۹۲	-۱۸/۷۲۲	۰/۱۲۶۱	۲/۴۲۷۴	شهریور
-	-	-	۱۵/۱۷۴	۱۳/۱۴۴	-	-	میانگین

جدول ۳۱-۴- پارامترهای مدل (۳) PARMA برای داده‌های ماهانه ایستگاه هیدرومتری ایدنک

پارامتر میانگین متحرک $\theta_3$	پارامتر میانگین متحرک $\theta_2$	پارامتر میانگین متحرک $\theta_1$	پارامتر اتورگرسیو $\varphi_1$	معیار اطلاعاتی شوارز	معیار اطلاعاتی آکائیک	معیار واریانس	میانگین	ماه
۰/۰۹۴	-۰/۵۴۷	۰/۴۲۰	۰/۶۸۳	۳۲/۸۵	۲۹/۷۱	۲۰/۸۵۸	۱۱/۰۹۳	مهر
-۰/۴۷۸	-۰/۲۵۹	-۰/۳۷۷	-۰/۳۵۰	۵۳/۵۰۸	۵۰/۳۶۸	۲۵۴/۰۷۸	۱۷/۱۰۳	آبان
۰/۴۷۴	-۰/۳۶۷	۰/۸۵۲	۱/۱۸۸	۴۲/۱۰۸	۳۸/۹۶۸	۲۹۶۴/۶۸	۴۴/۰۹۹	آذر
۰/۳۳۵	-۰/۰۲۱	۰/۳۰۲	۰/۷۴۵	۴۳/۵۳۸	۴۰/۳۹۸	۴۳۰۷/۰۱	۶۴/۲۳۶	دی
۰/۰۶۱	۰/۲۱۵	۰/۴۱۶	۰/۸۱۱	۴۷/۴۰۵	۴۴/۲۶۵	۵۰/۸۹/۵۳	۸۹/۹۱۱	بهمن
-۰/۰۵۲	-۰/۱۰۶	-۰/۱۵۵	۰/۵۲۶	۲۹/۱۹۹	۲۶/۰۵۹	۵۰۱۴/۳۲	۱۱۲/۲۷۱	اسفند
۰/۱۳۸	۰/۱۳۱	۰/۶۲۱	۱/۰۴۱	۳۳/۴۸۹	۳۰/۳۴۹	۴۲۸۴/۲۲	۱۱۹/۱۲۲	فروردين
۰/۱۵۸	۰/۰۵۴	۰/۷۰۶	۱/۳۲۶	-۱/۷۷۲	-۴/۹۱۲	۱۳۲۷/۶	۷۰/۴۱۲	اردیبهشت
-۰/۱۵۹	-۰/۲۰۹	-۰/۰۶۱	۰/۷۶۸	-۱۷/۴۷۹	-۲۰/۶۱۹	۳۸۹/۷۸۹	۳۵/۸۷۷	خرداد
۰/۰۵۱	۰/۳۹۱	۰/۴۷۱	۰/۹۰۹	۲۰/۵۳۴	۱۷/۳۹۴	۱۲۳/۳۲۱	۲۱/۹۱۶	تیر
-۰/۱۳۳	۰/۸۲۷	۰/۳۲۷	۱/۰۲۱	-۱۵/۶۴۵	-۱۸/۷۸۵	۳۱/۸۶۱	۱۵/۴۸۰	مرداد
-۰/۵۲۷	۰/۶۳۱	۰/۷۶۱	۱/۱۰۳	-۲/۱۷۶	-۵/۳۱۶	۱۹/۱۷۰	۱۲/۰۶۳	شهریور
-	-	-	-	۲۲/۱۲۹	۱۸/۹۸۹	-	-	میانگین

انتخاب مدل مناسب: با توجه به جداول (۲۹-۴)، (۳۰-۴) و (۳۱-۴) قابل مشاهده است که

مقدار معیارهای اطلاعاتی آکائیک و شوارز مدل (۱,۲) PARMA نسبت به مدل‌های (۱,۱) و

PARMA(۱,۳) کمتر بوده و این مدل به عنوان مدل مناسب برای تولید سری جدید در نظر گرفته

شده است.

خصوصیات آماری پایه سری زمانی اولیه و تولید شده توسط مدل (۱,۱) PARMA در جدول (۴-

۳۲) با هم مقایسه شده‌اند. همان طور که در این جدول قابل مشاهده است خصوصیات آماری پایه

سری تولید شده به سری اولیه نزدیک و نتایج قابل قبول هستند.

همچنین مقایسه حداکثر دوره خشکسالی، مقدار دبی خشکسالی، حداکثر دوره پر آبی و حداکثر

دبی پر آبی و ظرفیت ذخیره سری تولید شده با سری اولیه در جدول (۳۳-۴) قابل مشاهده می‌باشد و

نشان می‌دهد که سری تولید شده به خوبی با سری اولیه قابل مقایسه است.

جدول ۴-۳۲- مقایسه خصوصیات آماری پایه سری تولید شده با سری اولیه برای داده‌های ماهانه و مدل PARMA(1,2)

ACF(۲)	ACF(۱)	حداکثر	حداقل	چولگی	ضریب تغییرات	انحراف معیار	میانگین	سری	ماه
-۰/۰۱۷۷	-۰/۱۵۰۷	۲۶/۶۸	۳/۶۷۱	۰/۸۶۸۶	-۰/۴۱۱۷	۴/۵۶۷	۱۱/۰۹	تاریخی تولیدی	مهر آبان آذر دی بهمن اسفند
-۰/۰۲۱۹	-۰/۰۱۴۷	۲۱/۴۲	۲/۸۷۲	۰/۳۱۱	-۰/۳۹۴	۴/۳۳۳	۱۱/۰۲		
-۰/۰۰۶۴	-۰/۰۶۱۲	۸۶/۶۸	۳/۵۵۲	۲/۸۹۲	-۰/۹۳۲	۱۵/۹۴	۱۷/۱		
-۰/۰۱۸۶	-۰/۰۱۰۱	۵۳/۶	۴/۰۴۸	۱/۷۳۵	-۰/۶۸۸۵	۱۱/۴۷	۱۵/۸		
-۰/۱۵۶۶	-۰/۰۱۴۷	۲۶۴/۸	۷/۴۵	۲/۷۴۸	۱/۲۳۵	۵۴/۴۵	۴۴/۱		
-۰/۰۴۱۸	-۰/۰۲۳۱	۳۶۹/۲	۷/۵۰۴	۳/۰۱۶	۱/۳۲۷	۸۳/۶۲	۴۴/۹		
-۰/۲۵۱۷	-۰/۰۴۲۸	۲۹۶/۶	۰/۶۸	۲/۰۱۷	۱/۰۲۲	۶۵/۶۳	۶۴/۲۴	تاریخی تولیدی	دی
-۰/۰۳۱۹	-۰/۰۵۰۳	۲۴۷/۸	۳/۵۵۴	۱/۷۷۱	-۰/۸۵۳۴	۵۴/۰۵	۶۰/۳۳	تاریخی تولیدی	بهمن
-۰/۰۳۰۲	-۰/۱۴۴۵	۲۷۳/۹	۱۵/۱۸	۱/۲۹۶	-۰/۷۹۳۵	۷۱/۳۴	۸۹/۹۱	تاریخی تولیدی	فروردین
-۰/۰۳۳۸	-۰/۰۴۹۸	۳۶۱/۳	۱۴/۹۶	۱/۸۰۸	-۰/۸۱۹۶	۷۷/۷	۹۲/۵۷	تاریخی تولیدی	اردیبهشت
-۰/۰۲۹۷	-۰/۰۱۲۲	۳۷۷/۲	۲۳/۲	۱/۳۷	-۰/۶۳۰۷	۷۰/۸۱	۱۱۲/۳	تاریخی تولیدی	خرداد
-۰/۰۲۷۹	-۰/۰۴۴۲	۴۴۳/۴	۲۴/۰۸	۲/۰۹۸	-۰/۶۸۵	۸۳/۲۱	۱۱۴/۷	تاریخی تولیدی	تیر
-۰/۱۱۵۴	-۰/۰۲۰۳۷	۲۹۱/۱	۲۶/۴۴	۰/۶۵۵	-۰/۵۴۸۲	۶۵/۳	۱۱۹/۱	تاریخی تولیدی	مرداد
-۰/۰۲۸۲	-۰/۰۶۷۰	۳۸۲/۴	۲۴/۳۷	۱/۴۱۷	-۰/۵۷۷۲	۷۲/۱۵	۱۲۲/۵	تاریخی تولیدی	شهریور
-۰/۰۲۶۹	-۰/۰۹۳۲	۱۶۱/۱	۱۱/۰۸	-۰/۵۳۱۱	-۰/۵۱۷۵	۳۶/۴۴	۷۰/۴۱	تاریخی تولیدی	اسفند
-۰/۰۰۹۲	-۰/۰۳۷۰	۱۸۵/۱	۲/۷۶۹	-۰/۷۳۹۳	-۰/۵۰۱۴	۳۶/۳۹	۷۱/۸۴	تاریخی تولیدی	
-۰/۱۴۲۵	-۰/۱۲۱۶	۸۸/۳۴	۴/۵۱۲	-۰/۴۱۰۱	-۰/۵۵۰۳	۱۹/۷۴	۳۵/۸۸	تاریخی تولیدی	
-۰/۰۲۳۸	-۰/۰۳۶۳	۹۳/۱۶	۳/۸۴۴	-۰/۵۴۸۸	-۰/۵۴۱۴	۱۹/۸۱	۳۶/۵۷	تاریخی تولیدی	
-۰/۰۱۹۵	-۰/۰۲۲۲۱	۵۱/۲۹	۲/۷۹۱	-۰/۶۱۳۲	-۰/۵۰۶۷	۱۱/۱۱	۲۱/۹۲	تاریخی تولیدی	
-۰/۰۹۱۱	-۰/۰۲۵۴	۵۳/۶۳	۲/۱۸۹	-۰/۷۱۲۸	-۰/۵۱۲۷	۱۱/۵۹	۲۲/۵۳	تاریخی تولیدی	
-۰/۰۲۸۸۹	-۰/۱۱۴۳	۲۸/۰۸	۴/۹۰۳	-۰/۱۴۹۱	-۰/۳۶۴۶	۵/۶۴۵	۱۵/۴۸	تاریخی تولیدی	
-۰/۰۰۱۶	-۰/۰۲۳۹	۲۸/۶۸	۳/۸۷۲	-۰/۱۷۷۸	-۰/۳۵۹۱	۵/۶۴۳	۱۵/۷۳	تاریخی تولیدی	
-۰/۰۲۱۷۵	-۰/۰۹۵۹	۲۷/۴۸	۵/۶۲۸	۱/۰۶۵	-۰/۳۶۳	۴/۳۷۸	۱۲/۰۶	تاریخی تولیدی	
-۰/۰۳۶۶	-۰/۰۱۲۶	۲۴/۸۴	۵/۳۶۳	-۰/۸۵۳۶	-۰/۳۶۵۳	۴/۴۴۴	۱۲/۰۹	تاریخی تولیدی	

جدول ۴-۳۳- مقایسه اطلاعات ذخیره، خشکسالی و سال‌های پر آبی سری تولید شده با سری

اولیه برای مدل PARMA(1,2)

سال	تاریخی	تولیدی	سال	تاریخی	تولیدی	سال	تاریخی	تولیدی	ماه
۲۵/۷۳	۱۶/۳	۳	۱۳/۲۷	۵	تاریخی تولیدی	مهر آبان آذر دی بهمن اسفند	آستانه آستانه آستانه آستانه آستانه آستانه	تاریخی تولیدی	مهر آبان آذر دی بهمن اسفند
۳۲/۲۹	۲۰/۰۴	۴/۱	۱۸/۸۶	۴/۸					
۶۱/۱۹	۷۱/۱۲	۲	۵۸/۱۳	۹					
۱۱۶/۹	۵۵/۰۳	۲/۹	۵۷/۲۵	۸					
۳۷۴/۵	۲۵۷/۲	۳	۱۴۸	۷					
۳۶۹/۶	۳۴۸/۶	۲/۷	۲۳۴/۸	۱۰/۱					
۳۴۲/۱	۲۹۲/۳	۳	۲۷۲/۶	۷	تاریخی تولیدی	آستانه آستانه آستانه آستانه	آستانه آستانه آستانه آستانه	تاریخی تولیدی	آستانه آستانه آستانه آستانه
۴۷۸/۹	۳۰۳/۳	۳/۴	۲۲۴/۶	۶/۸					
۳۲۱/۶	۲۳۹/۹	۴	۲۶۱/۲	۶					
۴۷۴/۲	۳۶۰	۲/۴	۲۵۷/۳	۶/۲					
۲۷۵/۱	۴۰۹/۴	۳	۲۱۰/۵	۵	تاریخی تولیدی	آستانه آستانه	آستانه آستانه	تاریخی تولیدی	آستانه آستانه
۴۳۶/۸	۳۸۰/۳	۳/۷	۲۷۴/۴	۵/۹					

ادامه جدول ۳۳-۴

ماه	سری	۶	۵	۴	۳	۲	۱
فروردين	تاریخی				۳	۱۸۰/۸	۲۸۶/۲
	تولیدی				۶	۲۹۰/۹	۳۵۲/۵
اردیبهشت	تاریخی			۴		۱۰۸/۴	۱۳۵/۵
	تولیدی			۵/۱		۱۳۸/۸	۱۶۶/۷
خرداد	تاریخی			۴		۵۶/۹۷	۷۳/۳۹
	تولیدی			۴/۸		۷۷/۴۵	۸۲/۰۳
تیر	تاریخی			۳		۳۰/۶۵	۳۵/۴۴
	تولیدی			۴/۴		۳۶/۵۳	۴۶/۵۶
مرداد	تاریخی			۳		۲۰/۴	۱۸/۰۹
	تولیدی			۵		۲۴/۲	۲۳/۶۸
شهریور	تاریخی			۳		۱۲/۱۲	۱۵/۴۲
	تولیدی			۵/۸		۱۷/۹۲	۱۹/۲۴

تابع خود همبستگی سری تولید شده و سری اولیه در جدول (۴-۳۴) و شکل‌های (۴-۶۳) تا (۴-۶۴)

(۷۴) با یکدیگر مقایسه شده‌اند. در این جدول X نشان دهنده تأخیر (Lag) می‌باشد، که نشان می‌دهد

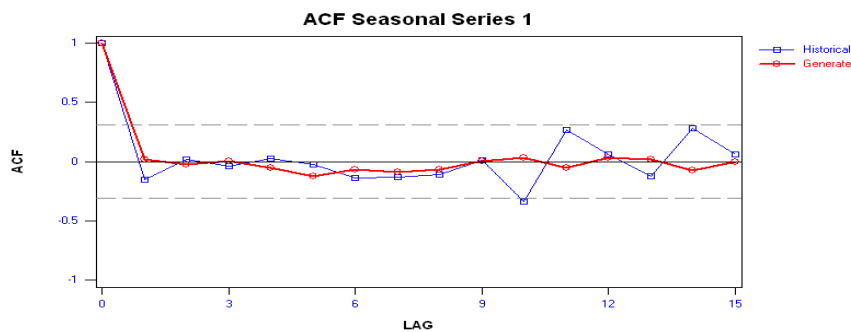
تابع حاصل از سری تولید شده در میام حدود اطمینان ۱۰٪ قرار گرفته است.

جدول ۴-۴-تابع خود همبستگی سری ماهانه تولید شده به صورت ماه به ماه برای مدل PARMA(۱,۲)

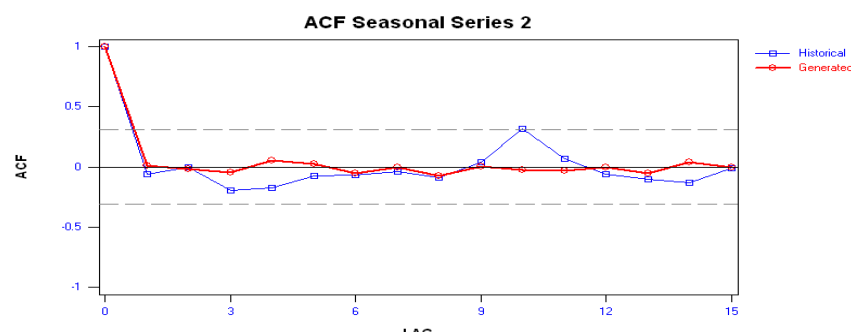
ACF(اسفند)	ACF(بهمن)	ACF(دی)	ACF(آذر)	ACF(آبان)	ACF(مهر)	X
۱	۱	۱	۱	۱	۱	۰
-۰/۰۴۴۲	-۰/۰۴۹۸	۰/۰۵۰۳	-۰/۰۲۳۱	۰/۰۱۰۱	۰/۰۱۴۷	۱
-۰/۰۲۷۹	۰/۰۳۳۸	۰/۰۳۱۸	-۰/۰۴۱۸	-۰/۰۱۸۶	-۰/۰۲۱۹	۲
-۰/۰۵۵۱	-۰/۰۳۶۶	-۰/۰۶۷۱	۰/۰۵۱۲	-۰/۰۴۸۴	۰/۰۰۴۳	۳
-۰/۰۰۰۵	۰/۱۳۲۸	-۰/۰۸۲۶	۰/۰۲۶۶	۰/۰۵۶۷	-۰/۰۵۰۵	۴
-۰/۰۴۲۴	-۰/۰۱۲۴	-۰/۰۴۹۴	-۰/۰۰۵۸۸	۰/۰۲۶۱	-۰/۱۲۸۰	۵
-۰/۰۲۸۸	-۰/۰۷۳۳	-۰/۰۵۲۴	-۰/۰۱۲۸	-۰/۰۰۵۲۵	-۰/۰۶۴۷	۶
۰/۰۰۳۲	-۰/۰۳۶۲	-۰/۰۵۴۱	-۰/۱۰۱۸	۰/۰۰۳۹	-۰/۰۸۵۶	۷
-۰/۰۲۴۹	۰/۰۶۷۷	-۰/۰۳۳۴	-۰/۰۲۴۹	-۰/۰۷۴۶	-۰/۰۶۸۳	۸
۰/۰۱۹۷	۰/۰۱۳۷	-۰/۰۰۳۹	-۰/۰۲۱۰	۰/۰۰۶۰	۰/۰۰۴۱	۹
-۰/۰۱۰۲	۰/۰۰۱۵	۰/۰۱۷۹	۰/۰۲۷۳	-۰/۰۲۴۱	۰/۰۳۲۲	۱۰
۰/۰۱۲۹	۰/۰۳۸۷	-۰/۰۳۷۶	۰/۰۱۳۲	-۰/۰۲۹۳	-۰/۰۵۴۶	۱۱
-۰/۰۸۴۲	-۰/۰۹۱۸	-۰/۰۰۰۵۳	-۰/۰۵۶۵	-۰/۰۰۰۵۵	۰/۰۲۹۹	۱۲
۰/۰۲۸۷	-۰/۰۱۴۵	-۰/۰۴۵۷	-۰/۰۳۵۶	-۰/۰۵۵۹	۰/۰۲۰۶	۱۳
-۰/۰۳۰۴	-۰/۰۳۶۹	-۰/۰۴۴۱	۰/۰۲۱۷	۰/۰۳۹۴	۰/۰۷۴۵	۱۴
•	•	•	•	•	•	۱۵

#### ادامه جدول ۳۴-۴

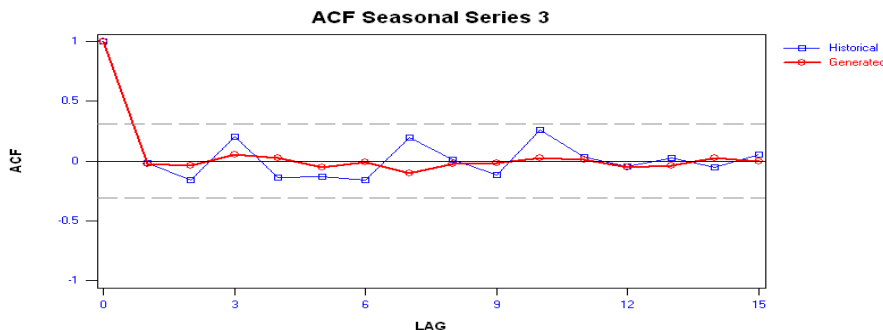
ACF(شهریور)	ACF(مرداد)	ACF(تیر)	ACF(خرداد)	ACF(اردیبهشت)	ACF(فروردین)	X
۱	۱	۱	۱	۱	۱	•
-۰/۰۱۲۶	-۰/۰۲۳۹	-۰/۰۲۵۴	-۰/۰۳۶۳	-۰/۰۳۷۰	-۰/۰۶۷۰	۱
-۰/۰۳۶۶	-۰/۰۱۶	-۰/۰۹۱۱	۰/۰۲۳۸	۰/۰۰۹۲	-۰/۰۲۸۲	۲
-۰/۰۲۴۵	۰/۰۵۶۵	-۰/۰۱۴۲	-۰/۰۵۷۱	-۰/۰۸۱۳	-۰/۰۲۰۱	۳
۰/۰۳۲۶	-۰/۰۲۰۲	۰/۰۱۴۶	۰/۰۱۷۰	-۰/۰۱۵۶	-۰/۰۹۷۵	۴
-۰/۱۱۵۵	-۰/۰۷۲۳	-۰/۱۳۵۷	-۰/۱۰۶۲	-۰/۰۷۲۵	-۰/۰۴۸۴	۵
-۰/۰۶۷۲	-۰/۰۵۵۸	-۰/۰۱۱۱	-۰/۰۴۶۳	-۰/۰۴۴۸	-۰/۰۱۵۸	۶
-۰/۰۳۴۱	-۰/۰۰۸	۰/۰۰۴۲	-۰/۰۳۶۵	-۰/۰۶۰۵	-۰/۰۲۸۱	۷
-۰/۰۳۵۱	-۰/۰۵۹۳	-۰/۰۲۵۸	-۰/۰۶۸۲	-۰/۰۶۱۴	-۰/۰۲۵۱	۸
-۰/۰۲۸۵	۰/۰۱۵۰	۰/۰۱۱۴	۰/۰۴۰۵	۰/۰۰۵۱۷	۰/۰۲۸۳	۹
-۰/۰۲۷۱	-۰/۰۳۹۶	-۰/۰۴۶۴	-۰/۰۰۲۵۷	-۰/۰۰۴۹	۰/۰۱۸۷	۱۰
۰/۰۱۳۸	-۰/۰۲۳۶	-۰/۰۵۱۹	-۰/۰۱۶۷	-۰/۰۱۸۸	-۰/۰۰۵۲۸	۱۱
۰/۰۱۲۹	-۰/۰۳۶۵	-۰/۰۰۸۱	-۰/۰۰۲۸۲	-۰/۰۰۴۴۲	-۰/۰۱۳۳	۱۲
۰/۰۰۳۲	۰/۰۱۱۸	۰/۰۱۰۶	۰/۰۰۳۱	۰/۰۰۵۰۳	۰/۰۱۳۴	۱۳
-۰/۰۰۷۸	-۰/۰۳۶۷	-۰/۰۴۱۸	-۰/۰۰۴۸۰	-۰/۰۰۲۹۱	-۰/۰۱۱۹	۱۴
•	•	•	•	•	•	۱۵



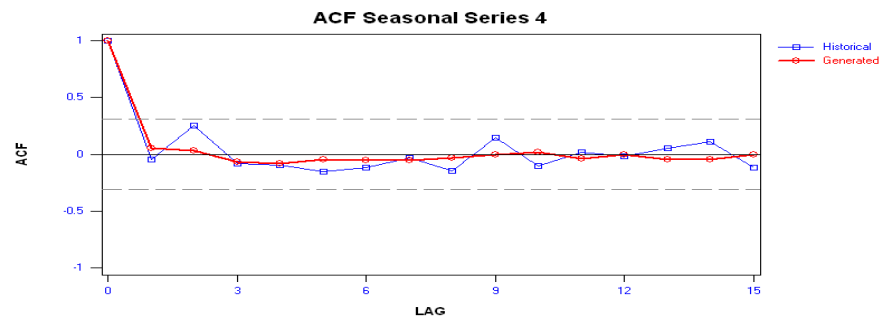
شکل ۴-۶۳-۴- مقایسه تابع خود همبستگی سری تولید شده با سری اولیه مهر ماه برای مدل PARMA(۱,۲)



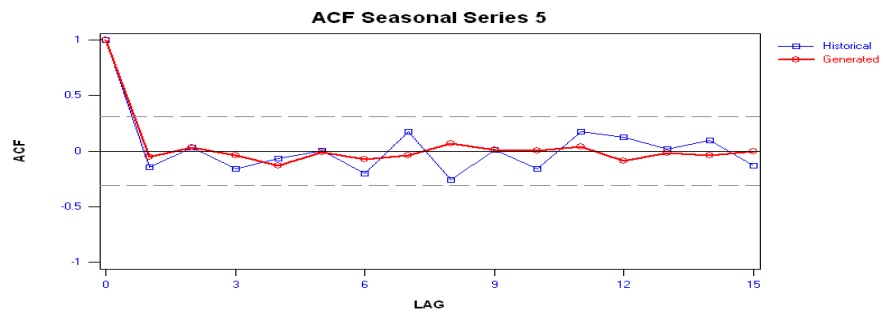
شکل ۴-۶۴-۴- مقایسه تابع خود همبستگی سری تولید شده با سری اولیه آبان ماه برای مدل PARMA(۱,۲)



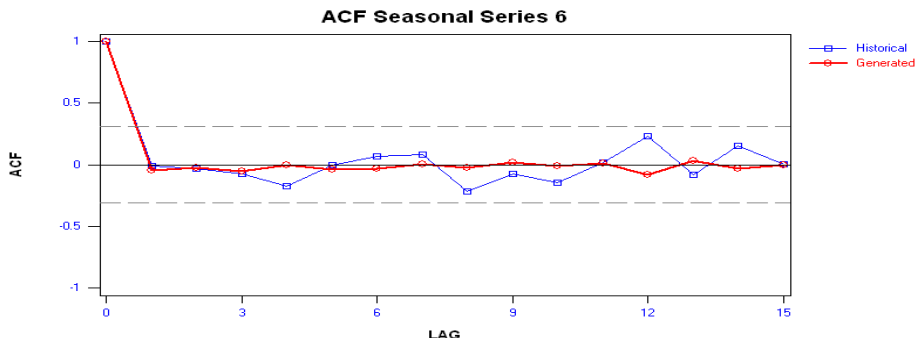
شکل ۴-۶۵- مقایسه تابع خود همبستگی سری تولید شده با سری اولیه آذر ماه برای مدل PARMA(۱,۲)



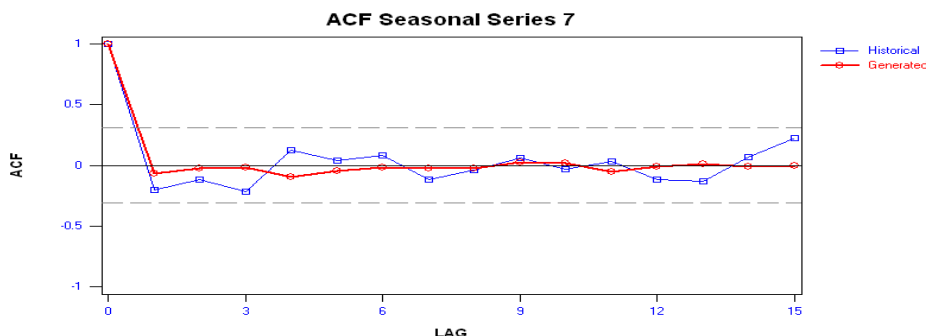
شکل ۴-۶۶- مقایسه تابع خود همبستگی سری تولید شده با سری اولیه دی ماه برای مدل PARMA(۱,۲)



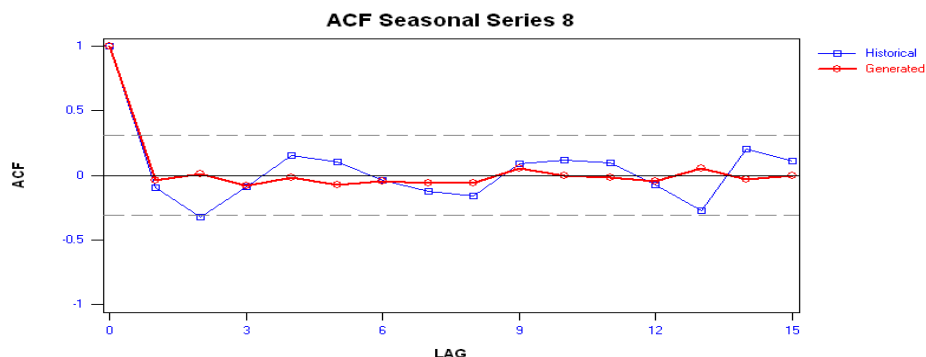
شکل ۴-۶۷- مقایسه تابع خود همبستگی سری تولید شده با سری اولیه بهمن ماه برای مدل PARMA(۱,۲)



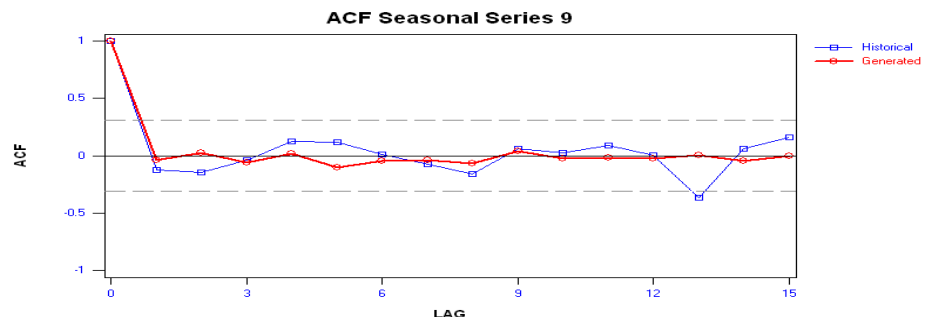
شکل ۴-۶۸- مقایسه تابع خود همبستگی سری تولید شده با سری اولیه اسفند ماه برای مدل PARMA(۱,۲)



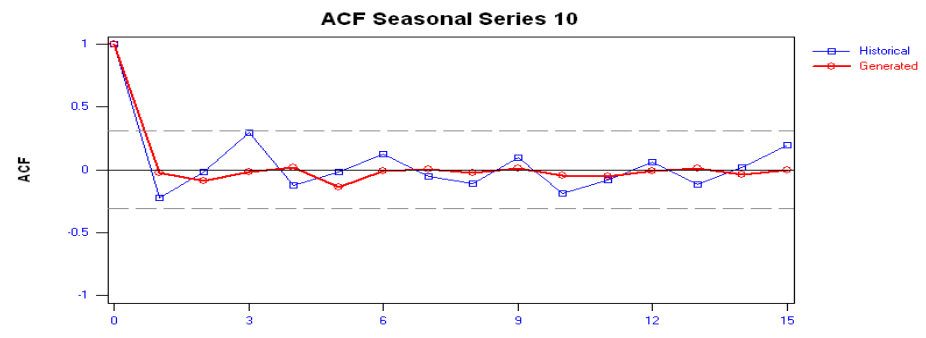
شکل ۴-۶۹- مقایسه تابع خود همبستگی سری تولید شده با سری اولیه فروردین ماه برای مدل PARMA(۱,۲)



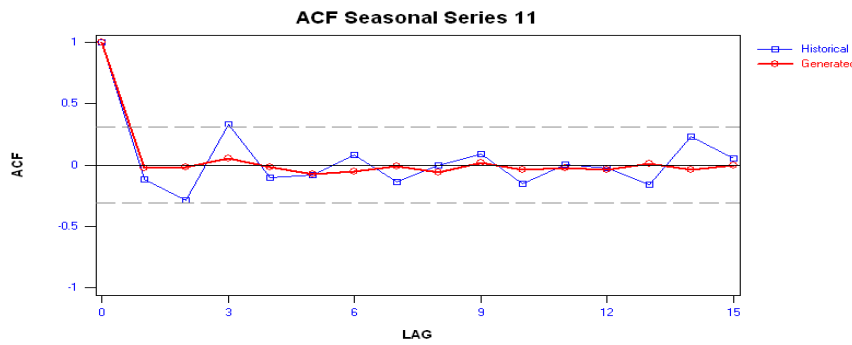
شکل ۴-۷۰- مقایسه تابع خود همبستگی سری تولید شده با سری اولیه اردیبهشت ماه برای مدل PARMA(۱,۲)



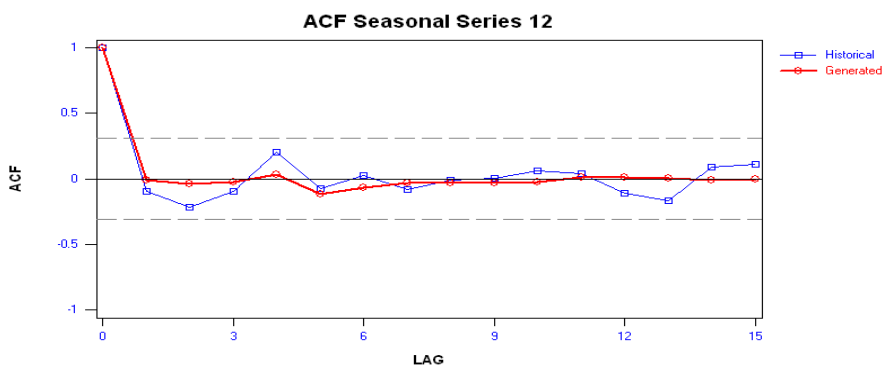
شکل ۴-۷۱- مقایسه تابع خود همبستگی سری تولید شده با سری اولیه خرداد ماه برای مدل PARMA(۱,۲)



شکل ۴-۷۲- مقایسه تابع خود همبستگی سری تولید شده با سری اولیه تیر ماه برای مدل PARMA(۱,۲)



شکل ۴-۷۳- مقایسه تابع خود همبستگی سری تولید شده با سری اولیه مرداد ماه برای مدل PARMA(۱,۲)



شکل ۴-۷۴- مقایسه تابع خود همبستگی سری تولید شده با سری اولیه مرداد ماه برای مدل PARMA(۱,۲)

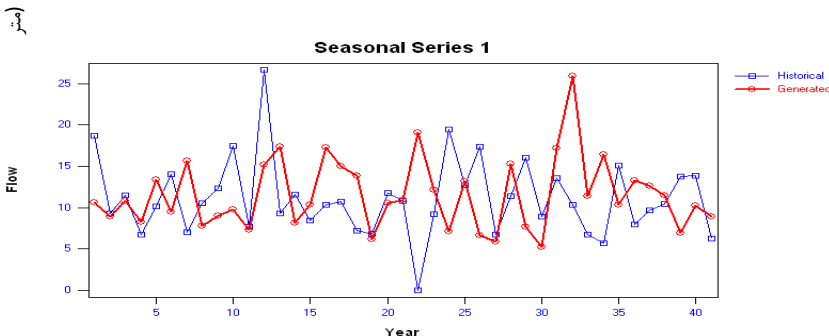
سری تولید شده توسط مدل ۱۲(۳۵-۴) در جدول (۱۰-۳۵) ارائه و در شکل‌های (۷۵-۴) تا (۸۶-۴) با سری اولیه مقایسه شده است.

جدول آمار دبی ماهانه تولید شده ایستگاه هیدرومتری ایندک توسعه مدل (۱) - ۳۵-۴ (پردازش مکب بر لایه)

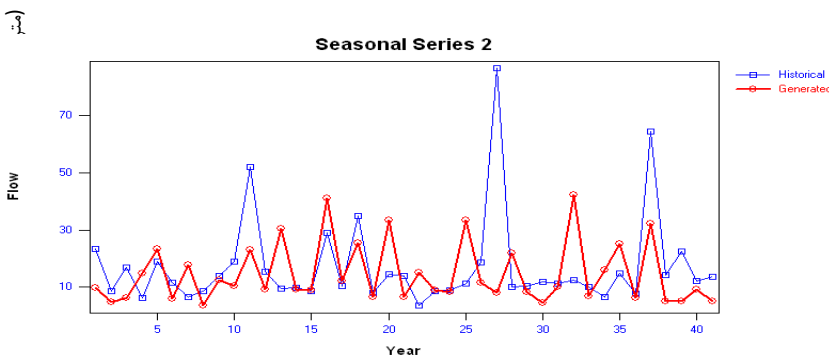
شهربر	مرداد	تیر	خرداد	شهریور	اسفند	دی	بهمن	آذر	آبان	مهر	سال آمی
۲۱/۴۶۲	۳۴/۱۷۲	۵۷/۹۷۷	۳۴/۰۴۳	۱۰/۴۱۷	۱۷۹/۳۱۵	۱۰/۸۲۸۸	۵۲/۲۰۷	۱۰/۸۲۸۸	۱۰/۴۱۷	۹/۷۶۳	۱۳۴۷-۴۸
۲۳/۱۹۹	۳۷/۲۸۱	۴۶/۹۹۹	۴۶/۹۹۹	۱۷۷/۴۲۹	۱۷۷/۸۶۳	۷۹/۵۸۱	۴۸/۱۷۳	۱۲۳۸۹	۴/۷۷۹	۸/۸۸۸	۱۳۴۸-۴۹
۲۳/۱۸۰	۳۷/۱۸۰	۴۸/۱۱۳۵	۴۸/۱۱۳۵	۱۰/۷۰۴۱	۷۳/۰۱۹	۶۶/۹۹۴	۱۰/۹۳۰	۶/۱۳۹	۸/۷۸۷	۱۳۴۹-۵۰	
۱۶/۴۱۰	۲۰/۹۷۵	۳۶/۱۴۰	۳۶/۱۴۰	۳/۱۵۷۱	۷۶/۵۷۲	۸۷/۱۱۱	۱۴/۷۰۹	۹/۱۶۱	۸/۲۴۹	۱۳۵۰-۵۱	
۲۱/۴۱۳	۳۹/۲۱۶	۴۱/۴۲۶	۴۱/۴۲۶	۴/۱۷۱۶	۴۹/۶۴۱	۸/۰۱۵۴۷	۴/۱۷۱۶	۴/۱۷۱۶	۱۳۵۱-۵۲	۱۳۵۱-۵۲	
۱۱/۵۸۱	۲۵/۱۹۳	۴۷/۹۸۳	۴۷/۹۸۳	۷۰/۸۸۸	۵/۷۹۷	۴۰/۱۸۳۴	۳۳/۱۹۰	۹/۱۸۸	۵/۷۹۷	۱۳۵۲-۵۳	
۱۴/۷۲۵	۳۷/۹۶۹	۴۰/۲۱۷۰۹	۴۰/۲۱۷۰۹	۱۰/۰۵۷۸	۱۰/۰۵۷۸	۲۰/۰۵۷۸	۱۰/۰۵۷۸	۱۰/۰۵۷۸	۱/۵۱۰	۱۳۵۳-۵۴	
۱۱/۵۸۱	۳۹/۱۱۲	۴۱/۲۱۷۰۹	۴۱/۲۱۷۰۹	۷۷/۱۸۹۳	۱۸/۸۸۸۳	۱/۷۷۷۱۷	۲/۳۳۳۶	۱۴۳۱۴۲	۱/۳۴۱۰	۱/۳۴۱۰	
۱۷/۵۲۴	۲۵/۱۹۳	۴۱/۱۷۱۶	۴۱/۱۷۱۶	۹/۱۰۴	۳/۵۷۱	۷/۱۸۱۰	۰/۰۵۷۲	۸/۱۰۴	۷/۱۸۱۰	۱۳۵۴-۵۵	
۱۲/۱۱۱	۲۵/۱۹۳	۴۱/۱۷۱۶	۴۱/۱۷۱۶	۵/۷۱۷۳۱	۴۹/۱۳۸۰	۵/۷۱۷۳۱	۴/۷۷۹	۴/۷۷۹	۳/۱۹۷۱	۱۳۵۵-۵۶	
۱۲/۱۱۱	۲۵/۱۹۳	۴۱/۱۷۱۶	۴۱/۱۷۱۶	۷۰/۰۵۲	۹۰/۰۵۰۳	۱۶/۰۵۱۴	۸/۴۶۵	۸/۴۶۵	۱/۰/۴۳۹	۱۳۵۶-۵۷	
۱۲/۳۱۴	۲۶/۱۹۴۳	۴۱/۱۷۱۶	۴۱/۱۷۱۶	۵/۷۱۷۳۱	۸۰/۰۳۶۴	۵/۷۱۷۳۱	۴/۷۷۶	۴/۷۷۶	۱/۰/۴۳۹	۱۳۵۷-۵۸	
۱۳/۱۹۴	۲۱/۱۷۰۶	۳۰/۰۱۷۳	۳۰/۰۱۷۳	۷/۱۲۶۶	۲/۱۲۴۴	۸/۱۲۴۴	۱۰/۰۷۷۳	۱۰/۰۷۷۳	۱/۰/۰۱۸۱	۱۳۵۸-۵۹	
۱۰/۰۳۰۲	۱۳/۱۹۴۹	۳۰/۰۱۷۳	۳۰/۰۱۷۳	۷/۱۱۷۸	۱/۰/۰۷۷	۱/۰/۰۷۷	۱/۰/۰۷۷	۱/۰/۰۷۷	۱/۰/۰۱۸۱	۱۳۵۹-۶۰	
۹/۳۰۲	۱۳/۱۹۴۹	۳۰/۰۱۷۳	۳۰/۰۱۷۳	۷/۱۱۷۸	۱/۰/۰۷۷	۱/۰/۰۷۷	۱/۰/۰۷۷	۱/۰/۰۷۷	۱/۰/۰۱۸۱	۱۳۶۰-۶۱	
۹/۳۰۲	۱۳/۱۹۴۹	۳۰/۰۱۷۳	۳۰/۰۱۷۳	۷/۱۱۷۸	۱/۰/۰۷۷	۱/۰/۰۷۷	۱/۰/۰۷۷	۱/۰/۰۷۷	۱/۰/۰۱۸۱	۱۳۶۱-۶۲	
۹/۳۰۲	۱۳/۱۹۴۹	۳۰/۰۱۷۳	۳۰/۰۱۷۳	۷/۱۱۷۸	۱/۰/۰۷۷	۱/۰/۰۷۷	۱/۰/۰۷۷	۱/۰/۰۷۷	۱/۰/۰۱۸۱	۱۳۶۲-۶۳	
۹/۷۳۷	۱۳/۱۹۴۹	۳۰/۰۱۷۳	۳۰/۰۱۷۳	۷/۱۱۷۸	۱/۰/۰۷۷	۱/۰/۰۷۷	۱/۰/۰۷۷	۱/۰/۰۷۷	۱/۰/۰۱۸۱	۱۳۶۳-۶۴	
۹/۷۳۷	۱۳/۱۹۴۹	۳۰/۰۱۷۳	۳۰/۰۱۷۳	۷/۱۱۷۸	۱/۰/۰۷۷	۱/۰/۰۷۷	۱/۰/۰۷۷	۱/۰/۰۷۷	۱/۰/۰۱۸۱	۱۳۶۴-۶۵	
۹/۷۳۷	۱۳/۱۹۴۹	۳۰/۰۱۷۳	۳۰/۰۱۷۳	۷/۱۱۷۸	۱/۰/۰۷۷	۱/۰/۰۷۷	۱/۰/۰۷۷	۱/۰/۰۷۷	۱/۰/۰۱۸۱	۱۳۶۵-۶۶	
۹/۷۳۷	۱۳/۱۹۴۹	۳۰/۰۱۷۳	۳۰/۰۱۷۳	۷/۱۱۷۸	۱/۰/۰۷۷	۱/۰/۰۷۷	۱/۰/۰۷۷	۱/۰/۰۷۷	۱/۰/۰۱۸۱	۱۳۶۶-۶۷	
۹/۷۳۷	۱۳/۱۹۴۹	۳۰/۰۱۷۳	۳۰/۰۱۷۳	۷/۱۱۷۸	۱/۰/۰۷۷	۱/۰/۰۷۷	۱/۰/۰۷۷	۱/۰/۰۷۷	۱/۰/۰۱۸۱	۱۳۶۷-۶۸	

۳۵-۴ جدول ادامه

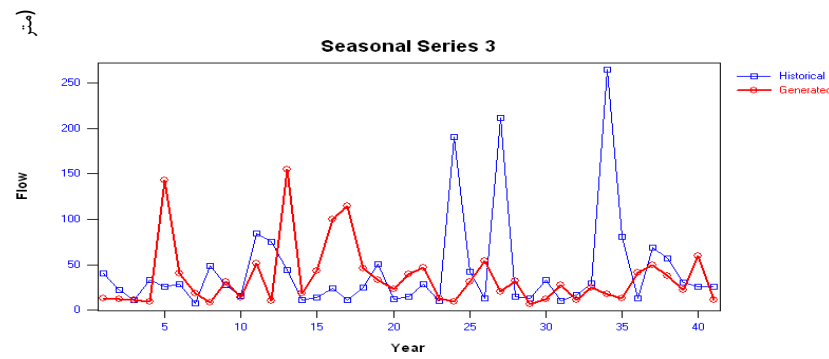
شماره	مرداد	تیر	خرداد	اسفند	فروردین	اردیبهشت	بهمن	دی	آذر	آبان	مهر	سال آیی
۱۱/۰۵۶۹	۲۳/۳۴۱	۲۴/۶۸۷	۴۶/۰۴۴	۶۲/۰۴۴	۱۱۹/۹۰۴	۱۸۸/۲۳۹	۴۶/۰۳۸	۵۷/۸۰۴	۴۶/۰۳۸	۱۹/۰۵۸	۱۳۶۸-۶۹	
۱۱/۰۸۳۷	۲۲/۰۸۵	۲۳/۳۴۸	۴۶/۰۷۷	۳۱/۳۴۸	۱۹۲/۲۷۲	۷۹/۱۱۷۶	۱۲/۱۲۶	۸/۹۷۴	۱۳/۴۳۱	۸/۱۵۰۴	۱۲/۱۲۶	۱۳۶۹-۷۰
۱۰/۰۴۰۴	۱۰/۰۷۰۴۱	۱۰/۰۷۰۴۱	۱۴۷/۰۴۹	۱۰/۰۵۱۳۵	۱۲۵/۸۰۶	۱۱۰/۰۳۵۹	۴۱/۰۶۰۱	۳۵/۳۹۴	۱۴۷/۰۴۹	۱۰/۰۹۸۶	۷/۱۱۵۵	۱۳۷۰-۷۱
۱۰/۰۴۰۴	۱۰/۰۷۰۴۱	۱۰/۰۷۰۴۱	۱۴۷/۰۴۹	۱۰/۰۵۱۳۵	۱۲۵/۸۰۶	۱۱۰/۰۳۵۹	۴۱/۰۶۰۱	۳۵/۳۹۴	۱۴۷/۰۴۹	۱۰/۰۹۸۶	۷/۱۱۵۵	۱۳۷۱-۷۲
۱۳/۰۴۳۴	۲۱/۰۴۷۱	۲۰/۰۴۸۰	۹۲/۰۵۵۶	۱۳/۰۴۳۴	۲۶۶/۰۱۲	۲۰/۰۵۸۰	۹۲/۰۵۵۶	۱۳/۰۴۳۴	۷۶/۹۷۴	۴۶/۰۷۶۶	۲۱/۰۴۷۱	۱۳۷۲-۷۳
۱۳/۰۴۳۴	۲۰/۰۴۷۲	۱۷/۱۴۳۷	۱۱/۰۴۷۲	۱۳/۰۴۳۴	۲۸۳/۰۳۰	۱۷/۱۴۳۷	۸۶/۷۲۱	۱۷/۱۴۳۷	۳۳/۲۲۲	۲۰/۰۱۳۵	۳۴/۴۱۰	۱۳۷۳-۷۴
۱۳/۰۴۳۴	۱۰/۰۳۴۸	۱۰/۰۳۴۸	۱۲۰/۰۴۱۷	۱۳/۰۴۳۴	۱۶۱/۰۸۲۱	۱۲۰/۰۴۱۷	۱۱/۰۴۷۲	۱۷/۱۴۳۷	۳۳/۲۲۲	۲۰/۰۱۳۵	۳۴/۴۱۰	۱۳۷۴-۷۵
۱۳/۰۴۳۴	۱۰/۰۳۴۸	۱۰/۰۳۴۸	۱۲۰/۰۴۱۷	۱۳/۰۴۳۴	۱۶۱/۰۸۲۱	۱۲۰/۰۴۱۷	۱۱/۰۴۷۲	۱۷/۱۴۳۷	۳۳/۲۲۲	۲۰/۰۱۳۵	۳۴/۴۱۰	۱۳۷۵-۷۶
۱۳/۰۴۳۴	۱۰/۰۳۴۸	۱۰/۰۳۴۸	۱۲۰/۰۴۱۷	۱۳/۰۴۳۴	۱۶۱/۰۸۲۱	۱۲۰/۰۴۱۷	۱۱/۰۴۷۲	۱۷/۱۴۳۷	۳۳/۲۲۲	۲۰/۰۱۳۵	۳۴/۴۱۰	۱۳۷۶-۷۷
۱۳/۰۴۳۴	۱۰/۰۳۴۸	۱۰/۰۳۴۸	۱۲۰/۰۴۱۷	۱۳/۰۴۳۴	۱۶۱/۰۸۲۱	۱۲۰/۰۴۱۷	۱۱/۰۴۷۲	۱۷/۱۴۳۷	۳۳/۲۲۲	۲۰/۰۱۳۵	۳۴/۴۱۰	۱۳۷۷-۷۸
۱۳/۰۴۳۴	۱۰/۰۳۴۸	۱۰/۰۳۴۸	۱۲۰/۰۴۱۷	۱۳/۰۴۳۴	۱۶۱/۰۸۲۱	۱۲۰/۰۴۱۷	۱۱/۰۴۷۲	۱۷/۱۴۳۷	۳۳/۲۲۲	۲۰/۰۱۳۵	۳۴/۴۱۰	۱۳۷۸-۷۹
۱۳/۰۴۳۴	۱۰/۰۳۴۸	۱۰/۰۳۴۸	۱۲۰/۰۴۱۷	۱۳/۰۴۳۴	۱۶۱/۰۸۲۱	۱۲۰/۰۴۱۷	۱۱/۰۴۷۲	۱۷/۱۴۳۷	۳۳/۲۲۲	۲۰/۰۱۳۵	۳۴/۴۱۰	۱۳۷۹-۷۹
۱۳/۰۴۳۴	۱۰/۰۳۴۸	۱۰/۰۳۴۸	۱۲۰/۰۴۱۷	۱۳/۰۴۳۴	۱۶۱/۰۸۲۱	۱۲۰/۰۴۱۷	۱۱/۰۴۷۲	۱۷/۱۴۳۷	۳۳/۲۲۲	۲۰/۰۱۳۵	۳۴/۴۱۰	۱۳۸۰-۸۰
۱۳/۰۴۳۴	۱۰/۰۳۴۸	۱۰/۰۳۴۸	۱۲۰/۰۴۱۷	۱۳/۰۴۳۴	۱۶۱/۰۸۲۱	۱۲۰/۰۴۱۷	۱۱/۰۴۷۲	۱۷/۱۴۳۷	۳۳/۲۲۲	۲۰/۰۱۳۵	۳۴/۴۱۰	۱۳۸۱-۸۱
۱۳/۰۴۳۴	۱۰/۰۳۴۸	۱۰/۰۳۴۸	۱۲۰/۰۴۱۷	۱۳/۰۴۳۴	۱۶۱/۰۸۲۱	۱۲۰/۰۴۱۷	۱۱/۰۴۷۲	۱۷/۱۴۳۷	۳۳/۲۲۲	۲۰/۰۱۳۵	۳۴/۴۱۰	۱۳۸۲-۸۲
۱۳/۰۴۳۴	۱۰/۰۳۴۸	۱۰/۰۳۴۸	۱۲۰/۰۴۱۷	۱۳/۰۴۳۴	۱۶۱/۰۸۲۱	۱۲۰/۰۴۱۷	۱۱/۰۴۷۲	۱۷/۱۴۳۷	۳۳/۲۲۲	۲۰/۰۱۳۵	۳۴/۴۱۰	۱۳۸۳-۸۴
۱۳/۰۴۳۴	۱۰/۰۳۴۸	۱۰/۰۳۴۸	۱۲۰/۰۴۱۷	۱۳/۰۴۳۴	۱۶۱/۰۸۲۱	۱۲۰/۰۴۱۷	۱۱/۰۴۷۲	۱۷/۱۴۳۷	۳۳/۲۲۲	۲۰/۰۱۳۵	۳۴/۴۱۰	۱۳۸۴-۸۵
۱۳/۰۴۳۴	۱۰/۰۳۴۸	۱۰/۰۳۴۸	۱۲۰/۰۴۱۷	۱۳/۰۴۳۴	۱۶۱/۰۸۲۱	۱۲۰/۰۴۱۷	۱۱/۰۴۷۲	۱۷/۱۴۳۷	۳۳/۲۲۲	۲۰/۰۱۳۵	۳۴/۴۱۰	۱۳۸۵-۸۶
۱۳/۰۴۳۴	۱۰/۰۳۴۸	۱۰/۰۳۴۸	۱۲۰/۰۴۱۷	۱۳/۰۴۳۴	۱۶۱/۰۸۲۱	۱۲۰/۰۴۱۷	۱۱/۰۴۷۲	۱۷/۱۴۳۷	۳۳/۲۲۲	۲۰/۰۱۳۵	۳۴/۴۱۰	۱۳۸۶-۸۷
۱۳/۰۴۳۴	۱۰/۰۳۴۸	۱۰/۰۳۴۸	۱۲۰/۰۴۱۷	۱۳/۰۴۳۴	۱۶۱/۰۸۲۱	۱۲۰/۰۴۱۷	۱۱/۰۴۷۲	۱۷/۱۴۳۷	۳۳/۲۲۲	۲۰/۰۱۳۵	۳۴/۴۱۰	۱۳۸۷-۸۸
۱۳/۰۴۳۴	۱۰/۰۳۴۸	۱۰/۰۳۴۸	۱۲۰/۰۴۱۷	۱۳/۰۴۳۴	۱۶۱/۰۸۲۱	۱۲۰/۰۴۱۷	۱۱/۰۴۷۲	۱۷/۱۴۳۷	۳۳/۲۲۲	۲۰/۰۱۳۵	۳۴/۴۱۰	۱۳۸۸-۸۸



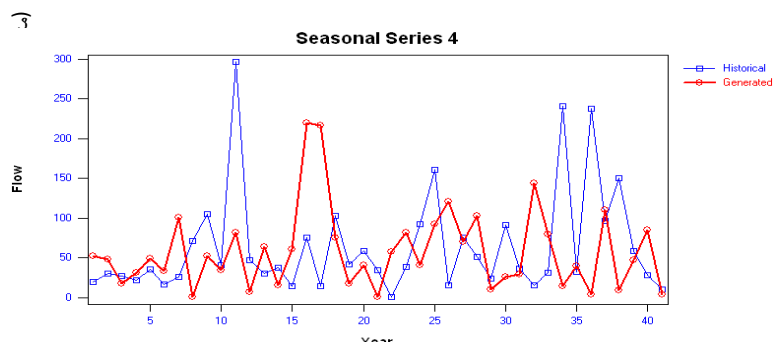
شکل ۷۵-۴- مقایسه سری تولید شده توسط مدل PARMA(۱,۲) با سری اولیه مهر ماه



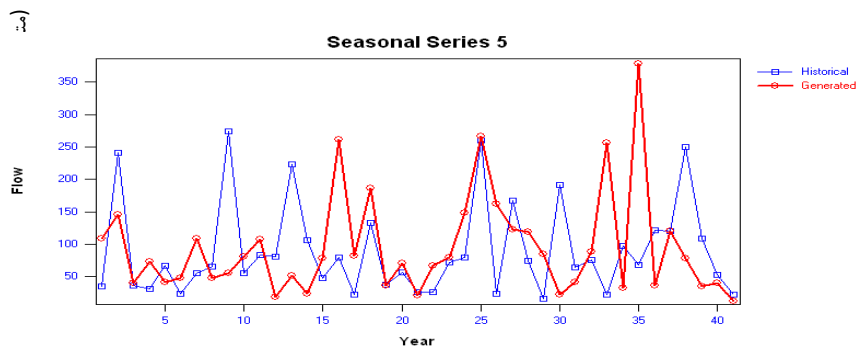
شکل ۷۶-۴- مقایسه سری تولید شده توسط مدل PARMA(۱,۲) با سری اولیه آبان ماه



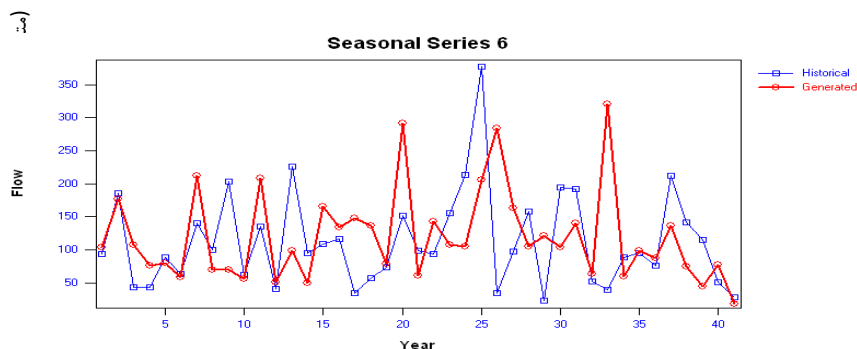
شکل ۷۷-۴- مقایسه سری تولید شده توسط مدل PARMA(۱,۲) با سری اولیه آذر ماه



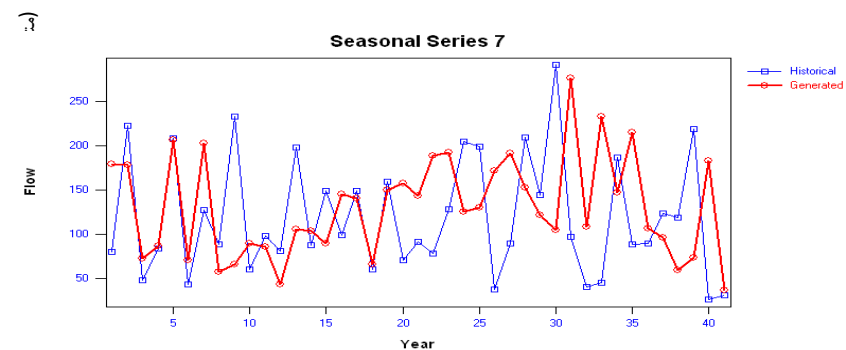
شکل ۷۸-۴- مقایسه سری تولید شده توسط مدل PARMA(۱,۲) با سری اولیه دی ماه



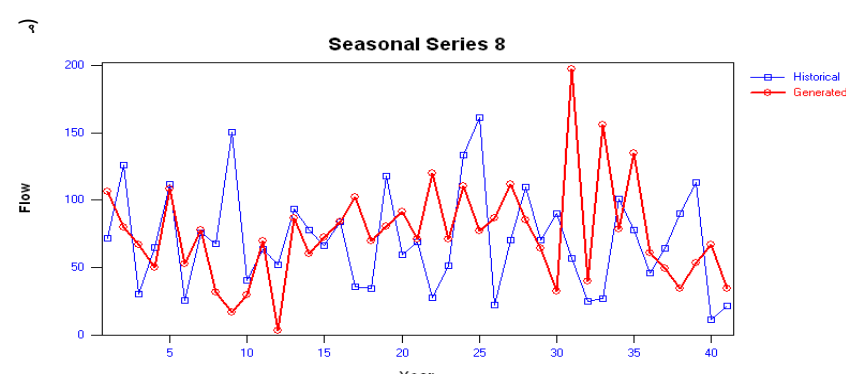
شکل ۴-۷۹- مقایسه سری تولید شده توسط مدل (۱,۲) PARMA با سری اولیه بهمن ماه



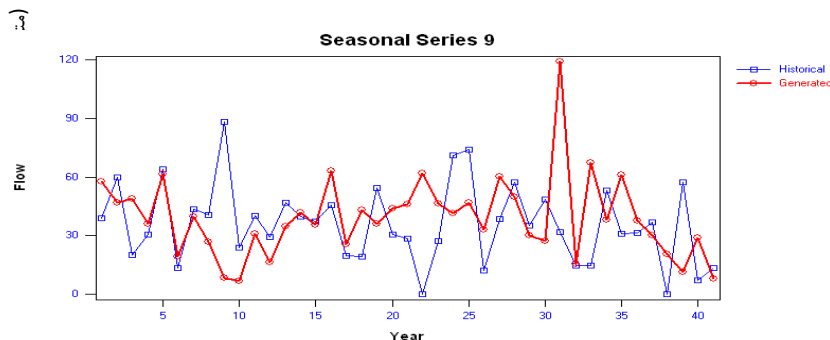
شکل ۴-۸۰- مقایسه سری تولید شده توسط مدل (۱,۲) PARMA با سری اولیه اسفند ماه



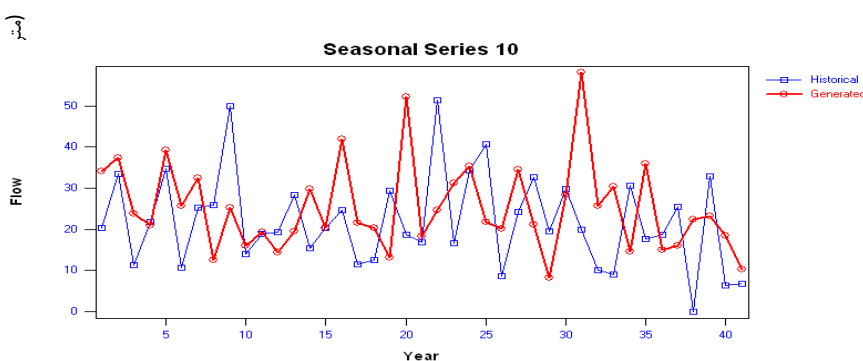
شکل ۴-۸۱- مقایسه سری تولید شده توسط مدل (۱,۲) PARMA با سری اولیه فروردین ماه



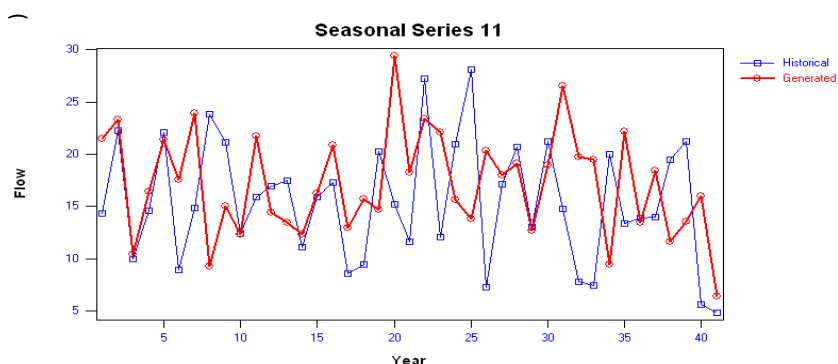
شکل ۴-۸۲- مقایسه سری تولید شده توسط مدل (۱,۲) PARMA با سری اولیه اردیبهشت ماه



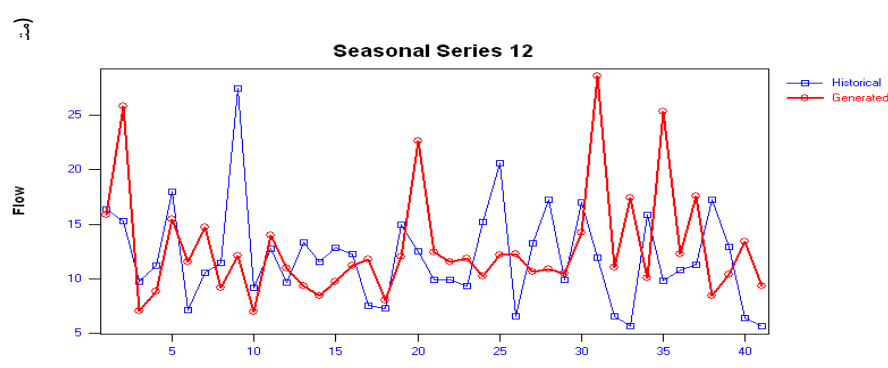
شکل ۴-۸۳- مقایسه سری تولید شده توسط مدل (۱,۲) PARMA با سری اولیه خرداد ماه



شکل ۴-۸۴- مقایسه سری تولید شده توسط مدل (۱,۲) PARMA با سری اولیه تیر ماه



شکل ۴-۸۵- مقایسه سری تولید شده توسط مدل (۱,۲) PARMA با سری اولیه مرداد ماه



شکل ۴-۸۶- مقایسه سری تولید شده توسط مدل (۱,۲) PARMA با سری اولیه شهریور ماه

## ب- مدل سازی اتورگرسیو تناوبی چند متغیره

با توجه به توابع خود همبستگی و خود همبستگی جزئی ماههای مهر تا شهریور که مقدار این توابع برای تأخیرهای اولیه در تمام این توابع بین حدود اعتماد قرار دارد، مرتبه مدل یعنی مقدار  $p$  برابر یک در نظر گرفته می‌شود اما برای انتخاب بهترین مدل، مدل‌های (۱) MPAR(۲) و MPAR(۳) به داده‌های ماهانه استاندارد شده برازش داده شدند و در نهایت مدل بهتر با توجه به معیار اطلاعاتی آکائیک و شوارز انتخاب شد. برای محاسبه پارامترهای این مدل‌ها فقط روش گشتاورها در اختیار بود. پارامترهای محاسبه شده در جداول (۳۶-۴)، (۳۷-۴) و (۳۸-۴) ارائه شده‌اند.

### انتخاب مدل مناسب:

با توجه به جداول (۳۶-۴)، (۳۷-۴) و (۳۸-۴) قابل مشاهده است که مقدار معیارهای اطلاعاتی آکائیک و شوارز مدل (۱) MPAR نسبت به مدل‌های (۲) و (۳) MPAR کمتر بوده و این مدل به عنوان مدل مناسب برای تولید سری جدید در نظر گرفته شده است.

جدول ۳۶-۴- پارامترهای مدل (۱) MPAR برای داده‌های ماهانه ایستگاه هیدرومتری ایدنک

ماه	میانگین	واریانس	معیار اطلاعاتی آکائیک	معیار اطلاعاتی شوارز	پارامتر اتورگرسیو $\varphi_1$
مهر	۳/۴۰۲۴	۰/۰۲۱۵	۲۷/۶۹۴	۲۷/۰۹۲	۰/۵۹۱
آبان	۲/۳۳۸۹	۰/۶۰۵۹	۴۱/۵۵۵	۴۰/۹۵۳	۰/۲۹۶
آذر	۲/۹۸۸۶	۱/۲۵۷۶	۴۲/۴۲۲	۴۱/۸۲	۰/۲۶۱
دی	۳/۹۰۴۷	۰/۶۴۷۵	۳۷/۲۷	۳۶/۶۶۸	۰/۴۲۲
بهمن	۴/۲۰۵۹	۰/۵۹۷۷	۲۲/۲۱	۲۱/۶۰۸	۰/۶۵۶
اسفند	۴/۵۲۶۵	۰/۴۱۰۴	۱۵/۸۹۳	۱۵/۲۹۱	۰/۷۱۵
فروردین	۴/۷۷۴۴	۰/۲۵۶۶	۲۴/۳۹۷	۲۳/۷۹۵	۰/۶۳۲
اردیبهشت	۴/۹۴۹۳	۰/۰۶۱۷	-۱۳/۳۸۲	-۱۳/۹۸۴	۰/۸۷۲
خرداد	۰/۰۰۰۲	۰/۹۹۴۲	-۱۴/۸۸۵	-۱۵/۴۸۷	۰/۸۷۷
تیر	۴/۰۱۷۲	۰/۰۳۷۴	۱۱/۸۰۶	۱۱/۲۰۴	۰/۷۴۷
مرداد	۰/۰۰۰۰۳	۰/۹۹۸۲	-۰/۲۸۹	-۰/۸۹۱	۰/۸۱۹
شهریور	۲/۴۲۷۴	۰/۱۲۶۱	-۰/۱۷۱	-۰/۷۷۴	۰/۸۱۸
میانگین	-	-	۱۶/۲۱	۱۵/۶۰۷	-

جدول ۴-۳۷- پارامترهای مدل (۲) برای داده‌های ماهانه ایستگاه هیدرومتری ایدنک

پارامتر اتورگرسیو $\Phi_2$	پارامتر اتورگرسیو $\Phi_1$	معیار اطلاعاتی شوارز	معیار اطلاعاتی آکائیک	واریانس	میانگین	ماه
-۰/۲۰۲	-۰/۴۱۳	۳۱/۵۳۴	۳۰/۷۵۵	۲۰/۸۵۸	۱۱/۰۹۳	مهر
-۰/۱۳۳	-۰/۰۱۵	۴۷/۷۷۴	۴۶/۹۹۶	۲۵۴/۰۷۸	۱۷/۱۰۳	آبان
-۰/۰۰۷	-۰/۳۷۱	۴۲/۳۷۸	۴۱/۵۹۹	۲۹۶۴/۶۸	۴۴/۰۹۹	آذر
-۰/۱۱۱	-۰/۴۱۸	۳۸/۱۳۸	۳۷/۳۶	۴۳۰۷/۰۱	۶۴/۲۳۶	دی
-۰/۰۲۷	-۰/۴۲۱	۴۰/۵۰۷	۳۹/۷۲۸	۵۰/۸۹/۵۳	۸۹/۹۱۱	بهمن
-۰/۰۳۱	-۰/۶۷۵	۲۱/۹۷۹	۲۱/۲	۵۰/۱۴/۳۲	۱۲/۲۷۱	اسفند
-۰/۲۶۴	-۱/۴۳۰	۲۶/۶۸	۲۵/۸۹	۴۲۶۴/۲۲	۱۱۹/۱۲۲	فروردين
-۰/۲۹۹	-۰/۶۴۶	-۷/۶۵۹	-۸/۴۳۷	۱۳۲۷/۶	۷۰/۴۱۲	اردیبهشت
-۰/۱۳۸	-۰/۷۸۵	-۲۱/۰۹۴	-۲۱/۸۷۲	۳۸۹/۷۸۹	۳۵/۸۷۷	خرداد
-۰/۱۹۸	-۰/۵۵۱	۱۶/۵۲۹	۱۵/۷۵	۱۲۳/۳۲۱	۲۱/۹۱۶	تیر
-۰/۰۴۷	-۰/۷۹۹	-۰/۰۵۴۳	-۱/۳۲۲	۳۱/۸۶۱	۱۵/۴۸۰	مرداد
-۰/۱۹۹	-۰/۵۸۵	۱۳/۱۸۸	۱۲/۴۱	۱۹/۱۷۱	۱۲/۰۶۳	شهریور
-	-	۲۰/۷۸۳	۲۰/۰۰۴	-	-	میانگین

جدول ۴-۳۸- پارامترهای مدل (۳) برای داده‌های ماهانه ایستگاه هیدرومتری ایدنک

پارامتر اتورگرسیو $\Phi_3$	پارامتر اتورگرسیو $\Phi_2$	پارامتر اتورگرسیو $\Phi_1$	معیار اطلاعاتی شوارز	معیار اطلاعاتی آکائیک	واریانس	میانگین	ماه
-۰/۱۳۸	-۰/۳۰۳	-۰/۴۳۲	۳۴/۸۹۷	۳۲/۸۶۷	۲۰/۸۵۸	۱۱/۰۹۳	مهر
-۰/۲۰۰	-۰/۰۰۱	-۰/۴۱۷	۵۰/۷۷۳	۴۸/۷۴۴	۲۵۴/۰۷۸	۱۷/۱۰۳	آبان
-۰/۴۹۵	-۰/۲۸۴	-۰/۳۲۵	۳۷/۴۸۱	۳۵/۳۵۱	۲۹۶۴/۶۸	۴۴/۰۹۹	آذر
-۰/۱۵۱	-۰/۱۰۱	-۰/۴۱۹	۴۰/۶۳۵	۳۸/۶۰۶	۴۳۰۷/۰۱	۶۴/۲۳۶	دی
-۰/۰۶۶	-۰/۰۴۸	-۰/۴۲۲	۴۴/۰۳۴	۴۲/۰۰۴	۵۰/۸۹/۵۳	۸۹/۹۱۱	بهمن
-۰/۰۲۲	-۰/۰۴۱	-۰/۶۷۵	۲۵/۶۶۱	۲۳/۶۳۱	۵۰/۱۴/۳۲	۱۲/۲۷۱	اسفند
-۰/۰۳۲	-۰/۲۷۶	-۰/۴۳۲	۳۰/۳۲۱	۲۸/۲۹۲	۴۲۶۴/۲۲	۱۱۹/۱۲۲	فروردين
-۰/۰۹۴	-۰/۲۴۷	-۰/۶۲۶	-۴/۶۶	-۶/۶۹	۱۳۲۷/۶	۷۰/۴۱۲	اردیبهشت
-۰/۰۳۴	-۰/۱۴۱	-۰/۸۰۶	-۱۷/۵۱۷	-۱۹/۵۴۷	۳۸۹/۷۸۹	۳۵/۸۷۷	خرداد
-۰/۲۷۱	-۰/۰۲۸	-۰/۴۹۰	۱۸/۲۲	۱۶/۱۹۱	۱۲۳/۳۲۱	۲۱/۹۱۶	تیر
-۰/۸۸۴	-۰/۶۹۷	-۰/۷۲۸	-۲۳/۷۶۴	-۲۵/۷۹۴	۳۱/۸۶۱	۱۵/۴۸۰	مرداد
-۰/۶۰۰	-۰/۲۰۲	-۰/۵۴۱	-۳/۷۵۵	-۵/۷۸۴	۱۹/۱۷۱	۱۲/۰۶۳	شهریور
-	-	-	۱۹/۳۵۲	۱۷/۳۲۲	-	-	میانگین

خصوصیات آماری پایه سری زمانی اولیه و تولید شده توسط مدل (۱) MPAR در جدول (۳۹-۴) با هم مقایسه شده‌اند. نتایج این جدول به دلیل نزدیک بودن خصوصیات آماری پایه سری تولید شده به سری اولیه قابل قبول می‌باشد.

جدول ۳۹-۴- مقایسه خصوصیات آماری پایه سری تولید شده با سری اولیه برای داده‌های ماهانه و مدل (۱) MPAR

ماه	سری	میانگین	انحراف معیار	ضریب تغییرات	چولگی	حداکثر	حداقل	ACF(۱)	ACF(۲)
مهر	تاریخی	۱۱/۰۹	۴/۵۶۷	۰/۴۱۱۷	۰/۸۶۸	۲۶/۶۸۰	۰	-۰/۱۵۱	-۰/۰۱۷
	تولیدی	۱۰/۸۵۰	۴/۲۴۸	۰/۳۸۸	۰/۲۳۰	۲۱/۴۸۰	۲/۰۵۸	-۰/۰۱۷	-۰/۰۱۱
	تاریخی	۱۷/۱	۱۵/۹۴	۰/۹۳۲	۲/۸۹۲	۸۶/۶۸	۳/۵۵۲	-۰/۰۶۱۲	-۰/۰۰۶۴
	تولیدی	۱۵/۵۹	۱۱/۴	۰/۷۱۷	۲/۱۹۹	۴/۵۲۱	۶۱/۴۵	-۰/۰۱۸	-۰/۰۱۱
آبان	تاریخی	۴۴/۱	۵۴/۴۵	۱/۲۲۵	۲/۷۴۸	۲۶۴/۸	۷/۴۵	-۰/۰۱۴۷	-۰/۱۵۶۶
	تولیدی	۳۹/۶۶	۴۵/۷	۱/۰۱۱	۲/۲۷۱	۷/۸۸۸	۲۱۴/۳	-۰/۰۶۲	-۰/۰۱۸۸
دی	تاریخی	۶۴/۲۴	۶۵/۶۳	۱/۰۲۲	۲/۰۱۷	۲۹۶/۶	۰/۶۸	-۰/۰۴۲۸	-۰/۲۵۱۷
	تولیدی	۶۳/۹۷	۶۱/۳۸	۰/۹۰۸	۲/۰۶	۳۰۳/۱	۵/۳۲۳	-۰/۰۸۵	-۰/۰۲۸
	تاریخی	۸۹/۹۱	۷۱/۳۴	۰/۷۹۳۵	۱/۲۹۶	۲۷۳/۹	۱۵/۱۸	-۰/۱۴۴۵	-۰/۰۳۰۲
	تولیدی	۹۰/۴۷	۷۳/۶	۰/۷۸۲	۲/۰۵۴	۳۶۵/۷	۱۷/۷۳	-۰/۰۲۵	-۰/۰۱۱
بهمن	تاریخی	۱۱۲/۳	۷۰/۸۱	۰/۶۳۰۷	۱/۳۷	۳۷۷/۲	۲۲/۲	-۰/۰۱۲۲	-۰/۰۲۹۷
	تولیدی	۱۱۵/۲	۸۳/۵۵	۰/۶۹۲	۱/۶۵۹	۴۰۶/۷	۲۳/۱۲	-۰/۰۱۱	-۰/۰۲۱
	تاریخی	۱۱۹/۱	۶۵/۳	۰/۵۴۸۲	۰/۶۵۵	۲۹۱/۱	۲۶/۴۴	-۰/۰۲۰۳۷	-۰/۱۱۵۴
	تولیدی	۱۲۳/۶	۸۱/۰۵	۰/۶۲۶	۱/۶۶۱	۴۱۴/۸	۲۲/۶۸	-۰/۰۱۰۶	-۰/۰۶۱
اردیبهشت	تاریخی	۷۰/۴۱	۳۶/۴۴	۰/۵۱۷۵	۰/۵۳۱۱	۱۶۱/۱	۱۱/۰۸	-۰/۰۹۳۲	-۰/۳۲۶۹
	تولیدی	۷۱/۴۹	۳۸/۰۷	۰/۵۳۳	۰/۸۴۶	۱۸۶	۵/۲۸۳	-۰/۱۱۱۵	-۰/۰۶۲
	تاریخی	۳۵/۸۸	۱۹/۷۴	۰/۵۵۰۳	۰/۴۱۰۱	۸۸/۳۴	۰	-۰/۱۲۱۶	-۰/۱۴۲۵
	تولیدی	۳۵/۷۳	۱۹/۳۷	۰/۵۴۴	۰/۳۷۹	۸۶/۸۶	۴/۳۱۶	-۰/۰۹۸	-۰/۰۸۴
خرداد	تاریخی	۲۱/۹۲	۱۱/۱۱	۰/۵۰۶۷	۰/۶۱۳۲	۵۱/۲۹	۰	-۰/۱۲۲۱	-۰/۰۱۹۵
	تولیدی	۲۱/۹۴	۱۰/۷۲	۰/۴۸۹	۰/۶۵۹	۵۲/۱۴	۲/۴۱۹	-۰/۰۸۴	-۰/۰۰۰۵
	تاریخی	۱۵/۴۸	۵/۶۴۵	۰/۳۶۴۶	۰/۱۴۹۱	۲۸/۰۸	۴/۹۰۳	-۰/۱۱۴۳	-۰/۲۸۸۹
	تولیدی	۱۵/۷۷	۵/۶۴۲	۰/۳۵۶	۰/۳۲۴	۳۰/۶۱	۳/۷۵۸	-۰/۰۴۲	-۰/۰۶۲
تیر	تاریخی	۱۲/۰۶	۴/۳۷۸	۰/۳۶۳	۱/۰۶۵	۲۷/۴۸	۵/۶۲۸	-۰/۰۹۵۹	-۰/۲۱۷۵
	تولیدی	۱۲/۲۵	۴/۵۵	۰/۳۶۶	۱/۰۷۵	۲۷/۱۴	۵/۱۱۱	-۰/۰۲۸	-۰/۰۱۹
مرداد	تاریخی	۱۵/۷۷	۵/۶۴۲	۰/۳۵۶	۰/۳۲۴	۳۰/۶۱	۳/۷۵۸	-۰/۰۴۲	-۰/۰۶۲
	تولیدی	۱۲/۰۶	۴/۳۷۸	۰/۳۶۳	۱/۰۶۵	۲۷/۴۸	۵/۶۲۸	-۰/۰۹۵۹	-۰/۲۸۸۹
شهریور	تاریخی	۱۲/۲۵	۴/۵۵	۰/۳۶۶	۱/۰۷۵	۵/۱۱۱	۱/۰۷۵	-۰/۰۲۸	-۰/۰۱۹
	تولیدی								

همچنین مقایسه حداکثر دوره خشکسالی، مقدار دبی خشکسالی، حداکثر دوره پر آبی و حداکثر دبی پر آبی و ظرفیت ذخیره سری تولید شده با سری اولیه در جدول (۴۰-۴) قابل مشاهده می‌باشد و نتایج قابل قبولی ارائه داده است.

تابع خود همبستگی سری تولید شده و سری اولیه در جدول (۴۱-۴) و شکل‌های (۸۷-۴) تا (۹۸-۴) با یکدیگر مقایسه شده‌اند. در این جدول X نشان دهنده تأخیر (Lag) می‌باشد. برای این مدل نیز توابع خود همبستگی سری تولید شده همانند سری اولیه در میان حدود اطمینان ۱۰٪ قرار گرفتند.

جدول ۴-۴- مقایسه اطلاعات ذخیره، خشکسالی و سال‌های پر آبی سری تولید شده با سری اولیه برای مدل

MPAR(1)

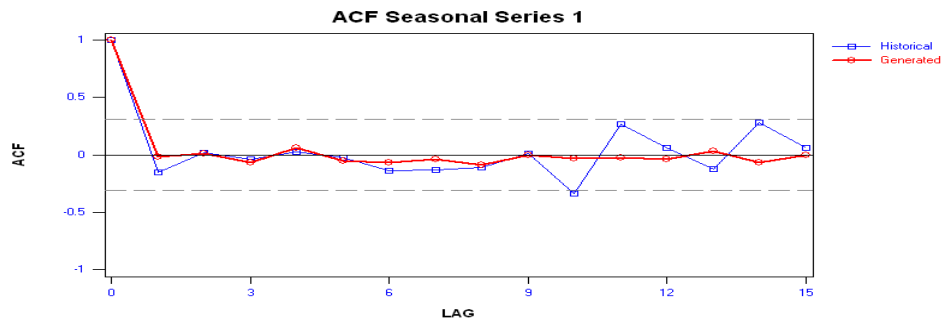
ردیف	تاریخ	تاریخ	تاریخ	تاریخ	تاریخ	تاریخ	سری	ماه
۲۵/۷۳	۱۶/۳	۳	۱۳/۲۷	۵	تاریخی			مهر
۳۲/۹۱	۱۸/۶۱	۴/۳	۱۹/۸۷	۵/۵	تولیدی			
۶۱/۱۹	۷۱/۱۲	۲	۵۸/۱۳	۹	تاریخی			آبان
۱۰۱	۵۰/۸	۳	۵۴/۷۷	۷/۷	تولیدی			
۳۷۴/۵	۲۵۷/۲	۳	۱۴۸	۷	تاریخی			آذر
۳۸۲/۵	۱۸۸/۶	۲/۸	۲۱۱/۶	۹/۱	تولیدی			
۳۴۲/۱	۲۹۲/۳	۳	۲۷۲/۶	۷	تاریخی			دی
۳۸۴/۳	۲۳۵/۶	۳/۴	۲۲۷/۷	۶/۹	تولیدی			
۳۲۱/۶	۲۲۹/۹	۴	۲۶۱/۲	۶	تاریخی			بهمن
۴۹۲	۳۶۹/۸	۳/۸	۳۱۴/۹	۷/۴	تولیدی			
۲۷۵/۱	۴۰۹/۴	۳	۲۱۰/۵	۵	تاریخی			اسفند
۴۶۳/۸	۳۸۸/۸	۳/۷	۳۱۲	۶/۶	تولیدی			
۲۴۲/۷	۲۸۶/۲	۳	۱۸۰/۸	۳	تاریخی			فروردین
۴۱۶/۵	۳۷۲/۵	۳/۸	۲۵۵/۱	۵/۵	تولیدی			
۱۴۱/۸	۱۳۵/۵	۲	۱۰۸/۴	۴	تاریخی			اردیبهشت
۲۴۱/۹	۱۵۱/۴	۳/۸	۱۶۹/۴	۵/۹	تولیدی			
۱۰۲/۹	۷۳/۳۹	۴	۵۶/۹۷	۴	تاریخی			خرداد
۱۳۳/۸	۸۲/۸۷	۵/۳	۷۴/۹۵	۴	تولیدی			
۶۳/۴۵	۳۵/۴۴	۳	۳۰/۶۵	۳	تاریخی			تیر
۷۸/۱۵	۴۷/۲۴	۴	۴۲/۱	۵	تولیدی			
۲۷/۶۸	۱۸/۰۹	۳	۲۰/۴	۳	تاریخی			مرداد
۲۵/۳	۲۷/۵۶	۴/۵	۱۸/۰۴	۴/۲	تولیدی			
۱۸/۷۵	۱۵/۴۲	۲	۱۲/۱۲	۳	تاریخی			شهریور
۳۰/۷۹	۲۱/۰۵	۴	۱۷/۵	۵/۹	تولیدی			

جدول ۴-۴- توابع خود همبستگی سری ماهانه تولید شده به صورت ماه به ماه برای مدل (I) MPAR(1)

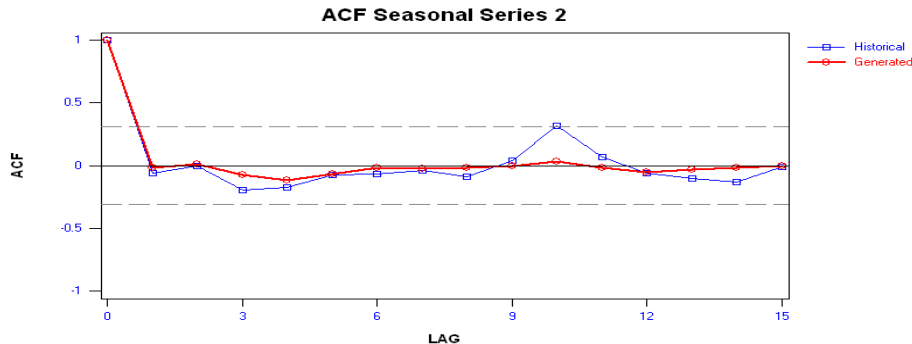
ACF(اسفند)	ACF(بهمن)	ACF(دی)	ACF(آذر)	ACF(ابان)	ACF(مهر)	X
۱	۱	۱	۱	۱	۱	•
-۰/۰۱۱	-۰/۰۲۵	-۰/۰۸۵	-۰/۰۶۲	-۰/۰۱۸	-۰/۰۱۷	۱
-۰/۰۲۱	-۰/۰۱۱	-۰/۰۲۸	-۰/۰۰۸	-۰/۰۱۱	-۰/۰۱۱	۲
-۰/۰۳۷	-۰/۰۱۴	-۰/۰۳۹	-۰/۰۲۲	-۰/۰۷۴	-۰/۰۶۷	۳
-۰/۰۲۶	-۰/۰۰۴۱	-۰/۰۳۵	-۰/۰۳۶	-۰/۰۱۲۱	-۰/۰۵۹	۴
-۰/۱۰۷	-۰/۰۶۴	-۰/۰۰۰۳	-۰/۰۱۰	-۰/۰۶۸	-۰/۰۵۴	۵
-۰/۰۵۷	-۰/۰۰۲۱	-۰/۰۰۲۵	-۰/۰۰۲۳	-۰/۰۱۷	-۰/۰۶۸	۶
-۰/۰۴۴	-۰/۰۰۳۱	-۰/۰۰۹۴	-۰/۰۰۴۳	-۰/۰۲۸	-۰/۰۴۰	۷
-۰/۰۰۳۰	-۰/۰۰۵	-۰/۰۰۹۴	-۰/۰۰۶۸	-۰/۰۱۸	-۰/۰۹۰	۸
-۰/۰۵۱	-۰/۰۱۲	-۰/۰۰۵۵	-۰/۰۰۲۵	-۰/۰۰۶	-۰/۰۰۳	۹
-۰/۰۲۳	-۰/۰۱۶	-۰/۰۰۱	-۰/۰۰۴	-۰/۰۲۸	-۰/۰۳۰	۱۰
-۰/۰۰۳۵	-۰/۰۰۵۲	-۰/۰۰۴۲	-۰/۰۰۲۷	-۰/۰۱۶	-۰/۰۰۴	۱۱
-۰/۰۰۱۲	-۰/۰۰۸	-۰/۰۰۳۵	-۰/۰۰۲۸	-۰/۰۰۵۳	-۰/۰۰۳۹	۱۲
-۰/۰۰۱۷	-۰/۰۰۷۱	-۰/۰۰۰۹	-۰/۰۰۲۸	-۰/۰۰۳۱	-۰/۰۰۲۸	۱۳
-۰/۰۰۰۳	-۰/۰۰۲۸	-۰/۰۰۳۲	-۰/۰۰۰۸	-۰/۰۰۱۸	-۰/۰۰۶۹	۱۴
•	•	•	•	•	•	۱۵

ادامه جدول ۴-۴

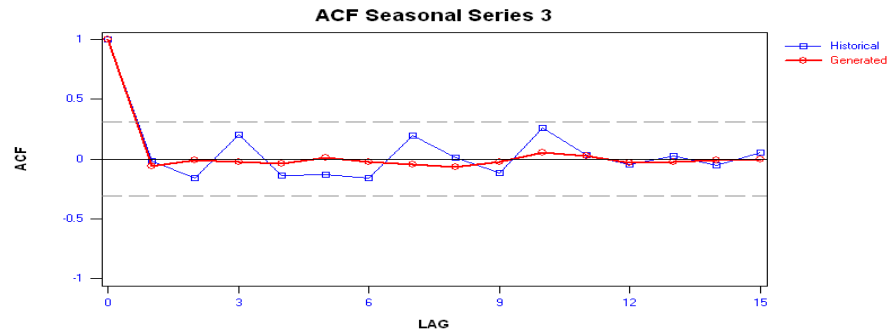
ACF(شهریور)	ACF(مرداد)	ACF(تیر)	ACF(خرداد)	ACF(اردیبهشت)	ACF(فروردین)	X
۱	۱	۱	۱	۱	۱	•
-۰/۰۲۸	-۰/۰۴۲	-۰/۰۸۴	-۰/۰۹۸	-۰/۱۱۵	-۰/۱۰۶	۱
-۰/۰۱۹	-۰/۰۶۲	-۰/۰۰۵	-۰/۰۸۴	-۰/۰۶۲	-۰/۰۶۱	۲
-۰/۰۰۳	-۰/۰۰۵	-۰/۰۷۹	-۰/۰۱۰	-۰/۰۰۹	-۰/۰۲۶	۳
-۰/۰۰۰۳	-۰/۰۱۱	-۰/۰۳۶	-۰/۰۲۸	-۰/۰۷۷	-۰/۰۲۵	۴
-۰/۰۱۱	-۰/۰۱۶	-۰/۰۰۳۰	-۰/۰۰۵۵	-۰/۰۱۲۱	-۰/۰۰۹۱	۵
-۰/۰۰۴۷	-۰/۰۳۵	-۰/۰۰۶۳	-۰/۰۰۷۸	-۰/۰۰۲۸	-۰/۰۱۲	۶
-۰/۱۳۱	-۰/۱۱۱	-۰/۰۰۴۳	-۰/۰۰۴۷	-۰/۰۰۵۱	-۰/۰۰۳۳	۷
-۰/۰۰۶۵	-۰/۰۰۷۴	-۰/۰۰۵۴	-۰/۰۱	-۰/۰۰۲۹	-۰/۰۰۶۱	۸
-۰/۰۰۴۸	-۰/۰۶۳	-۰/۰۰۲۴	-۰/۰۱۰	-۰/۰۰۳۲	-۰/۰۰۳۰	۹
-۰/۰۰۳۱	-۰/۰۰۰۳	-۰/۰۰۰۲	-۰/۰۰۶۲	-۰/۰۰۰۱	-۰/۰۰۴۸	۱۰
-۰/۰۰۰۷	-۰/۰۰۲۸	-۰/۰۰۳۸	-۰/۰۰۰۶	-۰/۰۰۰۹	-۰/۰۰۸۰	۱۱
-۰/۰۰۰۵	-۰/۰۰۱۰	-۰/۰۰۱۳	-۰/۰۰۰۹	-۰/۰۰۹۶	-۰/۰۰۳۹	۱۲
-۰/۰۰۰۴	-۰/۰۰۰۶	-۰/۰۰۰۷	-۰/۰۰۱۲	-۰/۰۰۱۰	-۰/۰۰۱۸	۱۳
-۰/۰۰۰۵	-۰/۰۰۳۶	-۰/۰۰۰۱	-۰/۰۰۰۵	-۰/۰۰۰۳	-۰/۰۰۱۶	۱۴
•	•	•	•	•	•	۱۵



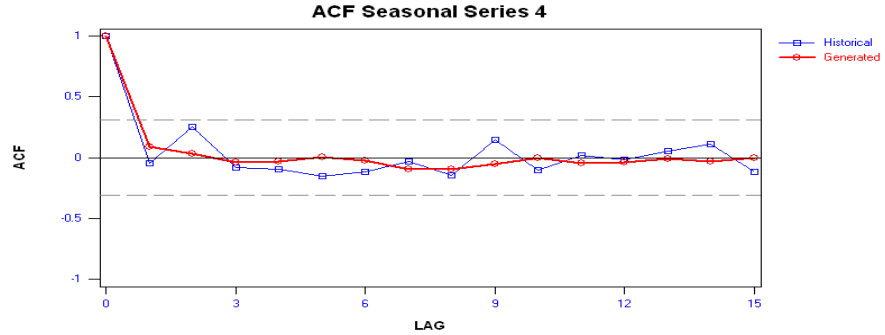
شکل ۴-۸۷- مقایسه تابع خود همبستگی سری تولید شده با سری اولیه مهر ماه برای مدل (۱) MPAR(۱)



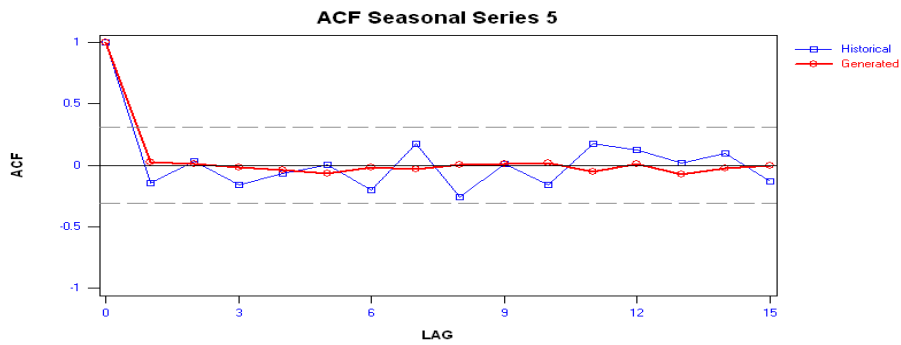
شکل ۴-۸۸- مقایسه تابع خود همبستگی سری تولید شده با سری اولیه آبان ماه برای مدل (۱) MPAR(۱)



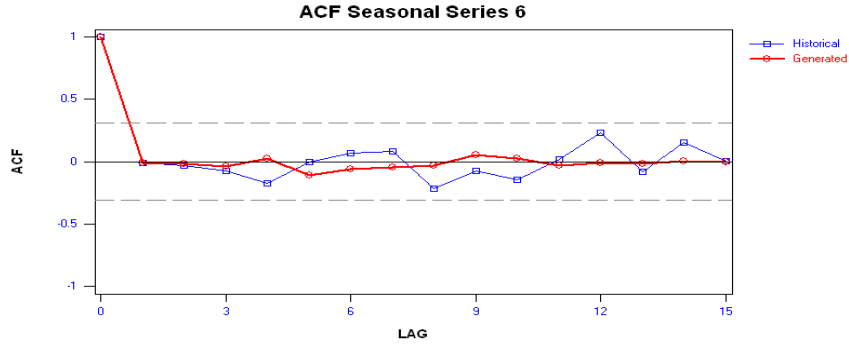
شکل ۴-۸۹- مقایسه تابع خود همبستگی سری تولید شده با سری اولیه آذر ماه برای مدل (۱) MPAR(۱)



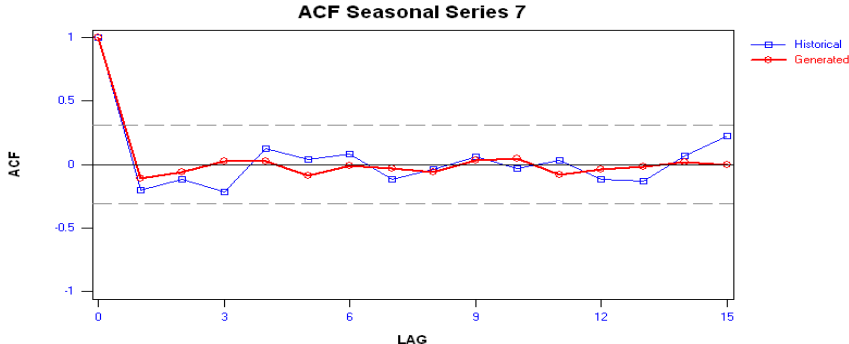
شکل ۴-۹۰- مقایسه تابع خود همبستگی سری تولید شده با سری اولیه دی ماه برای مدل (۱) MPAR(۱)



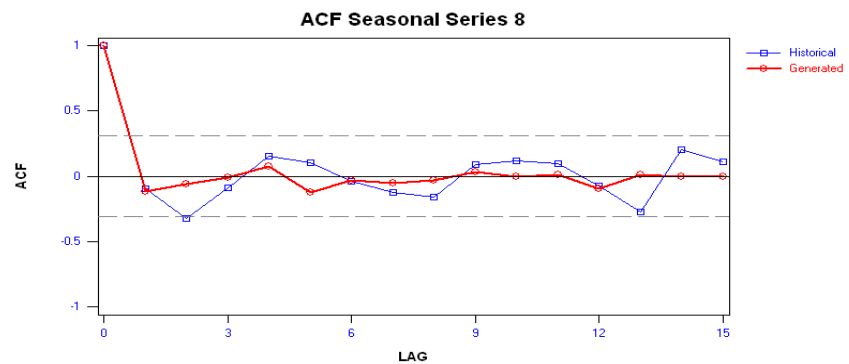
شکل ۹۱-۴- مقایسه تابع خود همبستگی سری تولید شده با سری اولیه بهمن ماه برای مدل (۱) MPAR(۱)



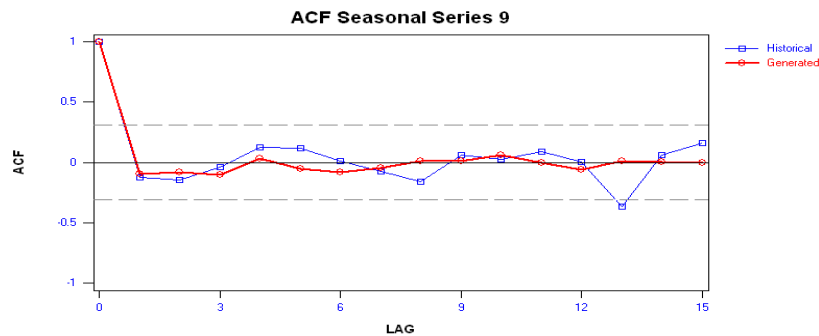
شکل ۹۲-۴- مقایسه تابع خود همبستگی سری تولید شده با سری اولیه اسفند ماه برای مدل (۱) MPAR(۱)



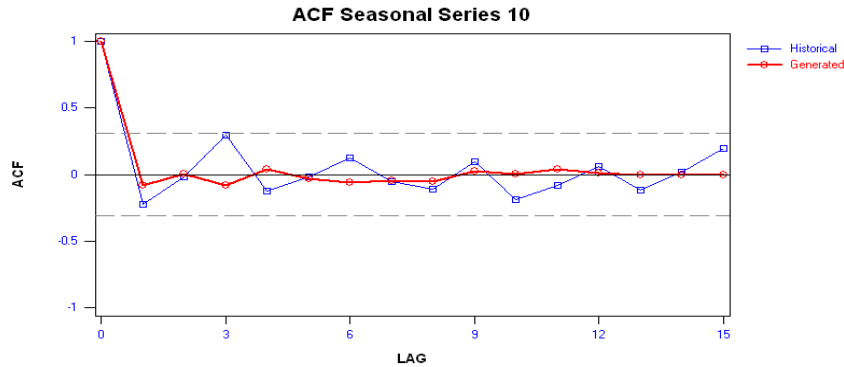
شکل ۹۳-۴- مقایسه تابع خود همبستگی سری تولید شده با سری اولیه فروردین ماه برای مدل (۱) MPAR(۱)



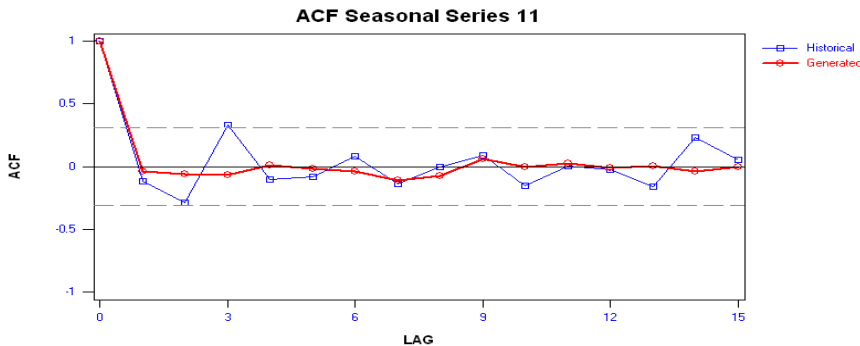
شکل ۹۴-۴- مقایسه تابع خود همبستگی سری تولید شده با سری اولیه اردیبهشت ماه برای مدل (۱) MPAR(۱)



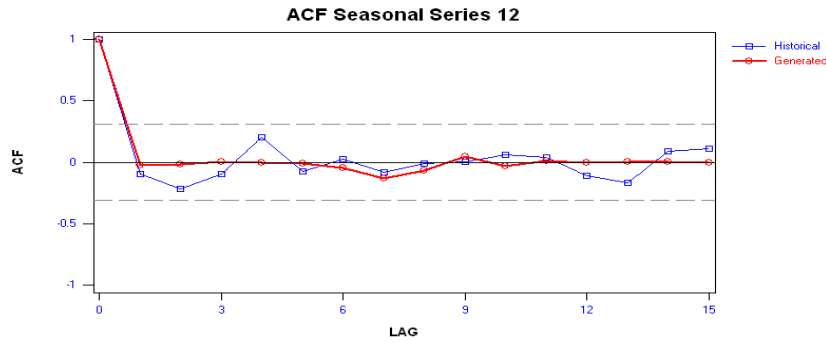
شکل ۴-۹۵- مقایسه تابع خود همبستگی سری تولید شده با سری اولیه خرداد ماه برای مدل (۱) MPAR()



شکل ۴-۹۶- مقایسه تابع خود همبستگی سری تولید شده با سری اولیه تیر ماه برای مدل (۱) MPAR()



شکل ۴-۹۷- مقایسه تابع خود همبستگی سری تولید شده با سری اولیه مرداد ماه برای مدل (۱) MPAR()



شکل ۴-۹۸- مقایسه تابع خود همبستگی سری تولید شده با سری اولیه مرداد ماه برای مدل (۱) MPAR()

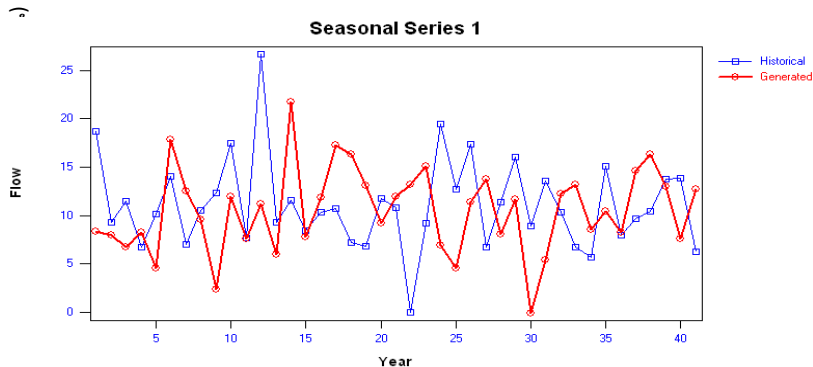
سربی تولید شده توسط مدل (MPAR) در جدول (۴-۴) ارائه و در شکل‌های (۴-۹۹) تا

(۴-۱۱) با سربی اولیه مقایسه شده است.

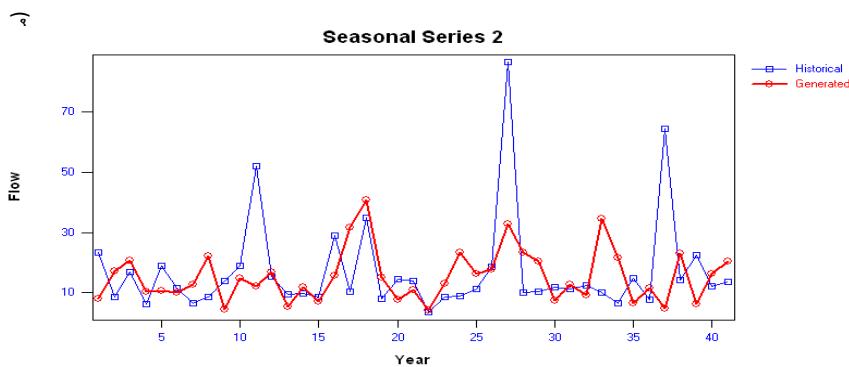
سال آغاز	مدبیر آبان	آخر	دی	پیهمن	اسفند	فروردین	خرداد	تیر	مرداد	شهریور	
۱۳۴۷-۴۸	۸۳۶۱	۷۰۰۲۴	۳۱۰۷۱۰	۵۲۰۰۴	۷۴۰۴۹	۷۰۰۷۹۷	۹۶۰۶۹۹	۷۳۰۹۴۲	۳۷۰۰۷	۲۶۰۰۴۸	۱۱۱۱۴۲
۱۳۴۸-۴۹	۷۹۴۸	۱۷۱۱۸	۵۲۰۷۸۱	۴۳۰۷۹۳	۱۲۱۰۱۳	۱۶۶۰۵۳۶	۱۷۶۰۴۵۱	۱۰۷۰۱۰	۵۵۰۴۵۹	۳۰۰۲۱	۱۴۲۷۰
۱۳۴۹-۵۰	۶۷۱۳	۲۰۷	۱۰۱۳۳۸	۱۰۲۱۷۸۸	۱۳۵۷۲۹۶	۷۹۰۷۱۴	۱۱۱۰۷۷۸	۱۰۱۰۷۸	۵۶۰۶۸۳	۴۹۰۷۷۳۳	۱۱۱۴۸۶
۱۳۵۰-۵۱	۸۲۴۶	۱۰۰۳۳۷	۲۳۰۲۶	۹۳۰۷۸۴	۶۴۰۴۹۶	۱۳۶۰۴۶۱	۲۴۱۰۸۱۵	۱۱۵۰۷۷۱	۳۶۰۷۶۴	۱۲۳۶۱	۱۰۱۱۷۶
۱۳۵۱-۵۲	۴۶۰	۱۰۰۷۱۸	۳۷۰۷۲۷	۳۷۰۴۳۳	۵۰۰۲۰	۶۲۰۶۸۳	۱۳۶۳۹۷	۸۰۰۷۰	۴۴۰۷۷۷	۱۴۰۸۳	۱۳۴۲۱
۱۳۵۲-۵۳	۱۷۸۸۸	۱۰۰۷۷	۱۲۱۳۴۲	۳۹۰۹۹۴	۱۸۷۱۲۸	۲۱۱۴۰۵۰	۲۲۵۰۷۸۷	۱۳۵۰۷۳۶	۶۱۱۰۷۶۷	۳۰۰۷۸۹	۱۵۲۳۳
۱۳۵۳-۵۴	۱۷۷۶	۱۰۰۶۳	۲۰۰۷۸۸	۲۰۰۷۱۳	۴۱۰۷۱۳	۶۳۰۶۸۰	۶۷۰۷۷۱	۶۷۰۷۰	۳۷۰۷۴۳۶	۱۸۰۹۴۹	۱۳۴۹۱
۱۳۵۴-۵۵	۶۰۷۱	۲۷۰۱۴۳	۱۳۷۶۰۷	۱۷۰۱۴۷۸	۷۸۰۷۶۱	۸۴۰۰۸۴	۷۵۰۷۳۴	۵۱۰۶۳۳	۲۲۰۱۱۷	۱۰۰۳۰۹	۵۰۱۰۷۴
۱۳۵۵-۵۶	۷۳۰	۴۰۵۶۷	۷۷۰۳۶۱	۵۴۰۴۹۹	۴۴۰۹۷۸	۵۷۳۰۴۹	۱۲۹۰۷۴۶	۶۷۰۱۱۸۳	۲۸۰۳۴۸	۲۱۰۹۱۱	۱۶۲۱۹
۱۳۵۶-۵۷	۱۱۹۲۵	۱۴۰۷۲۱	۱۸۰۰۲۳	۲۸۰۱۲	۳۵۰۹۶۷	۲۱۰۸۸۲	۴۳۰۳۱۷	۶۳۰۵۴۱	۳۰۰۳۱۲	۲۱۰۹۹۲	۱۰۰۳۷۸
۱۳۵۷-۵۸	۷۶۲۸	۱۲۰۰۷۱	۴۱۰۱۲۸	۳۰۰۱۱۷۳	۳۷۰۷۹۱	۲۸۰۱۹۳	۱۴۰۱۸۳	۳۹۰۳۹	۶۷۰۷۲۷	۸۰۰۸۵۳	
۱۳۵۸-۵۹	۱۱۳۴۸	۱۶۷۷۷	۳۳۰۷۱۳	۱۲۶۶۳۸	۵۴۰۹۴۷	۷۷۰۷۷۱	۵۰۰۷۶۹	۴۷۰۱۱۱	۲۴۰۰۴	۱۱۱۱۷۶	
۱۳۵۹-۶۰	۵۰۲۱	۵۰۲۳۱	۱۱۱۰۷۶	۳۷۰۱۸۱	۳۷۰۱۷۶	۱۱۱۰۷۶	۹۳۰۹۷۲	۵۰۰۷۴۲۳	۵۱۰۱۰۹۸	۲۹۰۸۳۳	۲۱۰۹۶۲
۱۳۶۰-۶۱	۲۱۰۷۶	۱۱۱۰۹۲	۱۳۰۷۳۱	۴۹۰۲۸۰	۷۲۰۰۷۶	۱۶۰۳۱۷۸	۲۲۰۲۱۶	۵۰۰۷۴۰۶	۵۱۰۱۰۹۸	۲۵۰۳۸۰	۲۱۰۹۶۲
۱۳۶۱-۶۲	۷۷۵۴	۶۰۷۸۵	۱۱۰۲۱	۲۹۰۲۳۳	۹۰۰۴۵	۱۰۰۱۱۴۴	۱۹۰۱۱۷۹	۱۲۳۰۰۷	۳۹۰۷۱۲	۱۶۰۱۴۴	۱۴۰۷۸۳
۱۳۶۲-۶۳	۱۱۸۸۰	۱۰۰۲۸	۲۶۰۰۴۸	۱۰۰۰۷۸۱	۶۳۰۷۹۱	۱۰۰۰۷۹۱۰	۱۰۰۱۱۳۶	۹۲۰۱۱۷۱	۳۵۰۸۱۳	۱۰۰۰۴۳	۱۷۰۰۹۱۸
۱۳۶۳-۶۴	۷۷۵۴۹	۳۱۰۰۷۸	۶۷۰۰۵۶	۲۹۰۰۷۸۱	۳۵۰۰۸۴	۷۱۰۰۷۸	۷۱۰۰۷۸	۱۱۶۰۰۳	۵۷۰۶۴۷	۱۷۰۰۷۸	۱۱۱۱۹۹
۱۳۶۴-۶۵	۱۶۳۰	۴۰۰۸۱۷	۱۳۰۰۸۸	۹۰۰۷۸۱۹	۱۱۰۰۷۰۴	۱۰۰۰۷۰۳	۱۰۰۰۷۰۳	۱۱۶۰۰۳	۵۷۰۶۴۷	۱۷۰۰۷۸	۱۷۰۰۹۱۸
۱۳۶۵-۶۶	۱۳۰۸۴	۱۰۰۰۹	۲۶۰۰۴۸	۹۰۰۷۸۱۹	۱۱۰۰۷۰۴	۱۰۰۰۷۰۳	۱۰۰۰۷۰۳	۱۱۶۰۰۳	۵۷۰۶۴۷	۱۷۰۰۷۸	۱۷۰۰۹۱۸
۱۳۶۶-۶۷	۱۳۰۸۵	۱۰۰۰۹	۲۶۰۰۴۸	۹۰۰۷۸۱۹	۱۱۰۰۷۰۴	۱۰۰۰۷۰۳	۱۰۰۰۷۰۳	۱۱۶۰۰۳	۵۷۰۶۴۷	۱۷۰۰۷۸	۱۷۰۰۹۱۸
۱۳۶۷-۶۸	۱۱۱۷۷	۱۰۰۰۹	۱۴۰۰۷۰	۱۴۰۰۷۰۱	۱۰۰۰۷۰۱	۱۰۰۰۷۰۳	۱۰۰۰۷۰۳	۱۱۶۰۰۳	۵۷۰۶۴۷	۱۷۰۰۷۸	۱۷۰۰۹۱۸

٤٣-٤ جدول اداء

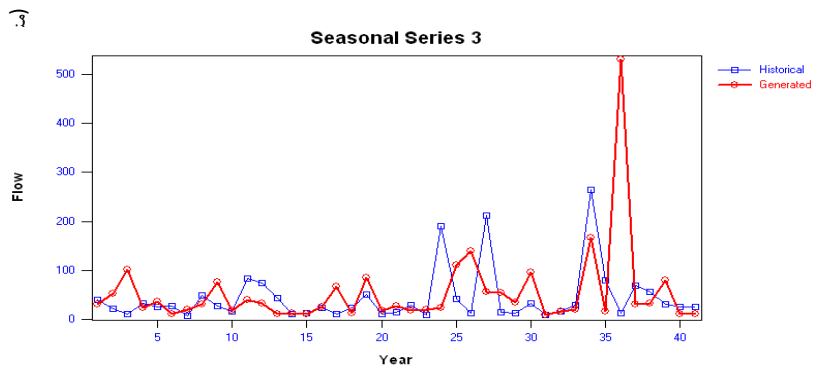
شنبه	مداد	تیر	خرداد	اردیبهشت	فروردین	اسفند	بهمن	آذار	آبان	سال آیی
۱۴۶۸-۴۹	۱۳۶۰۱	۲۰/۷/۸۸۳	۸۹/۹۴۴	۵۷/۴۶۶	۲۹/۳۵۱	۲۰/۷/۴۳۷	۱۵۶/۴۳۷	۱۸۲/۰۳۱	۴/۱۴۴	۱۳۶۱۹۶
۱۴۶۹-۷۰	۱۵۰۰۶۸	۱۳۰۸۴	۲۰/۴۹۹	۲۰/۱۶۳۱	۸۷/۰۳۹	۵۷/۴۶۶	۲۰/۱۶۳۱	۱۷۱/۱۲۹	۲۰/۷/۸۸۳	۱۴۶۸-۴۹
۱۳۷۰-۷۱	۶/۹۰۵۶	۲۳/۰۱۸	۲۴۰۳۵۳	۴۸/۰۸۵	۱۴۴/۷۷۷	۱۳۵/۳۸۸	۹۶/۰۶۹	۵۶/۸۳۴	۱۹۱/۱۷۶	۹۱/۸۱۷
۱۳۷۱-۷۲	۴/۰۵۶۶	۱۶۱۲۹۶	۱۱۱۲۱۹	۴۱/۰۵۰	۶۸/۷۷۷	۱۹۶/۱۵۷	۹۲/۰۵۱	۸۲/۱۷۱	۲۷۳۴۷۶	۱۲۳۰۴
۱۳۷۲-۷۳	۱۱۴۰۷	۱۷۸۱۸	۱۷۹/۸۹۳	۷۹/۹۷۲	۹۴/۱۴۳	۶۰/۳۳۳	۱۱۴/۱۴۳	۶۲/۳۹۷	۲۹۷۰۱	۲۲۳۳۸
۱۳۷۳-۷۴	۱۳۶/۷۹۷	۳۲۱۸۹۶	۵۷/۱۴۵۳	۱۲۹/۳۸۴	۸۳۱۸۲۲	۵۵/۴۴۸	۳۵۷۳۴۸	۳۲۱۸۲۴	۱۵۷۳۴	۶۱/۹۸۸
۱۳۷۴-۷۵	۸/۰۳۹	۲۳۳۳۱	۵۴/۹۳۱	۸۶/۹۲۱	۱۴۶/۰۲۸	۱۶۰/۰۷۲	۱۷۴/۰۴۸	۱۰۴/۰۸۹	۴۳۱۸۳	۱۱۰۸۸۴
۱۳۷۵-۷۶	۱۱۱۰۸	۲۰/۱۴۱۶	۳۴۱/۰۴	۳۴۲۱۱	۸۳/۸۷۷	۹۷/۳۴۸	۱۴۰/۰۳۱	۹۷/۰۲۱	۴۵۷۸۷۴	۱۰۰/۸۶۳
۱۳۷۶-۷۷	۱۳۷۱۹	۷/۰۱۰	۹۶/۰۹۰	۸۷/۱۸۳۱	۹۹/۰۸۱	۸۲/۱۹۶	۷۹/۱۹۶	۲۸/۰۱۶	۲۲۳۶۱	۱۱۰۷۸
۱۳۷۷-۷۸	۶۱۴۴۷	۱۰/۱۳۷۶	۱۰/۰۱۶۱	۱۳۳۲۴۴	۴۵/۰۹۲۹	۱۱۴/۰۶۹	۱۰۲/۰۲۳	۵۵۱۲۰۹	۱۳۱۱۳	۱۳۳۱۰
۱۳۷۸-۷۹	۱۲۳۷۸	۹/۱۳۴۱	۱۶۱۰۹	۱۲۵/۹۰۲	۳۸۸/۴۶۴	۹۱۲۱/۱۲۹	۹۰۲۷/۷۴	۳۷۹/۹۴۱	۱۰۲/۱۲۳۷	۳۶۱۱۸۴
۱۳۷۹-۸۰	۱۳۱۸۸	۳۴۱۷۴۶	۱۶/۰۹۴	۱۳۱/۸۷۳	۴۷/۱۸۷۶	۳۵/۰۳۶	۳۹/۱۴۸	۰/۱۱۸۴	۳۵۷/۸۵۵	۱۲۱۲۳۷
۱۳۸۰-۸۱	۸/۰۲۵	۲۱۱۸۴	۱۵۱/۱۴۷	۱۸۰/۰۱	۲۶۱/۱۱۱	۱۵۲/۱۹۴۸	۷۹/۱۷۷	۳۸۸/۱۷۹	۳۰۱/۰۲۱	۱۰۱۱۳
۱۳۸۱-۸۲	۱۱۴۸۵	۱۶۱۰۹	۳۴۰۵۵۵	۱۳۴/۰۵۹۸	۱۶۰/۱۱۵	۱۲۷/۱۹۴۸	۷۵/۰۱۹۳	۱۹۴۰۸	۲۰۱۴۴۶	۱۳۷۳۰
۱۳۸۲-۸۳	۸/۰۲۹	۱۱۱۶۴۱	۵۳۹/۰۸۹۱	۹۳/۰۰۱	۱۸۷/۱۹۰	۱۳۵/۱۲۸۴	۸۷/۱۹۱۱	۴۶۰/۱۷۹۱	۴۰۷/۰۷۹۳	۱۱۱۸۲۹
۱۳۸۳-۸۴	۱۴۰۷۷	۴۷۱۱۴	۳۱۱۰۳۸	۱۱۰۰۱۵	۱۰۸/۰۳۱	۱۰۸/۰۳۱	۱۴۶/۰۵۱	۶۸/۱۹۴۹	۳۷۱/۱۷۶	۲۰۳۹۶
۱۳۸۴-۸۵	۱۶۱۲۹۲	۳۳۰۰۱۷۳	۳۳۰/۹۳۸	۴۹/۰۶۹۲	۴۴/۱۰۱	۸۲۱۰۰	۴۸/۱۰۹	۴۰/۰۲۸۱	۳۶۹/۹۱۷	۹۱۰۰۰
۱۳۸۵-۸۶	۱۲۹۸۷	۶/۰۳۴۲	۸/۰۱۰	۳۸۰/۰۸۹	۳۴۰/۰۲۲۳	۴۵/۰۹۸۱	۷۸/۱۰۵	۷۱/۱۹۷	۲۶۱/۱۷۱	۱۲۱۱۷
۱۳۸۶-۸۷	۷/۰۰۰	۱۱۸۴۷	۱۱۰۰۵۱	۴۳۰/۰۹۷	۹۶/۰۸۸۳	۴۰/۰۹۴۸	۴۹/۰۱۵۱	۲۰/۰۱۹۹۷	۱۴۳۹۰۵	۱۲۱۷۶۴
۱۳۸۷-۸۸	۱۲۹۷۸	۲۰/۰۵۴۲	۱۰/۰۲۸۱	۳۴۰/۹۶۱	۱۵۱/۰۹۳۷	۸/۱۰۹۸۴	۴۶۷۲۴۱	۲۹۱۱۶۲	۲۴۱۰۵۱	۱۳۱۹۳۱



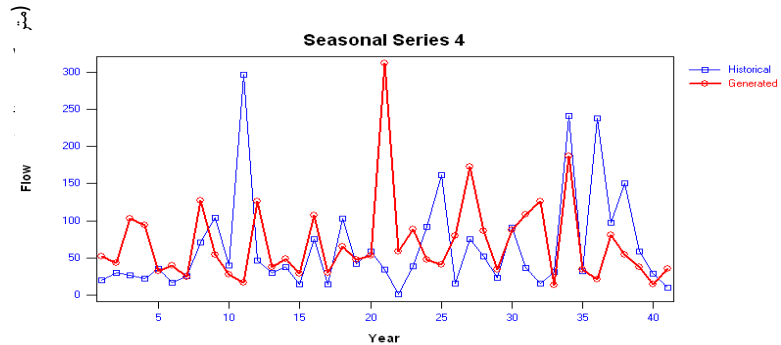
شکل ۴-۹۹- مقایسه سری تولید شده توسط مدل (۱) MPAR با سری اولیه مهر ماه



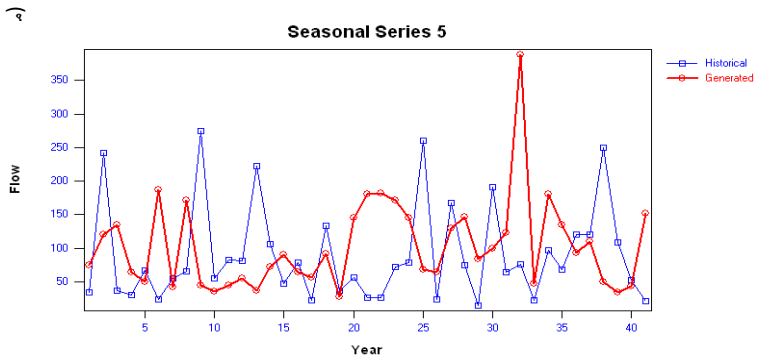
شکل ۴-۱۰۰- مقایسه سری تولید شده توسط مدل (۱) MPAR با سری اولیه آبان ماه



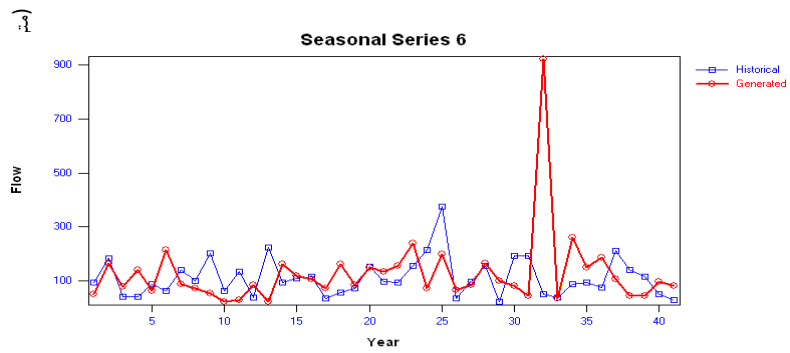
شکل ۴-۱۰۱- مقایسه سری تولید شده توسط مدل (۱) MPAR با سری اولیه آذر ماه



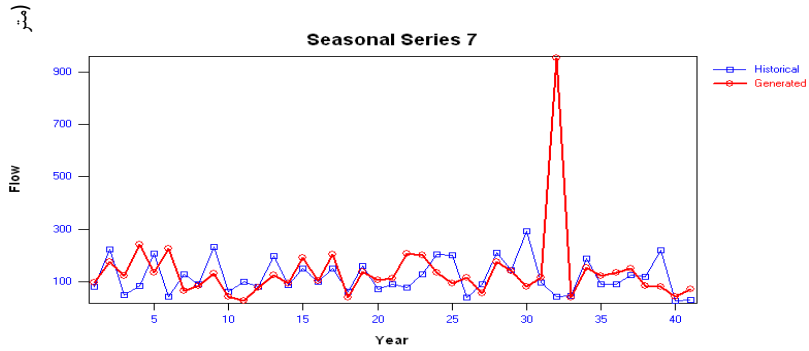
شکل ۴-۱۰۲- مقایسه سری تولید شده توسط مدل (۱) MPAR با سری اولیه دی ماه



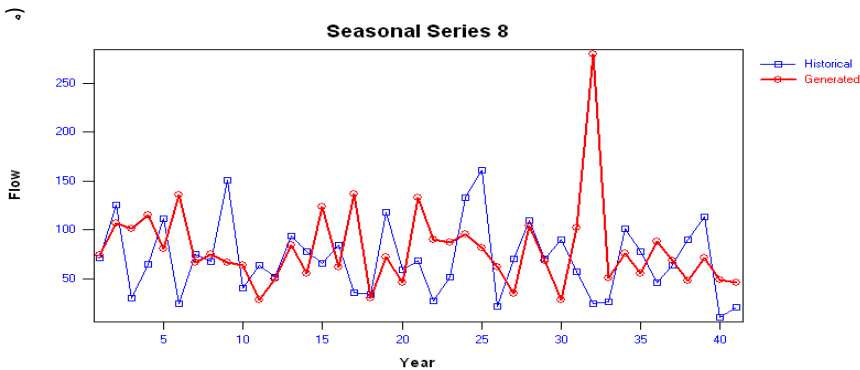
شکل ۱۰۳-۴ - مقایسه سری تولید شده توسط مدل (۱) MPAR با سری اولیه بهمن ماه



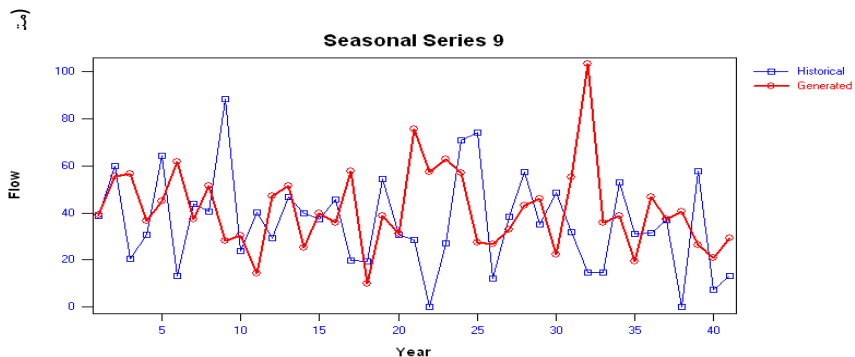
شکل ۱۰۴-۴ - مقایسه سری تولید شده توسط مدل (۱) MPAR با سری اولیه اسفند ماه



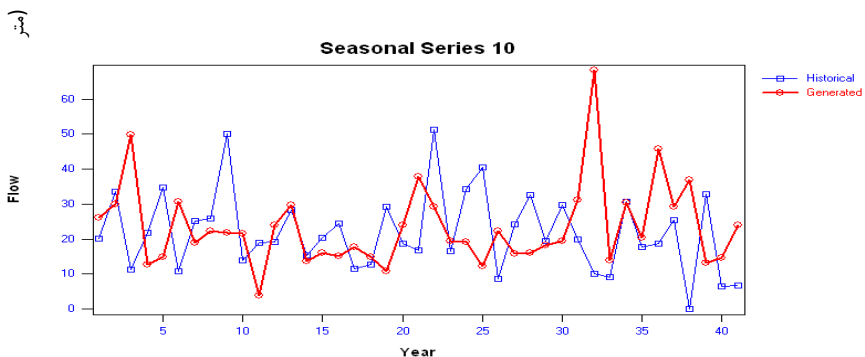
شکل ۱۰۵-۴ - مقایسه سری تولید شده توسط مدل (۱) MPAR با سری اولیه فروردین ماه



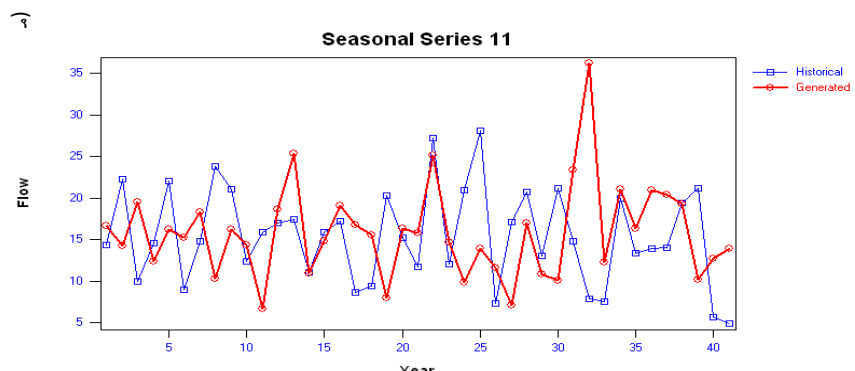
شکل ۱۰۶-۴ - مقایسه سری تولید شده توسط مدل (۱) MPAR با سری اولیه اردیبهشت ماه



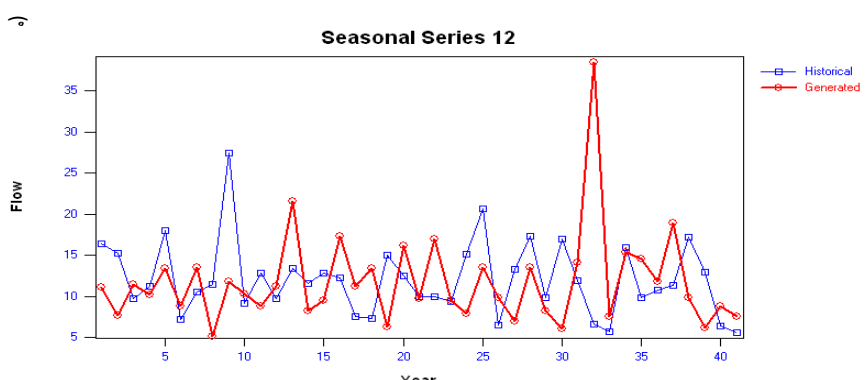
شکل ۴-۱۰۷- مقایسه سری تولید شده توسط مدل (۱) MPAR با سری اولیه خرداد ماه



شکل ۴-۱۰۸- مقایسه سری تولید شده توسط مدل (۱) MPAR با سری اولیه تیر ماه



شکل ۴-۱۰۹- مقایسه سری تولید شده توسط مدل (۱) MPAR با سری اولیه مرداد ماه



شکل ۴-۱۱۰- مقایسه سری تولید شده توسط مدل (۱) MPAR با سری اولیه شهریور ماه

از مدل‌های مربوط به داده‌های ماهانه، مدل‌های تراکمی مکانی- فصلی چند متغیره<sup>۱</sup> و تراکمی فصلی- مکانی چند متغیره<sup>۲</sup> به علت استفاده ما از داده‌های یک ایستگاه هیدرومتری مورد استفاده قرار نگرفتند.

### ۴-۳-۲-۳- انتخاب بهترین مدل استوکستیک از میان مدل‌های برازش داده شده

برای انتخاب مدل برتر، خلاصه تمام نتایج مدل‌های برتر در جدول (۴۳-۴) نشان داده شده است.

همان طور که از جدول (۴۳-۴) قابل مشاهده است، از میان مدل‌های برتر انتخاب شده برای داده‌های سالانه و ماهانه شامل مدل‌های اتورگرسیو با مقدار پارامتر  $p$  برابر یک (AR(1)، اتورگرسیو- میانگین متحرک هم- زمان با مقدار پارامترهای  $p$  و  $q$  برابر یک و  $q$  برابر دو (ARMA(1,2)، اتورگرسیو- میانگین متحرک هم- زمان با مقدار پارامترهای  $p$  و  $q$  برابر یک (CARMA(1,1) به داده‌های سالانه و مدل‌های اتورگرسیو- میانگین متحرک تناوبی تک متغیره با مقدار پارامترهای  $p$  برابر یک و  $q$  برابر دو (PARMA(1,2)، اتورگرسیو تناوبی چند متغیره با مقدار پارامتر  $p$  برابر یک (MAR(1) برای داده‌های ماهانه، می‌توان مدل اتورگرسیو- میانگین متحرک همزمان (CARMA(1,1) را به عنوان بهترین مدل با داشتن کمترین معیارهای آکائیک و شوارز معرفی کرد.

جدول ۴-۴- انتخاب بهترین مدل استوکستیک از میان مدل‌های برازش داده شده به داده‌های سالانه و ماهانه

معیار اطلاعاتی شوارز	معیار اطلاعاتی آکائیک	مدل (داده سالانه)
۴۳/۳۵۵	۴۴/۹۵۸	AR(1)
۵۰/۸۷۰	۴۸/۸۴۰	ARMA(1,2)
-۱۶/۹۱	-۱۷/۶۸۹	CARMA(1,1)
مدل (داده ماهانه)	معیار اطلاعاتی آکائیک	معیار اطلاعاتی شوارز
۱۵/۱۷۴	۱۳/۱۴۴	PARMA(1,2)
۱۵/۶۷۰	۱۶/۲۱۰	MAR(1)

۱-Multivariate Spatial-Seasonal Disaggregation Model

۲-Multivariate Seasonal-Spatial Disaggregation Model

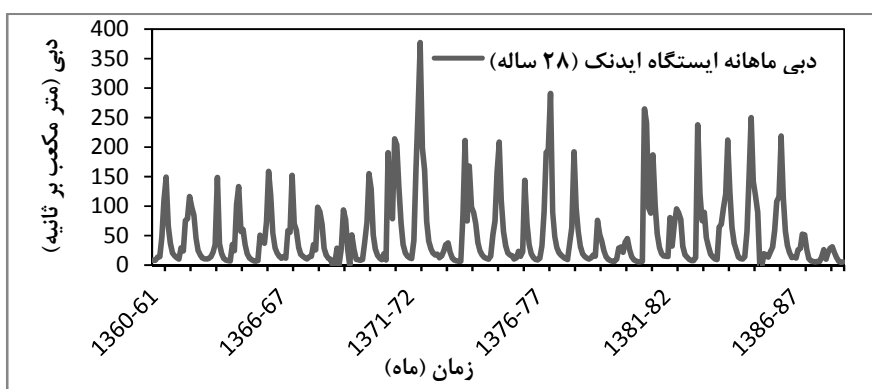
### ۳-۴- نتایج حاصل از مدل سازی شبکه عصبی مصنوعی برای پیش بینی دبی

#### رودخانه مارون

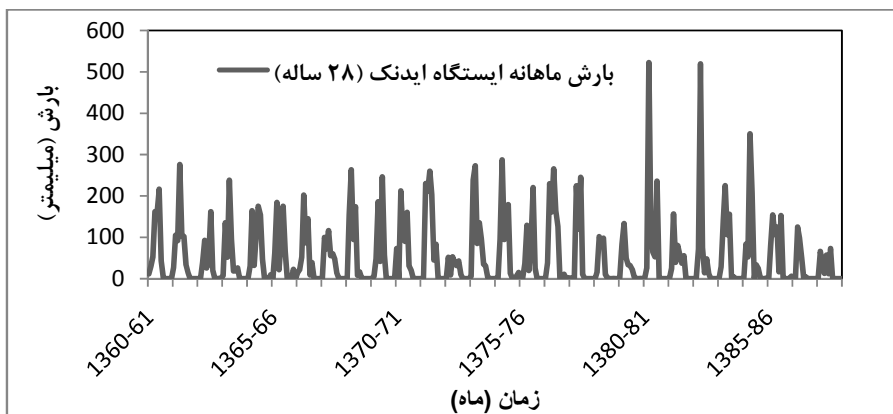
به منظور انجام مدل سازی شبکه عصبی از نرم افزار Qnet ۲۰۰۰ که در فصل سوم در مورد آن به طور مختصر توضیحاتی ارائه شد، استفاده گردید. برای این منظور از دو نوع داده برای پیش بینی دبی رودخانه مارون بهره گرفته شد. در ابتدا از آمار بارش و درجه حرارت ایستگاه هیدرومتری ایدنک به عنوان ورودی مدل و پیش بینی دبی آن به عنوان خروجی، و سپس از آمار بارش ایستگاههای اطراف به عنوان ورودی و پیش بینی دبی ایستگاه هیدرومتری ایدنک بهره گرفته شد.

بنابراین در ابتدا آمار دبی، بارش و درجه حرارت استفاده شده در این تحقیق که متعلق به ایستگاه هیدرومتری ایدنک برای دوره ۲۸ ساله (۱۳۶۰-۱۳۸۸) می باشد، مورد استفاده قرار گرفتند.

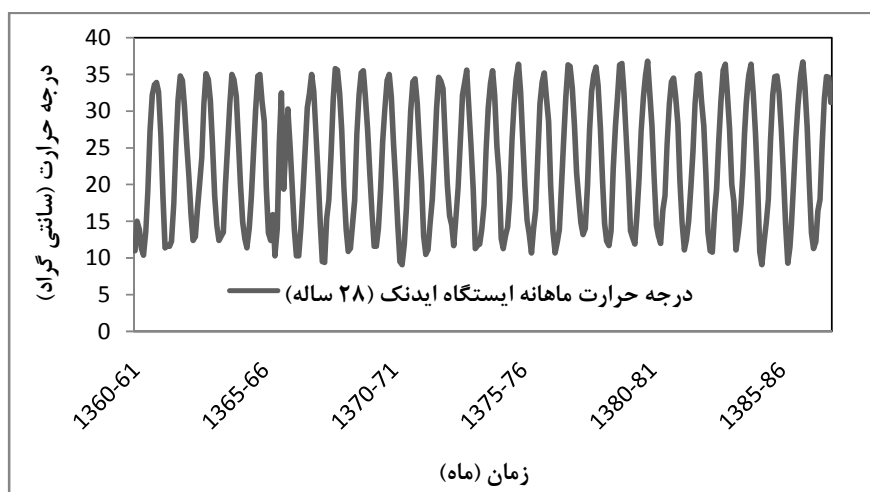
متوسط ماهانه اطلاعات آبدهی، بارش و دما در ایستگاه فوق در سالهای مشترک مورد استفاده قرار گرفت. از اطلاعات ۷۰٪ داده‌ها برای آموزش شبکه‌های طراحی شده و ۳۰٪ مابقی برای صحت یابی آموزش یادگیری شده در نظر گرفته شدند. شکل‌های (۱۱۱-۴)، (۱۱۲-۴) و (۱۱۳-۴) به ترتیب سری زمانی داده‌های دبی، بارش و درجه حرارت ایستگاه هیدرومتری ایدنک واقع بر روی رودخانه مارون، را در طول ۲۸ سال نشان می‌دهد.



شکل ۴-۱۱۱-۴- سری زمانی داده‌های ماهانه دبی ایستگاه ایدنک (۱۳۶۰-۱۳۸۸)



شکل ۱۱۲-۴- سری زمانی داده‌های ماهانه بارش ایستگاه ایدنک (۱۳۶۰-۱۳۸۸)



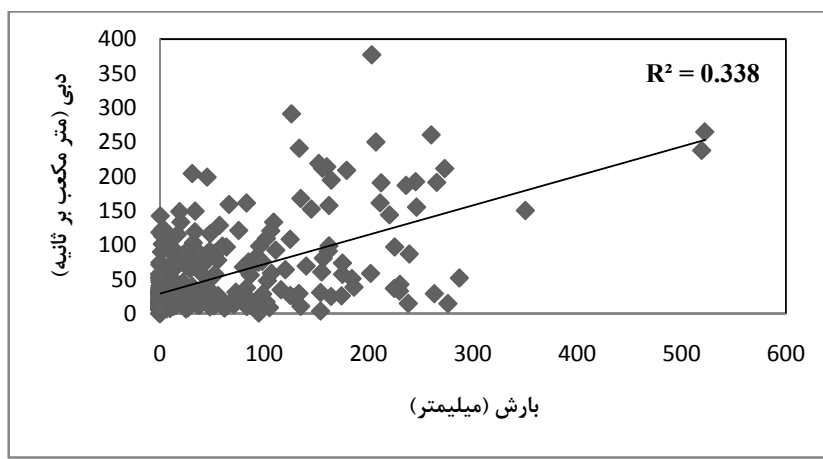
شکل ۱۱۳-۴- سری زمانی داده‌های ماهانه درجه حرارت ایستگاه ایدنک (۱۳۶۰-۱۳۸۸)

از آن جایی که در مدل‌های شبکه عصبی مصنوعی تعداد لایه‌های میانی و همچنین نوع توابع محرک در یادگیری شبکه تأثیر به سزایی دارند، لذا در تحقیق حاضر تأثیر آن‌ها مورد بررسی قرار گرفت که نتایج آن‌ها به ترتیب در بخش‌های زیر آمده است:

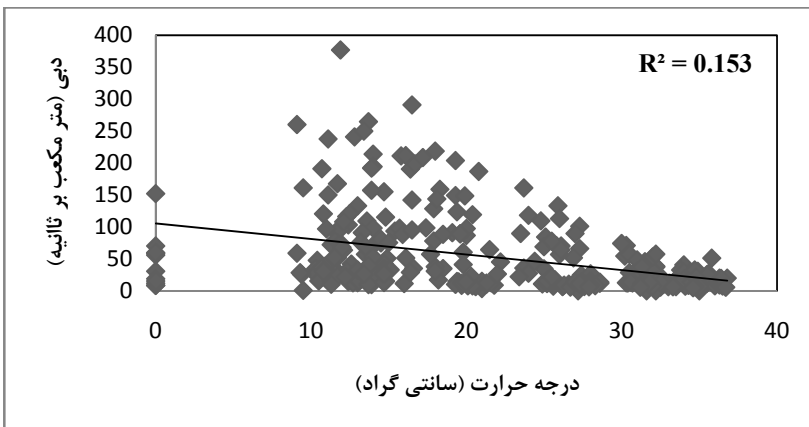
- الف- بررسی تأثیر توابع محرک در یادگیری شبکه عصبی مصنوعی
- ب- بررسی تأثیر لایه‌های میانی در یادگیری شبکه عصبی مصنوعی
- ج- بررسی تأثیر تعداد داده‌های ورودی بر روی یادگیری شبکه عصبی مصنوعی

## الف- بررسی تأثیر توابع محرک در یادگیری شبکه عصبی مصنوعی

برای اجرای مدل از ساختار یک لایه ورودی، یک لایه میانی و یک لایه خروجی با توابع سیگموئید، گوس، تانژانت هیپربولیک و سکانت هیپربولیک استفاده گردید و سپس داده‌های مورد نظر به صورت ۲ گره ورودی شامل مقادیر بارش و دما در ایستگاه هیدرومتری ایدنک در نظر گرفته شده، ۲ گره میانی و ۱ گره خروجی شامل دبی در ایستگاه ایدنک به مدل معرفی گردیدند. برای اجرای مدل داده‌ها به صورت ۷۰ و ۳۰ درصد به ترتیب برای مرحله آموزش و صحت سنجدی تفکیک شدند. نتایج اجرای مدل در جدول (۴۴-۴) آمده است. شکل‌های (۱۱۴-۴) و (۱۱۵-۴) به ترتیب ارتباط بین دبی رودخانه و مقدار بارش، و همچنین دبی و درجه حرارت را نشان می‌دهند. همان طوری که از شکل‌ها ملاحظه می‌شود هیچ گونه ارتباط معنا داری بین آن‌ها وجود ندارد. همان طوری که در جدول (۴-۴) نشان داده شده است، نتایج اجرای مدل نشان می‌دهد که تابع محرک سکانت هیپربولیک با داشتن ضریب همبستگی بیشتر (۵۲/۰ و ۶۶/۰) به ترتیب برای مرحله آموزش و صحت سنجدی) در کل دارای نتایج بهتری نسبت به سایر توابع محرک می‌باشد. در شکل‌های (۱۱۶-۴) تا (۱۱۹-۴) نتایج حاصل از اجرای مدل با تابع محرک سکانت هیپربولیک برای مقادیر دبی مشاهده شده و محاسبه شده در ایستگاه هیدرومتری ایدنک به ترتیب در مرحله آموزش و صحت یابی نشان داده شده است.



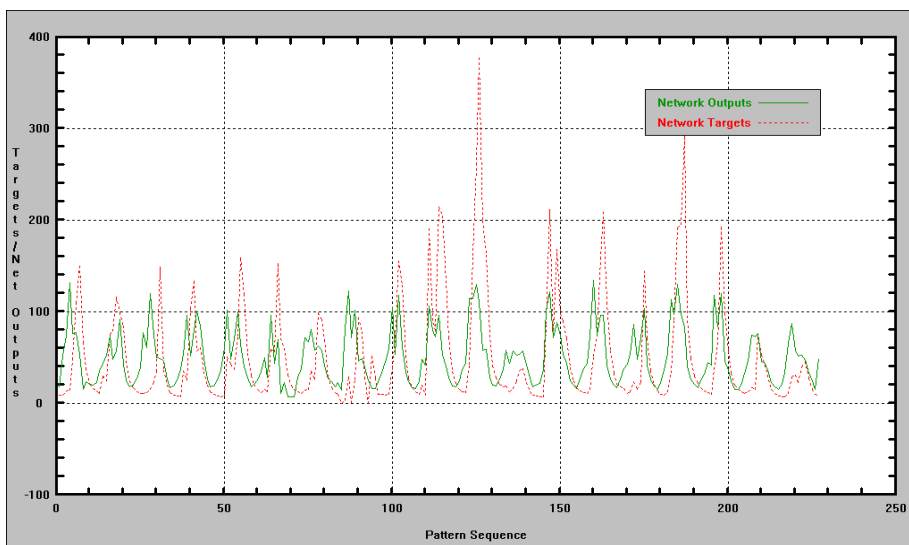
شکل ۱۱۴-۴- ارتباط بین دبی رودخانه و مقدار بارش برای ایستگاه ایدنک



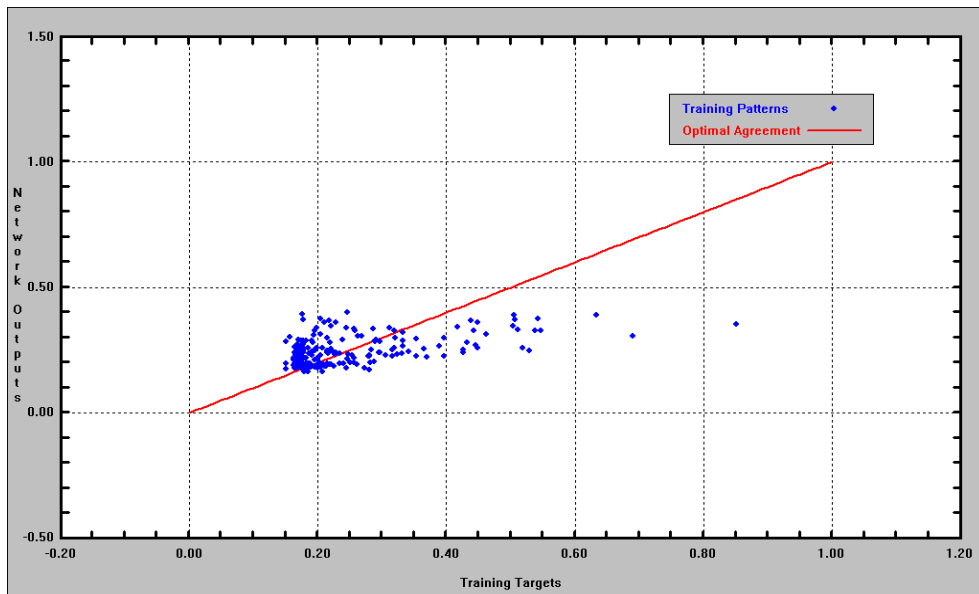
شکل ۱۱۵-۴- ارتباط بین دبی رودخانه و درجه حرارت برای ایستگاه ایدنک

جدول ۴۴-۴- نتایج حاصل از اجرای مدل با تابعهای مختلف برای داده‌های ورودی بارش و دما

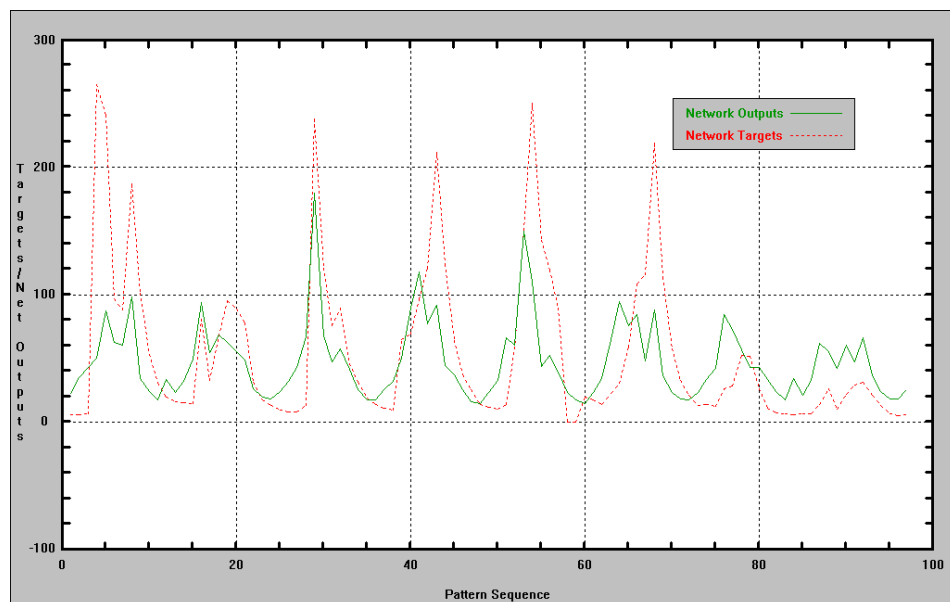
ضریب همبستگی	انحراف معیار (Std Dev)	RMS Error	مرحله محاسباتی	تابع محرک	ساختار
+0.50545	50/0.3289	+0.94058	آموزش	سیگموئید (Sigmoid)	۱
+0.65890	49/79599	-	صحت یابی		
+0.00000	142/74207	+0.264918	آموزش	گوس (Gaussian)	۲
+0.00000	148/88637	-	صحت یابی		
+0.52577	49/22405	+0.91541	آموزش	تازه‌ابت (Tanh)	۳
+0.65401	49/00972	-	صحت یابی		
+0.52169	49/46895	+0.91810	آموزش	سکانت هیپربولیک (Sech)	۴
+0.66196	48/27194	-	صحت یابی		



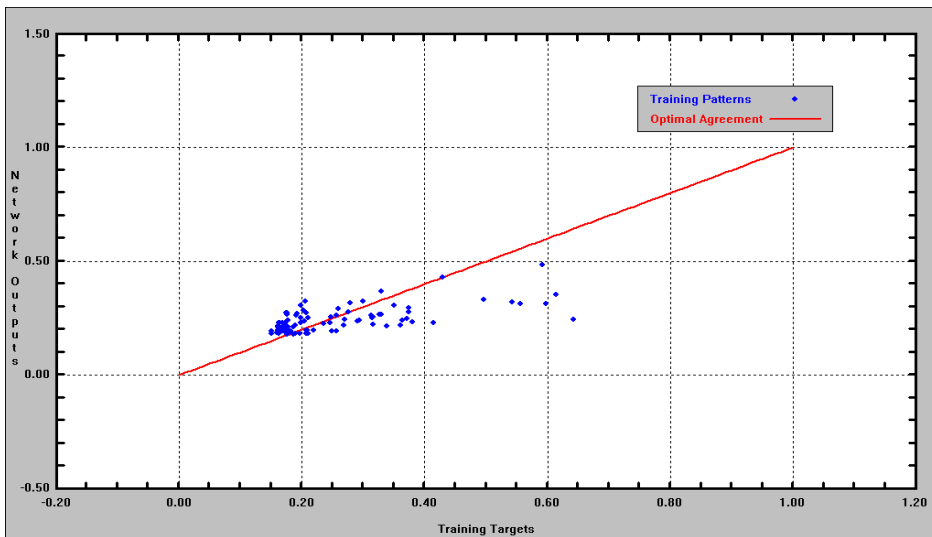
شکل ۱۱۶-۴- نتایج مربوطه به آموزش مدل در مرحله یادگیری با تابع محرک سکانت هیپربولیک (دبی متر مکعب بر ثانیه)



شکل ۴-۱۱۷- برآورد بین داده‌های معرفی شده به مدل و خروجی از آن در مرحله یادگیری با تابع محرک سکانت هیپربولیک



شکل ۴-۱۱۸- مقایسه بین آبدهی معرفی شده به مدل و خروجی از آن در مرحله صحت یابی با تابع محرک سکانت هیپربولیک (دبی متر مکعب بر ثانیه)



شکل ۱۱۹-۴- برازش بین داده‌های معرفی شده به مدل و خروجی از آن در مرحله صحت یابی

#### ب- بررسی تأثیر لایه‌های میانی در یادگیری شبکه عصبی مصنوعی

پس از انتخابتابع سکانت هیپربولیک به عنوان مدل برتر برای آمار دبی، بارش و درجه حرارت متعلق به ایستگاه هیدرومتری ایدنک، بار دیگر از این تابع برای پیش بینی دبی رودخانه مارون بهره گرفته شد، با این تفاوت که در شبکه‌های طراحی شده جدید تعداد لایه‌های مخفی متغیر هستند. با توجه به این که در نرم افزار Qnet بیشترین تعداد لایه‌های میانی برابر ۸ می‌باشد، بنابراین برای طراحی شبکه‌های جدید به ترتیب ۱، ۲، ۳، ۴، ۵، ۶، ۷ و ۸ لایه میانی در نظر گرفته شد. نتایج این مدل‌ها در جدول (۴۵-۴) قابل مشاهده می‌باشند.

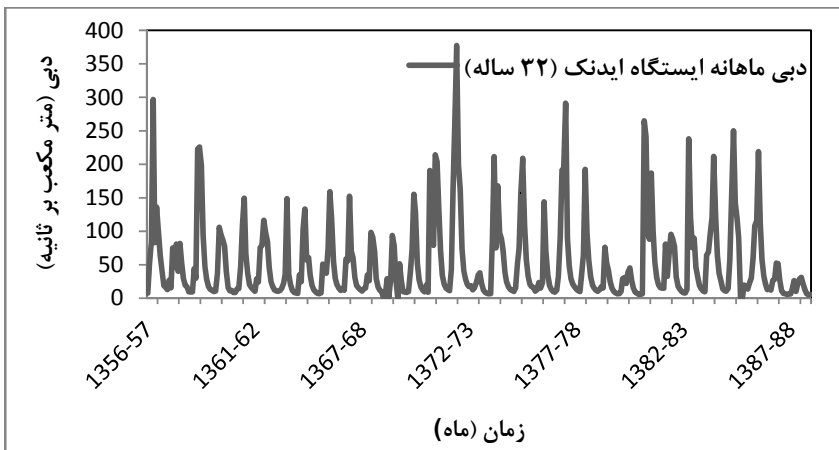
با توجه به جدول (۴۵-۴) قابل مشاهده است که با افزایش تعداد لایه‌های میانی، ضریب همبستگی شبکه‌ها صفر می‌شود و شبکه قادر به پیش بینی دبی نمی‌باشد و مقایسه شبکه با تعداد لایه‌های میانی برابر ۲ با شبکه اولیه با تعداد لایه میانی برابر ۱ نشان دهنده نتایج مشابه برای این دو شبکه می‌باشد.

جدول ۴-۴۵- نتایج حاصل از اجرای مدل با تابع سکانت هیپربولیک برای داده‌های ورودی بارش و دما

ضریب همبستگی	انحراف معیار (Std Dev)	RMS Error	مرحله محاسباتی	تعداد لایه‌های میانی	ساختار
۰/۵۲۱۶۹	۴۹/۴۶۸۹۵	۰/۰۹۱۸۱۰	آموزش	۱	۱
۰/۶۶۱۹۶	۴۸/۲۷۱۹۴	-	صحت یابی		
۰/۵۳۰۲۲	۴۹/۱۶۳۰۶	۰/۰۹۱۲۴۳	آموزش	۲	۲
۰/۶۵۳۸۸	۴۹/۱۱۱۴۹	-	صحت یابی		
۰/۴۰۹۰۰۲	۵۷/۹۸۳۸۲	۰/۱۰۷۶۱۳	آموزش	۳	۳
۰/۰۵۵۸۰	۶۲/۰۷۳۲۳	-	صحت یابی		
۰/۲۰۸۰۵۲	۵۷/۹۸۴۷۲	۰/۱۰۷۶۱۵	آموزش	۴	۴
۰/۰۰۱۲۳	۶۲/۰۷۴۵۵	-	صحت یابی		
۰/۰۰۰۰۰	۵۷/۹۸۴۷۴	۰/۱۰۷۶۱۵	آموزش	۵	۵
۰/۰۰۰۰۰	۶۲/۰۷۴۵۶	-	صحت یابی		
۰/۰۰۰۰۰	۵۷/۹۸۴۷۳	۰/۱۰۷۶۱۵	آموزش	۶	۶
۰/۰۰۰۰۰	۶۲/۰۷۴۵۷	-	صحت یابی		
۰/۰۰۰۰۰	۵۷/۹۸۴۷۳	۰/۱۰۷۶۱۵	آموزش	۷	۷
۰/۰۰۰۰۰	۶۲/۰۷۴۵۶	-	صحت یابی		
۰/۰۰۰۰۰	۰/۹۸۴۷۳	۰/۱۰۷۶۱۵	آموزش	۸	۸
۰/۰۰۰۰۰	۶۲/۰۷۴۵۷	-	صحت یابی		

#### ج- بررسی تأثیر تعداد داده‌های ورودی بر روی یادگیری شبکه عصبی مصنوعی

با بررسی‌های انجام شده، مشخص گردید، در نزدیکی حوضه مارون ایستگاه‌های دیگری مانند چم نظام، بهبان و خیر آباد وجود دارند، لذا در این بخش سعی شد، از اطلاعات ایستگاه‌های مذکور برای شبیه سازی و یادگیری شبکه عصبی استفاده گردد. بنابراین در مدل شبکه عصبی دیگر، آمار بارش ماهانه ایستگاه هیدرومتری ایدنک و ایستگاه‌های اطراف به نام‌های چم نظام، بهبان و خیر آباد دوره آماری ۳۲ ساله (۱۳۵۶-۱۳۸۸) مشترک برای تمام ایستگاه‌ها مورد استفاده قرار گرفت. در این شبکه نیز، از اطلاعات سال‌های مشترک، ۷۰٪ داده‌ها برای آموزش شبکه‌های طراحی شده و ۳۰٪ مابقی برای صحت یابی آموزش یادگیری شده در نظر گرفته شد. شکل (۱۲۰-۴) سری زمانی داده‌های دبی ایستگاه هیدرومتری ایدنک واقع بر روی رودخانه مارون را در طول ۳۲ سال نشان می‌دهد.



شکل ۱۲۰-۴- سری زمانی داده‌های ماهانه دبی ایستگاه ایدنک (۱۳۵۶-۱۳۸۸)

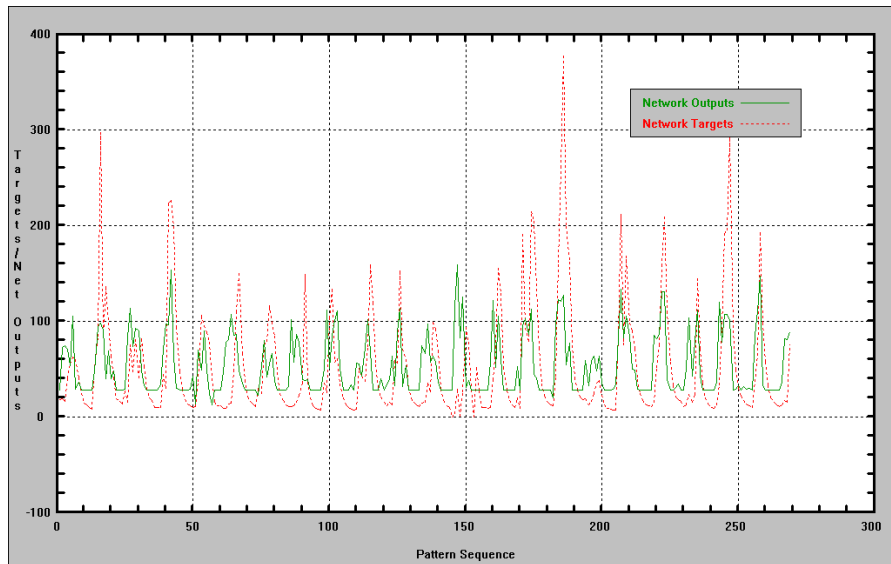
به طور مشابه برای اجرای این مدل نیز از ساختار یک لایه ورودی، یک لایه میانی و یک لایه خروجی با توابع سیگموئید، گوس، تانژانت هیپربولیک و سکانت هیپربولیک استفاده گردید. سپس داده‌های مورد نظر به صورت ۴ گره ورودی شامل مقادیر بارش در ایستگاه‌های ایدنک، چم نظام، بهبهان و خیر آباد در نظر گرفته شده، ۴ گره میانی و ۱ گره خروجی شامل آبدهی در ایستگاه ایدنک به مدل معرفی گردیدند. نتایج اجرای مدل در جدول (۴۶-۴) آمده است.

جدول ۴-۴۶- نتایج حاصل از اجرای مدل با تابع‌های مختلف برای داده‌های ورودی بارش ایستگاه‌های مختلف

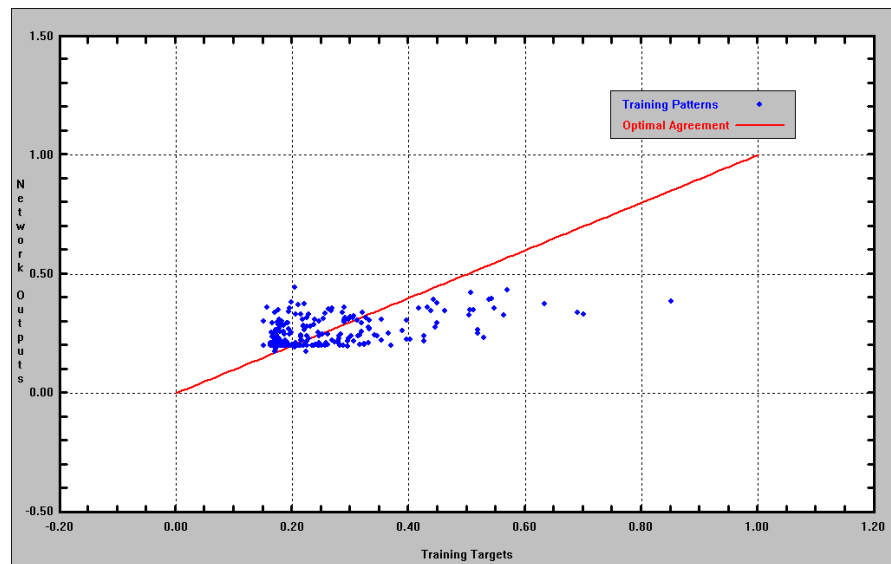
ضریب همبستگی	انحراف معیار (Std Dev)	RMS Error	مرحله محاسباتی	تابع محرك	ساختار
۰/۴۸۹۲۳۰	۵۱/۷۵۴۹۵	۰/۰۹۶۰۵۳	آموزش	سیگموئید (Sigmoid)	۱
۰/۶۰۲۶۱	۴۷/۵۸۸۰۲	-	صحت یابی		
۰/۵۴۵۴۷۹	۴۹/۷۳۷۰۱	۰/۰۹۲۳۰۸	آموزش	گوس (Gaussian)	۲
۰/۶۸۰۴۱	۴۲/۷۴۸۵۰	-	صحت یابی		
۰/۵۱۱۲۸۷	۵۰/۹۹۹۹۵	۰/۰۹۴۶۵۲	آموزش	تانژانت هیپربولیک (Tanh)	۳
۰/۵۵۵۴۵	۴۸/۶۲۱۵۷	-	صحت یابی		
۰/۵۲۳۰۲۷	۵۰/۵۷۵۶۵	۰/۰۹۳۸۶۴	آموزش	سکانت هیپربولیک (Sech)	۴
۰/۵۱۸۸۹	۴۹/۹۴۶۷۵	-	صحت یابی		

همان طوری که از جدول (۴۶-۴) قابل مشاهده است، نتایج اجرای مدل نشان می‌دهد که تابع محرك گوس در کل دارای نتایج بهتری نسبت به سایر توابع محرك دارا می‌باشد. در شکل‌های (۱۲۱-۴) تا (۱۲۴-۴) نتایج حاصل از اجرای مدل با تابع محرك گوس برای مقادیر دبی مشاهده شده

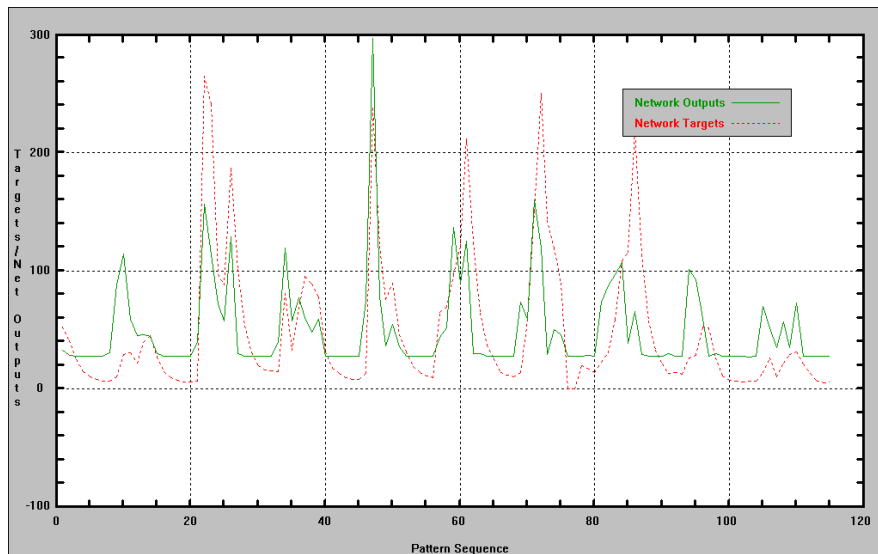
و محاسبه شده را در ایستگاه هیدرومتری ایدنک به ترتیب در مرحله آموزش و صحت‌یابی نشان داده شده است.



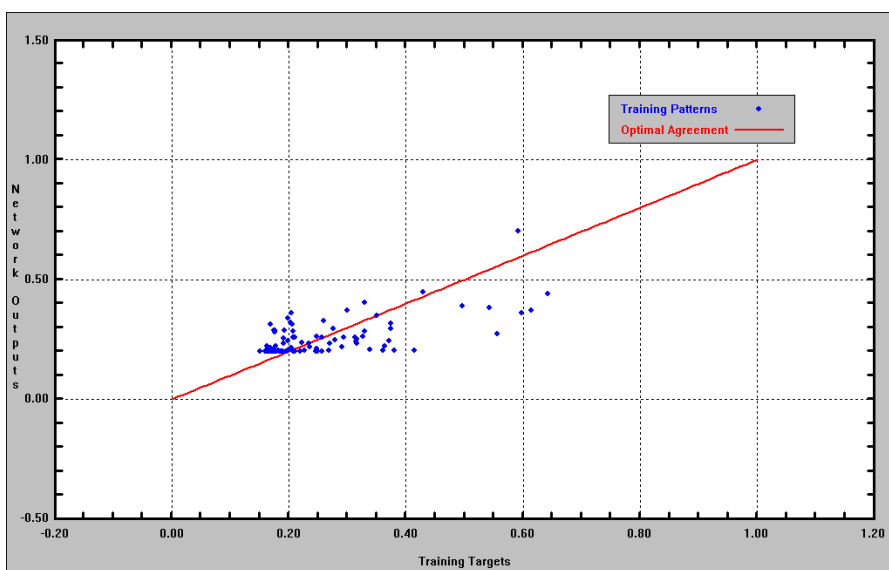
شکل ۱۲۱-۴- نتایج مربوطه به آموزش مدل در مرحله یادگیری با تابع محرک گوس



شکل ۱۲۲-۴- برازش بین داده‌های معروفی شده به مدل و خروجی از آن در مرحله یادگیری با تابع محرک گوس



شکل ۱۲۳-۴- مقایسه بین آیدهی معرفی شده به مدل و خروجی از آن در مرحله صحت یابی برای تابع محرك گوس



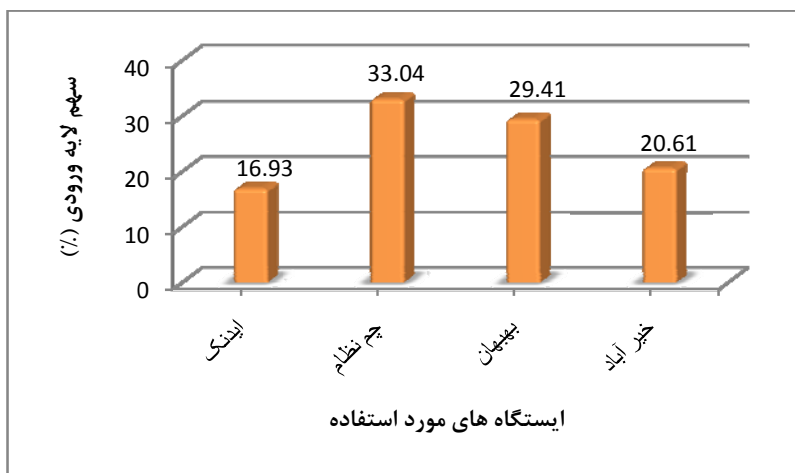
شکل ۱۲۴-۴- برازش بین دادههای معرفی شده به مدل و خروجی از آن در مرحله صحت یابی برای تابع محرك گوس

مدل شبکه عصبی مصنوعی قادر به آنالیز حساسیت پارامترهای ورودی بر روی نتایج می‌باشد.

سهم لایه‌های میانی برای ایستگاههای ایدنک، چم نظام، بهبهان و خیر آباد به ترتیب برابر ۹۳٪، ۱۶٪،

۰۴٪، ۰۶٪ و ۰۴٪ می‌باشد و در شکل (۱۲۵-۴) نشان داده شده است. همان طوری که در

این شکل قابل مشاهده است بیشترین تأثیر را ایستگاه چم نظام و کمترین تأثیر را ایستگاه ایدنک دارد.



شکل ۴-۱۲۵- آنالیز حساسیت سهم لایه های ورودی در نتایج مدل

برای بررسی تأثیر لایه های میانی در یادگیری شبکه عصبی مصنوعی، پس از انتخاب تابع گوس به عنوان مدل برتر برای آمار بارش ایستگاهها به عنوان ورودی مدل، بار دیگر از این تابع برای پیش بینی دبی رودخانه مارون بهره گرفته شد، با این تفاوت که در شبکه های طراحی شده جدید تعداد لایه های مخفی متغیر و حداقل برابر ۸ هستند. بنابراین برای طراحی شبکه های جدید به ترتیب ۲، ۳، ۴، ۵، ۶، ۷ و ۸ لایه میانی در نظر گرفته شد. نتایج این مدل ها در جدول (۴۷-۴) قابل مشاهده می باشند. نتایج این مدل سازی نیز حاکی از این مسئله می باشد که با افزایش تعداد لایه های میانی، ضربی همبستگی شبکه ها کاهش می یابد و شبکه قادر به پیش بینی دبی نمی باشد و مقایسه شبکه با تعداد لایه های میانی برابر ۳ با شبکه اولیه با تعداد لایه میانی برابر ۱ نشان دهنده نتایج مشابه برای این دو شبکه می باشد اما شبکه با لایه های میانی برابر ۳ نتایج بهتری ارائه داده است.

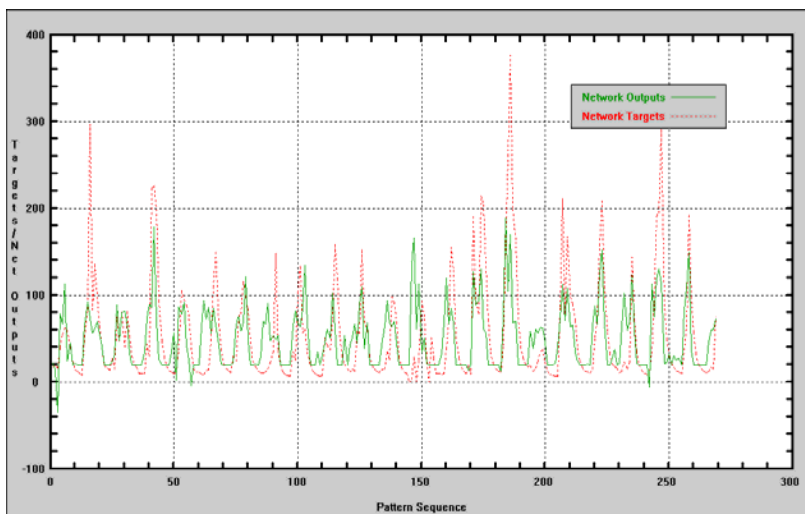
جدول ۴-۴- نتایج حاصل از اجرای مدل با تابع گوس برای داده‌های ورودی بارش ایستگاه‌های مختلف

ضریب همبستگی	انحراف معیار (Std Dev)	RMS Error	مرحله محاسباتی	تعداد لایه‌های میانی	ساختار
۰/۵۴۵۴۷۹	۴۹/۷۳۷۰۱	۰/۰۹۲۳۰۸	آموزش	۱	۱
۰/۶۸۰۴۱	۴۲/۷۴۸۵۰	-	صحت یابی		
۰/۴۹۱۶۶۶	۵۱/۶۷۱۵۷	۰/۰۹۵۸۹۸	آموزش	۲	۲
۰/۵۰۰۵۵۷	۵۰/۷۳۳۹۴	-	صحت یابی		
۰/۶۱۷۱۱۱	۴۶/۷۷۰۹۴	۰/۰۸۶۸۰۳	آموزش	۳	۳
۰/۶۶۳۶۱	۴۳/۷۶۵۴۰	-	صحت یابی		
۰/۵۰۰۳۹۴	۳۸/۳۸۱۷۷	۰/۹۵۳۶۰	آموزش	۴	۴
۰/۵۰۰۱۷۶	۵۰/۷۷۳۸۴	-	صحت یابی		
۰/۴۲۴۸۸۶	۵۹/۳۳۸۴۵	۰/۱۱۰۱۲۷	آموزش	۵	۵
۰/۰۰۱۲۱	۵۸/۳۸۴۰۱	-	صحت یابی		
۰/۳۲۹۷۲۰	۵۹/۳۳۸۴۶	۰/۱۱۰۱۲۷	آموزش	۶	۶
۰/۰۰۱۱۳	۵۸/۳۸۴۰۰	-	صحت یابی		
۰/۰۰۰۶۴۳	۵۹/۳۳۸۴۷	۰/۱۱۰۱۲۷	آموزش	۷	۷
۰/۰۰۰۹۰	۵۸/۳۸۴۰۴	-	صحت یابی		
۰/۰۰۰۰۰۰	۵۹/۳۳۸۴۷	۰/۱۱۰۱۲۷	آموزش	۸	۸
۰/۰۰۰۷۰	۵۸/۳۸۴۰۴	-	صحت یابی		

نتایج این مدل سازی نیز حاکی از این مسئله می‌باشد که با افزایش تعداد لایه‌های میانی، ضریب همبستگی شبکه‌ها کاهش می‌یابد و شبکه قادر به پیش‌بینی دبی نمی‌باشد و مقایسه شبکه با تعداد لایه‌های میانی برابر ۳ با شبکه اولیه با تعداد لایه میانی برابر ۱ نشان دهنده نتایج مشابه برای این دو شبکه می‌باشد اما شبکه با لایه‌های میانی برابر ۳ نتایج بهتری ارائه داده است.

#### ۴-۳-۱- انتخاب بهترین مدل شبکه عصبی مصنوعی

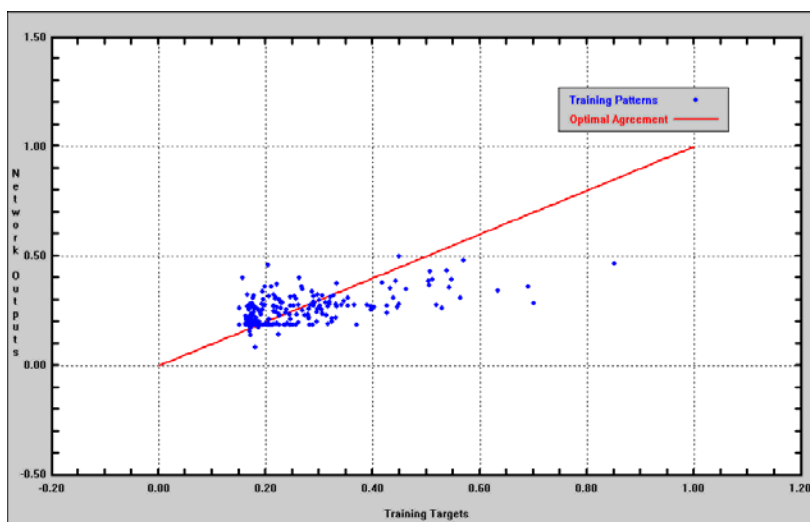
همان طور که از جدول (۴-۴) قابل مشاهده است، از میان مدل‌های برتر شبکه عصبی مصنوعی، مدل شبکه عصبی با تابع محرک گوس و تعداد لایه‌های میانی برابر ۳ با بیشترین ضریب همبستگی برابر ۰/۶۱۷ و ۰/۶۶۳ به ترتیب در مرحله آموزش و صحت سنجی به عنوان مدل برتر در پیش‌بینی و برآورد دبی رودخانه مارون شناخته شد. شکل‌های (۱۲۶-۴) تا (۱۲۹-۴) نتایج حاصل از اجرای مدل با تابع محرک گوس و تعداد لایه‌های میانی برابر ۳ را نشان می‌دهد.



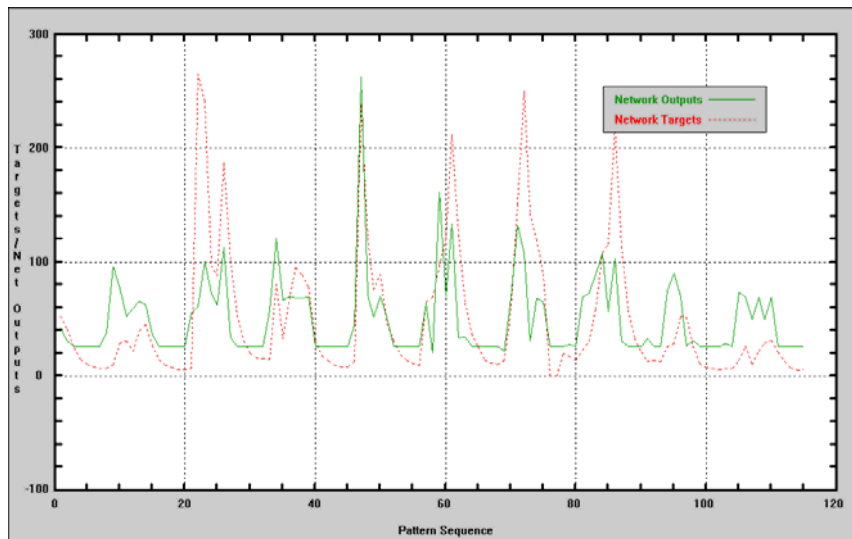
شکل ۱۲۶-۴- نتایج مربوطه به آموزش مدل در مرحله یادگیری با تابع محرک گوس با ۳ لایه میانی

جدول ۴-۴- انتخاب بهترین مدل شبکه عصبی مصنوعی

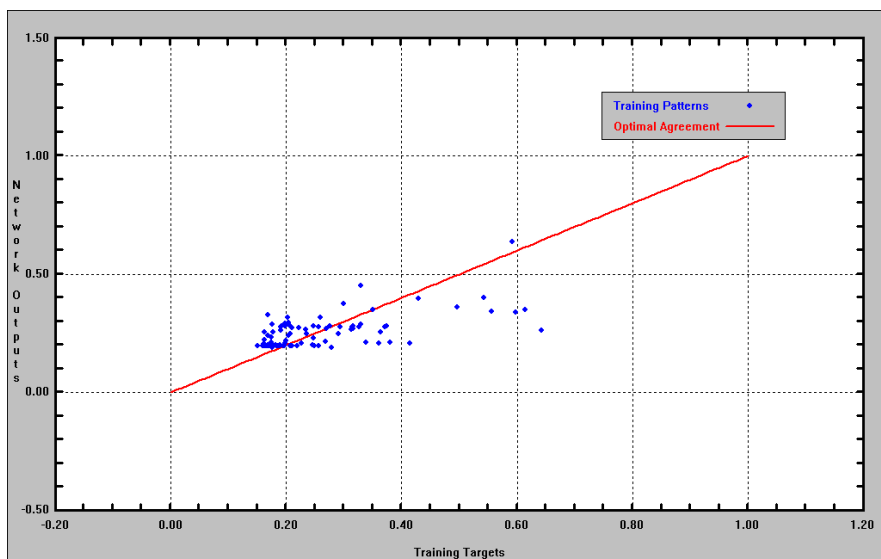
ضریب همبستگی	انحراف معیار (Std Dev)	RMS Error	مرحله محاسباتی	تعداد لایه‌های میانی	تابع محرک	ساختار
.۰/۵۲۱۶۹	۴۶/۴۶۸۹۵	.۰/۰۹۱۸۱۰	آموزش	۱	سکانت	۱
.۰/۶۶۱۹۶	۴۸/۲۷۱۹۴	-	صحت یابی		هیپربولیک	
.۰/۵۴۵۴۷	۴۹/۷۳۷۰۱	.۰/۰۹۲۳۰۸	آموزش	۱	گوس	۲
.۰/۶۸۰۰۴۱	۴۲/۷۴۸۵۰	-	صحت یابی		گوس	
.۰/۶۱۷۱۱	۴۶/۷۷۰۹۴	.۰/۰۸۶۸۰۳	آموزش	۲	گوس	۳
.۰/۶۶۳۶۱	۴۳/۷۶۵۴۰	-	صحت یابی		گوس	



شکل ۱۲۷-۴- برازش بین داده‌های معرفی شده به مدل و خروجی از آن در مرحله یادگیری با تابع محرک گوس با ۳ لایه میانی



شکل ۴-۱۲۸- مقایسه بین آبدهی معرفی شده به مدل و خروجی از آن در مرحله صحت یابی برای تابع محرك گوس با ۳ لایه میانی



شکل ۴-۱۲۹- برازش بین دادههای معرفی شده به مدل و خروجی از آن در مرحله صحت یابی برای تابع محرك گوس با ۳ لایه میانی

#### ۴-۴- مقایسه مدل‌های استوکستیک و شبکه عصبی مصنوعی و انتخاب

##### بهترین مدل

برای انجام این مقایسه، مدل استوکستیک انتخاب شده CARMA(1,1) را مجدداً توسط نرم افزار SAMS با دادههای جدیدی که به صورت ۷۰٪ (۲۸-۳۰٪ ۱۳-۱۴) تقسیم شده بودند، مدل کردیم. برای این منظور از سری زمانی دبی سالانه ۴۱ سال (۱۳۴۷-۱۳۸۸) ایستگاه ایدنک، دادههای ۲۸ سال

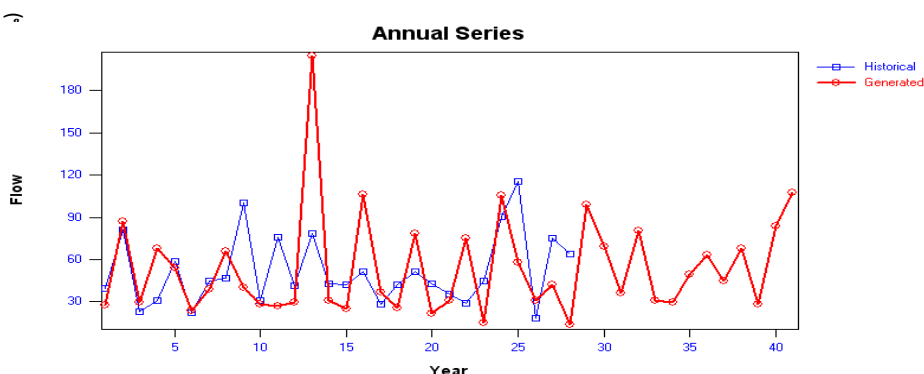
آماری (۱۳۷۵-۱۳۴۷) به نرم افزار معرفی شدند. در این مرحله نیز برای انتخاب بهترین مدل، مدل-های (۱,۱)، CARMA(۱,۲) و CARMA(۱,۳) به ۷۰٪ داده‌های ورودی برازش داده شدند.

نتایج این مدل‌ها در جدول (۴-۴۹) قابل مشاهده است. با توجه به نتایج این جدول می‌توان مدل CARMA(۱,۱) را با داشتن کمترین معیارهای اطلاعاتی آکائیک و شوارز به عنوان مدل برتر برای این مرحله معرفی کرد. سپس در مرحله تولید سری ساختگی، از مدل برای ایجاد سری ۴۱ ساله استفاده گردید، یعنی نرم افزار برای ۳۰٪ آمار حذف شده به پیش‌بینی دبی پرداخت. سری تولید شده و سری اولیه برای این مدل در جدول (۴-۵۰) و شکل (۴-۱۳۰) ارائه شده‌اند.

جدول ۴-۴۹- پارامترهای مدل‌های CARMA(۱,۳)، CARMA(۱,۲) و CARMA(۱,۱) برای داده‌های

۲۸ ساله ایستگاه ایدنک

CARMA(۱,۳)	CARMA(۱,۲)	CARMA(۱,۱)	مدل
۳/۸۳۷۸۵	۳/۸۳۷۸۵	۳/۸۳۷۸۵	میانگین
۰/۲۱۳۹۰	۰/۲۱۳۹۰	۰/۲۱۳۹۰	واریانس
-۴/۳۸۳	-۷/۷۸	-۱۰/۵۰۹	معیار اطلاعاتی آکائیک
-۳/۷۸۱	-۷/۵۲۲	-۱۰/۸۴۴	معیار اطلاعاتی شوارز
پارامترهای اتورگرسیو			
-۰/۲۹۷۰	-۰/۲۸۴۹	۰/۱۱۰۶	$\varphi_1$
پارامترهای میانگین متحرک			
۰/۰۰۰۲	۰/۰۱۲۸	۰/۴۰۷۶	$\theta_1$
۰/۰۰۱۹	۰/۱۲۰۲	-	$\theta_2$
۰/۰۰۳۷	-	-	$\theta_3$



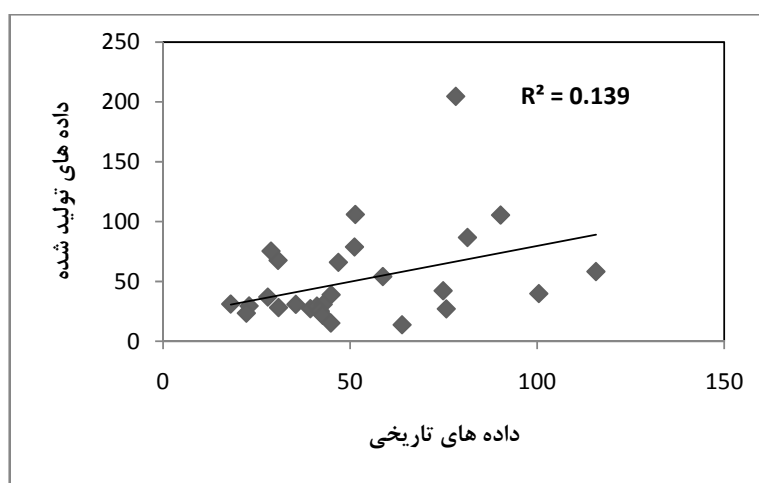
شکل ۴-۱۳۰- مقایسه سری تولید شده و سری اولیه برای مدل (۱,۱) CARMA و داده‌های ۲۸ ساله

جدول ۴-۵- مقایسه سری تولید شده و سری اولیه برای مدل CARMA(1,1) و داده‌های ۲۸ ساله

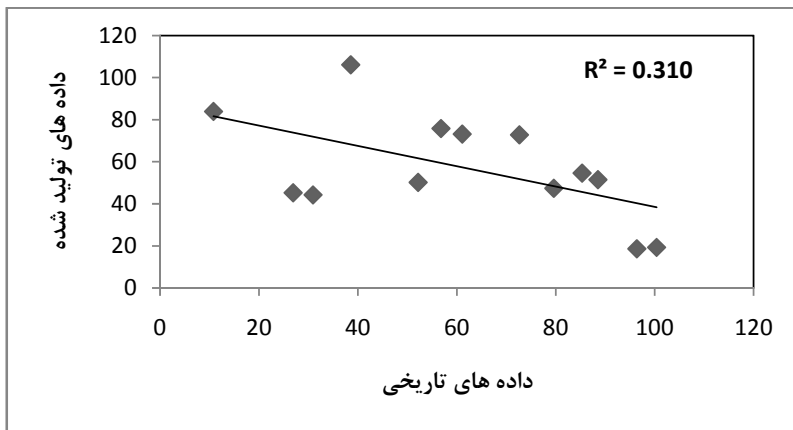
-Y سری تولید شده	-X سری تاریخی	-Y سری تولید شده	-X سری تاریخی	-Y سری تولید شده	-X سری تاریخی
۷۵/۳۱۸	۲۸/۸۷۵	۲۲	۲۷/۲۲۱	۳۹/۳۸۵	۱
۱۵/۲۱۶	۴۴/۸۷۷	۲۳	۸۶/۷۱۸	۸۱/۳۶۸	۲
۱۰۵/۴۶۲	۹۰/۲۲۶	۲۴	۲۹/۵۱۱	۲۳/۰۱۲	۳
۵۸/۲۳۲	۱۱۵/۷۱۳	۲۵	۶۷/۵۵۷	۳۰/۷۵۶	۴
۳۱/۰۳۹	۱۸/۰۹۸	۲۶	۵۴/۰۵۳	۵۸/۷۴۶	۵
۴۲/۲۲۳	۷۴/۸۷۴	۲۷	۲۳/۴۷۸	۲۲/۲۷۶	۶
۱۳/۷۶۸	۶۳/۹۰۸	۲۸	۳۸/۸۹۷	۴۴/۹۳۵	۷
۹۸/۶۱۶	-	۲۹	۶۵/۹۳۱	۴۶/۸۸۵	۸
۶۸/۹۸۷	-	۳۰	۳۹/۸۴۵	۱۰۰/۴۴۸	۹
۳۵/۸۰۶	-	۳۱	۲۸/۱۵۸	۳۰/۸۹۱	۱۰
۸۰/۳۹۵	-	۳۲	۲۷/۰۲۲	۷۵/۷۱۸	۱۱
۳۰/۸۶۷	-	۳۳	۲۹/۴۰۲	۴۱/۱۲۳	۱۲
۲۹/۷۷۶	-	۳۴	۲۰۴/۶۱۸	۷۸/۲۴۱	۱۳
۴۹/۱۴۶	-	۳۵	۳۰/۷۵۸	۴۲/۸۱۱	۱۴
۶۲/۹۷۷	-	۳۶	۲۴/۶۸۲	۴۱/۹۹۳	۱۵
۴۴/۵۱۱	-	۳۷	۱۰۵/۹۲۸	۵۱/۴۱۱	۱۶
۶۷/۵۸۴	-	۳۸	۳۶/۹۱۵	۲۸/۰۰۲	۱۷
۲۸/۰۸۶	-	۳۹	۲۵/۳۵۲	۴۱/۹۸۶	۱۸
۸۳/۵۰۱	-	۴۰	۷۸/۷۶۹	۵۱/۱۸۶	۱۹
۱۰۷/۳۱	-	۴۱	۲۱/۶۶۴	۴۲/۶۷۵	۲۰
-	-	-	۳۰/۸۵۴	۳۵/۵۱۶	۲۱

در شکل‌های (۱۳۱-۴) و (۱۳۲-۴) ضریب همبستگی داده‌های تاریخی و تولید شده به ترتیب

برای سری زمانی ۲۸ ساله و ۱۳ ساله قابل مشاهده هستند.



شکل ۱۳۱-۴- برازش بین داده‌های تاریخی و تولید شده ۲۸ ساله و محاسبه ضریب همبستگی



شکل ۴-۱۳۲- برآورد بین داده‌های تاریخی و تولید شده ۱۳ ساله و محاسبه ضریب همبستگی

در جدول (۵۱-۴) مدل انتخاب شده CARMA(۱,۱) با مدل شبکه عصبی مصنوعی با تابع محرک گوس و ۳ لایه میانی که در قسمت ۱-۳-۴ انتخاب شد مقایسه شده‌اند. برای محاسبه خطای میانگین مربع ریشه از فرمول زیر استفاده شد.

$$RMSE = \sqrt{\frac{\sum_{i=1}^n (X_i - Y_i)^2}{n}} \quad (1-4)$$

در این فرمول  $X$ ،  $Y$  و  $n$  به ترتیب برابر مقدار مشاهده‌ای، مقدار تخمین زده شده و اندازه نمونه می‌باشد. با توجه به نتایج ذکر شده در جدول می‌توان نتیجه گرفت که مدل شبکه عصبی با ضریب همبستگی بیشتر و مقدار خطای کمتر به عنوان برتر شناخته شد.

جدول ۴-۵۱- مقایسه مدل‌های انتخابی استوکستیک و شبکه عصبی مصنوعی

ضریب همبستگی	RMS Error	مرحله محاسباتی	مدل
۰/۱۳۹	۰/۱۷۷۵۴۶	آموزش	استوکستیک
۰/۳۱۰	۰/۴۵۲۱۴	صحت یابی	
۰/۶۱۷۱۱	۰/۰۸۶۸۰۳	آموزش	
۰/۶۶۳۶۱	-	صحت یابی	شبکه عصبی

## فصل پنجم

نتیجه گیری و پیشنهادها

## ۱-۵- نتایج

در این تحقیق به منظور پیش بینی و برآورد دبی رودخانه مارون، واقع در استان خوزستان، از روش های اتفاقی (استوکستیک) و شبکه عصبی مصنوعی استفاده گردید. داده های مورد استفاده شامل آمار دبی، بارش و درجه حرارت سالانه و ماهانه ایستگاه هیدرومتری ایدنک و آمار بارش ماهانه ایستگاه های چم نظام، بهبهان و خیر آباد بود. برای مدل سازی دبی به کمک روش های استوکستیکی از نرم افزار SAMS ۲۰۰۷ و به منظور مدل سازی دبی به روش شبکه های عصبی مصنوعی از نرم افزار Qnet ۲۰۰۰ استفاده گردید.

## ۱-۵- مدل استوکستیک

در مدل های استوکستیکی سالانه، آمار دبی ۴۱ سال آبی (سال های ۱۳۴۷-۴۸ الی ۱۳۸۷-۸۸) ایستگاه ایدنک واقع بر روی رودخانه مارون به نرم افزار معرفی شد. سپس سری زمانی سالانه رسم شد و همچنین توابع خود همبستگی و خود همبستگی جزئی محاسبه و ترسیم شدند، خصوصیات آماری پایه، اطلاعات ذخیره، خشکسالی و سال های پر آبی این سری زمانی محاسبه گردید. داده های مورد استفاده مورد تست های نرمالیتی چولگی و فلیین قرار گرفتند و با توجه به بهترین تابع تبدیل که تابع تبدیل لگاریتمی بود به سری نرمال تبدیل شدند. از میان مدل های استوکستیکی برای داده های سالانه در این نرم افزار مدل های اتورگرسیو، اتورگرسیو میانگین متحرک و اتورگرسیو میانگین متحرک همزمان به داده ها برازش داده شدند. با توجه به این که درجه مدل به وسیله توابع خود همبستگی و خود همبستگی جزئی تعیین می شود، درجه معین شده برای پارامترهای  $p$  و  $q$  مدل برابر یک در نظر گرفته شد. اما برای انتخاب بهترین مدل، پارامترهای  $p$  و  $q$  بین یک تا سه در نظر گرفته شدند.

**الف- مدل AR:** در ابتدا مدل های اتورگرسیو AR(۱)، AR(۲) و AR(۳) به داده های سالانه برازش داده شد. از میان این مدل ها، مدل AR(۱) با کمترین مقدار معیارهای اطلاعاتی آکائیک و شوارز به

ترتیب برابر  $44/958$  و  $43/355$  به عنوان مدل مناسب در نظر گرفته شد. سپس تولید سری ساختگی توسط این مدل صورت پذیرفت و خصوصیات آماری پایه، اطلاعات ذخیره، خشکسالی و سالهای پر آبی، تابع خود همبستگی و در نهایت سری تولید شده با سری اولیه مورد مقایسه قرار گرفتند. در مدل‌های استوکستیکی احتمال وقوع سری تولید شده و سری اولیه در آینده هر دو یکسان است، اما اطلاعات آماری این سری‌ها با توجه به متفاوت بودن سری‌ها تقریباً یکسان خواهد بود (Sveinsson *et al.*, ۲۰۰۷). سری تولید شده توسط مدل اتورگرسیو (AR) نیز خصوصیات آماری پایه، اطلاعات ذخیره، خشکسالی و سالهای پر آبی بسیار نزدیکی به سری اولیه داشت. توابع خود همبستگی و خود همبستگی جزئی سری تولید شده نیز همانند سری اولیه در میان حدود اطمینان ۱۰٪ قرار گرفتند.

**ب- مدل ARMA:** سپس مدل‌های اتورگرسیو میانگین متحرک (ARMA(۱,۱)، ARMA(۱,۲) و ARMA(۱,۳) به داده‌های سالانه برآش داده شدند. از میان این مدل‌ها نیز، مدل ARMA(۱,۲) با داشتن کمترین مقدار معیارهای اطلاعاتی آکائیک و شوارز به ترتیب برابر  $48/84$  و  $50/87$  به عنوان مدل مناسب شناخته شد. ایجاد سری ساختگی با انتخاب این مدل صورت گرفت و خصوصیات آماری پایه، اطلاعات ذخیره، خشکسالی و سالهای پر آبی، تابع خود همبستگی و در نهایت سری تولید شده با سری اولیه مورد مقایسه قرار گرفتند. برای این مدل نیز خصوصیات آماری پایه، اطلاعات ذخیره، خشکسالی و سالهای پر آبی سری تولید شده به سری اولیه بسیار نزدیک است و مقایسه توابع خود همبستگی و خود همبستگی جزئی این سری نیز در میان حدود اطمینان قرار گرفتند.

**ج- مدل CARMA:** مدل دیگر برآش داده شده به داده‌های سالانه مدل اتورگرسیو میانگین متحرک همزمان می‌باشد. در این مدل بر خلاف مدل قبل، پارامترهای اتورگرسیو و میانگین متحرک به صورت هم زمان از داده‌های تخمین زده می‌شوند، اما در مدل اتورگرسیو میانگین متحرک ابتدا پارامترهای اتورگرسیو مدل محاسبه می‌شوند (Salas *et al.*, ۱۹۸۵). مدل‌های CARMA(۱,۱)، CARMA(۱,۲) و CARMA(۱,۳) به داده‌ها برآش شدند و با توجه به این که مدل CARMA(۱,۱)

دارای کمترین مقدار معیارهای اطلاعاتی آکائیک برابر ۱۷/۶۸۹ و معیار شوارز برابر ۱۶/۹۱، از میان دیگر مدل‌های اتورگرسیو میانگین متحرک همزمان بود، به عنوان مدل مناسب شناخته شد و تولید سری ساختگی توسط این مدل صورت گرفت. مقایسه خصوصیات آماری پایه، اطلاعات ذخیره، خشکسالی و سال‌های پر آبی سری تولید شده با سری اولیه نشان می‌دهد که نتایج به سری اولیه بسیار نزدیک است. همچنین توابع خود همبستگی و خود همبستگی جزئی این سری نیز در میان حدود اطمینان قرار گرفتند.

سپس داده‌های ماهانه ۴۱ ساله سال‌های آبی ۱۳۸۸-۱۳۴۷ به نرم افزار SAMS ۲۰۰۷ معرفی گردید. سری زمانی ماهانه به صورت کلی و ماه به ماه رسم، تابع خود همبستگی و خود همبستگی جزئی نیز به صورت کلی و ماه به ماه محاسبه و رسم و خصوصیات آماری پایه و اطلاعات ذخیره، خشکسالی و سال‌های پر آبی نیز به صورت ماه به ماه برای این سری محاسبه گردیدند. سری زمانی ماهانه مورد تست نرمالیتی چولگی و فیلیبن قرار گرفت و با توجه به توابع تبدیل موجود در نرم افزار، توسط بهترین تابع یعنی لگاریتمی به سری نرمال تبدیل شد.

از میان مدل‌های استوکستیکی برای داده‌های ماهانه موجود در نرم افزار، مدل‌های اتورگرسیو میانگین متحرک تناوبی و اتورگرسیو تناوبی چند متغیره برای داده‌های ماهانه با خصوصیات تناوبی برآش داده شدند.

**۵- مدل PARMA:** مدل‌های اتورگرسیو میانگین متحرک تناوبی (۱,۱)، PARMA(۱,۲) و PARMA(۱,۳) به داده‌های ماهانه برآش داده شد. مدل PARMA(۱,۲) با داشتن کمترین مقدار معیارهای اطلاعاتی آکائیک و شوارز به ترتیب برابر ۱۳/۱۴۴ و ۱۵/۱۷۴ به عنوان مدل مناسب شناخته شد و تولید سری ساختگی توسط این مدل صورت پذیرفت و خصوصیات آماری پایه، اطلاعات ذخیره، خشکسالی و سال‌های پر آبی، تابع خود همبستگی و در نهایت سری تولید شده با سری اولیه به صورت ماه به ماه مقایسه گردیدند. پارامترهای محاسبه شده توسط این مدل به پارامترهای سری اولیه نزدیک می‌باشند.

## ۵- مدل MPAR: مدل دیگر، مدل اتورگرسیو تناوبی چند متغیره (۱) MPAR(۱)، (۲) MPAR(۲) و

MPAR(۳) بود که به داده‌های ماهانه برآش داده شد و مدل (۱) MPAR با داشتن کمترین مقدار معیارهای اطلاعاتی آکائیک و شوارز به ترتیب برابر ۱۶/۲۱ و ۱۵/۶۰۷ به عنوان مدل مناسب شناخته شد و تولید سری ساختگی توسط این مدل صورت پذیرفت و خصوصیات آماری پایه، اطلاعات ذخیره، خشکسالی و سال‌های پر آبی، تابع خود همبستگی و در نهایت سری تولید شده با سری اولیه به صورت ماه به ماه مقایسه گردید. پارامترهای محاسبه شده توسط این مدل به پارامترهای سری اولیه نزدیک هستند.

این نتایج نشان می‌دهد که نرم افزار SAMS ۲۰۰۷ به خوبی قادر به برآش مدل‌های استوکستیک به داده‌های سالانه و ماهانه می‌باشد.

و- انتخاب بهترین مدل برای پیش‌بینی آبدهی رودخانه مارون: با توجه به مدل‌های مختلف استفاده شده بر روی داده‌های دبی ایستگاه هیدرومتری ایدنک، می‌توان مدل (۱,۱) CARMA را با توجه به معیارهای اطلاعاتی آکائیک و شوارز به عنوان مدل برتر در شبیه سازی و برآورد دبی این ایستگاه معرفی کرد. خلاصه نتایج در جدول (۴-۴۳) آورده شده است.

## ۵-۱-۲- مدل شبکه عصبی مصنوعی

در این تحقیق سه حالت برای مدل سازی دبی رودخانه مارون با استفاده از شبکه‌های عصبی مصنوعی در نظر گرفته شده: الف- بررسی تأثیر توابع محرک در یادگیری شبکه عصبی مصنوعی، ب- بررسی تأثیر لایه‌های میانی در یادگیری شبکه عصبی مصنوعی، ج- بررسی تأثیر تعداد داده‌های ورودی بر روی یادگیری شبکه عصبی مصنوعی.

الف- تأثیر توابع محرک: در این شبکه آمار بارش، درجه حرارت و دبی ماهانه ایستگاه هیدرومتری ایدنک برای دوره آماری ۱۳۸۸-۱۳۶۰ ساله ۲۸ مشترک بین این سه آمار که به صورت ۷۰-۳۰٪ تقسیم بندی شده بودند، استفاده گردید. ۷۰٪ آمار معرفی شده به شبکه برای مرحله

آموزش و ۳۰٪ مابقی برای مرحله صحت سنجی مدل مورد استفاده قرار گرفتند. با معرفی ۷۰٪ داده‌ها برای مرحله آموزش به نرم افزار Qnet ۲۰۰۰ شبکه‌ای طراحی شد که دارای سه لایه ورودی، میانی و خروجی بود. نظر به این که داده‌های ورودی شامل بارش، درجه حرارت و داده خروجی دبی این ایستگاه بود، ۲ گره برای لایه ورودی، ۲ گره برای لایه میانی (تعداد گره‌های لایه‌های میانی برابر یا یکی کمتر از گره‌های لایه ورودی است (منهاج، ۱۳۷۹)) و ۱ گره برای لایه خروجی در نظر گرفته شد. توابع محرک سیگموئید، گوس، تانژانت و سکانت هیپربولیک برای تمام لایه‌های میانی به طور جداگانه قابل انتخاب هستند. بنابراین در این شبکه طراحی شده، مدل سازی دبی با تمام توابع صورت گرفت و شبکه برای محاسبه دبی با توجه به داده‌های در دسترس آموزش دید. خطای مریع ریشه میانگین، انحراف معیار و ضریب همبستگی برای مرحله آموزش حاصل گردید. سپس در مرحله صحت سنجی ۳۰٪ مابقی داده‌ها به شبکه معرفی گردیدند و شبکه با توجه به مرحله آموزش به پیش‌بینی داده‌هایی پرداخت که برای شبکه شناخته شده نبودند. معیارهای مقایسه در مرحله صحت سنجی با معیارهای مرحله آموزش برای تمامی شبکه‌ها با تابع محرک گوناگون مقایسه گردید. شبکه طراحی شده با تابع محرک سکانت هیپربولیک با داشتن بیشترین ضریب همبستگی ۰/۵۲۱۶۹ در مرحله آموزش و ۰/۶۶۱۹۶ در مرحله صحت سنجی به عنوان بهترین شبکه شناخته شد.

**ب- تأثیر لایه‌های میانی:** پس از انتخاب این شبکه، با توجه به این که در نرم افزار Qnet بیشترین تعداد لایه‌های میانی برابر ۸ می‌باشد، شبکه‌های جدیدی به ترتیب با ۱، ۲، ۳، ۴، ۵، ۶، ۷ و ۸ لایه میانی اما با تابع محرک سکانت هیپربولیک برای تمامی لایه‌های میانی به منظور بررسی اثر لایه‌های میانی متنوع بر روی تخمین دبی طراحی شدند. نتایج حاصل نشان داد که با افزایش تعداد لایه‌های میانی توانایی پیش‌بینی دبی را ندارد و ضریب همبستگی این شبکه‌ها به صفر نزول پیدا کرد. اما شبکه با تعداد لایه میانی ۲ نتایج مشابه شبکه با لایه میانی ۱ را داشت و دارای ضریب همبستگی ۰/۵۳۰۲۲ در مرحله آموزش و ۰/۶۵۳۸۸ در مرحله صحت سنجی بود.

## ج- تأثیر تعداد داده‌های ورودی: شبکه طراحی شده آمار بارش ماهانه ایستگاه‌های ایدنک، چم

نظام، بهبهان و خیر آباد به عنوان ورودی شبکه و دبی ایستگاه هیدرومتری ایدنک به عنوان خروجی شبکه برای دوره آماری ۳۲ ساله ۱۳۵۶-۱۳۸۸ مشترک بین این ۵ آمار که برای این شبکه نیز به صورت ۷۰٪-۳۰٪ تقسیم بندی شده بودند، استفاده گردید. ۷۰٪ آمار معرفی شده به شبکه برای مرحله آموزش و ۳۰٪ مابقی برای مرحله صحت سنجی مدل مورد استفاده قرار گرفتند. همانند شبکه‌های فوچ برای این شبکه نیز ابتدا ۷۰٪ داده‌ها برای مرحله آموزش به نرم افزار معرفی و شبکه‌ای طراحی شد که دارای سه لایه ورودی، میانی و خروجی بود. نظر به این که داده‌های ورودی شامل بارش‌های ۴ ایستگاه ایدنک، چم نظام، بهبهان و خیر آباد و داده خروجی دبی ایستگاه ایدنک بود، ۴ گره برای لایه ورودی ، ۴ گره برای لایه میانی و ۱ گره برای لایه خروجی در نظر گرفته شد. توابع محرک سیگموئید، گوس، تانژانت و سکانت هیپربولیک برای تمام لایه‌های میانی به طور جداگانه قابل انتخاب هستند. بنابراین در این شبکه طراحی شده، مدل سازی دبی با تمام توابع صورت گرفت و شبکه برای محاسبه دبی با توجه به داده‌های در دسترس آموزش دید. نرم افزار خطای مربع ریشه میانگین، انحراف معیار و ضریب همبستگی برای مرحله آموزش محاسبه کرد. سپس در مرحله صحت سنجی ۳۰٪ مابقی داده‌ها به شبکه معرفی گردیدند و شبکه با توجه به مرحله آموزش به پیش‌بینی داده‌هایی پرداخت که برای شبکه شناخته شده نبودند. معیارهای مقایسه در مرحله صحت سنجی با معیارهای مرحله آموزش برای تمامی شبکه‌ها با توابع محرک گوناگون مقایسه گردید. شبکه طراحی شده با تابع محرک گوس با داشتن بیشترین ضریب همبستگی ۰/۴۷۹ ۴۵۴/۰ در مرحله آموزش و ۰/۴۱ ۶۰ در مرحله صحت سنجی به عنوان بهترین شبکه شناخته شد.

پس از انتخاب این تابع، شبکه‌های جدیدی به ترتیب با ۱، ۲، ۳، ۴، ۵، ۶، ۷ و ۸ لایه میانی اما با تابع محرک گوس برای تمامی لایه‌های میانی به منظور بررسی اثر لایه‌های میانی متنوع بر روی تخمین دبی طراحی شدند. در این شبکه نیز نتایج حاصل نشان داد که با افزایش تعداد لایه‌های میانی شبکه توانایی پیش‌بینی دبی را ندارد و ضریب همبستگی این شبکه‌ها به شدت کاهش پیدا می‌کند.

اما شبکه با تعداد لایه میانی ۳ نتایج بهتری ارائه داد و دارای ضریب همبستگی  $0.61711$  در مرحله آموزش و  $0.66361$  در مرحله صحت سنجی بود.

### ۲-۵- مقایسه مدل استوکستیک و شبکه عصبی مصنوعی

برای انتخاب بهترین مدل از میان مدل‌های استوکستیک و شبکه عصبی مصنوعی، مجدداً مدل استوکستیک انتخاب شده CARMA(1,1) با داده‌های جدیدی که به صورت  $70\%-30\%$  تقسیم شده بودند، مدل شد. سپس برای انتخاب بهترین مدل، مدل‌های CARMA(1,1)، CARMA(1,2) و CARMA(1,3) با داشتن کمترین معيارهای اطلاعاتی آکائیک و شوارز به ترتیب برابر  $10/509$  و  $10/844$ - به عنوان مدل برتر برای این انتخاب شد. در نهایت این مدل با مدل شبکه عصبی مصنوعی با تابع محرک گوس و ۳ لایه میانی مقایسه شد که نتایج آن در جدول (۴-۱۵) قابل مشاهده است. با توجه به نتایج ذکر شده در این جدول می‌توان نتیجه گرفت که مدل شبکه عصبی با ضریب همبستگی بیشتر و مقدار خطای کمتر به عنوان برتر شناخته شد.

### ۳-۵- پیشنهادها

به منظور شناخت بهتر رفتار رودخانه مارون واقع در استان خوزستان، مطالعات تکمیلی زیر پیشنهاد می‌گردد:

► مدل‌های انجام شده برای پیش‌بینی دبی ماهانه و سالانه رودخانه مارون به کمک روش‌های استوکستیک و شبکه‌های عصبی مصنوعی به خوبی قادر به پیش‌بینی دبی ایستگاه هیدرومتری ایدنک بودند. اما پیشنهاد می‌شود که پیش‌بینی و برآورد دبی به کمک روش‌های منطق فازی نیز صورت گیرد و نتایج با این روش‌ها مقایسه شود و بهترین مدل انتخاب شود.

► پیشنهاد می‌شود که مدل‌های تراکمی مکانی- فصلی چند متغیره و تراکمی فصلی- مکانی چند متغیره برای داده‌های ماهانه در حوضه آبریز رودخانه مارون با انتخاب چندین ایستگاه هیدرومتری در بالادست و فرودست حوضه صورت پذیرد.

► مدل‌های چند متغیره CSM-CARMA( $p,q$ ) و غیر تجمعی فاصله‌ای برای آمار سالانه دبي نیز با استفاده از چندین ایستگاه در حوضه، انجام پذیرد.

► برای دستیابی به نتایج بهتر جمع آوری و تهیه داده‌های بیشتر دبي، بارندگی و درجه حرارت در کل حوضه آبریز رودخانه مارون پیشنهاد می‌شود.

## منابع

- ابریشم چی، ا.، تجربیشی م. و چهره نگار، ب. (۱۳۸۴)، "مدل‌های استوکستیک منطقه‌ای جریان سالانه حوضه‌های آبریز غرب ایران." تحقیقات منابع آب، جلد ۱، شماره ۱.
- احمدی زاده م.، موسوی ندوشنی س. و خاشعی ع. (۱۳۸۷)، "استفاده از سری‌های زمانی فصلی در پیش‌بینی جریان ورودی به مخزن سد ارس." سومین کنفرانس مدیریت منابع آب ایران، دانشگاه تبریز، ۲۳-۲۵ مهر ماه، دانشکده مهندسی عمران.
- امامقلی زاده ص.، کاشفی پور م. و ترابی ح. (۱۳۸۴)، "استفاده از شبکه عصبی مصنوعی در پیش‌بینی آبدهی رودخانه بالا رود در استان خوزستان." پنجمین کنفرانس هیدرولیک ایران، ۱۷-۱۹ آبان ماه ۱۳۸۴، کرمان.
- بختیاری م.، کاشفی پور م. و عزیزی مبصر ج. (۱۳۸۶)، "استفاده از شبکه عصبی در ارزیابی کیفی رودخانه کرخه." ششمین کنفرانس هیدرولیک ایران، ۱۳-۱۵ شهریور، دانشگاه شهرکرد.
- بنی حبیب م. و ولی پور م. (۱۳۸۷)، "ارزیابی مقایسه‌ای مدل‌های آرما، آریما و مدل خود همبسته شبکه عصبی مصنوعی در پیش‌بینی جریان ورودی به مخزن سد دز." اولین کنفرانس بین‌المللی بحران آب، ۲۰-۲۲ اسفند ماه، دانشگاه زابل.
- پرویز ل. و خلقی م. (۱۳۸۶)، "مقایسه بین روش‌های استوکستیک (تفکیک کننده زمانی) و شبکه‌های عصبی در پیش‌بینی جریان رودخانه." ششمین کنفرانس هیدرولیک ایران، ۱۳-۱۵ شهریور، دانشگاه شهرکرد.
- تفرج نوروز ع.، ابریشم چی ا. و تجربیشی م. (۱۳۸۰)، "تحلیل و مدل‌سازی استوکستیک تراز متوسط ماهانه سطح آب دریاچه هامون پوزک."، مجله آب و فاضلاب- شماره ۴۰.
- رئیسی ع.ا.، جوکار ل.، سامانی ن. و سلطانی ا.ر. (۱۳۷۸)، "استفاده از روش استوکستیک در مطالعه تغییرات آب و هوایی جنوب ایران." دومین کنفرانس منطقه‌ای تغییر اقلیم- سازمان هواسناسی کشور- ۱۳ و ۱۴ آبان.

- رئیسی ع.ا. و سامانی ن. (۱۳۶۸)، "رفتار استوکستیک رودخانه‌های فارس."، طرح مطالعاتی دانشگاه شیراز، دانشکده علوم زمین.
- صحرایی پاریزی ح. (۱۳۷۳)، "مطالعه عکس‌العمل سفره‌های کارستی در مقابل عوامل هیدرولوژیکی به روش استوکستیک."، پایان نامه کارشناسی ارشد، دانشگاه شیراز، دانشکده علوم زمین.
- زارع زاده مهریزی م. و قزاق ا.، (۱۳۸۶)، "پیش‌بینی جریان رودخانه دز با استفاده از شبکه عصبی مصنوعی." نهمین سمینار سراسری آبیاری و کاهش تبخیر، ۱۶ الی ۱۸ بهمن ماه، دانشگاه شهید باهنر کرمان.
- شادمان مطلق ع.، ابراهیمی ح. و رهنما م. (۱۳۸۶)، "پیش‌بینی جریان رودخانه سفید رود با استفاده از شبکه عصبی مصنوعی (ANN)." ششمین کنفرانس هیدرولیک ایران، ۱۵-۱۳ شهریور، دانشگاه شهرکرد.
- طارقیان ر، کاشفی پور م. و طاهری م. (۱۳۸۵)، "پیش‌بینی جریان رودخانه‌ها با استفاده از شبکه‌های عصبی مصنوعی، مطالعه موردی: رودخانه کارون، ایستگاه پل شالو." اولین همایش منطقه‌ای بهره برداری بهینه از منابع آب حوضه‌های کارون و زاینده رود، ۱۴ و ۱۵ شهریور، دانشگاه شهرکرد.
- علیائی ا.، قربانی م. و جباری خامنه ح. (۱۳۸۷)، "عملکرد حافظه مدل اتورگرسیو و شبکه عصبی مصنوعی در پیش‌بینی جریان روزانه رودخانه لیقوان." سومین کنفرانس مدیریت منابع آب ایران، ۲۳ الی ۲۵ مهر ماه، دانشگاه تبریز، دانشکده مهندسی عمران.
- فروغی ح.، معاضد ه.، کاشفی پور م. و کرمی م. (۱۳۸۵)، "مدیریت سطح ایستابی حوضه آبریز رودخانه مارون با استفاده از شبکه‌های عصبی مصنوعی." هفتمین سمینار بین‌المللی مهندسی رودخانه، بهمن ماه ۱۳۸۵، اهواز، دانشگاه شهید چمران.

- کمالی ن. ج. (۱۳۷۴)، " تهیه مدل کوتاه مدت بهره‌برداری از مخزن سد وینار با استفاده از روش‌های استوکاستیک پیش‌بینی جریان. "، پایان نامه کارشناسی ارشد، دانشگاه صنعتی امیرکبیر، دانشکده فنی و مهندسی.

- محمدی م. و محمودیان شوشتاری م. (۱۳۸۵)، " پیش‌بینی دبی متوسط هفتگی ورودی به مخزن سد درودزن به وسیله شبکه عصبی مصنوعی. " همایش ملی مدیریت شبکه‌های آبیاری و زهکشی، ۱۴-۱۲ اردیبهشت، دانشگاه شهید چمران اهواز، دانشکده مهندسی علوم آب.

- منهاج م. ب. (۱۳۷۹)، " مبانی شبکه‌های عصبی، هوش محاسباتی. " مرکز نشر دانشگاه صنعتی امیرکبیر، ص ۷۱۵

- نورانی و، رومیانفر س. و کمامی م. (۱۳۸۷)، " بهره گیری از شبکه عصبی برای بهینه سازی مدل سری زمانی (ARIMA) بارش- رواناب. " سومین کنفرانس مدیریت منابع آب ایران، ۲۵- ۲۳ مهر ماه، دانشگاه تبریز، دانشکده مهندسی عمران.

- نورانی و. و صالحی ک. (۱۳۸۷)، " مدل سازی بارش- رواناب با استفاده از شبکه عصبی فازی تطبیقی و مقایسه آن با روش‌های شبکه عصبی و استنتاج فازی. " چهارمین کنگره ملی مهندسی عمران، اردیبهشت ۱۳۸۷، دانشگاه تهران.

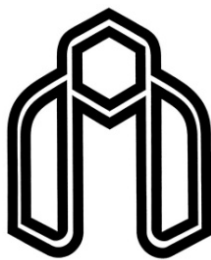
- یزدانی م. و چاوشی س. (۱۳۸۴)، " پیش‌بینی جریان رودخانه با استفاده از مدل شبکه عصبی مصنوعی. " پنجمین کنفرانس هیدرولیک ایران، ۱۹-۱۷ آبان ماه، دانشگاه شهید باهنر کرمان، دانشکده مهندسی.

- Ahmed J.A. and Sarma A.K. (۲۰۰۶) "Artificial neural network model for synthetic streamflow generation", Water Resource Manage, Vol. ۲۱, pp ۱۰۱۵-۱۲۹.
- Alcazar J., Palau A. and Vega-Garc C. (۲۰۰۷) "A neural net model for environmental flow estimation at the Ebro River Basin, Spain", Journal of Hydrology, Vol. ۳۴۹, pp ۴۴-۵۵.

- Baratti R., Cannas B., Fanni A., Pintus M., Sechi G.M. and Toreno N. (2003) "River flow forecast for reservoir management through neural networks", *Neurocomputing*, Vol. 58, pp 421-437.
- Bartolini P., Salas J.D. and Obeysekera J.T.B. (1988) "Multivariate periodic ARMA(1,1) processes", *Water Resources Publication*, Vol. 24, No. 8, pp 1237-1246.
- Berndtsson R., Niemczynowicz J. and Rossi F. (1986) "Spatial and temporal characteristics of high- intensive rainfall in Northern Tunisia", *Journal of Hydrology*, Vol. 87, pp 280, 298.
- Biddiscombe E.F., Rogers A.L., Allison H. and Litchfield R. (1980) "Response of ground water levels to rainfall and leaf growth of farm plantations near salt seeps", *Journal of hydrology*, No. 78, pp 19-34.
- Box G.E. and Jenkins G. (1970) "Time Series Analysis, Forecasting and Control", Revised Edition, Holden day, San Francisco.
- Chow V.T. and Karellos S.J. (1970) "Analysis of stochastic hydrologic systems", *Water Resources Publication*, No. 16, pp 1069-1082.
- Karellos S.J. and Chow V.T. (1972) "Analysis of residual hydrologic stochastic processes", *Journal of Hydrology*, Vol. 15, pp 113-130.
- Claps P. (1990) "Modelli stocastici dei deflussi Dei corsi d'acqua, Ph.D.", Universita degli Studi Napoli, Italy, 279 pp.
- Claps P. and Rossi F. (1991) "Metodi la generazione sintetica dei deflussi", In: *Medelli Idrologic Superficiali nella Pianificazione di Bacino*, Politecnico di Milano (in Italian).
- Claps P., Rossi F. and Todini E. (1993) "Runoff stochastic model", *Water Resources Manage*, Vol. 10, No. 4, pp 754-760.
- Diskin M.H. and Lane L.J. (1971) "A basinwide stochastic model for ephemeral stream runoff in south-eastern Arizona", *Bulletin of the International Association of Hydrological Sciences*, XVII, 14.
- Finzi G., Todini E. and Wallis J.R. (1970) "Comment upon multivariate synthesis hydrology", *Water Resources Publication*, Vol. 11, No. 7, pp 844-850.
- Guldal V. and Tongal H. (2009) "Comparison of recurrent neural network, adaptive neuro-fuzzy inference system and stochastic models in Egirdir lake level forecasting", *Water Resource Manage*, Vol. 24, pp 100-128.

- Hongson F.D.I. (1978) "The use of multiple linear regression in simulating ground water level responses", *Ground water*, Vol. 16, No. 1, pp 249-253.
- Kentel E. (1991) "Estimation of river flow by artificial neural networks and identification of input vectors susceptible to producing unreliable flow estimates", *Journal of Hydrology*, Vol. 140, pp 481-488.
- Kerh T. and Lee C.S. (1991) "Neural networks forecasting of flood discharge at an unmeasured station using river upstream information" *Advances in Engineering Software*, Vol. 14, pp 533-543.
- Kisiel C.C. and Chow V.T. (1969) "Time series analysis of hydrologic data", *Advances in Hydroscience*, Vol. 5, pp 1-119, Academic Press, N.Y.
- Kresic N., Kukuric N. and Zlokolica M. (1990) "Numerical versus stochastic modeling of water balance", *Hydrogeological processes in karst Terranes* (proceeding of the Antalya symposium and field saniar, october 1990). IAHS Publ, No. 207, pp 203-209.
- Love D. (1974) "Multivariate stochastic model in ground water analysis", *Complex system*, pp. 321-350.
- McKerchar A.I. and Delleur J.W. (1974) "Application of Seasonal parametric linear stochastic model to monthly flow data", *Water Resources Publication*, Vol. 1, No. 2, pp 246-255.
- Mendez M.C., Manteiga W.G., Bande M.F., Sanchez M.P. and Calderon R.L. (1994) "Modelling of the monthly and daily behaviour of the runoff of the Xallas river using Box-Jenkins and neural networks methods", *Journal of Hydrology*, Vol. 196, pp 38-58.
- Rao. A.R., Kashyap R.L. and Mao L. (1982) "Optimal choice od type and order of river flow time series model", *Water Resources Publication*, Vol. 18, No. 2, pp 1097-1109.
- Rossi F. and Silvagni G. (1980) "Analysis of annual runoff series", *Third IAHR Symposium on Stochastic Hydraulics*, Tokio, A-18(1-12).
- Sahoo G.B. and Ray C. (1991) "Flow forecasting for a Hawaii stream using rating curves and neural networks", *Journal of Hydrology*, Vol. 147, pp 63-80.
- Salas. J.D., Delleur J.W., Yevjevich V. and Lane W.L. (1980) "Applied Modeling of Hydrologic Time series", *Water Resources Publication*, Littleton, Colorado.

- Salas J.D., Delleur J.W., Yevjevich V. and Lane W.L. (1980) "Applied Modeling of Hydrologic Time series", Second Edition, Water resources Publication, Littleton, Colorado.
- Salas D.J. and Smith R.A. (1981) "Physical basis of stochastic model of annual flows", Water resources Publication, Vol. 17, No. 1, pp 428-430.
- Salas D.J., Obeysekera J.T.B. and Smith R.H. (1981) "Identification of streamflow stochastic model", Journal of Hydrology, Eng., ASCE, 107, HY7, pp 803-811.
- Samani N., Raeissi E. and Soltani A.R. (1994) "Modeling of the stochastic behavior of the fars rivers", Journal of sciences.IRI .Vol. 5, No.1-2 , pp 49-58.
- Singh P. and Deo M.C. (1997) "Suitability of different neural networks in daily flow forecasting", Journal of Applied Soft Computing, Vol. 7, pp 968-978.
- Sivakumar B., Jayawardena A.W. and Fernando T.M.K.G. (1997) "River flow forecasting: use of phase-space reconstruction and artificial neural networks approaches", Journal of Hydrology, Vol. 210, pp 220-240.
- Sveinsson O.G.B., Salas J.D., Lane W.L. and Frevert D.K. (1997) "Stochastic Analysis Modeling and Simulation (SAMS)", Computing Hydrology Laboratory, Department of Civil and Environmental Engineering, Colorado State University, Fort Collins, Colorado.
- Thomas H.A. and Fiering M.B. (1972) "Mathematical synthesis of streamflow sequence for the analysis of the river basin by simulation", in: A. Mass et al., (Eds.), Design for Water Resource System, Harvard University Press, Cambridge, Mass, pp 409-493.
- Ubertini L. (1978) "Metodologie statistiche per l'analisi delle serie idrologiche", CNR Publ. No. 14, Perugia.
- Vogel R. M. (1981) "The probability plot correlation coefficient test for the normal, lognormal, and gumbel distributional hypotheses", Water Resources Research, Vol. 17, No. 4, pp 587-591.



**Shahrood University of Technology**

**Faculty of Earth Sciences  
Department of Hydrogeology**

**MSc thesis**

**Simulation and Estimation of Maroon's Discharge with  
Stochastic and Artificial Neural Network (ANN) Models**

**Rozita Hamidi**

**Supervisor:  
Dr. S. Emamgholizade**

**July ۱۴۰۰**

## **Abstract**

Maroon River with the length of 422 km is one the important rivers in the Khuzestan Province, Iran. The old name of this river was Tab which originates from Zagros Mountains. After over 120 km, it reaches to Maroon Reservoir at 19 km north east of Behbahan in the Maroon basin. With respect to the importance of the Maroon Reservoir in the region, two methods of Stochastic and Artificial Neural Network (ANN) were used in this research to predict and estimate of inflow discharge into Maroon Reservoir. Data which used in this study included annual and monthly discharge, precipitation and temperature of Idnak hydrometric station, and also monthly precipitation statistics of Cham Nezam, Behbahan and Kheir Abad stations which were collected from Khuzestan Water and Power Authority (KWPA). In order to model discharge two softwares SAMS 2007 and Qnet 2000 were used for stochastic and artificial neural network methods, respectively.

In Stochastic models discharge of 41 years (1968-69 to 2008-2009) of Idnak hydrometric station were introduced to the software. Among the Stochastic models for annual series data, Autoregressive (AR), Autoregressive Moving Average(ARMA) and Contemporaneous Autoregressive Moving Average (CARMA) and for monthly data, univariate Periodic Autoregressive Moving Average (MPARMA) and Multivariate Periodic Autoregressive (MPAR) were fitted to the data. Modeling results showed that from different models which fitted to the discharge data of Idnk hydrometric station, it can introduced CARMA(1,1) model with regard to the Akaike and Schwarz Information Criterion (AIC, SIC) as the best model in the simulation and estimation of discharge.

For modeling with model of artificial neural network three cases was considered:

- 1- The effect of transfer functions in the learning of artificial neural network.
- 2- The effect of hidden layers in the learning of artificial neural network.
- 3- The effect of number of input data on the learning artificial neural network.

The result of this research showed that among of the different models which used for artificial neural network, the model with Gaussian transfer function and 3 hidden layers has highest correlation coefficient in the training and verification stages rather than other models. For training and verification stages the correlation coefficients of the model were achieved 0.617 and 0.633, respectively.

Finally in order to compare artificial neural network and stochastic models, the data divided to 70 and 30 percent for training and verification stages, respectively. Since stochastic model CARMA(1,1) and neural network with Gaussian transfer function and 3 hidden layers from were selected from Stochastic models and artificial neural network, the data introduced to these two models. Results and comparison represents that artificial neural network with the highest correlation coefficient and lowest Root Mean Square Error (RMSE) was known as the best model for simulation and estimation of discharge of Maroon river.

**Keywords:** Stochastic Modeling, Artificial Neural Networks, Discharge, Maroon River, Idnak hydrometric station.